

REELLE
Z ANALYSIS

in mehreren

UND

KOMPLEXE

Z ANALYSIS

in einer VARIABLE

FÜR LAK

ROLAND STEINBAUER

FAKULTÄT FÜR MATHEMATIK, UNIVERSITÄT WIEN

SOMMERSEMESTER 2013

5WStx / 10 ECTS

[A] VORBEREITERKUNGEN ZU TITEL

{ & INHALT DER VO}

A.1. RÜCKBLICK (Das Grundthema der Analysis)
 { & wo wir stehen - nach EiDA + AieVfLAK)

Das Grundthema der Analysis [Vpl 10750, 13750] ist das

{ VERSTEHEN & BESCHREIBEN DES
 ÄNDERUNGSVERHALTENS VON FUNKTIONEN}

Die bisheriglich haben wir schon viel erarbeitet; genauer
 haben wir folgende Begriffe studiert

EiDA { GRENZWERTBEGRIFF für Folgen in $\mathbb{R} \setminus \{c\}$
 STETIGKEIT für Fkt $f: \mathbb{R} \rightarrow \mathbb{R}$

entscheidende Schritt
 Vpl 130.3

DIFFERENTIALRECHNUNG
 für Fkt $f: \mathbb{R} \rightarrow \mathbb{R}$

INTEGRALRECHNUNG

VERBINDUNG
 [HSDE] } AieVfLAK

In besonderem hat sich heraukristallisiert

Die Ableitung einer Flkt (in einem Pkt) ist das zentrale Werkzeug zum Verständnis ihres lokalen Änderungsverhaltens.

Über die Kenntnis der Ableitung an allen Plts können wichtige Rückschlüsse auf das globale Verhalten einer Flkt gezogen werden.

Die zentrale Verbindung zwischen lokalen Eigenschaften (mit mithl. Ableitung beschrieben) und globalen Eigenschaften (oft mithl. Interpretation beschrieben) einer Flk liefert der HsDI.

hst
erg
occ
glücklich

A2. ZENTRALES UNTERTHEMA: APPROXIMATION / NÄHERUNG

Immer wieder ist in unseren Untersuchungen das Thema Approximation bzw. Näherung aufgetaucht.

• für reelle Zahlen: zB $\sqrt{2} \approx 1,44$

$$= \lim_{n \rightarrow \infty} x_n$$

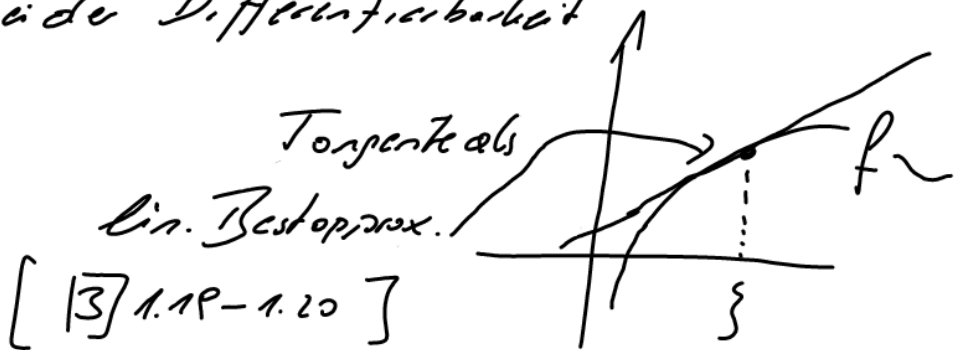
wobei x_n rekursiv definiert ist via

$$x_{n+1} = \frac{1}{2} (x_n + \frac{2}{x_n}) \quad [vgl. 11.3.28]$$

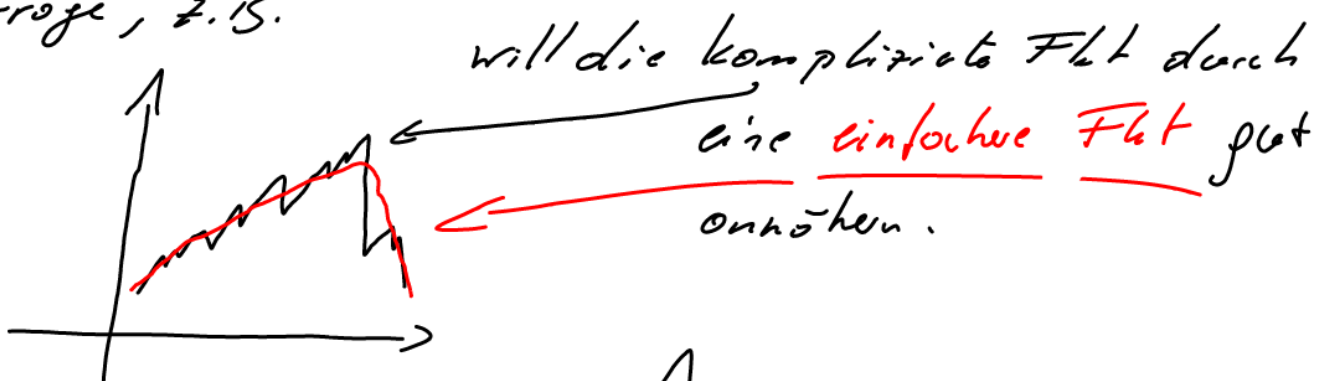
[Horner-Vorfahren]

Schubhille fügt hinzu:
die off mit dem
"unendlich kleinen"
zurken haben...
in den Grenzwertbereich

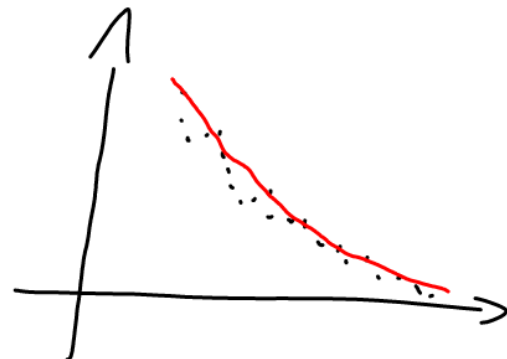
- für Fkt t.B. bei der Differenzierbarkeit



Wir wollen uns nun etwas allgemeiner Gedanken zum Approximieren von Fkt machen. Die Relevanz des Konzepts steckt (auch) in den Anwendungen oder Fragen, z.B.



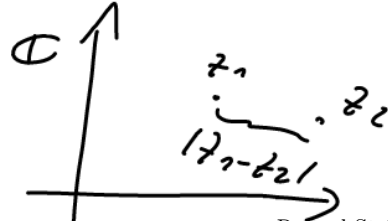
Will durch vorgegebene Punkte (Nebenrechnungen in den NAVI, Schätzungen in den Sovi) möglichst gut eine Fkt legen.



Die entscheidende Frage ist natürlich nun -
Wie gut ist die Näherung?

Im Fall von Zahlenfolgen messen wir dazu den Abstand von Punkten

$$\frac{|x-y|}{\pi r}$$



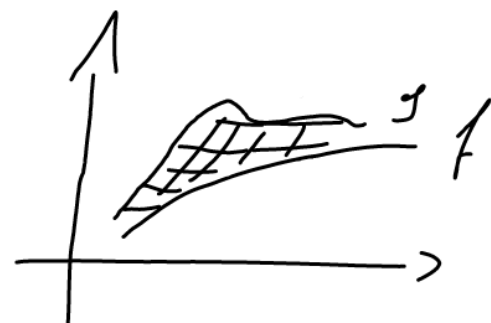
Wie über messen wir den Abstand von f_k ?

Hier gibt es keine richtige Antwort. Viele Konzepte sind möglich und in verschiedenen Situationen unterschiedlich nützlich, z.B.



max. Abstand, d.h.
„dickste Stelle“

Fläche zw. den f_k
wird z.B. Arbeit
oder Kosten



Diese Überlegungen führen zu (verschiedenen)
KONVERGENZBEGRIFFEN FÜR FUNKTIONENFOLGEN
dem Thema von KAP 5 [vgl. auch B) O.Jürgi]

→ obwohl Folgen der einzelne Glieder nicht Jöhren sind,
sondern Funktionen

$\rightarrow \mathbb{R}$
Folge in \mathbb{R}

\mathbb{C}
Folge in \mathbb{C}



Beruhrt näher auf den
Inhalt von Kap 5 eingehen,
geben wir einen Ausblick auf die weiteren Themen des Vo

Folge in $\mathcal{C}[-1,1]$

A.3 AUSBLICK 1: MEHRDIM. (REELLE) ANALYSIS

6
Strecke
in
der
Zeit
oder
Tiefen
oder
Winkel

Bisher haben wir meist reelle Flkt betrachtet, also F^1

$$f: \overline{\mathbb{R}} \rightarrow \overline{\mathbb{R}} \quad \begin{array}{l} \text{(oder } D \subseteq \mathbb{R} \rightarrow \mathbb{R} \\ \text{wobei im Moment nicht der Pkt ist.)} \end{array}$$

Man spricht auch von 1-dim Flkt oder gleich der 1-dim Analysis.

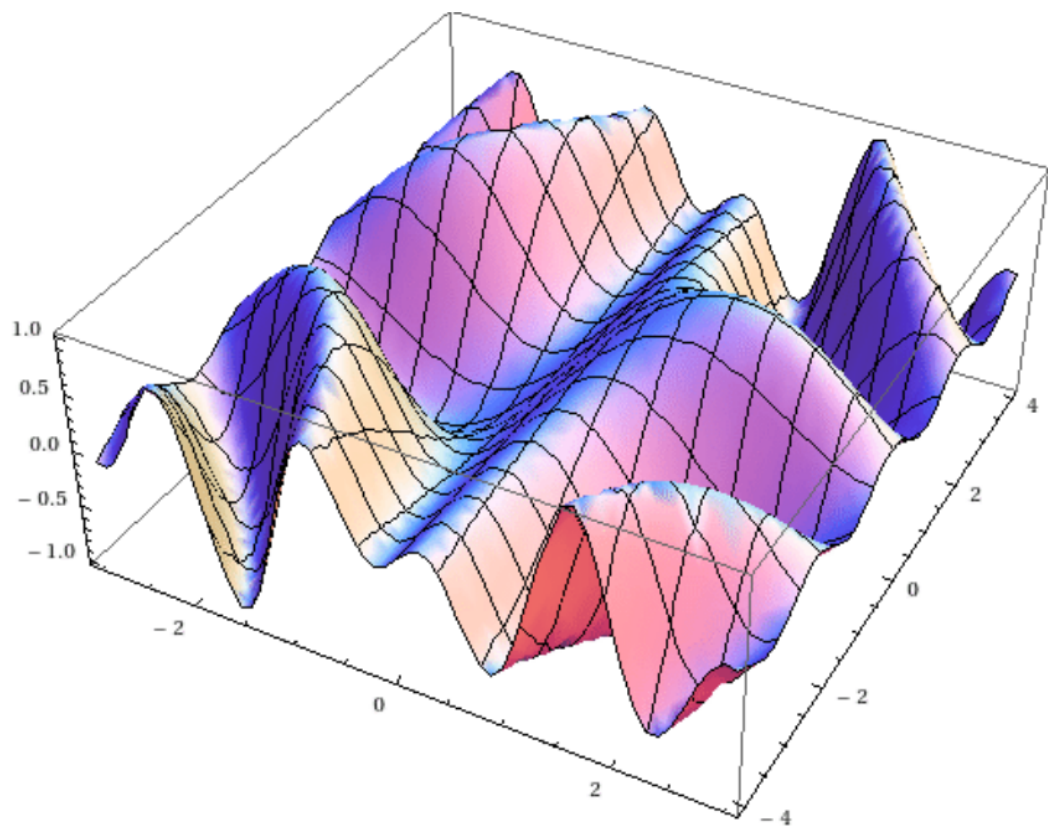
Für die allgemeinen Flcke ist das viel zu wenig! In den Anwendungen ist man ja nicht bloß an funktionalen Zusammenhängen reeller Zahlen interessiert sondern will/muss viele allgemeine funktionale Zusammenhänge modellieren, z.B. gefüllig?

Temperatur in Wien heute Früh

Jeder Pkt in Wien-modelliert als eben - also als Taumenge $W \subseteq \mathbb{R}^2$ - wird die Temperatur an genau diesem Ort heute früh um 6:00 zugeordnet. Das ergibt eine Flkt

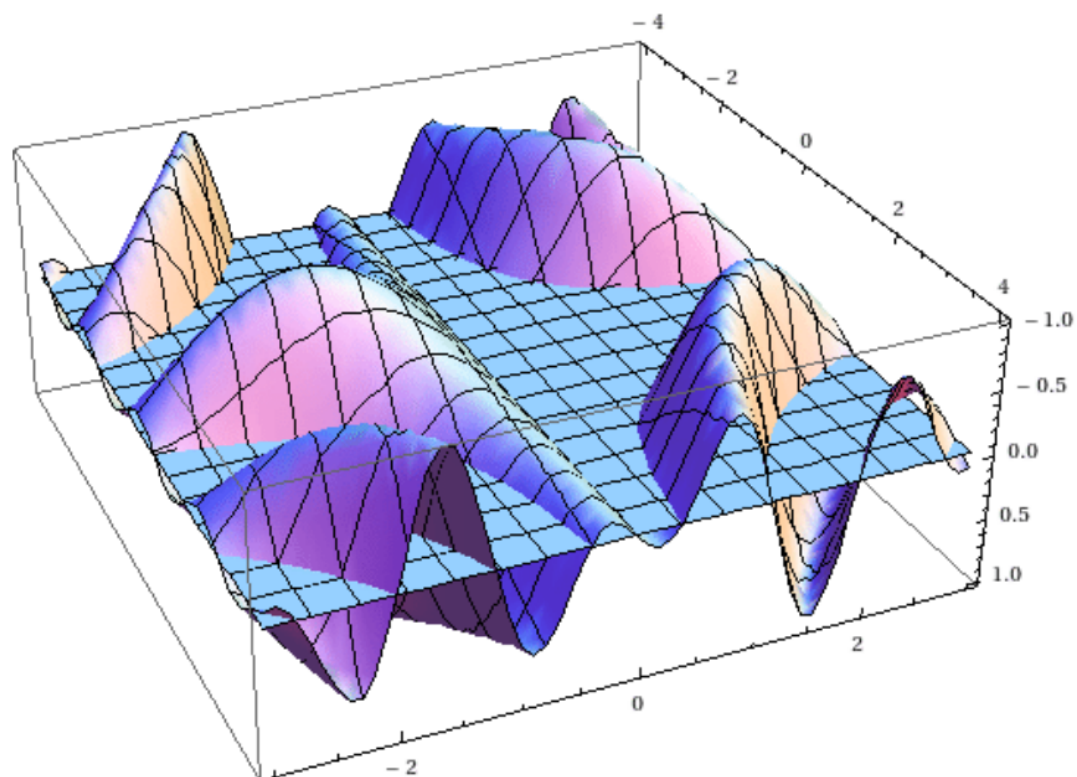
$$\begin{aligned} T: W &\subseteq \mathbb{R}^2 \rightarrow \mathbb{R} \\ (x, y) &\mapsto T(x, y) \end{aligned}$$

Der Graphen $G(T) := \{(x, y, T(x, y))\} \subseteq \mathbb{R}^3$ der Temperaturflk kann veranschaulicht werden:



mögliche Graph der Temperaturfkt.

Schnitt des Graphen der Tempfkt mit der (x, y) -Ebene:
Plote um Graphen entweder der (x, y) -Ebene sind gefährlich: Dert spielt es?



Strömung in Flüssigkeiten.

Jeden Punkt an der Oberfläche eines Flusses wird die Fließgeschwindigkeit an diesem Punkt zugeordnet - dabei wird die Fließgeschwindigkeit als 2-dim Vektor modelliert, der in Richtung der Strömung zeigt und dessen Länge gleich (dem Betrag) der Geschwindigkeit ist. Es ergibt sich eine Flut

$$V: \mathbb{R}^2 \rightarrow \mathbb{R}^2$$

$$(x, y) \mapsto v(x, y)$$



In der Physik ist die Geschwindigkeit immer ein Vektor

Daraus ergibt sich die Notwendigkeit Funktionen-

$$\left\{ f: \mathbb{R}^n \rightarrow \mathbb{R}^m \quad (n, m > 1) \right.$$

zu studieren, obwohl eine Analysis mehrdim Flut bzw. Analysis in mehreren (reellen) Variablen zu betrachten.

Wie wirken sich $m > 1$, $n > 1$ aus?

$\hookrightarrow m=1=n$ ist dann der einfachste Spezialfall

Man könnte evtl. meinen, dass sich die mehrdim Analysis irgendwie leicht aus der 1-d Analysis "zusammensetzen" lässt. Das ist aber in vielen Bereichen nicht so und es treten "neue Effekte" auf!

Leitfaden:

$n \rightarrow$ bringt neue Effekte (2)

$$f: \mathbb{R}^n \rightarrow \mathbb{R}^m$$

$m > 1$ bringt zu-
höchst wenig Neues
aber mehr Arbeit
(1)

(1) Jede Fkt $f: \mathbb{R}^n \rightarrow \mathbb{R}^m$ ($m > 1$) kann in m -stück Fkt $f: \mathbb{R}^n \rightarrow \mathbb{R}$ zerlegt werden.

$$\mathbb{R}^n \ni x \mapsto f(x) \in \mathbb{R}^m$$

Komponenten
im \mathbb{R}^m

$$= (f_1(x), f_2(x), \dots, f_m(x))$$

Jedes $f_i: \mathbb{R}^n \rightarrow \mathbb{R}$ ($1 \leq i \leq m$) ist oh. „Komponentenfkt“ von f und statt einer Fkt $f: \mathbb{R}^n \rightarrow \mathbb{R}^m$ können wir oft die m -stück $f_1, \dots, f_m: \mathbb{R}^n \rightarrow \mathbb{R}$ betrachten

Also sind Fkt $f: \mathbb{R}^n \rightarrow \mathbb{R}$ die „Grundbausteine“ der mehrdim. Analysis

ABER

(2) Fkt $f: \mathbb{R}^n \rightarrow \mathbb{R}$ haben es in sich & bringen viel Neues

$$\boxed{\mathbb{R}^n \ni x \mapsto f(x) \in \mathbb{R}}$$

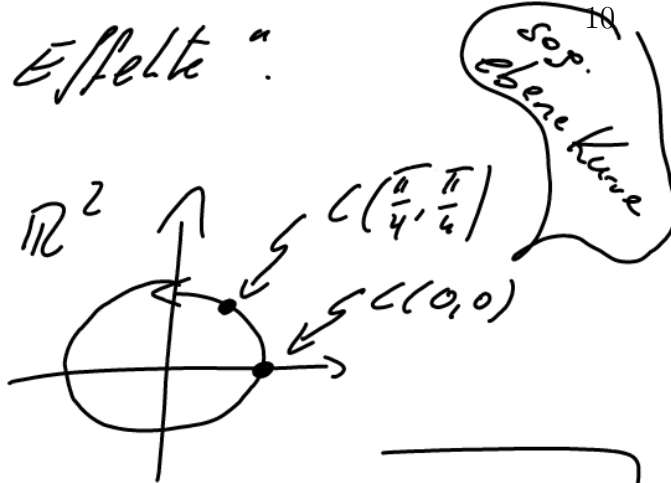
$$x = (x_1, x_2, \dots, x_n) \quad f(x) = f(x_1, \dots, x_n)$$

Zwar kann man $x \in \mathbb{R}^n$ in seine Komponenten zerlegen aber das führt nicht wie in (1) zu einer „Entkopplung“ der Variablen x_1, \dots, x_n .

Hier entstehen also die „neuen Effekte“.

Zu Verdunkelung 2 Bsp:

$$C: \mathbb{R} \ni (0, \pi) \rightarrow \mathbb{R}^2 \\ t \mapsto \begin{pmatrix} \cos(t) \\ \sin(t) \end{pmatrix}$$



z.B.: $t=0 \mapsto \begin{pmatrix} \cos(0) \\ \sin(0) \end{pmatrix} = \begin{pmatrix} 1 \\ 0 \end{pmatrix}$

$$t=\frac{\pi}{4} \mapsto \begin{pmatrix} \cos(\frac{\pi}{4}) \\ \sin(\frac{\pi}{4}) \end{pmatrix} = \begin{pmatrix} 1/\sqrt{2} \\ 1/\sqrt{2} \end{pmatrix}$$

gibt x- & y-Komponente
des Funktionswerts an

Die Zerlegung von $\cos(x)$ in $C_1(x) = \cos(x)$, $C_2(x) = \sin(x)$
führt zu einer umfassenderen Beschreibung von f

$$\left\{ f: D^2 = \{(x,y) : x^2 + y^2 \leq 1\} \subseteq \mathbb{R}^2 \rightarrow \mathbb{R} \right.$$

$$(x,y) \mapsto \sqrt{1 - (x^2 + y^2)}$$

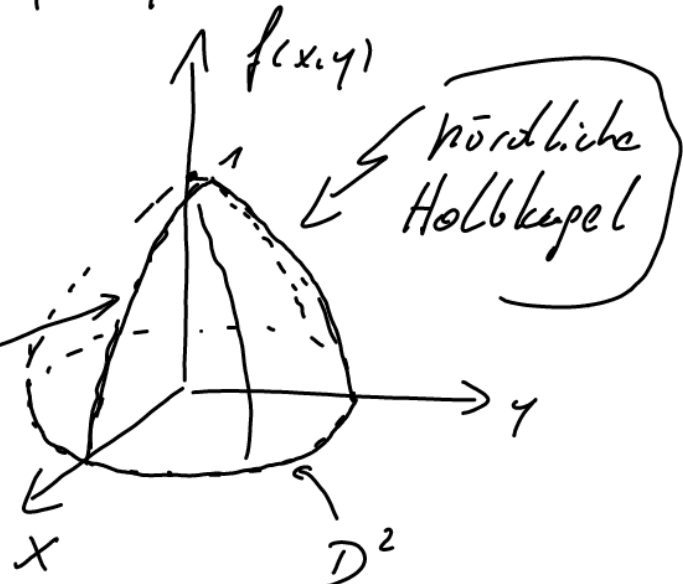
z.B.: $(0,0) \mapsto 1$

(x,y) mit $x^2 + y^2 = 1 \mapsto 0$

am Rand der Scheibe

$(0,y) \mapsto \sqrt{1-y^2}$

Höhenraster über x-Achse



Im Ausdruck $\sqrt{1-(x^2+y^2)}$ können die Variablen x,y nicht getrennt werden.

2. neue Effekte /

A.4 MEHRDIM ANALYSIS - INHALTE

Der Kern der Analysis ist ja (vgl. A.1) die Differenzial- und Integralrechnung. Das ist auch in der mehrdim. Analysis so. Das beschreibt aber ob Grundlage den Konvergenz Begriff im Def- & Zielbereich.

Daher beginnt das

KAP 6 DIFFERENTIALRECHNUNG IM \mathbb{R}^n

mit
und

$\left\{ \begin{array}{l} \text{FOLGEN \& KONVERGENZ in } \mathbb{R}^n \\ \text{STETIGKEIT von FKT } \mathbb{R}^n \rightarrow \mathbb{R}^m \end{array} \right.$

1. Überschreitungen

Dann geht's zur

MEHRDIM DIFFERENTIALRECHNUNG

Diese kann offensichtlich nicht mittels Differenzial-rechnungen aufgebaut werden:

$$\frac{f(x+h) - f(x)}{h} = \frac{f(x+h_1, x_2 + h_2) - f(x_1, x_2)}{(h_1, h_2)}$$

$x = (x_1, x_2)$
 $h = (h_1, h_2)$

HOPPLA:
Was soll das
heißen?
[dividieren durch Vektor?]

Vielmehr muss die

Kernidee der Ableitung als ein Bestapproximation [vgl 13] 1.18, 1.20 verwendet werden

Das nachfolgende

KAP 7 | MEHRDIM INTEGRALRECHNUNG

widmet sich vor allem den Verallgemeinerungen des Integralbegriffs und des HsDI - der Integralsätze von Lebesgue & Stokes.

Um einen ersten Eindruck davon zu erhalten betrachten wir folgenden Teil des HsDI:

$$\left\{ \int_0^b f'(t) dt = f(x) \Big|_0^b \right\}$$

→ — ← Funktion
am Rand

Integral über die Ableitung

In präziser Allgemeinheit sagen die Integralsätze

$$\left\{ \int_M df = \int_N f \right\}$$

M — — N

„schönes“ n-dim „Gebiet“

(gepunktete Ableitung von f)

Rand von N ≈ „schönes“ (n-1)-dim „Gebiet“

A. 5 Ausblick 2: KOMPLEXE ANALYSIS

Auch Teil
der losen
Titels
Von de

Als Range gilt natürlich $C = \mathbb{R}^2$

Aber C hat zusätzlich eine „eigene“

Körperstruktur [C ist ein Körper; vgl. [10] 1.4]

[Nebenbemerkung: Auf \mathbb{R}^n , $n \geq 3$ gibt es keine Körperstruktur. Es gibt (immer) schwächere Ersatzstrukturen, die weit nicht soviel bringen. [vgl. auch ENA, Abschnitt 6.6]]

$n=4$: QUATERNIONEN (Schiefförper, d.h. Mult. nicht kommutativ)
 $n=8$: OKTAVEN (Mult. nicht assoz.)]

Also: Eine Flkt

$f: C \rightarrow C$ ist mehr als eine Flkt $f: \mathbb{R}^2 \rightarrow \mathbb{R}^2$

Insbesondere kann in der Differenzialrechnung der Differenzientient verändert werden

$$\frac{f(z+h) - f(z)}{h} \quad \text{Division in } C \text{ geht klar}$$

Es ergibt sich eine reiche [soll heißen: mit viel schöner Struktur] Theorie, die KOMPLEXE ANALYSIS (in einer Variable) über Grundf. von am Ende der Kurz kennengelernt werden.

A.6 „BLÖDE“ FRAGE:

Und warum nicht gleich $f: \mathbb{C}^n \rightarrow \mathbb{C}^m$?

Da wird es schnell viel schwieriger - man ist auch nicht Teil des Bachelor-Studiengangs.

15] FUNKTIONENFOLGEN & -REIHEN

In diesem Kapitel wollen wir obo Funktionenfolgen & Funktionenreihen - obo Folgen bzw Reihen deren Glieder Fkt sind - und vor allem ihre Konvergenz studieren

Noch eine Begriffsbestimmung werden wir uns in [§ 1] um die 2 grundlegenden Konvergenzbegriffe kümmern:
Punktwweise Konvergenz & gleichmäßige Konvergenz
 Wie in [A1] angedeutet gilt es hier nach den einen richtigen Begriff, sondern viele Möglichkeiten mit jenseits anderer Eigenschaften. Insbesondere werden wir uns die Frage nach "Permanenzeigenschaften" stellen: Welche Eigenschaften der Folgeglieder (z.B. Skizze) bleibt im Limes erhalten?

Wir werden die glm. Konvergenz mittels einer Norm beschreiben & diese dazu verwenden ein konkaves Konvergenzkriterium f. Funktionenreihen zu bereisen: den Satz v. Weierstraß. Dann werden wir uns ausführlich mit der Frage beschäftigen, ob der Limes von Funktionenfolgen mit Ableitung bzw Integral verändert, also die Frage ob etwa $f_n \rightarrow f \Rightarrow f_n' \rightarrow f'$ gilt.

In einem Zwischenstück werden wir dann 2 Bsp sehr gründlich studieren - Bsp, die später immer wieder auftauchen werden.

In $\overline{\S 2}$ werden wir Potenzreihen studieren; diese sind von der Form
 $(*) \sum_{k=0}^{\infty} \alpha_k x^k$ ($\alpha_k \in \mathbb{C}$, die sog. Koeffizienten, $x \in \mathbb{C}$)

Sie verallgemeinern Polynome in dem Sinn, dass in (*) die Summe nicht ab. Wir werden uns intensiv mit den Konvergenzregeln von PR beschäftigen - dabei wird es sich ob natürlich erlassen ins Komplexe zu gehen; also statt (*) Ausdrücke der Form

$$\sum_{k=0}^{\infty} c_k z^k \quad (c_k \in \mathbb{C}, z \in \mathbb{C})$$

zu betrachten. Daraus werden wir auch Einfüges in f schon vorsorglich für $f: \mathbb{C} \rightarrow \mathbb{C}$ formulieren - Aber keine Angst: \mathbb{C} sorgt hier nicht für zusätzliche Probleme, sondern für zusätzliche Klarheit

In $\overline{\S 3}$ beschäftigen wir uns dann mit Taylorreihen. Wir werden dabei schöne Funktionen $f: \mathbb{D} \rightarrow \mathbb{D}$ aus ihren (hohen) Ableitungen an einer einzigen Stelle rekonstruieren - und zwar in Form einer Potenzreihe.

Alle diese Themen sind bisher schon aufgeblättert - um deutlichsten bei den Exponentenreihen [vgl. H] 6.37, [R] 3.12]

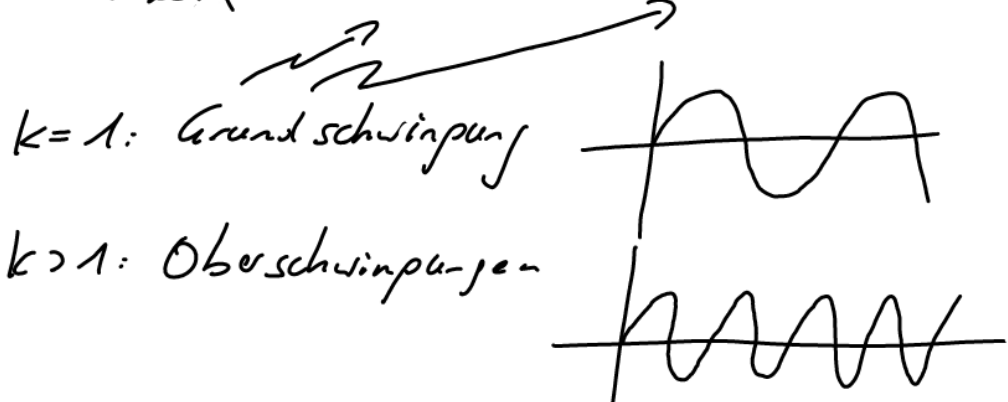
$$\exp(z) = \sum_{k=0}^{\infty} \frac{z^k}{k!} \quad \left\{ \begin{array}{l} \text{dies ist eine PR \&} \\ \text{auch TR} \end{array} \right.$$

Im abschließenden $\overline{\S 4}$ werden wir einen kurzen Abriss der

Theorie der Fourier-Reihen geben. Sie ermöglicht es periodische Fkt durch „Polynome in \sin & \cos “ den sog. trigonometrischen Polynome anzunehmen.

Wir betrachten oho Fkt der Form

$$f(x) = \frac{a_0}{2} + \sum_{k=1}^{\infty} (a_k \cos(kx) + b_k \sin(kx))$$



Das entspricht einer Zerlegung von f in Grund- und Oberschwingungen - oho in ihre Frequenzanteile.

Dieses Prinzip eröffnet eine ganze Welt von Anwendungen [Physik, Elektrotechnik, Signalübertragung, Mobilkommunikation, MP3-Format,...] und auch weitreichende theoretische Entwicklungen im Rahmen der Funktionalanalysis.

in gewissen Sinne die Funktionalanalyse
von (lin. Algebra & Analyse)

Skizzieren von Vektorräumen von Fkt, diese
sind unendlichdimensional und
benötigen \sum statt \sum^{dim}

F1 PUNKTWEISE & GLEICHMÄSIGE KONVERGENZ

1.1. MOTIVATION (Funktionenfolgen und -reihen)

(i) Begriffsbestimmung. Cf 11] Def 2.1. ist eine Folge in
(einer Menge) M eine Abb $\alpha: \mathbb{N} \rightarrow M$ Schreibweise $\alpha_n = \alpha(n)$
 $(\alpha_n)_n$ für die punktfölgc

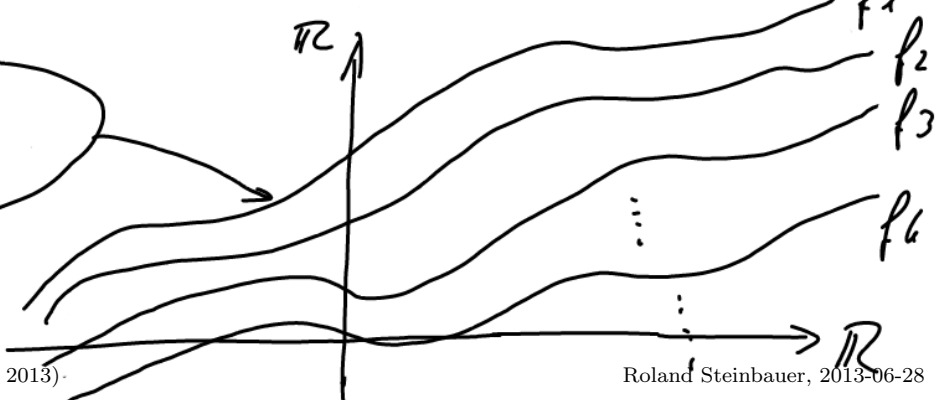
Bisher haben wir in den allermeisten Fällen $M = \mathbb{R}$ gesetzt und somit sogenannte reelle Folgen betrachtet. Den Fall $M = \mathbb{C}$ haben wir in 12] Exkurs 3.10. betrachtet. Dieser reicht kantekonzeptuelle Neuerungen auf da jede komplexe Folge in Real- & Imaginärheit - also in zwei reelle Folgen - zerlegt werden kann [nichts Neues aber doppelt so viel Arbeit vgl. 12] 3.10(E)]

Nach wollen wir Funktionenfolgen betrachten also den Fall, dass M eine Menge von Funktionen ist, z.B. $M = \{f: \mathbb{R} \rightarrow \mathbb{R}\}$ (Menge aller reellen Fkt), $M = C(\mathbb{R}; \mathbb{C})$ (Menge aller stetigen Funktionen auf \mathbb{R} mit Werten in \mathbb{C}) oder $M = C^1([0, 1])$ (Menge der stetig diffbaren Fkt auf $[0, 1]$).

Falls der Zierraum nicht angegeben ist, dann ist \mathbb{R} gemeint

Schaffen wir z.B. $M = C(\mathbb{R}, \mathbb{R}) = \mathcal{C}(\mathbb{R})$, so können wir eine entsprechende Folge $(f_n)_{n \in \mathbb{N}}$ etwa so veranschaulichen [offizielle Def unten]

1. Folgeglied ist die
Punktfkt $f_1: \mathbb{R} \rightarrow \mathbb{R}$
usw.



(ii) Wozu Funktionenfolgen? Reelle Folgen und ihre Konvergenz haben wir als essentiellen Begriff und als wichtiges Werkzeug kennengelernt. Ähnlich zentral für die Analysis sind Funktionenfolgen.

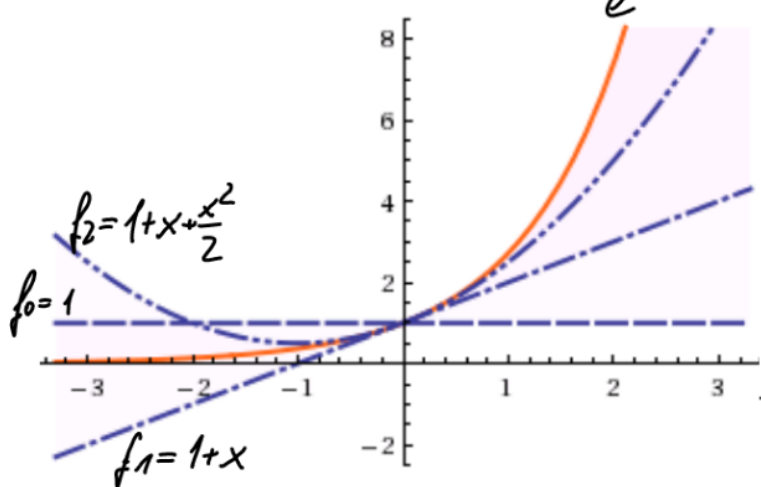
(iii) Okay, Konvergenz von Funktionenfolgen, aber wie?

Eine naheliegende Idee ist es, die Konvergenz der Bildpunkte ins Spiel zu bringen, also für fixes x die Folge $(f_n(x))_n$ in $\mathbb{R} \setminus \{\infty\}$ zu betrachten. Diese Idee führt auf den Begriff der punktweisen Konvergenz von Funktionenfolgen [affidelle Def unten].

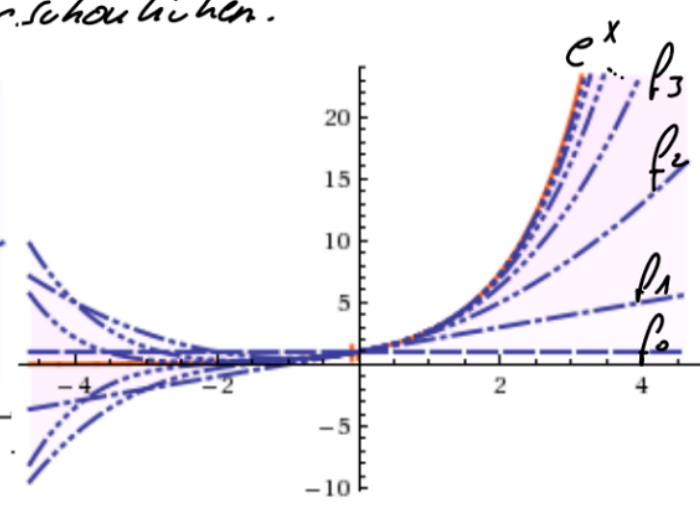
(iv) Ja, aber hatten wir so was nicht schon? Ja klar, bei der Exponentialfkt. Dies ist ja [1] 4.37] definiert als der Limit der Exponentialreihe, genauer ($x \in \mathbb{R}$ oder

$$\begin{aligned} \exp(x) &= \sum_{k=0}^{\infty} \frac{x^k}{k!} = \lim_{n \rightarrow \infty} \sum_{k=0}^n \frac{x^k}{k!} \quad \text{oder } [2] 3.12 \\ &= \lim_{n \rightarrow \infty} \underbrace{\left(1 + x + \frac{x^2}{2} + \frac{x^3}{6} + \dots + \frac{x^n}{n!} \right)}_{f_n \text{ n-te Partialsumme der Exp-Reihe}} \end{aligned}$$

Graphisch können wir das so veranschaulichen.



(order n approximation shown with n dots)



(order n approximation shown with n dots)

20
dass schließt insbesondere $A \subseteq \mathbb{R}$ mit ein

1.2 DEF (Funktionsfolge) Sei M eine Menge von Funktionen, die alle auf $A \subseteq \mathbb{C}$ definiert sind und Werte in \mathbb{R} oder \mathbb{C} annehmen. [d.h. $M = \{f: A \rightarrow \mathbb{R} / \mathbb{C}\} | f \dots\}$

Eine Folge in M [vgl. 19.2.1] heißt Funktionsfolge auf A .

eukl. bestimmte Eig.
wie oben stabil, ...

Wir schreiben für die Folge meist $(f_n)_{n \in \mathbb{N}}, (f_n)_n$ oder (f_n) . [Jedes $f_n \in M$ also $f_n: A \rightarrow \mathbb{R} / \mathbb{C}$]

1.3. DEF (Punktwise Konvergenz)

Eine Funktionsfolge (f_n) auf A konvergiert punktwise gegen eine Fkt $f: A \rightarrow \mathbb{R} / \mathbb{C}$, falls

$\forall x \in A: f_n(x) \rightarrow f(x) \text{ in } \mathbb{K}$

Betrags
 \mathbb{R} bzw \mathbb{C}

d.h. $\forall x \in A \quad \forall \varepsilon > 0 \quad \exists N = N(x, \varepsilon) \quad \forall n \geq N \quad |f_n(x) - f(x)| < \varepsilon$

N hängt von ε
und x ab?

1.4 Bsp (Punktwise konv. Funktionsfolgen)

(i) Sei $A = [0, 1]$, $f_n(x) = x^n$ ($n \geq 1$)

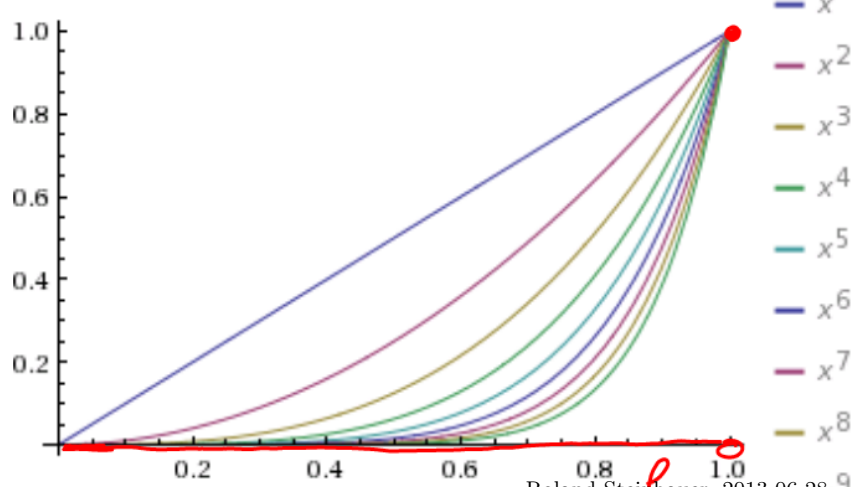
Es gilt

$$f_n(0) = 0 \quad \forall n$$

$$f_n(1) = 1 \quad \forall n$$

$$f_n(x) \rightarrow 0 \quad \forall x \in (0, 1)$$

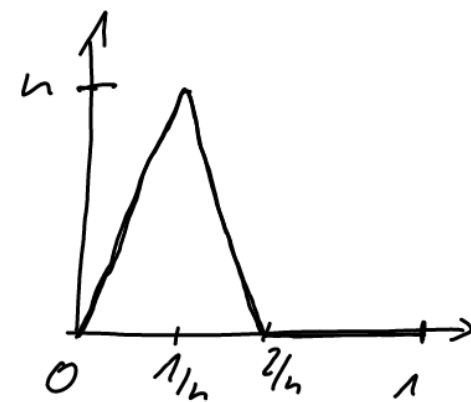
[17.1.5]



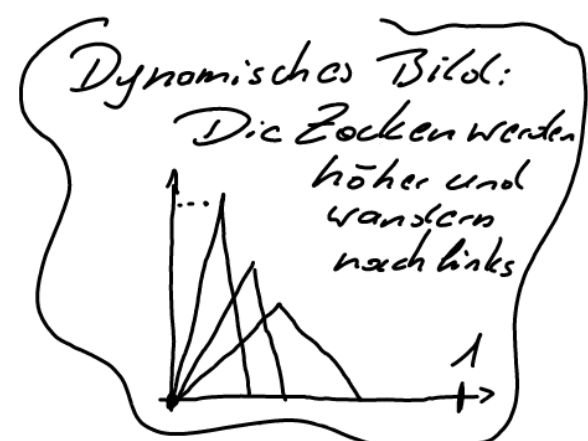
Aber gilt $f_n \xrightarrow{\text{pktw}} f$ mit $f(x) = \begin{cases} 0 & 0 \leq x < 1 \\ 1 & x = 1 \end{cases}$

(ii) Sei $f_n: [0, 1] \rightarrow \mathbb{R}$ von der Form

[d.h. $f_n(x) = \begin{cases} n^2 x & (0 \leq x \leq 1/n) \\ -n^2 x + 2n & (1/n \leq x \leq 2/n) \\ 0 & \text{sonst} \end{cases}$]



Dann gilt $f_n \rightarrow 0$ pktw, denn
 $f_n(0) = 0$ für alle n
 $\forall x > 0 \exists N$ sodass $2/N < x$
 $(N \text{ hängt von } x \in D \text{ ab})$ und daher
 $\forall n \geq N: 2/n < x$ und somit $f_n(x) = 0$.



Wenn man nur lange genug wartet ($bis n^2/x$)
sind die Reckel an x vorbeigegangen.



1.5 BEM (Punktwise Konvergenz ist ein schroches Konzept)

So natürlich das Konzept der pktw. Konv. auch ist [vgl. 1.1(iii)] es hat erhebliche Nachteile

(A) Schöne Eigenschaften der f_n gehen im Limes verloren.
z.B. sind in 1.6(ii) alle f_n stetig, die Limesfkt aber nicht.

(B) Pktw. Konv. ist blind für „wandende Plätze“. So gilt in 1.6(ii) $f_n \rightarrow 0$ pktw obwohl $f_n(1/n) = n \rightarrow \infty$

„wandender Platz“

Die Ursache für beide Phänomene liegt darin begründet, dass die Konvergenz von $f_n(x)$ für jedes x separat behandelt wird und keine Rücksicht auf eine passende „Gleichmäßigkeit“ der Konvergenz in verschiedenen Plätzen genommen wird.

Ein Konzept, das darauf Rücksicht nimmt lernen wir jetzt kennen.

1.6 DGF (Gleichmäßige Konvergenz)

Eine Funktionenfolge (f_n) auf $A \subseteq \mathbb{C}$ konvergiert gleichmäßig gegen $f: A \rightarrow \mathbb{R} [\mathbb{C}]$, falls

$$\left\{ \forall \varepsilon > 0 \exists N = N(\varepsilon) \forall n \geq N \forall x \in A |f_n(x) - f(x)| < \varepsilon. \right.$$

(hängt nur von ε ab)

(Betrug in
 $\mathbb{R} [\mathbb{C}]$)

1.7 BEM (Glm & pltw. Konvergenz)

(i) Wir vergleichen die beiden Defs 1.3 und 1.6:

$$f_n \rightarrow f \text{ pltw: } \Leftrightarrow \forall x \forall \varepsilon \exists N \forall n \geq N |f_n(x) - f(x)| < \varepsilon$$

$$f_n \rightarrow f \text{ glm: } \Leftrightarrow \forall \varepsilon \exists N \forall n \geq N \forall x |f_n(x) - f(x)| < \varepsilon$$

Wir sehen, dass „ $\forall x$ “ bei der pltw. Konv. vor „ $\exists N$ “ steht bei der glm. obv. dahinter. Doher hängt das N bei der pltw. Konv. von ε und x ab (ist also ein $N(\varepsilon, x)$), bei der glm. Konv. nur von ε (ist also nur ein $N(\varepsilon)$). [vgl. die analoge Situation bei Stetigkeit (in allen Plätzen) vs glm Stetigkeit, 12] 2.15]

Doher ist die glm. Konvergenz die stärkere Bedingung

$$\left[\forall \varepsilon \exists N \forall n \geq N \forall x \dots \Rightarrow \forall x \forall \varepsilon \exists N \forall n \geq N \text{ weil bei} \right]$$

gegebenem ε für jedes x sogar dasselbe N gewählt werden kann.] und es gilt

$$\boxed{f_n \rightarrow f \text{ plm.} \Rightarrow f_n \rightarrow f \text{ plktw.}}$$

(ii) Folgende einfache Umformulierung von (*) in Def 1.6 ist oft nützlich: Es gilt

$$\forall x \in A \quad |f_n(x) - f(x)| \leq \varepsilon \iff \sup_{x \in A} |f_n(x) - f(x)| \leq \varepsilon$$

und daher [vgl. 1.6]

$$\boxed{f_n \rightarrow f \text{ plm} \iff \sup_{x \in A} |f_n(x) - f(x)| \rightarrow 0}$$

Vergleichen wir nochmals mit der plktw. Konvergenz,

$$f_n \rightarrow f \text{ plktw} \iff \forall x \quad |f_n(x) - f(x)| \rightarrow 0,$$

so wird noch einmal klar, dass plm. Konv. der stärkere Begriff ist. Die Umkehrung ist falsch, wie das folgende Bsp 1.8 zeigt. Also gilt insgesamt

$$\left\{ \text{plm Konv} \rightleftharpoons \text{plktw Konv} \right\}$$

für Vorbereitung der angekündigten Bsp. bemerken wir noch
(iii) Falls $f_n \rightarrow f$ plktw und f_n überhaupt plm konvergiert, dann stimmen plktw. und plm. Limes überein,
also, $\boxed{f_n \rightarrow f \text{ auch plm.}}$

$\left\{ \text{spezielle Fkt. doch immer} \right\}$

Denn aus $f_n \rightarrow f$ pktw und $f_n \rightarrow f$ gln

$\stackrel{(i)}{\Rightarrow} f_n \rightarrow f$ pktw und daher insgesamt

$\forall x \in A: f_n(x) \rightarrow f(x)$ und

$f_n(x) \rightarrow f(x)$ in $\mathbb{R} \setminus \{b\} \cup \{c\}$

Eind. d. Limw

$$\stackrel{(ii)}{\Rightarrow} f(x) = f(x) \quad \forall x \in A \Rightarrow f = f$$

1.1 2.21

pilt auch in \mathbb{C} : spalte in Re & Im auf

1.8 BSP (pktw konv $\not\Rightarrow$ gln konv.)

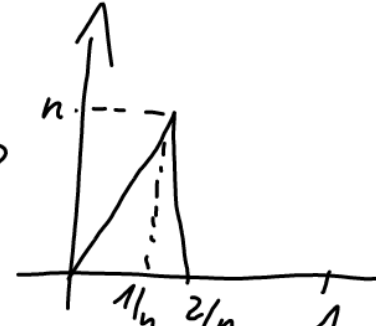
Sei (f_n) wie in 1.4(iii), d.h. $f_n: [0, 1] \rightarrow \mathbb{R}$

Wir haben gezeigt, dass $f_n \rightarrow 0$ pktw.

Jetzt zeigen wir, dass f_n nicht gln konv.

Angenommen doch, also f_n gln konv

$$\stackrel{1.7(iii)}{\Rightarrow} f_n \rightarrow 0 \text{ gln} \stackrel{1.7(ii)}{\Rightarrow} \sup_{x \in [0,1]} |f_n(x) - 0| = \sup_{x \in [0,1]} |f_n(x)| \rightarrow 0$$



Dies widerspricht aber

$$\sup_{x \in [0,1]} |f_n(x)| = f_n\left(\frac{1}{n}\right) = n \rightarrow \infty \quad (n \rightarrow \infty)$$

1.9 BSP (gln Konv. der Exponentialreihe auf kp. Intervallen)

Wir betrachten auf $A = [-m, m]$ ($m > 0$ beliebig)

$$f_n(x) = \sum_{k=0}^n \frac{x^k}{k!} \quad \begin{array}{l} \text{(n-te Partialsumme} \\ \text{der Exp. Reihe in } x \end{array}$$

Wegen 1.1 4.36, 4.37 gilt $\forall x \in \mathbb{R}: f_n(x) \rightarrow e^x$, also

insbesondere $f_n \rightarrow e^x$ pktw auf $[-m, m]$. [vgl. auch 1.1(iii)]

Wir zeigen jetzt, dass sogar $f_n \rightarrow \exp$ plm auf $[-m, m]$ gilt. Dazu bemühen wir (ein weiteres Mal) die Restgliedabschätzung aus [1] 4.62:

$$\left(\text{exp}(x) = f_n(x) + R_{n+1}(x) \text{ und } |R_{n+1}(x)| \leq 2 \frac{|x|^{n+1}}{(n+1)!} \right)$$

$\forall x \text{ mit } |x| \leq 1 + h/2$

Daher gilt $|R_n| \geq 2(m-1)$ $[\Rightarrow m \leq 1 + h/2]$

$$\sup_{x \in [-m, m]} |f_n(x) - \exp(x)| \leq \underbrace{2 \frac{m^{n+1}}{(n+1)!}}_{[UE, BC. 3 \quad 13(3)]} \xrightarrow{n \rightarrow \infty} 0$$

1.10 MOTIVATION (Werum plm Konv. besser als plkt. K. ist)

Von den beiden Mängeln der plkt. Konvergenz, die wir in 1.5. besprochen haben, ist für die plm. Konv. (B) ausgeschlossen, vgl. 1.8. Ebenso wichtig ist, dass (A) ebenfalls verbessert werden kann. Wie das folgende Thm besagt bleibt Stetigkeit im plm. Limes erhalten.

1.11 THM (Glm Konv. & Stetigkeit)

Sei $(f_n)_n$ eine Folge stetiger Funktionen auf $A \subseteq \mathbb{C}$. Falls $f_n \rightarrow f$ plm konvergiert, dann ist f stetig auf A .

[Kurz gesagt: Der plm Limes stetiger Fkt. ist stetig.]

Beweis. [„klassischer $\varepsilon/3$ -Beweis“]

Sei $x \in A$ beliebig. Wir zeigen, dass f stetig in x ist.

Sei $\varepsilon > 0$ $f_n \rightarrow f$ pglm

$$\Rightarrow \exists N \forall x \in A \quad |f_N(x) - f(x)| < \varepsilon/3 \quad (*)$$

fur stetig
in x

$\exists \delta > 0 \forall x' \in A$ mit $|x - x'| < \delta$:

$$|f_N(x) - f_N(x')| < \varepsilon/3 \quad (**)$$

$\Rightarrow \forall x' \in A$ mit $|x - x'| < \delta$:

$$|f(x) - f(x')| \leq |f(x) - f_N(x)| + |f_N(x) - f_N(x')| + |f_N(x') - f(x')|$$

1-kgpl

$$\leq \underbrace{\varepsilon/3}_{(*)}, \underbrace{\varepsilon/3}_{(**)} + \varepsilon/3 = \varepsilon$$

$\Rightarrow f$ stetig in x .

□

1.12 WARNUNG + ZEM (Mit plaus. K. geht das nicht!?)

(i) Thm 1.11 gilt nicht, falls statt plus konv.
nur plaus. Konv. vorausgesetzt wird. Ein expliziter
Gegenbsp ist Bsp 1.4(ii), denn $f_n(x) = x^n$ auf
 $[0, 1]$ ist stetig für, aber

$$f_n \xrightarrow{\text{plaus}} f, \text{ wobei } f(x) = \begin{cases} 0 & 0 \leq x < 1 \\ 1 & x = 1 \end{cases}$$

und f ist nicht stetig in $x = 1$; vgl. 1.5(A).

(ii) Diese Tatsache kann man für folgende Schlußweise
einsetzen:

Gilt $f_n \rightarrow f$ pktw und alle f_n sind stetig, ob
ist f unstetig, dann gilt $f_n \not\rightarrow f$ pkm. \hookrightarrow siehe auch [UE]

1.13 Motivation & Ausblick (Konvergenz & Abstandsmessung)

(i) Unser nächstes Ziel ist es, die pkm. Konv. von Funktionenfolgen auf eine nützliche Art umzuformulieren. Beachten wir dazu nochmals die Konvergenz von Folgen in $\mathbb{R}[C]$:

$$x_n \rightarrow x \Leftrightarrow \forall \epsilon > 0 \exists N \in \mathbb{N} \quad |x - x_n| < \epsilon$$

Hier spielt $|x_n - x|$ die Rolle eines „Abstands“ zwischen den reellen oder komplexen Punkten x_n und x



sodass wir schreiben können:

$$x_n \rightarrow x \Leftrightarrow \text{"Abstand von } x_n \text{ zu } x" \rightarrow 0 \quad (\times)$$

Um eine analoge Formulierung für die pkm. Konv. zu erhalten, müssen wir einen passenden Abstandsbegriff für Funktionen finden. Vergleichen wir (*) mit der Formulierung in 1.7(ii), nämlich

$$f_n \rightarrow f \text{ glm} \Leftrightarrow \sup_{x \in A} |f_n(x) - f(x)| \rightarrow 0$$

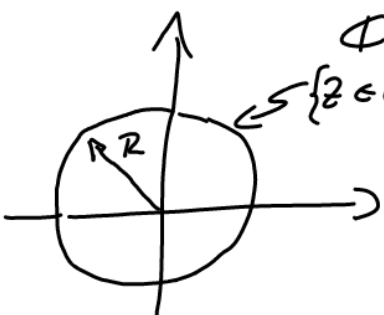
so liegt es auf der Hand für 2 Fkt auf A zu definieren

"Abstand von f zu g " := $\sup_{x \in A} |f(x) - g(x)|$. max Abstand der Fktswerte, "Dicke" vgl. A.2

(ii) In $\mathbb{R}[x]$ beruht der Abstandsbeispiel $|x-y|$ ja auf dem Begriff des Betrags. Analog dazu lässt sich obige Abstandsbeispiel auf einen Begriff bauen, der – analog zum Betrag, der die Größe einer Zahl misst – die Größe einer Fkt misst.

$$-x \quad x$$

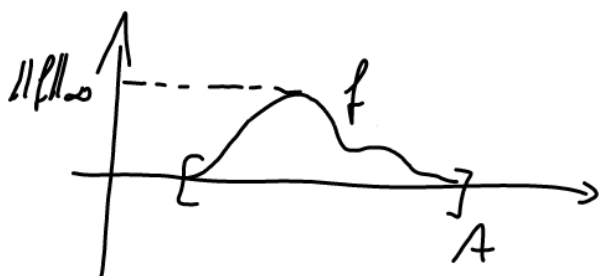
$|x|$ misst den Abstand von $\pm x$ zu 0, also die Größe von $\pm x$



alle komplexen Zahlen auf dem Kreis haben dieselbe "Größe", nämlich R

So erhalten wir die Unendlichnorm bzw Supremumnorm [offizielle Definitionen]

$$\|f\|_\infty = \sup_{x \in A} |f(x)|$$



$\|f\|_\infty$ ist im wesentlichen der betragsmäßig größte Wert von f

(iii) Es lassen sich noch viele weitere „Größenbegriffe“ sprich Normen für Funktionen finden. Prominent Bsp sind etwa ($A = [0, b]$)

1-Norm

$$\|f\|_1 := \int_0^b |f(t)| dt$$

Im Wesentlichen die Fläche unter f (vgl. A.2)

2-Norm; wichtig für Fourier-Reihen

$$\|f\|_2 := \left(\int_0^b |f(t)|^2 dt \right)^{\frac{1}{2}}$$

die ja rats nach dem Schema
 $f_n \rightarrow f$ im Sinne der $\|\cdot\|_*$ $\Leftrightarrow \|f_n - f\|_* \rightarrow 0$

einen eigenen Konvergenz Begriff erzeugt.

Das Studium von Vektorräumen von Fkt mit verschiedenen Normen ist Teil des math. Gebiets der

FUNKTIONALANALYSIS



der in gewisser Weise die Analysis mit der Lin. Algebra zusammenführt.

$\|V\& Konvergenz$

Nun offiziell

1.14 DEF ($\|\cdot\|_\infty$) Sei $A \subseteq \mathbb{C}$ und $f: A \rightarrow \mathbb{R} [\mathbb{C}]$.
 Wir definieren die Unendlichnorm oder Supremum-norm von f (auf A) ob

$$\|f\|_{\infty, A} := \sup_{x \in A} |f(x)|$$

und setzen $\|f\|_{\infty, A} = \infty$, falls f auf A unbeschränkt ist.

Falls A aus den Zusammenhang klar ist, schreiben wir nur $\|f\|_\infty$.

1.15 BEOBSCHTUNG (für $\|\cdot\|_\infty$)

- (i) Tatsächlich gilt $\|f\|_\infty \in \mathbb{R}_0^+ \cup \{\infty\}$ dann z.B.
 $\|0\|_\infty = 0$, $\|x\|_{\infty, [0,1]} = 1$, $\|1/x\|_{(0,1]} = \infty$.

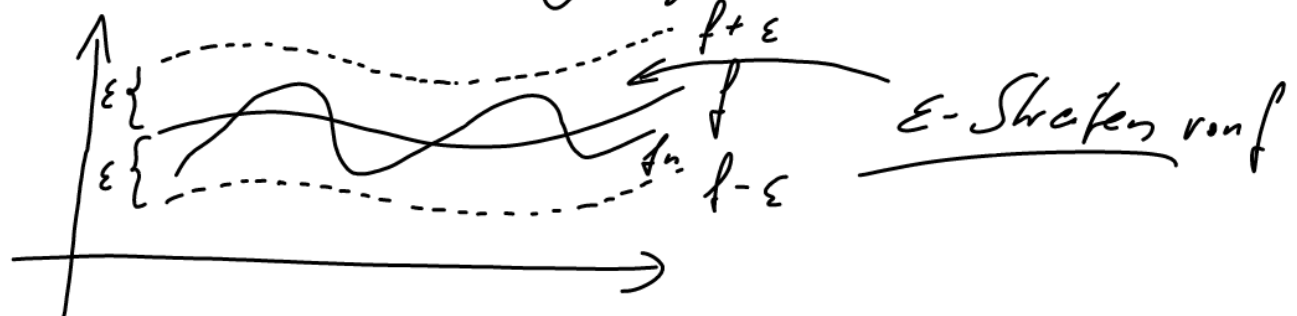
(ii) Es gilt f beschränkt [\square 2.10 $|f(x)| \leq C \forall x$]
genau dann, wenn $\|f\|_\infty < \infty$

(iii) Wie in 1.13(i), (ii) diskutiert gilt [vgl. 1.7(iii)]

$$\boxed{f_n \rightarrow f \text{ p.l.m.} \Leftrightarrow \|f_n - f\|_\infty \rightarrow 0} \quad \text{bzw}$$

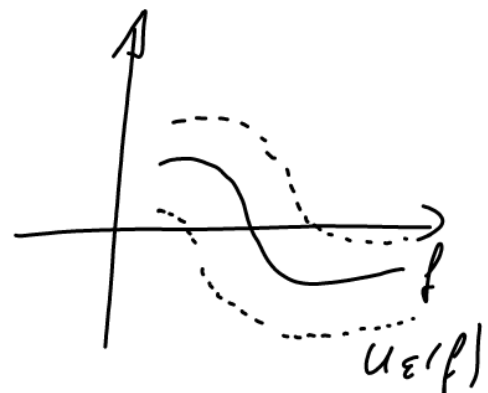
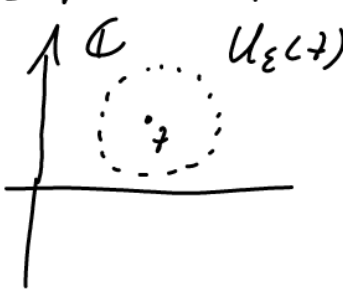
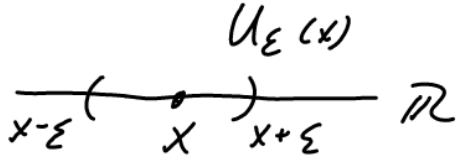
$$f_n \rightarrow f \text{ p.l.m.} \Leftrightarrow \forall \varepsilon > 0 \exists N \forall n \geq N \underbrace{\|f_n - f\|_\infty < \varepsilon}_{(*)}.$$

Bedingung (*) lässt sich gut graphisch darstellen.



$\|f_n - f\|_\infty = \sup_{x \in A} |f_n(x) - f(x)| < \varepsilon$ bedeutet ja, dass $f_n(x)$ nie weiter als ε von $f(x)$ entfernt ist, f_n also im ε -Straifen zwischen $f-\varepsilon$ und $f+\varepsilon$ liegt.

(iv) Der ε -Straifen spielt also hier die Rolle der ε -Umgebungen in \mathbb{R} bzw \mathbb{C} und wird daher auch als ε -Umgebung $U_\varepsilon(f)$ von f bezeichnet



1.16 Motivation ($\|\cdot\|_\infty$ und Konv. v. Funktionenreihen)

Wie wir oben besprochen haben ist $\|\cdot\|_\infty$ der zentrale Begriff, der eine anschauliche Formulierung der plan. Konvergenz ermöglicht. Sie erlaubt ohne auch öfters praktische Formulierungen, wie wir im folgenden wichtigen Satz über die Konvergenz von Funktionenreihen sehen können.

1.17 THM (Satz von Weierstraß)

Sei (f_n) eine Funktionenfolge auf $A \subseteq \mathbb{C}$.
 Falls die Reihe $\sum_{k=0}^{\infty} \|f_k\|_\infty$ konvergiert,
 dann gilt:

(i) Für alle $x \in A$ konvergiert $\sum_{k=0}^{\infty} f_k(x)$ absolut.

[Wir sagen: die Funktionenserie $\sum_{k=0}^{\infty} f_k$ konvergiert absolut]

(ii) Sei $F(x) := \sum_{k=0}^{\infty} f_k(x)$ dann konvergiert

$\sum_{k=0}^n f_k \rightarrow F$ gleichmäßig

[Wir sagen die Funktionenserie $\sum_{k=0}^{\infty} f_k$ konv. plan.]

Eine beliebte Kurzform des Thms lautet: Falls $\sum \|f_k\|_\infty < \infty$, dann konv. die Funktionenserie $\sum_{k=0}^{\infty} f_k$ absolut & gleichmäßig]

Beweis. (i) Wir zeigen: $\sum_{k=0}^{\infty} f_k(x)$ konv. obs. $\forall x \in A$

Sei $x \in A, k \in \mathbb{N}$. Es gilt ob. da $|f_k(x)| \leq \|f_k\|_\infty$
 $\Rightarrow \sum \|f_k\|_\infty$ ist eine konv. Majorante für $\sum |f_k(x)|$
 $\xrightarrow{[A]G.1P(c)} \sum |f_k(x)|$ konvergiert.

(ii)

(1) Gewinnen eines Kandidaten für den plm Limes

$(i) \Rightarrow \sum |f_k(x)|$ konv $\forall x \in A \xrightarrow{[H]G.16} \sum f_k(x)$ konv $\forall x$

Wir können daher für $x \in A$ definieren $\bar{F}(x) := \sum_{k=0}^{\infty} f_k(x)$

(2) Wir zeigen: $\bar{F}_n := \sum_{k=0}^n f_k \rightarrow \bar{F}$ plm

Sei $\varepsilon > 0$.

(CP)[A]G.3+[J]Z.28

$\sum_{k=0}^{\infty} \|f_k\|_\infty$ konv $\Rightarrow \exists N \forall n \geq N \sum_{k=n+1}^{\infty} \|f_k\|_\infty < \varepsilon \quad (*)$

Sei $x \in A$, dann gilt für $n \geq N$

$|F_n(x) - \bar{F}(x)| = \left| \sum_{k=n+1}^{\infty} f_k(x) \right| \leq \sum_{k=n+1}^{\infty} |f_k(x)|$

Verallg. A-Ungl
vgl. [H]G.42

$\xrightarrow{[J]Z.28} \leq \sum_{k=n+1}^{\infty} \|f_k\|_\infty \stackrel{(*)}{<} \varepsilon$.

Also gilt $F_n \rightarrow \bar{F}$ plm.

[7]

1.18 BSP (obs & plm konv. Funktionenreihen)

(i) Nochmals die Exponentialreihe. Sei $A = [-m, m]$ ($m > 0$).

Wir betrachten $f_k(x) = \frac{x^k}{k!}$ ($k \in \mathbb{N}$)

Es gilt $\|f_k\|_{\infty, A} = m^k/k!$ und daher

$$\sum_{k=0}^{\infty} \|f_k\|_{\infty} = \sum_{k=0}^{\infty} \frac{m^k}{k!} = e^m < \infty$$

$$\xrightarrow{\text{Wieso?}} \sum_{k=0}^{\infty} f_k = \sum_{k=0}^{\infty} x^k/k! \text{ konv plm auf } [-m, m],$$

was ein alternativer Beweis zu 1.P. ist.

(ii) Auf \mathbb{R} betrachten wir $f_k(x) = \frac{\cos(kx)}{k^2}$ ($k \geq 1$)

$$\text{Es gilt } \|f_k\|_{\infty} = \frac{1}{k^2} \Rightarrow \sum_{k=1}^{\infty} \|f_k\|_{\infty} = \sum_{k=1}^{\infty} \frac{1}{k^2} < \infty \quad [\text{Hilfssatz}]$$

und daher konvergiert $\sum_{k=1}^{\infty} \frac{\cos(kx)}{k^2}$ obs & plm (auf \mathbb{R}).

1.19 MOTIVATION (Vertauschen von Lim & Integral)

Wir betrachten nun die folgende Frage: Gegeben seien $f_n: [0, b] \rightarrow \mathbb{R}$ und f_n konv. gegen eine Grenzfkt. f .

Die Integrale $\int f_n$ seien bekannt. Was können wir über das Integral der Grenzfkt $\int f$ sagen?

Gilt $(\int f_n) \rightarrow (\int f)$, d.h. gilt

Folge in \mathbb{R}

$$\lim \int f_n = \int \lim f_n ?$$

Verklausche.
von Lim & \int

Wie wir gleich sehen werden bedeutet ob die Antwort ja
im Folge plm. konv. & nñ für plktv. Konv.

1.20 PROP (Vertauschung von Limes & Integral)

Sei $f_n: [0, b] \rightarrow \mathbb{R}$ eine plm. konv. Folgeschreier Fkt.

Dann gilt

$$\int_a^b \lim_{n \rightarrow \infty} f_n(t) dt = \lim_{n \rightarrow \infty} \int_a^b f_n(t) dt$$

Beweis. [erfreulich kurz & einfach] Wir sehen $f(x) = \lim_{n \rightarrow \infty} f_n(x)$

$\stackrel{1.11}{\Rightarrow} f$ ist stetig auf $[a, b]$

$\stackrel{1.12(iii)}{\Rightarrow} f_n, f \text{ R-integrabel auf } [ab]$

Schließlich gilt

$$\left| \int_a^b f(t) dt - \int_a^b f_n(t) dt \right| \leq \int_a^b |f(t) - f_n(t)| dt$$

$\stackrel{1.15(iii)}{\leq} \int_a^b M dt$

$$\stackrel{1.19}{\leq} (b-a) \|f_n - f\|_\infty \xrightarrow{f_n \rightarrow f \text{ plm}} 0.$$

□

1.21 BSP (Integral einer Funktionenreihe)

Sei $f_n(x) = \sum_{k=1}^n \frac{\cos(kx)}{k^2}$ ($n \geq 1, x \in [0, 2\pi]$). In 1.18(iii) haben

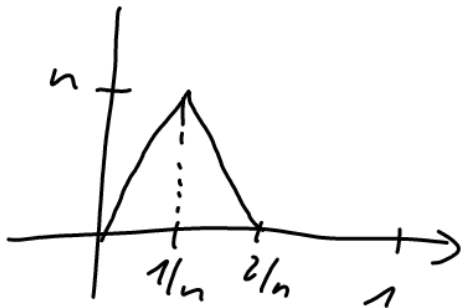
wir gezeigt, dass f_n plm. konvergiert. Daraus gilt mit 1.20 für $t \in [0, 2\pi]$

$$\begin{aligned}
 & \int_0^t \sum_{k=0}^{\infty} \frac{\cos(kx)}{k^2} dx = \int_0^t \lim_{n \rightarrow \infty} \sum_{k=0}^n \frac{\cos(kx)}{k^2} dx \quad [4] 1.15(ii) \\
 & \stackrel{1.10}{=} \lim_{n \rightarrow \infty} \int_0^t \sum_{k=0}^n \frac{\cos(kx)}{k^2} dx = \lim_{n \rightarrow \infty} \sum_{k=0}^n \frac{1}{k^2} \int_0^t \cos(kx) dx \\
 & = \lim_{n \rightarrow \infty} \sum_{k=0}^n \frac{1}{k^2} \left. \frac{\sin(kx)}{k} \right|_0^t = \sum_{k=0}^{\infty} \frac{\sin(kt)}{k^3} \quad \text{Mehr dazu in §7, UE}
 \end{aligned}$$

1.22 Warnung (Plaus. Limes vertauscht nicht mit ∫)

Wir betrachten noch einmal die „Zackenfunktionen“ aus 1.6(ii). Es gilt

$$\int_0^1 f_n(t) = \frac{2}{n} \cdot \frac{1}{2} n = 1 \neq f_n$$



$$\text{aber } \int_0^1 \lim f_n = \int_0^1 0 = 0 \quad [4] 6(iii) \quad [\neq 1 = \lim \int_0^1 f_n]$$

1.23 Rotation (Vertauschen von Limes & Ableitung)

Jetzt wollen wir uns die analoge Frage über die Vertauschbarkeit von Limes einer Funktionenfolge mit dem Differenzieren stellen; wir wollen also herausfinden ob bzw. unter welchen Umständen

$$(\lim f_n)' = (\lim f_n)'$$

gilt. Hier ist die Situation komplizierter ob im Falle der Integration - insbesondere reicht (bei höheren als diffbar vorausgesetzten f_n 's) auch die plaus. Konv. von

Wieso ist
berechnet
ist
„einfache“
oder diff.
Integration
als diff.

für nicht ows, wie wir unten sehen werden. zunächst aber das pos. Resultat.

1.24 Prop (Vertauschen von Lim & Differenzieren)

Sei $f_n: [0, b] \rightarrow \mathbb{R}$ eine Folge stetig differenzierbarer Funktionen.

Sei f plm. konvergent gegen $f: [0, b] \rightarrow \mathbb{R}$ und sei die Folge der Ableitungen f'_n plm. konvergent.
Dann ist f stetig differenzierbar und es gilt

$$f' = (\lim f_n)' = \lim (f'_n)$$

Beweis [wieder erfreulich einfach und kurz...]

Wir setzen $\rho(x) := \lim f'_n(x) \stackrel{1.11}{\Rightarrow} \rho: [0, b] \rightarrow \mathbb{R}$ stetig (x)

f_n stetig differenzierbar $\stackrel{HsDI}{\Rightarrow} \forall x \in [0, b] \exists n$

$$f_n(x) = f_n(0) + \int_0^x f'_n(t) dt$$

$$f(x) = f(0) + \int_0^x \rho(t) dt$$

$$\begin{aligned} f'_n \rightarrow \rho \text{ plm} &\stackrel{1.20(n \rightarrow \infty)}{\Rightarrow} \\ d/dx &\stackrel{HsDI}{\Rightarrow} \\ f'(x) &= 0 + \rho(x) \end{aligned}$$

Schließlich ist $\rho = f'$ stetig [$(*)$], also $f \in C^1$!

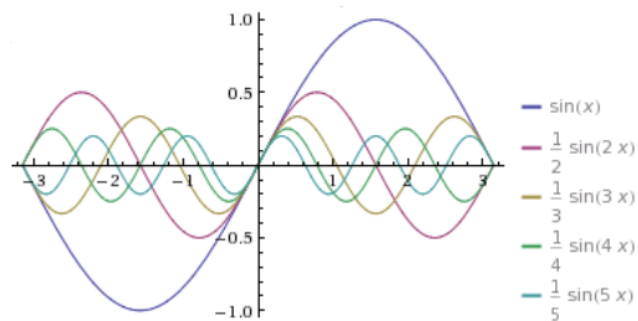
]

1.25 Wazwung & Ausblick?

- Die plm Konv. von f_n reicht - selbst wenn alle f_n stetig differenzierbar sind - nicht einmal dafür aus,

dass $f_n'(x)$ (auch nach)plaus. konvergiert. Ein explizites Bsp dafür ist ($n \geq 1$)

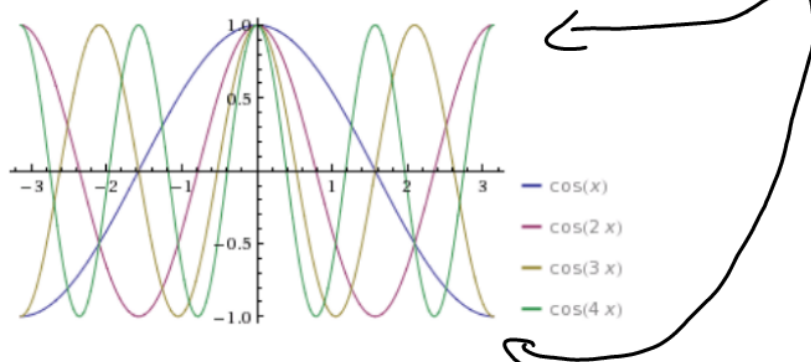
$$\left\{ f_n(x) = \frac{\sin(nx)}{n} \right.$$



Es gilt $\|f_n\|_\infty = 1/n \rightarrow 0 \Rightarrow f_n \rightarrow 0$ glm.

aber $f_n'(x) = \cos(nx)$ ist nicht plaus. konvergent, denn setzt z.B. $x = \pi$, dann gilt

$$f_n'(\pi) = \cos(n\pi) = \begin{cases} 1 & n \text{ gerade} \\ -1 & n \text{ ungerade} \end{cases}$$



(ii) Die Situation wird bedeutend einfacher, wenn man nur speziellere Typen von Funktionenfolgen/reihen betrachtet - z.B. die Potenzreihen, denen wir uns in §2 gewandt haben.

ZWISCHENSPIEL: SÄGEFAHN - & HAIFISCHFAHN - FUNKTION

2.1 INTRO. In diesem Zwischen-spiel wollen wir ausführlich 2 Beispiele diskutieren, die im späteren Verlauf mehrmals auftreten werden. Wir verwenden die beiden Funktionen rechts:

$$\left\{ \sum_{k=1}^{\infty} \frac{\sin(kx)}{k} \quad (S) \quad \text{and} \quad \sum_{k=1}^{\infty} \frac{\cos(kx)}{k^2} \quad (H) \right.$$

untersuchen und vor allem die Summenfunktionen berechnen. Dabei werden wir einiges aus unserem bisher gesammelten Wissen verwenden. Wir beginnen mit einer Anwendung der part. Integration, die vielfachig verwendbar ist.

2.2 SATZ (Lemma von Riemann-Lebesgue)

Sei $f \in C^1([0, b]; \mathbb{R})$. Für $k \in \mathbb{R}$ definieren wir

$$F(k) := \int_0^b f(x) \sin(kx) dx.$$

Dann gilt

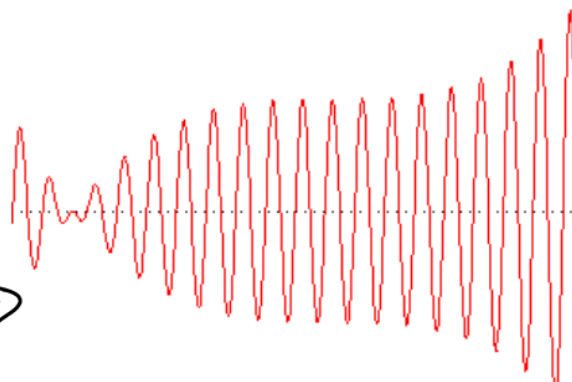
$$\lim_{|k| \rightarrow \infty} F(k) = 0.$$

Die Funktion $\sin(kx)$ gibt eine zehl., die kont. abhängt. Nur lange lange

2.3 BEM (Die anschauliche Bedeutung des L.v.R.L.)

Die Behauptung des Satzes lässt sich anschaulich so interpretieren. Die immer schneller Oszillation

von $\sin(kx)$ löscht im Integral schone $f'_1(x)$ -Teile
weiter „ herausgezählt.“



Das Integral einer solchen
Fkt ist klein, die positiven &
negativen Teile löschen
sich beriesch aus.

Wenn die Frequenz der Oszillation
 $\rightarrow \infty$ geht, geht das Integral 0

Beweis. L. Voraussetzung f, f' stetig auf $[0, b]$

12) 2.11 $\Rightarrow f, f'$ beschränkt auf $[0, b]$

d.h. $\exists M > 0 : \|f\|_{\infty, [0, b]}, \|f'\|_{\infty, [0, b]} \leq M$ (*)

1.15 (ii)

Sei $k \neq 0$, dann gilt

$$F(k) = \int_0^b f(x) \sin(kx) dx$$

$$= f(x) \frac{\cos(kx)}{k} \Big|_0^b - \frac{1}{k} \int_0^b f'(x) \cos(kx) dx$$

$$\begin{aligned} \Rightarrow |F(k)| &\leq \frac{1}{|k|} |f(x)| \Big|_0^b + \frac{1}{|k|} \int_0^b |f'(x)| dx \\ &\stackrel{(*)}{\leq} \frac{2M}{|k|} + \frac{1}{|k|} (b-a) M \rightarrow 0 \quad (k \rightarrow \infty) \end{aligned}$$

□

Z.4 Lemma (Eine trigonometrische Summenformel)

Sei t kein ganzzahliges Vielfaches von 2π . Dann gilt ferner

$$\sum_{k=1}^n \cos(kt) = \frac{\sin((n+\frac{1}{2})t)}{2 \sin(\frac{1}{2}t)}$$

*o leid
Voraussetzung

Beweis. L. d. d. gilt $\cos(kt) = \frac{1}{2}(e^{ikt} + e^{-ikt})$ [vgl. [1] 3.17(iii)]

$$\Rightarrow \sum_{k=1}^n \cos(kt) = \frac{1}{2} \sum_{k=1}^n e^{ikt} + \frac{1}{2} \sum_{k=1}^n e^{-ikt}$$

$$= \frac{1}{2} \sum_{k=-n}^n e^{ikt} - \frac{1}{2}$$

Kommeinre
den Term
mit $k=0$

$$\Rightarrow \underbrace{\frac{1}{2} + \sum_{k=1}^n \cos(kt)}_{\text{geo. Reihe}} = \frac{1}{2} \sum_{k=-n}^n e^{ikt} = \frac{1}{2} e^{-int} \sum_{k=0}^{2n} e^{ikt}$$

$$= \frac{1}{2} e^{-int} \frac{1 - e^{i(2n+1)t}}{1 - e^{it}} = \frac{1}{2} \frac{e^{-int} - e^{i(n+1)t}}{1 - e^{it}}$$

$$= \frac{1}{2} \frac{e^{i(n+1)t} - e^{-int}}{e^{it} - 1} = \frac{1}{2} \frac{e^{i(n+\frac{1}{2})t} - e^{-i(n+\frac{1}{2})t}}{e^{it/2} - e^{-it/2}}$$

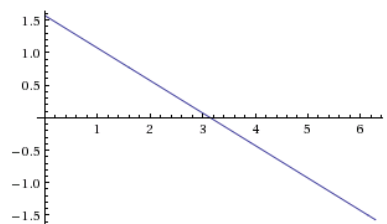
$$= \frac{1}{2} \frac{\sin((n+\frac{1}{2})t)}{\sin(t/2)}$$

[]

7.5 BSP (Punktdar. Konvergenz für (s))

Für $0 < x < 2\pi$ gilt

$$\sum_{k=1}^{\infty} \frac{\sin(kx)}{k} = \frac{\pi - x}{2}$$



Tatsächlich haben wir für $0 < x < 2\pi$

$$\frac{\pi - x}{2} \text{ auf } (0, 2\pi)$$

$$\sum_{k=1}^n \frac{\sin(kx)}{k} = \sum_{k=1}^n \int_{\pi}^x \cos(kt) dt = \int_{\pi}^x \sum_{k=1}^n \cos(kt) dt$$

$$= \int_{\pi}^x \left(\frac{\sin((n+\frac{1}{2})t)}{2\sin(t/2)} - \frac{1}{2} \right) dt = \int_{\pi}^x \frac{1}{2\sin(t/2)} \sin((n+\frac{1}{2})t) dt - \frac{x-\pi}{2}$$

$$\rightarrow \frac{\pi - x}{2}$$

$\in C^1(0, 2\pi)$

→ 0 [1, 2]

7.6 Spezialfall. Schen wir in 7.5 $x = \frac{\pi}{2}$ so erhalten wir

$$\sum_{k=1}^{\infty} \frac{\sin(k\frac{\pi}{2})}{k} = \sum_{k=0}^{\infty} \frac{(-1)^k}{2k+1} = 1 - \frac{1}{3} + \frac{1}{5} - \frac{1}{7} + \dots = \frac{\pi}{4}$$

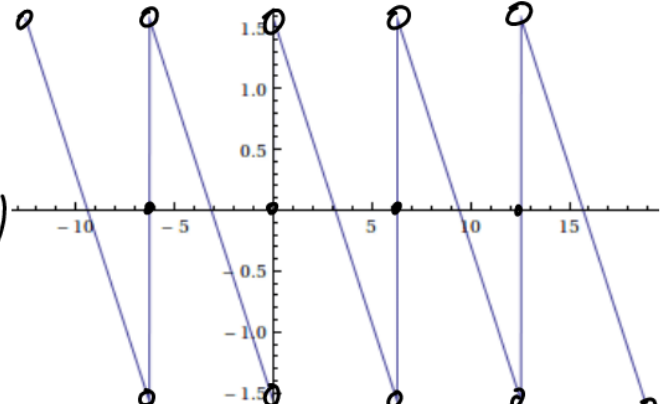
$$\sin(k\frac{\pi}{2}) = \begin{cases} 0 & k \text{ gerade} \\ (-1)^{\frac{k-1}{2}} & k \text{ ungerade} \end{cases}$$

Schöne & berühmte Formel

7.7 Die Sägewahlfkt. Wir definieren $s: \mathbb{R} \rightarrow \mathbb{R}$ als periodische Fortsetzung von $\frac{\pi-x}{2}$, d.h.

$$\begin{cases} s(0) = 0 \\ s(x) = \frac{\pi-x}{2} \quad (x \in (0, 2\pi)) \end{cases}$$

$$s(x+2n\pi) = s(x) \quad (n \in \mathbb{Z}, x \in [0, 2\pi])$$



Noch 7.5 gilt

[Die Sägewahlfkt auf $(-\pi, \pi)$]

$$s(x) = \sum_{k=1}^{\infty} \frac{\sin(kx)}{k} \quad \forall x \in (0, 2\pi). \quad \text{Für } x=0 \text{ stimmt}$$

die Aussage trivialweise. Schließlich gilt sie ebenso für $2n\pi < x < 2(n+1)\pi$ ($n \in \mathbb{Z}$), weil $\sin(k(x+2n\pi)) = \sin(kx)$. Also gilt $\forall x \in \mathbb{R}$ (im Sinne der pktw. Konv.)

$$\sum_{k=1}^{\infty} \frac{\sin(kx)}{k} = s(x) \quad \text{die sop. Sägewahlfkt.}$$

7.8 Die glmr. Konvergenz der Fourierfunktion?

(i) Die Konvergenz in 7.7 kann nicht auf ganz \mathbb{R} sein, weil die PS $\sum_{k=1}^n \frac{\sin(kx)}{k}$ stetig $f_{n \in \mathbb{N}}$ ist, aber die Gleichheit unrichtig [vgl. 1.12(iii)].

(ii) Tatsächlich ist die Konvergenz plm. auf allen Intervallen der Form $[\delta, 2\pi - \delta]$ ($\delta > 0$).

$$\text{Es gilt nämlich } \forall x \in [\delta, 2\pi - \delta] \text{ mit } s_n := \sum_{k=1}^n \sin(kx)$$

$$|s_n(x)| = \left| \sum_{k=1}^n \sin(kx) \right| \leq \left| \sum_{k=1}^n e^{ikx} \right| = \left| e^{ix} \sum_{k=0}^{n-1} e^{ikx} \right|$$

$$= |e^{ix}| \left| \sum_{k=0}^{n-1} e^{ikx} \right|$$

$$\stackrel{\text{geom. R.}}{=} \left| e^{ix} \right| \left| \frac{1 - e^{inx}}{1 - e^{ix}} \right| \leq \frac{2}{|1 - e^{ix}|}$$

$$= \underbrace{\frac{2}{|e^{ix/2}|}}_{=1} / \underbrace{\frac{1}{e^{ix/2} - e^{-ix/2}}} = \frac{1}{|\sin(\frac{x}{2})|} \leq \frac{1}{\sin(\delta/2)} \quad (*)$$

kleinster Wert von $\sin(x/2)$ auf $[\delta, 2\pi - \delta]$
 unabhängig von x

Nun folgt $\forall m \geq n > 0$

$$\left| \sum_{k=n}^m \frac{\sin(kx)}{k} \right| = \left| \sum_{k=n}^m \frac{s_k(x) - s_{k-1}(x)}{k} \right|$$

$$\sum_{k=n}^m \frac{\sin(kx)}{k} = \sum_{k=n}^m \frac{s_k(x) - s_{k-1}(x)}{k}$$

$$= \sum_{k=n}^m \frac{s_k(x)}{k} - \sum_{k=n}^m \frac{s_{k-1}(x)}{k}$$

$$\begin{aligned} & \sum_{k=n}^m \frac{s_{k-1}}{k} = \sum_{c=h-1}^{m-1} \frac{s_c}{c+1} \\ & = \sum_{c=n}^m \frac{s_c}{c+1} - \frac{s_m}{m+1} + \frac{s_{n-1}}{n} \end{aligned}$$

$$= \left| \sum_{k=n}^m s_k(x) \left(\frac{1}{k} - \frac{1}{k+1} \right) + \frac{s_m}{m+1} - \frac{s_{n-1}}{n} \right|$$

$$\stackrel{(*)}{\leq} \frac{1}{\sin(\frac{\delta}{2})} \left(\frac{1}{h} - \frac{1}{m+1} + \frac{1}{m+1} + \frac{1}{n} \right) = \frac{2}{h \sin(\frac{\delta}{2})}$$

$$\Rightarrow \left| \sum_{k=n}^{\infty} \frac{\sin(kx)}{k} \right| \leq \frac{2}{h \sin(\frac{\delta}{2})} \quad \forall x \in [\delta, 2\pi - \delta] \quad (**)$$

Daraus folgt nun die behauptete plan. Konvergenz: $\forall x \in [d, 2\pi - d]$
 gilt $\left| \sum_{k=1}^{n-1} \frac{\sin(kx)}{k} - S(x) \right| = \left| \sum_{k=n}^{\infty} \frac{\sin(kx)}{k} \right| \leq \frac{2}{n \sin(\frac{x}{2})} \rightarrow 0$

unabhängig von x ?

Z. 9 Bsp (Die Hufeis Zahnräder) \leftarrow Achtung: Keine offizielle Terminologie

Wir berechnen $\sum_{k=1}^{\infty} \frac{\cos(kx)}{k^2} =: H(x)$

($x \in \mathbb{R}$)

Jetzt geht's Schlag auf Schlag

• 1.18(iii) $\Rightarrow \sum \frac{\cos(kx)}{k^2}$ (konv. plan) $\stackrel{1.11}{\Rightarrow} H$ stetig auf \mathbb{R}

• Die differenzierbare Reihe ist $- \sum_{k=1}^{\infty} \frac{\sin(kx)}{k}$

Z. 8 $\Rightarrow - \sum_{k=1}^{\infty} \frac{\sin(kx)}{k} = \frac{x-\pi}{2}$ glm auf jedem $[d, 2\pi - d]$

1.24 $\Rightarrow H'(x) = \frac{x-\pi}{2} \quad \forall x \in (0, 2\pi) \leftarrow$ jedes solche liegt in einem $[d, 2\pi - d]$

$\stackrel{\text{Int}}{\Rightarrow} H(x) = \left(\frac{x-\pi}{2} \right)^2 + c$ ($c \in \mathbb{R}$ eine Konstante) \leftarrow muss auch

und war H stetig ist $\forall x \in [0, 2\pi]$? \leftarrow am Rand so müssen $\boxed{R} 1.26$

• Daraus können wir c mittels Integration bestimmen

$$\begin{aligned} \int_0^{2\pi} H(x) dx &= \int_0^{2\pi} \left(\frac{x-\pi}{2} \right)^2 dx + \int_0^{2\pi} c dx = \left[\frac{(x-\pi)^3}{12} \right]_0^{2\pi} + 2\pi c \\ &= \frac{\pi^3}{6} + 2\pi c \end{aligned}$$

Andererseits gilt $\int_0^{2\pi} \cos(kx) dx = 0 \quad \forall k \geq 1$
 und H ist plan (times)

$$\stackrel{1.20}{\Rightarrow} \int_0^{2\pi} H(x) dx = \int_0^{2\pi} \sum_{k=1}^{\infty} \frac{\cos(kx)}{k^2} dx = \sum_{k=1}^{\infty} \int_0^{2\pi} \frac{\cos(kx)}{k^2} dx = 0$$

$$\Rightarrow C = -\pi^2/12$$

Damit gilt also $\sum_{k=1}^{\infty} \frac{\cos(kx)}{k^2} = \left(\frac{x-\pi}{2}\right)^2 - \frac{\pi^2}{12}$ für $x \in [0, 2\pi]$

plm. Limos

Definieren wir wie vorher die periodische Fortsetzung

von $\left(\frac{x-\pi}{2}\right)^2 - \frac{\pi^2}{12}$ also

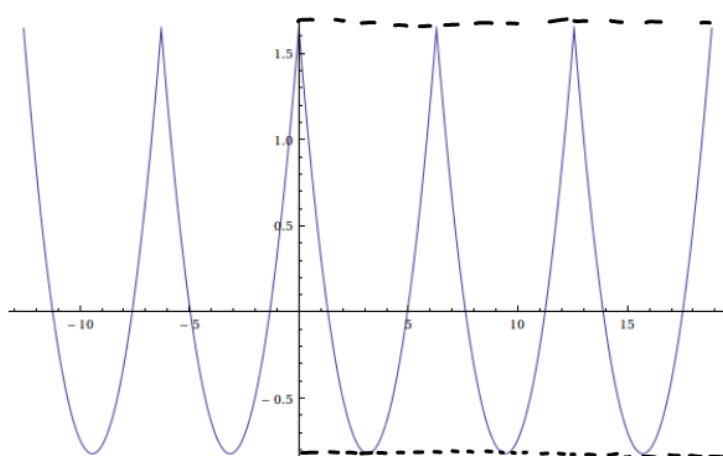
Achtung: Nicht korrekt vorgegangen

$$\left\{ \begin{array}{l} H(x) = \left(\frac{x-\pi}{2}\right)^2 - \frac{\pi^2}{12} \quad 0 \leq x \leq 2\pi \\ H(x+2n\pi) = \left(\frac{x-\pi}{2}\right)^2 - \frac{\pi^2}{12} \quad n \in \mathbb{Z}, x \in [0, 2\pi] \end{array} \right.$$

so erhalten wir die sogenannte Haarischzahnfunktion und es

gilt

$$\sum_{k=1}^{\infty} \frac{\cos(kx)}{k^2} = H(x) \quad \text{plm. auf } \mathbb{R}$$



$$\pi^2/4 - \pi^4/12 = \pi^4/6 \approx 1.64$$

[Die Haarischzahnfunktion auf $[-4\pi, 6\pi]$]

$$-\pi^2/12 \approx -0.82$$

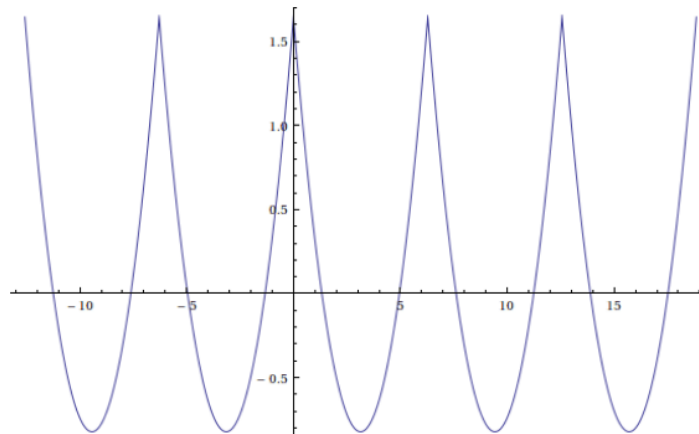
7.10 Speziatagcc. Sehen wir in $f.P$ $x=0$ so erhalten wir

$$\sum_{k=1}^{\infty} \frac{\cos(k\omega)}{k^2} = \sum_{k=1}^{\infty} \frac{1}{k^2} = \frac{\pi^2}{4} - \frac{\pi^2}{12} = \frac{\pi^2}{6}$$

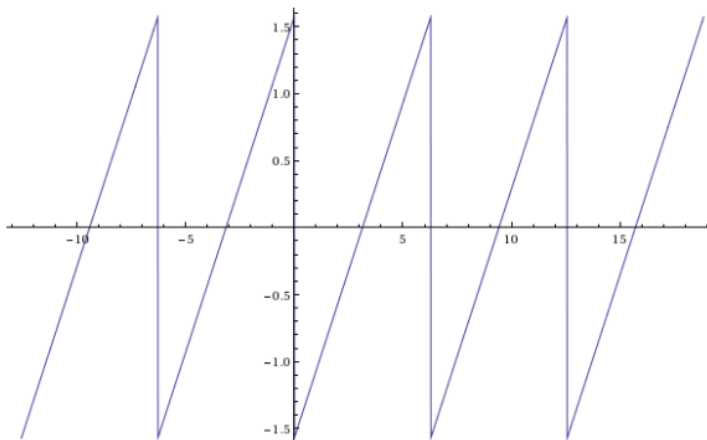
ebenfalls berücksichtigt

7.11 FAZIT

H



-S



Wir haben insgesamt:

$$H(x) = \sum_{k=1}^{\infty} \frac{\cos(kx)}{k^2} \quad \text{glm. auf } \mathbb{R}, \text{ stetig, nicht diffbar in } 2n\pi \text{ (n } \in \mathbb{Z})$$

$$S(x) = \sum_{k=1}^{\infty} \frac{\sin(kx)}{k} \quad \text{pktr. auf } \mathbb{R}, \text{ glm auf } [0, 2\pi - \delta] \text{ & per. Fortschug} \\ \text{stetig auf } \mathbb{R} - \{2n\pi \mid n \in \mathbb{Z}\}$$

$$\forall x \neq 2n\pi: \quad H(x) = -S(x), \text{ was man auch den Graphen} \\ \text{ansieht.}$$

§ 2 POTENZREIHEN

2.1. Motivation (Was sind einfache Fkt?)

Die einfachsten Fkt, die wir kennengelernt haben sind konstante Fkt $f(x) = c \in \mathbb{R}$, lineare Fkt $f(x) = kx + d$, Polynome $f(x) = \alpha_0 + \alpha_1 x + \alpha_2 x^2 + \dots + \alpha_n x^n$ ($n \in \mathbb{N}$, der Grad von f).

Hoppole: konstante & lineare Fktionen sind ja nur spezielle Polynome ($\alpha_0 = c$, $n=0$ bzw $\alpha_0 = d$, $\alpha_1 = k$, $n=1$) nämlich vom Grad 0 bzw. 1.

Also: Die einfachsten Fkt sind Polynome. Aber was sind die nächst einfachen Fkt?

Kennengelernt haben wir etwa \exp , \sin , \cos , die als Reihen gegeben sind [17] 4.3, [12] 3.17 (v)

$$\begin{aligned} \exp(x) &= \sum_{k=0}^{\infty} \frac{x^k}{k!} = 1 + x + \frac{1}{2}x^2 + \frac{1}{6}x^3 + \dots \\ &= \lim_{n \rightarrow \infty} \left(1 + x + \frac{1}{2}x^2 + \dots + \frac{x^n}{n!} \right) \end{aligned}$$

$$\begin{aligned} \sin(x) &= \sum_{k=0}^{\infty} (-1)^k \frac{x^{2k+1}}{(2k+1)!} = 0 + x - \frac{1}{6}x^3 + \frac{1}{5!}x^5 - \dots \\ &= \lim_{n \rightarrow \infty} \left(x - \frac{1}{6}x^3 + \dots + (-1)^n \frac{x^{2n+1}}{(2n+1)!} \right) \end{aligned}$$

$$\begin{aligned} \cos(x) &= \sum_{k=0}^{\infty} (-1)^k \frac{x^{2k}}{(2k)!} = 1 - \frac{1}{2}x^2 + \frac{1}{24}x^4 - \dots \\ &= \lim_{n \rightarrow \infty} \left(1 - \frac{1}{2}x^2 + \dots + (-1)^n \frac{x^{2n}}{(2n)!} \right) \end{aligned}$$

Wir sehen also, dass diese Funktionen Limiten von Polynomen sind, wobei der Grad n gegen ∞ geht.

In diesem Kasten sind also die nächst einfachen Fkt noch den Polynomen die Polynome von unendlichen Grad.“ Genauer ausgedrückt
Funktionenreihen von der Form

Das ist keine offizielle Terminologie

$$\varrho_0 + \varrho_1 x + \varrho_2 x^2 + \dots + \varrho_n x^n + \dots$$

$$= \lim_{n \rightarrow \infty} (\varrho_0 + \varrho_1 x + \dots + \varrho_n x^n)$$

$$= \lim_{n \rightarrow \infty} \sum_{k=0}^n \varrho_k x^k = \sum_{k=0}^{\infty} \varrho_k x^k$$

In diesem Kasten werden wir systematisch solche Funktionen reihen - genauer Potenzreihen, offiziell Differentialrechnen studieren.

Dabei ist es natürlich etwas allgemeiner vorzusehen und

(1) komplexe Koeffizienten

$\varrho_k (\epsilon \mathbb{C}, \text{ statt } \varrho_k \in \mathbb{R})$ und

die komplexe „Variable“ x

τ resp. $\tau^k (\epsilon \mathbb{C} \text{ statt } \varrho, \varrho^k \in \mathbb{R})$

unterslassen und ebenso

vgl. die komplexe Exp-Reihe [2] 3.11 über die wir erst später (sin & cos) gesprochen sind

(2) Verschiebungen $(x-x_0)$ bzw. $(\tau-\tau_0)$ statt x bzw. τ um eine fixe reelle x_0 bzw. komplexe Zahl τ_0 zu gestalten.

Aber kurzum betrachten wir Ausdrücke der Form

$$\sum_{k=0}^{\infty} a_k(x-x_0)^k \quad (a_k, x_0 \in \mathbb{R}) \quad \text{bzw}$$

$$\sum_{k=0}^{\infty} c_k(z-z_0)^k \quad (c_k, z_0 \in \mathbb{C})$$

ob Funktionen von $x \in \mathbb{R}$ bzw $z \in \mathbb{C}$ und loopen uns insbesondere noch deren Konvergenz.

Jetzt aber los [und zwar gleich den komplexen Fall, da der reellen Fall ja als Spezialfall beinhaltet].

2.2 DEF (Potenzreihe)

Sei $(c_k)_{k \in \mathbb{Z}}$ eine Folge in \mathbb{C} und sei $z_0 \in \mathbb{C}$. Wir nennen den Ausdruck $(z \in \mathbb{C})$

$$\sum_{k=0}^{\infty} c_k(z-z_0)^k \quad [\text{kurz nur } \sum c_k(z-z_0)^k]$$

eine Potenzreihe mit (Entwicklungs-)Koeffizienten c_k und Entwicklungsplatz z_0 .

2.3 Bsp (Potenzreihen)

- (i) Die komplexe Exponentialreihe $\sum_{k=0}^{\infty} \frac{z^k}{k!} \quad (z \in \mathbb{C})$ aus Bsp 3.11 ist eine Potenzreihe mit Koeffizienten $c_k = 1/k!$ und Entwicklungsplatz $z_0 = 0 \quad [(z-0)^k = z^k]$.

Bemerkung
 $c_k \in \mathbb{R}$

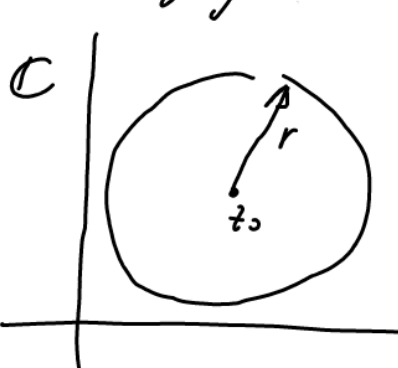
(ii) Die Reihe $\sum_{n=0}^{\infty} \frac{(-1)^{n-1}}{n} x^n$ ($x \in \mathbb{R}$) ist eine freie (C)
 Potenzreihe mit Koeffizienten $c_0 = 0$, $c_n = \frac{(-1)^{n-1}}{n}$ ($n \geq 1$)
 und Entwicklungspunkt $x_0 = 0$.

2.4 BEM (Nachhol: was wir hier doen)

(i) (Folgen von Polynomen) Im Folgenden werden wir Konvergenz-eigenschaften von PR in Abhängigkeit von $z \in \mathbb{C}$ studieren, d.h. wir studieren Folgen von komplexen Polynomfkt $p_n : \mathbb{C} \rightarrow \mathbb{C}$, wobei $p_n(z) = \sum_{k=0}^n c_k (z - z_0)^k$.

(ii) (Vielchin keine Angst vor C) Wir haben es ja schon längere Zeit mit Fkt zu tun, die auf (Teilmenge von) \mathbb{C} definiert sind. Diese Tatsache haben wir bisher wenig Aufmerksamkeit schenken müssen.

Jetzt sind wir aber erstmal in der Situation, dass vor uns Fragen nach der Konvergenz der $p_n(z)$ stellen und dabei $f \in \mathbb{C}$ variieren. Als wesentliches Kriterium wird sich erweisen, wie weit z vom Entwicklungspunkt z_0 liegt. Diesen Abstand "messen" wir natürlich wieder mit dem Betrag in \mathbb{C} . Insbesondere verwenden wir die folgende Notation:



$K_r(z_0, r) := \{ f \in \mathbb{C} \mid |z - z_0| \leq r \}$

bezeichnet die abgeschlossene Kreisscheibe in \mathbb{C} um z_0 mit Radius r .

Rond
Schick
dort

2.5 Prop (Konvergenz von PR - zum Ersten)

Sei $\sum c_k(z-z_0)^k$ eine Potenzreihe die im Punkt $z_1 \in \mathbb{C}$ konvergiert (d.h. $\sum c_k(z_1-z_0)^k$ konv.) und sei $0 < r < |z_1-z_0|$, dann gilt

(i) $\sum_{k=0}^{\infty} c_k(z-z_0)^k$ konvergiert absolut & gleichmäßig für $z \in K_r(z_0)$ [monoapt auf $K_r(z_0)$]

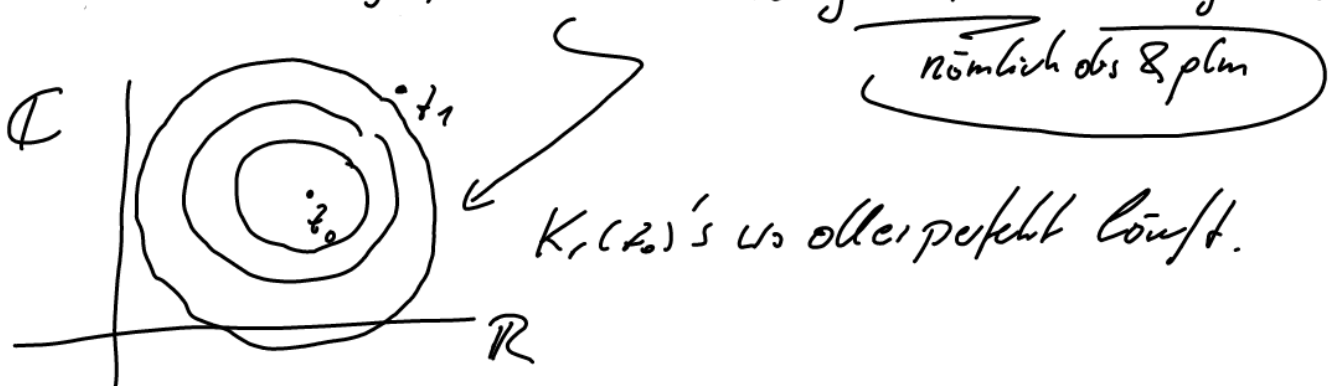
(ii) Die formal gliedrweise differenzierte Reihe

$$\sum_{k=1}^{\infty} k c_k (z-z_0)^{k-1} \text{ konvergiert ebenfalls abs & plur auf } K_r(z_0)$$

Für $z=x \in \mathbb{R}$ ist das
die übliche Ableitung
von Polynomen, d.h. norme
auf \mathbb{C} holen wir bisher nicht differenziert,
daher "formal"

2.6 BEM (Zur Konvergenz von PR)

(i) (Keine Lücken) Prop 2.5(c) besagt, dass falls wir schon wissen, dass die PR im Pkt z_1 konvergiert sie schon auf jeder kleineren abg. Kreisscheibe um z_0 ganz falls konvergiert.



(ii) Insbesondere ist eine Potenzreihe in allen Punkten der offenen Kreisscheibe mit $R = |z_1 - z_0|$, d.h. $\forall z \in B_R(z_0) := \{z \in \mathbb{C} \mid |z - z_0| < R = |z_1 - z_0|\}$ punktweise konvergent.

\mathbb{C} offene Kreisscheibe auf der noch immer alles relativ gut geht

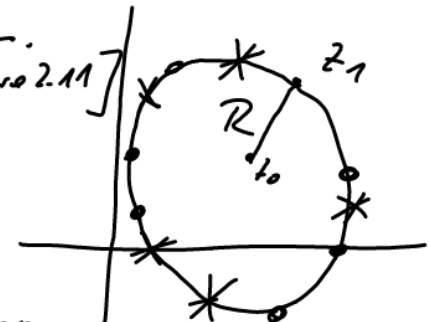
$B_R(z_0)$ WARNUNG: Gute Konv. auf $B_R(z_0)$ wäre stärker & ist i.o. nicht möglich

In diesem Sinne gibt es keine "lücken" in der Konvergenz zwischen z_0 und z_1 .

(iii) (Der Rand ist propflich) Was jedoch auf dem Kreis durch z_1 passiert, kann nicht allgemein konstruiert werden - siehe Bsp unten.

In Phasen φ mit $|z-z_0|=|z_1-z_0|=R$ [etwa 2.11]

kann sowohl Konvergent als auch Divergent vorliegen.



z.B.: • Kono.
* Div

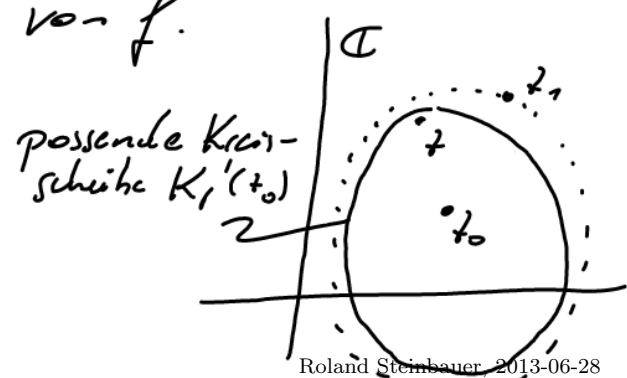
alle z 's die näher bei z_0 sind als z_1

(iv) (Stetigkeit der Grenzfkt)

Wege (iii) können wir auf $B_R(z_0) := \{z \in \mathbb{C} : |z-z_0| < R\}$ die Grenzfkt

$$f(z) := \sum_{k=0}^{\infty} c_k (z-z_0)^k$$

definieren. Diese ist stetig, wenn jeder $z \in \mathbb{B}_r(z_0)$ liegt in einem obj. Kreis $K_r(z_0)$ ($r < R$) und dort ist die Konv. ja plm [2.5cii]. Da die folgerichtig Polynome [vgl. 2.4ci] und daher stetig [1.18, "Buchstaben"] sind liefert 1.11 die Stetigkeit von f .



Beweis [Eigentlich nicht zu komplizierte Anwendung des Konvergenztests von Weierstraß]

(i) Wir schen $f_n(z) = c_n(z - z_0)^n$ ($n \in \mathbb{N}, z \in K_r(z_0)$).

Dann gilt

$$(*) |f_n(z)| = |c_n| |z - z_0|^n = |c_n| |z_1 - z_0|^n \left(\frac{|z - z_0|}{|z_1 - z_0|} \right)^n$$

Trick

and $\frac{|z - z_0|}{|z_1 - z_0|} \leq \frac{r}{|z_1 - z_0|} =: \theta < 1$

[THETA]

wil. lf. Konverg. $r < |z_1 - z_0|$

lf. Konverg. konvergiert $\sum_{n=0}^{\infty} c_n (z_1 - z_0)^n$

1. L.F. $\Rightarrow c_n (z_1 - z_0)^n \rightarrow 0 \Rightarrow \exists N: |c_n| |z_1 - z_0|^n < M \quad \forall n \in \mathbb{N}$ $(\times \times)$

"Dodd-Test"

C*
C** $\Rightarrow |f_n(z)| \leq M \theta^n \quad \forall z \in K_r(z_0) \quad \forall n \in \mathbb{N}$

$$\Rightarrow \|f_n\|_{\infty, K_r(z_0)} = \sup_{z \in K_r(z_0)} |f_n(z)| \leq M \theta^n$$

1. L.P. $\Rightarrow \sum \|f_n\|_{\infty, K_r(z_0)}$ konvergent geom. Reihe ist
konv.-Reiheente

Weierstraß $\sum_{n=0}^{\infty} c_n (z - z_0)^n$ konvergiert auf $K_r(z_0)$
absolut & gleichmässig

(ii) [Ganz ähnlich zu (i)]

Setze $f_n(z) = C_n n(z - z_0)^{n-1}$ ($= f_n'(z)$)

Wichtig:

$$\Rightarrow \|f_n\|_\infty \leq n M \theta^{n-1} \quad \text{QT: } \frac{(n+1)n\theta^n}{n! \theta^{n-1}} = \left(1 + \frac{1}{n}\right) \theta$$

[1] 4.23

$\sum \|f_n\|_\infty$ konv.

[1] 4.23

$$\rightarrow \theta < 1$$

1.17

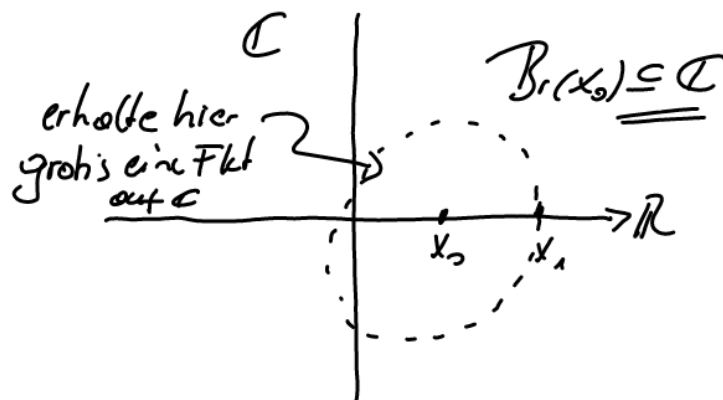
Weierstraß

$\sum f_n$ konv. obs. & plm auf $K_r(z_0)$

□

2.7 Bem (Fortschung ins Komplexe - Funktionentheorie)

Prop 2.5 hat folgende interessante Auswirkung auf reelle PR $\sum \phi_k(x-x_0)^k$. Ist die PR nämlich in einem reellen Pkt $x_1 \neq x_0$ konvergent, so konvergiert sie auch schon auf einer ganzen Kreisfläche in \mathbb{C} . So



können reelle Flt, die durch Potenzreihen dargestellt werden, ins Komplexe fortgesetzt werden. In diesem Sinne ist die komplexe Exponentialfkt die Fortschaltung der reellen Expfkt nach \mathbb{C} [vgl. [2] 3.13]; genauer

$$\exp(x) = \sum \frac{x^k}{k!} \text{ konv. } \forall x \in \mathbb{R} \Rightarrow \exp(z) := \sum \frac{z^k}{k!} \text{ konv. } \forall z \in \mathbb{C}$$

Das systematische Studium der durch Potenzreihen darstellbaren Flt - der sogenannten analytischen Flt - ist ein Hauptthema der komplexen Analysis, die auch Funktionentheorie genannt wird.

2.8 Motivation (Größter Konvergenzkreis)

Prop 2.5 hat den „Schönheitsfehler“, dass man nicht wissen muss, dass in einem bestimmten Pkt f_1 Konvergent vorliegt, um irgendwelche Schlußfolgerungen zu können. Das führt auf die Frage, ob wir nicht gleich einen maximalen Konvergenzkreis finden können.

Wir werden zunächst diesen „Konvergenzradius“ definieren und Prop 2.5 mit seiner Hilfe umformulieren. Dann können wir uns darüber, wie man den Konvergenzradius praktisch berechnen kann.

2.9 DEF (Konvergenzradius)

Für eine Potenzreihe $\sum c_k(t-t_0)^k$ definieren wir den Konvergenzradius R als

$$R := \sup \{ r \in [0, \infty) : \sum_{k=0}^{\infty} c_k(t-t_0)^k \text{ konv. in } K_r(t_0) \}.$$

2.10 PROP (Konvergent von PR-Zum Zweiten)

Sei R der Konvergenzradius der PR $\sum c_k(t-t_0)^k$. Dann gilt

(i) Ist $R=0$, dann konvergiert die PR nur im Pkt t_0

(ii) Ist $R=\infty$, dann konvergiert die PR $\forall t \in \mathbb{C}$ und die Konvergent ist plm auf jeder abg. Kreisschale $K_r(x_0)$ mit $0 < r < \infty$
 [Sie konvergiert i. A. nicht plm auf \mathbb{C} ?]

(iii) Gilt $0 < R < \infty$, dann

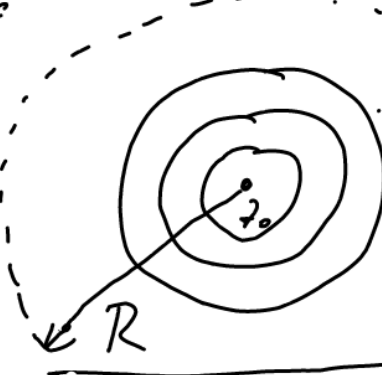
- konvergiert die PR $f_z \in \mathbb{C}$ mit $|z-z_0| < R$
und die Konvergenz ist abs. & p.m. auf jeder o.g.
Kreisscheibe $K_r(z_0)$ mit $0 < r < R$
- divergiert die PR $f_z \in \mathbb{C}$ mit $|z-z_0| > R$

[Für „Randpunkte“ z mit $|z-z_0|=R$ ist sowohl Konvergenz als auch Divergenz möglich.]

Der interessante

Fall ciii)

graphisch:



glm Konv. auf allen
Kreisen o.g. Kreisscheibe

plkt. Konv. auf der
offenen Kreisscheibe
 $B_R(z_0)$

② auf $S_R(z_0) = \{z : |z-z_0|=R\}$ Divergent absehbar
i.A. keine Aussage möglich von $K_R(z_0)$

Beweis. [Im wesentlichen Umformulierung von 2.5]

(i) klar nach Def von R

(ii) klar vgl. 2.5 & 2.6 [Wit $R=\infty$ kann für
jedes $z \in \mathbb{C}$ ein passendes r_1 mit $|z-z_0| < |z-z_1|$
gesucht werden, sodass in \mathbb{D} Konvergenz vor-
liegt; dann wende 2.5 an]

(iii) • Sei $\vartheta \in \mathbb{C}$ mit $|t - t_0| < R$

$\Rightarrow \exists \vartheta_1 \in \mathbb{C}$ mit $|\vartheta - \vartheta_0| < |\vartheta - \vartheta_0| < R$

$\stackrel{2.9}{\Rightarrow} PR \text{ konv in } \vartheta_1$

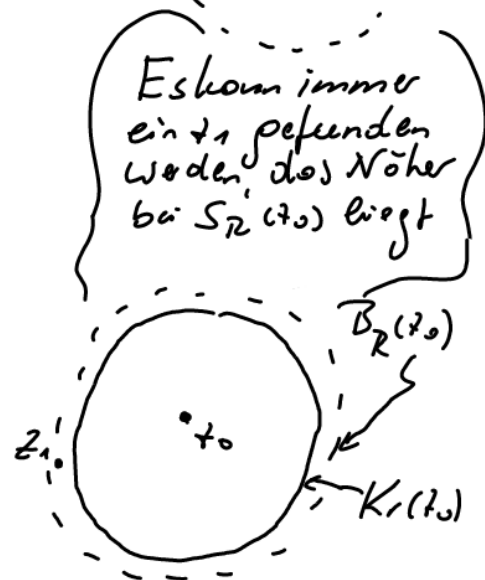
$\stackrel{2.5}{\Rightarrow} PR \text{ konv in } \vartheta$

• Sei $0 < r < R$

$\Rightarrow \exists \vartheta_1 \in \mathbb{C} \quad r < |\vartheta - \vartheta_0| < R$

$\stackrel{2.9}{\Rightarrow} PR \text{ konv in } \vartheta_1$

$\stackrel{2.5}{\Rightarrow} PR \text{ konv. plm auf } K_r(t_0)$



• Sei schließlich $\vartheta \in \mathbb{C}$ mit $|t - t_0| > R$

$\Rightarrow PR \text{ konv. nicht in } \vartheta$, denn sonst Wid zu Def

[genauer: eng $PR \text{ konv in } \vartheta \stackrel{2.5}{\Rightarrow} PR \text{ konv auf } K_r(t_0)$ $\nmid r < |t - t_0|$. Insbes $\exists r$ mit

$R < r < |t - t_0|$ und $PR \text{ konv auf } K_r(t_0)$ \nmid zur Def von R]



2.11 BSD (Konvergenzradius aus der Def)

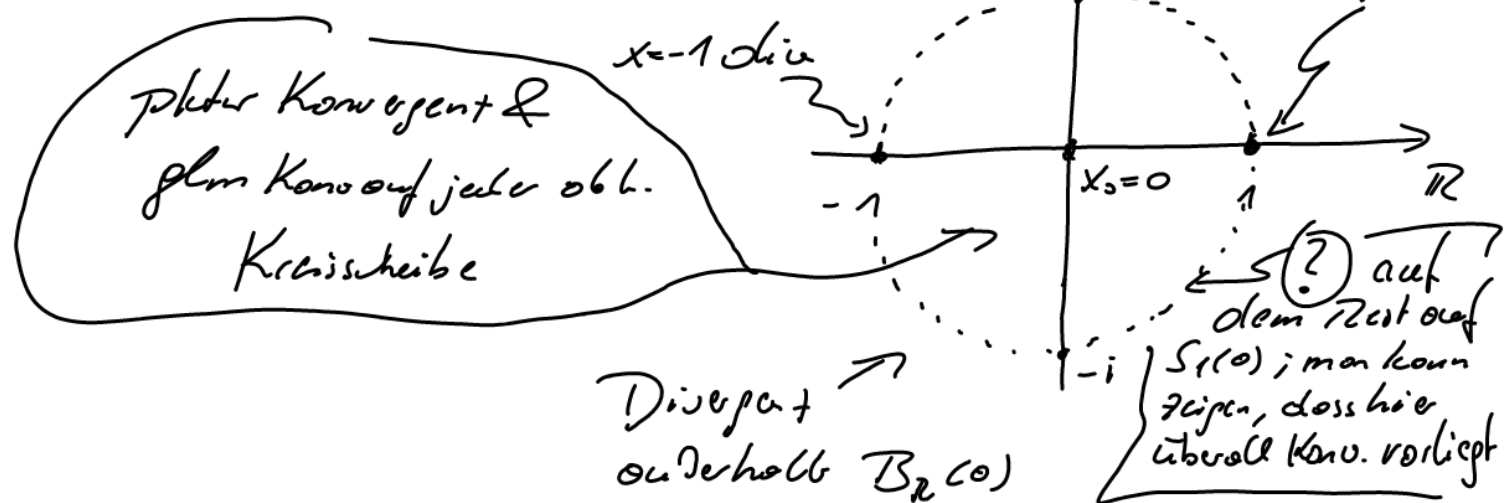
Wir betrachten die PR aus 2.3(iii) $\sum_{n=1}^{\infty} \frac{(-1)^{n-1}}{n} x^n$.

Für $x = 1$ erhalten wir die Reihe $\sum \frac{(-1)^{n-1}}{n} = -\sum (-1)^n \frac{1}{n}$,
also die alternierende harm. Reihe, also konv.

$\Rightarrow R \geq 1$

Für $x = -1$ erhalten wir die Reihe $\sum \frac{(-1)^{n-1}}{n} (-1)^n = -\sum \frac{1}{n}$, die divergiert [harm. Reihe 1] 6.7(ii) $\Rightarrow R \leq 1$

Also gilt insgesamt für den Konvergenzradius $\underline{R=1}$
Es ergibt sich folgendes Bild



Hier war es relativ mühsam R zu bestimmen. Abhilfe schafft die folgende Prop [vgl. 2.8]

2.12 Prop (Berechnung des Konvergenzradius)

Sei R der Konvergenzradius der PR $\sum c_k (z-z_0)^k$.

(i) Es gilt (die Formel von Hadamard)

$$\left\{ \frac{1}{R} = \limsup_{n \rightarrow \infty} \sqrt[n]{|c_n|}, \right.$$

$\limsup(0_n)$ ist die
größte Hr von 0_n ;
siehe 17 Def 3.13

wobei wir $R=0$ schen, falls $\limsup = \infty$ und $R=\infty$,
falls $\limsup = 0$

(ii) Falls $\left| \frac{c_n}{c_{n+1}} \right|$ konvergiert, dann gilt

$$\left\{ R = \lim_{n \rightarrow \infty} \left| \frac{c_n}{c_{n+1}} \right| \right.$$

Beweis Wir schreiben $\sum c_n(z-z_0)^n = \sum \alpha_n$, also $\alpha_n = c_n(z-z_0)^n$.

(i) [Anwendung der QT [1] 6.21] Es gilt $|\alpha_n|^{\frac{1}{n}} = |c_n|^{\frac{1}{n}} / |z-z_0|$

Sei nun $L = \limsup_{n \rightarrow \infty} |c_n|^{\frac{1}{n}} \in (0, \infty)$

Wir zeigen

(1) $\frac{1}{L} \leq R$: Sei $|z-z_0| \leq r < \frac{1}{L}$

$$\Rightarrow \limsup |c_n|^{\frac{1}{n}} = L / |z-z_0| \leq L \cdot r < 1$$

$\Rightarrow |\alpha_n|^{\frac{1}{n}} < 1$ für fast alle n

$$\stackrel{\text{UT}}{\Rightarrow} \sum \alpha_n \text{ konv} \Rightarrow \frac{1}{L} \leq R$$

(2) $\frac{1}{L} \geq R$: Sei $|z-z_0| = C/L$ mit $C > 1$

$$\Rightarrow \limsup |c_n|^{\frac{1}{n}} = L / |z-z_0| \geq C > 1$$

$\Rightarrow |\alpha_n|^{\frac{1}{n}} \geq 1$ für unendlich viele n

$$\stackrel{\text{UT}}{\Rightarrow} \sum \alpha_n \text{ divergiert} \underset{C>1 \text{ bel.}}{\Rightarrow} R \leq \frac{1}{C}$$

Also gilt $R = \frac{1}{L}$ falls $0 < R < \infty$. In den Grenzfällen

gilt: $L=0$: siehe in (1) $r>0$ beliebig $\Rightarrow R=\infty$

$L=\infty$: siehe in (2) $|z-z_0|=\varepsilon>0$ beliebig

$$\Rightarrow R=0$$

(ii) [Anwendung des QT [1] 6.23]

Sei $\rho = \lim_{n \rightarrow \infty} \left| \frac{c_n}{c_{n+1}} \right|$ dann liest der QT

$$\left| \frac{\alpha_{n+1}}{\alpha_n} \right| = \frac{|c_{n+1}(z-z_0)^{n+1}|}{|c_n(z-z_0)^n|} = \left| \frac{c_{n+1}}{c_n} \right| |z-z_0| \xrightarrow{n \rightarrow \infty} \frac{|z-z_0|}{\rho}$$

also Konv. falls $|z-z_0| < \rho$; Div., falls $|z-z_0| > \rho \Rightarrow R = \rho$

2.13 Bsp (Konvergenzradien)

(i) nochmals 2.3a) also $\sum \left(\frac{(-1)^{n-1}}{n} x^n \right)$. Wir wissen aus 2.8, dass $R=1$, wollen das aber nochmals mithilf 2.12 berechnen.

Hadamard: $|c_n|^{\frac{1}{n}} = \left| \frac{1}{n} \right|^{\frac{1}{n}} = \frac{1}{\sqrt[n]{n}} \rightarrow 1$ [UE, Blatt 3 Nr. 17]

QT: $\left| \frac{c_n}{c_{n+1}} \right| = \frac{n+1}{n} \rightarrow 1$

(ii) $\sum_{n=0}^{\infty} n! x^n$ (reelle PR mit $x_0 = 0$, $a_n = n!$) Es gilt

$$R = \lim \left| \frac{c_n}{c_{n+1}} \right| = \lim \frac{1}{n+1} = 0$$

und die Reihe konvergiert nur im Nullpunkt
[c) in 2.10]

(iii) $\sum_{k=0}^{\infty} \frac{(-1)^k}{(2k)!} x^{2k}$ also die Cosinusreihe [2] 3.17(c) und

es gilt $x_0 = 0$, $c_n = \begin{cases} 0 & n \text{ ungerade} \\ \frac{(-1)^{n/2}}{n!} & n \text{ gerade} \end{cases}$

ACHTUNG \longrightarrow

Wir wissen schon aus [1] 3.17, dass diese Reihe $\forall x \in \mathbb{R}$ konvergiert also gilt $R = \infty$.

Daher liefert uns die Hadamard-Formel

$$0 = \limsup |c_n|^{\frac{1}{n}} = \overbrace{\sqrt[n]{n!}}^{\rightarrow \infty} \text{ also } \sqrt[n]{n!} \rightarrow \infty$$

(iv) Siehe [UE, Blatt 18 Kfz 15]

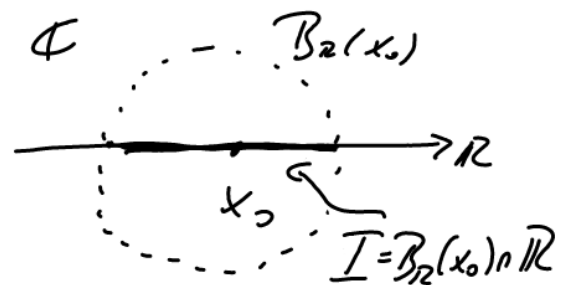
netter Gegenwert, hoffen wir noch nicht

2.14 Potenzreihen (PR im Reellen).

Wenn alle Koeffizienten und der Entwicklungspunkt einer PR reell sind [$c_k = a_k \in \mathbb{R}$, $t_0 = x_0 \in \mathbb{R}$], dann definiert sie auf dem Durchschnitt ihres Konvergenzradius $R_R(x_0)$ mit \mathbb{R} eine reelle Fkt.

Wir werden jchlschen, dass es sich dabei um besonders schöne Fkt handelt - nämlich beliebig oft differenzierbare Fkt. Außerdem

„dürfen“ diese PR gleichweise differenziert und integriert werden [vgl. VE, Blatt 10/15]], d.h. die gleichweise differenzierte / integrierte Reihe konvergiert gegen die Ableitung / das Integral der Grundfkt.



2.15 Prop (reelle PR)

d.h. $x_0 \in \mathbb{R}, a_k \in \mathbb{R} \forall k$

Sei $\sum_{k=0}^{\infty} a_k (x-x_0)^k$ eine reelle PR mit Konvergenzradius R .

Vir setzen $I := (x_0 - R, x_0 + R)$ und $f: I \rightarrow \mathbb{R}$

$$f(x) = \sum_{k=0}^{\infty} a_k (x-x_0)^k.$$

Dann gilt

$f \in C^n(I, \mathbb{R})$ fñch

(i) f ist beliebig oft differenzierbar; wir schreiben $f \in C^\infty(I, \mathbb{R})$

(ii) Für alle $x \in I$ gilt $f'(x) = \sum_{k=1}^{\infty} k a_k (x-x_0)^{k-1}$

(iii) Für alle $a, b \in I$ gilt $\int_a^b f(x) dx = \sum_{k=0}^{\infty} a_k \frac{(x-x_0)^{k+1}}{k+1} \Big|_a^b$

Beweis [nur Einsommeln früher Resultate]

(ii)+(iii): $\stackrel{2.5}{\Rightarrow}$ $\forall 0 < r < R$ ist die PR & die gleichmäig
differenzierte PR auf $[x_0-r, x_0+r]$ gleich konv.
 $\stackrel{1.20}{\Rightarrow}$ f ist C^1 und die Formel in (ii) gilt.

Wende nun sukzessive dieselbe Argumentation auf
 $f', f'', f''' \dots$ an $\Rightarrow f \in C^\infty(I, \mathbb{R})$

(iii): Folgt sofort aus 2.5 & 1.20

$\lceil 2.5 \Rightarrow$ PR konv. gleich auf jedem $[a, b] \subset I$

$$\lceil 1.20 \Rightarrow \int \sum_{n=0}^{\infty} a_n (x-x_0)^n = \sum_{n=0}^{\infty} \int_a^b a_n (x-x_0)^n dx$$

 \rceil \square

2.16 BSD (Wiederum mal sin & cos)

$$(i) \cos(x) = \sum_{k=0}^{\infty} (-1)^k \frac{x^{2k}}{(2k)!} \quad \forall x \in \mathbb{R} [\text{Bsp. 1.17(i), bzw 2.13(iii)}]$$

$$2.15 \Rightarrow \overline{\cos'(x)} = \sum_{k=1}^{\infty} (-1)^k \frac{2k x^{2k-1}}{(2k)!}$$

$$\hookrightarrow = - \sum_{\ell=0}^{\infty} (-1)^\ell \frac{x^{2\ell+1}}{(2\ell+1)!} \quad \stackrel{1.12(v)}{=} - \overline{\sin(x)}$$

Aber die gleichmäig differenzierte Cosinus-Reihe
gibt tatsächlich die Sinus-Reihe?!

(ii) [UE, Blatt 19/57]

2.17 RÜCKBLICK & AUSBLICK.

Wir haben also tatsächlich das Versprechen des 1.15 eingehalten: Verhältnisse von Limas & Abl bzw. Inversen funktioniert für Potenzreihen perfekt. Darüberhinaus passen sich diese Resultate gut in unser bisheriges Wissen ein [vgl. 2.16].

Insgesamt haben wir gesehen, dass (reelle) PR sehr schöne Fkt ergeben. Im nächsten Pf drücken wir den Spieß um und versuchen eine gegebene (schöne) Fkt in eine PR zu entwickeln, sprich sie durch Polynomfunktionen anzunähern.

§ 3 DER SATZ VON TAYLOR

3.1 MOTIVATION (Rekonstruktion einer Fkt aus ihren Abl. an einem Pkt)

In § 2 haben wir gesehen, dass PR sehr gut handhabbar sind und die Approximation von Fkt durch Polynome formulieren. Hier wollen wir nun eine gegebene glatte Fkt $f: I \rightarrow \mathbb{R}$ in eine PR entwickeln - sprich approximierende Polynome finden. Dazu sei $x_0 \in I$. Wir ziehen den HSDI ab Werkzeug heran.

$$f(x) = f(x_0) + \int_{x_0}^x f'(t) dt \\ = f(x_0) - \underbrace{\left(\frac{d}{dt}(x-t) \right)}_{=} f'(t) dt \quad [\text{TRICK?}]$$

$$= f(x_0) - \int_{x_0}^x \left(\frac{d}{dt}(x-t) \right) f'(t) dt$$

partielle Integr. \Rightarrow $f(x_0) - (x-t) f'(t) \Big|_{x_0}^x + \int_{x_0}^x (x-t) f''(t) dt$

$$= \underbrace{f(x_0) + f'(x_0)(x-x_0)}_{\text{Tangentenlinie } (x_0, f(x_0))} + \underbrace{\int_{x_0}^x (x-t) f''(t) dt}_{\text{"Rest" ob Intervall}}$$

\cong Polynom vom Grad 1

"Rest" ob Intervall
wegen lin. Bestapprox.
hoffentlich gut abschätzbar

Dies ist also eine gewünschte Darstellung der Form

$f(x) = \text{Polynom vom Grad 1} + \text{Rest}$. Wir können nur über noch weiterrechnen und im Restterm nochmal partiell integrieren.

$$\int_{x_0}^x (x-t) f''(t) dt = -\frac{1}{2} \int_{x_0}^x \left(\frac{d}{dt} (x-t)^2 \right) f''(t) dt$$

*(Trick zum
Zwicken)*

$$\stackrel{\text{part. Int.}}{\Rightarrow} = -\frac{1}{2} (x-t)^2 f''(t) \Big|_{x_0}^x + \frac{1}{2} \int_{x_0}^x (x-t)^2 f'''(t) dt$$

$$= \frac{1}{2} f''(t) (x-x_0)^2 + \frac{1}{2} \int_{x_0}^x (x-t)^2 f'''(t) dt$$

Aber insgesamt

$$f(x) = f(x_0) + \underbrace{f'(x_0)(x-x_0)}_{\text{Polynom vom Grad 1}} + \frac{1}{2} f''(x_0)(x-x_0)^2 + \frac{1}{2} \int_{x_0}^x (x-t)^2 f'''(t) dt$$

Polynom vom Grad 2

Rest in Integralform

Das ist nun eine Darstellung $f = \text{Polynom vom Grad 2} + \text{Rest}$.
Natürlich können wir induktiv weitermachen und erhalten:

3.2 Prop (Taylor-Formel - zum Ersten)

{ Sei $f: I \rightarrow \mathbb{R}$ eine C^{n+1} -Fkt und sei $x_0 \in I$ beliebig.

Dann gilt für alle $x \in I$ die Taylor-Formel

$$f(x) = f(x_0) + f'(x_0)(x-x_0) + \frac{1}{2} f''(x_0)(x-x_0)^2 + \dots$$

$$\dots + \frac{1}{n!} f^{(n)}(x_0)(x-x_0)^n + R_{n+1}(x)$$

Polynom vom Grad n mit Koeffizienten durch Ableitung gegeben

$$= \sum_{k=0}^n \frac{f^{(k)}(x_0)}{k!} (x-x_0)^k + R_{n+1}(x),$$

"Rest"

mit

$$R_{n+1}(x) = \frac{1}{n!} \int_{x_0}^x (x-t)^n f^{(n+1)}(t) dt$$

Beweis. Wir verwenden die Notation $T_n[f, x_0](x) = \sum_{k=0}^n \frac{f^{(k)}(x_0)}{k!}(x-x_0)^k$.
Damit ist zu zeigen, dass ($n \in \mathbb{N}$)

$$f(x) = T_n[f, x_0](x) + R_{n+1}(x).$$

Induktion nach n : Den Induktionsanfang für $n=0$
bzw. $n=1, 2$ erledigt 3.1.

$n-1 \rightarrow n$: Wir nehmen an, dass $f(x) = T_{n-1}[f, x_0](x) + R_n(x)$
gilt. Wir inspizieren den Restterm $R_n(x)$ positiell. Es gilt

$$\begin{aligned} R_n(x) &= \frac{1}{(n-1)!} \int_{x_0}^x (x-t)^{n-1} f^{(n)}(t) dt \\ &\leq -\frac{1}{n} \frac{d}{dt} (x-t)^n \quad \text{Trichtum} \\ &= -\frac{1}{n!} f^{(n)}(t)(x-t)^n \Big|_{x_0}^x + \frac{1}{n!} \int_{x_0}^x (x-t)^n f^{(n+1)}(t) dt \\ &= \frac{1}{n!} f^{(n)}(x_0)(x-x_0)^n + R_{n+1}(x), \end{aligned}$$

was die Behauptung zeigt. □

Wir machen obige Berechnung offiziell

3.3 DEF (Taylor-Polynom & Taylor-Reihe)

Sei $f: I \rightarrow \mathbb{R}$ eine C^{n+1} -Fkt und sei $x_0 \in I$ beliebig.

(i) Für $m \leq n$ definieren wir das Taylor-Polynom der Ordnung m von f im Pkt x_0 als

$$\left\{ T_m[f, x_0](x) := \sum_{k=0}^m \frac{f^{(k)}(x_0)}{k!} (x-x_0)^k \right\}$$

(ii) Falls f stetig ist, definieren wir die Taylor-Reihe von f im Pkt x_0 als

$$\{ T[f, x_0](x) := \sum_{k=0}^{\infty} \frac{f^{(k)}(x_0)}{k!} (x - x_0)^k \}$$

und zwar unabhängig davon, ob $T[f, x_0](x)$ konvergiert oder nicht.

3.4 BEOBSAHTUNG (Taylorreihe ist P2)

Offensichtlich ist eine Taylorreihe eine P2 und somit gilt für die Konvergenz von Tn alles, was wir in §2 über die Konv. von P2 ausgefunden haben.

3.5 Bsp (Die Taylor-Reihe für exp)

(i) Wir betrachten $f: \mathbb{R} \rightarrow \mathbb{R}$, $f(x) = e^x$. Es gilt $f^{(k)}(x) = e^x$ und daher

$$T_n[\exp, 0](x) = \sum_{k=0}^n \frac{1}{k!} e^0 (x-0)^k = \sum_{k=0}^n \frac{x^k}{k!}$$

$$T[\exp, 0](x) = \sum_{k=0}^{\infty} \frac{x^k}{k!} = \exp(x)$$

Die Taylor-Reihe für exp in $x=0$ ist also genauso die Exponentialreihe. Wegen 1.36 gilt

$$T_n[f, 0](x) \rightarrow \exp(x) \quad \forall x \in \mathbb{R}$$

$T_n[f, 0]$ konv. ohne auf \mathbb{R} plausibel gegen exp. Dafür ist der Konvergenzradius $R=\infty$ und wegen 2.10(ii) ist die Konv.-sph. glm. auf jeder obg. Intervall $[-m, m]$ ($0 < m < \infty$) [1.8, 1.18]

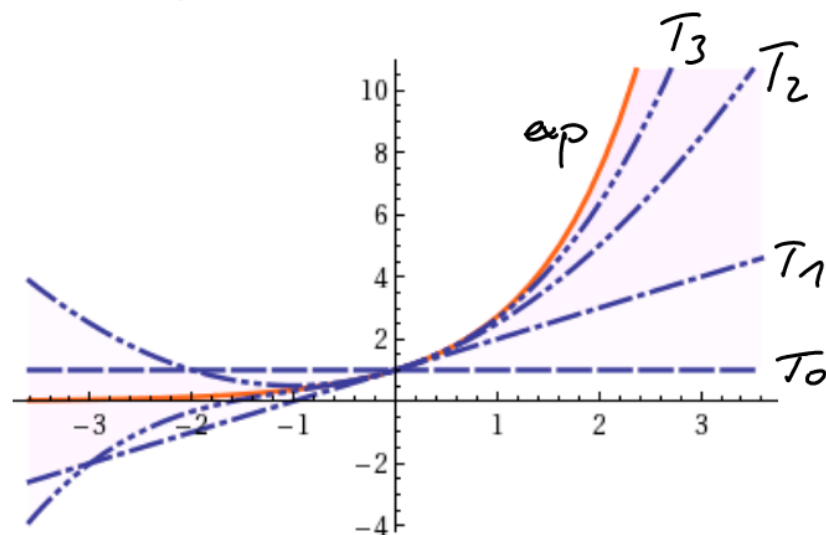
(ii) Wie verhalten sich genau das Bild aus 1.1(c) - allerdings mit der zusätzlichen Information, wie wir die approximierenden Polynome aus f berechnen können.

$$T_0[\exp, 0](x) = 1$$

$$T_1[\exp, 0](x) = 1 + x$$

$$T_2[\exp, 0](x) = 1 + x + \frac{x^2}{2}$$

usw.



3.6 Konvergenz (Konvergenz der Taylor-Reihe)

(i) Im obigen Bsp ist die Taylorreihe eine gute Approximation für die ursprüngliche Fkt $f = \exp$. Ihre Vorteile sind, dass

(1) die approximierenden Fkt $T_n[f, x_0]$ Polynome - also die einfachsten Fkt sind

(2) Die approximierenden Fkt $T_n[f, x_0]$ sind leicht und explizit aus f berechnet werden können - mittels der Ableitungen von f an dem entsprechenden Pkt x_0 .

(3) Die Taylorreihe $T[f, x_0]$ ob P12 gute Konvergenzeigenschaften aufweist.

(ii) Damit sind aber noch immer wichtige Fragen bzgl. der Konv. von TR offen, nämlich

(1) Konvergiert die TR immer (auszunehmen in x_0), d.h. ist ihr KR $R > 0$?

(2) Folgt die TIR $T_n[f, x_0]$ überhaupt konvergiert, konvergiert sie dann auch gegen f ? Diese Frage ist (offensichtlich vgl. 3.2) äquivalent zur Frage, ob das Restglied R_n gegen 0 konvergiert.

Um diese Fragen besser untersuchen zu können, geben wir eine alternative Form des Restglieds an.

3.7 Kor (Lagrange-Form des Restglieds)

Sei $f: I \rightarrow \mathbb{R}$ eine C^{n+1} -Fkt und sei $x_0 \in I$.

Dann gibt es ein $\xi \in I$ mit der Eigenschaft

$$f(x) = T_n[f, x_0](x) + R_{n+1}(x) \quad \text{und}$$

$$R_{n+1}(x) = \frac{f^{(n+1)}(\xi)}{(n+1)!} (x - x_0)^{n+1}$$

Beweis. [Anwenden des RWS-S auf die Integralform des Restglieds $R_{n+1}(x)$ in 3.2]

Wegen 1.22 $\exists \xi \in [x_0, x]$ mit:

$$\overbrace{R_{n+1}(x)}^{3.2} = \frac{1}{n!} \int_{x_0}^x (x-t)^n f^{(n+1)}(t) dt \stackrel{1.22}{=} \frac{1}{n!} f^{(n+1)}(\xi) \int_{x_0}^x (x-t)^n dt$$

$\left[\geq 0! \Rightarrow 1.22 \text{ anwendbar} \right]$

$$\stackrel{\text{INT}}{=} \frac{f^{(n+1)}(\xi)}{n!} - \frac{(x-t)^{n+1}}{n+1} \Big|_{x_0}^x = \frac{f^{(n+1)}(\xi)}{(n+1)!} (x - x_0)^{n+1}$$

Jetzt folgt uns das Hauptresultat des § in den Schritt \square

3.8 TTM (Taylor) Sei $f: I \rightarrow \mathbb{R}$ glatt und sei $x_0 \in I$.

(i) Für alle $n \in \mathbb{N}$ und alle $x \in I$ gilt

$$f(x) = T_n[f, x_0](x) + R_{n+1}(x),$$

wobei für das Restglied gilt

$$R_{n+1}(x) = \frac{1}{n!} \int_{x_0}^x (x-t)^n f^{(n+1)}(t) dt = \frac{f^{(n+1)}(\xi)}{(n+1)!} (x-x_0)^{n+1}$$

für ein $\xi \in [x_0, x]$.

(ii) Für $x \in I$ konvergiert die Taylor-Reihe $T[f, x_0](x)$ gegen $f(x)$ d.h.

$$f(x) = T[f, x_0](x) = \sum_{k=0}^{\infty} \frac{f^{(k)}(x_0)}{k!} (x-x_0)^k$$

Genau dann, wenn $\lim_{n \rightarrow \infty} R_n(x) = 0$ gilt

3.9 BSD (Exponentialreihe - Restgliedabschätzung)

Wir wissen schon aus 3.5 dass, $T_n[\exp, 0](x) \rightarrow \exp(x)$ $\forall x \in \mathbb{R}$. Daraus $R_n(x) \rightarrow 0$ $\forall x \in \mathbb{R}$ folgen. Das lässt sich direkt verifizieren

$$R_n(x) = \exp(\xi) \frac{x^n}{n!} \rightarrow 0 \quad (n \rightarrow \infty).$$

3.10 BSP (Reihenentwicklung des Logarithmus)

[vgl. UE 19/12]

Wir betrachten $f(x) = \log(1+x)$,
 $f: (-1, \infty) \rightarrow \mathbb{R}$ und entwickeln um
 $x_0 = 0$.

$\log(x)$ um
 $x_0 = 0$ zu ent-
 wickeln ist offen-
 sichtlich keine
 praktische -
 $\log(1+x)$

Es gilt

$$f'(x) = \frac{1}{1+x}, f''(x) = -\frac{1}{(1+x)^2}, f'''(x) = \frac{2}{(1+x)^3}$$

induktiv ergibt sich

$$\left\{ \begin{array}{l} f^{(n)}(x) = (-1)^{n-1} \frac{(n-1)!}{(1+x)^n} \\ (n \geq 1) \end{array} \right.$$

Damit erhalten wir $f(0) = 0$, $f^{(k)}(0)/k! = (-1)^{k-1}/k$ und daher

$$T[f, 0](x) = \sum_{k=1}^{\infty} \frac{(-1)^{k-1}}{k} x^k$$

Diese Reihe sind wir schon in §2 berechnet und haben in
 2.11 und 2.13(c) den Kriterium $R=1$ berechnet, wobei in
 $x=-1$ Divergent und in $x=1$ Konvergent vorliegt.

Um zu überprüfen, ob $T[f, 0]$ auch gegen $f = \log(1+x)$ konvergiert müssen wir das Reziprokal abschätzen.

Zunächst betrachten wir den Fall $0 < x \leq 1$ und somit $0 \leq \xi < x$

$$\left| \sum_{n=1}^{\infty} R_n(x) \right| = \left| \sum_{n=1}^{\infty} \frac{(-1)^{n-1}}{n(1+\xi)^n} x^n \right| \leq \frac{|x|^n}{n} \leq \frac{1}{n} \xrightarrow{n \rightarrow \infty} 0$$

Für $-1 < x < 0$ und somit $-1 < \xi \leq 0$

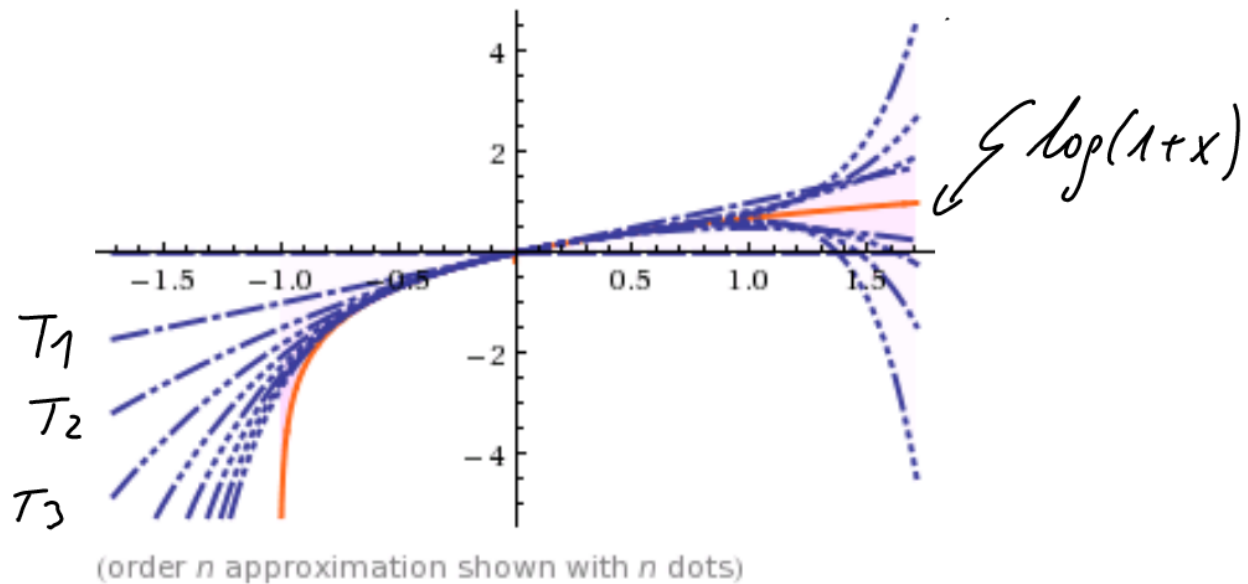
$$\left| \sum_{n=1}^{\infty} R_n(x) \right| \leq \left| \sum_{n=1}^{\infty} \frac{(-1)^{n-1}}{n} \left(\frac{x}{1+\xi} \right)^n \right| \leq \frac{1}{n} \xrightarrow{n \rightarrow \infty} 0$$

$|1| \leq |x|/|1+x| \leq 1$

Insgesamt erhalten wir also für $-1 < x \leq 1$

$$\text{Slop}(1+x) = \sum_{k=1}^{\infty} \frac{(-1)^{k-1}}{k} x^k = 1 - \frac{x^2}{2} + \frac{x^3}{3} - \frac{x^4}{4} + \dots$$

Speziell für $x=1$ ergibt sich $\log(2) = 1 - \frac{1}{2} + \frac{1}{3} - \frac{1}{4} + \dots$



Schließlich können wir auf diese Weise auch $\log(y)$ für $y > 2$ berechnen. Dazu wähle $0 < x < 1$ und $r > 1$ sodass $y = (1+x)^r$. Dann gilt $\log(y) = r \log(1+x)$.

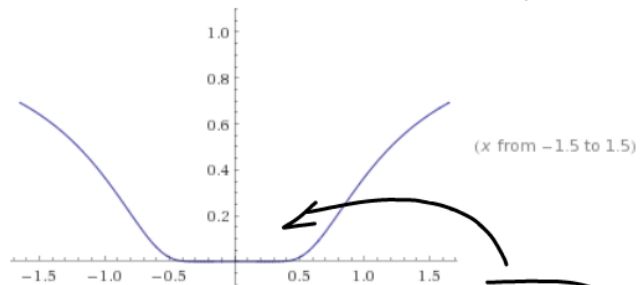
3.11 Varianz (Fehlverhalten der Taylorreihe)

(i) Eine Taylorreihe muss außer im Entwicklungspunkt x_0 gar nicht konvergieren; das entspricht einem KR $R=0$ [vgl. 2.10 (i)]

(ii) Selbst, falls die TIR konvergiert, muss sie nicht gegen die ursprüngliche Fkt konvergieren, wie das folgende Bsp zeigt

3.12 Bsp ($\exp(-1/x^2)$) Wir betrachten die Fkt $f: \mathbb{R} \rightarrow \mathbb{R}^{72}$

$$f(x) = \begin{cases} e^{-1/x^2} & x \neq 0 \\ 0 & x = 0 \end{cases}$$



Wir zeigen zunächst $f \in C^\infty(\mathbb{R})$ mit $f^{(k)}(0) = 0 \quad \forall k \in \mathbb{N}$

Wir zeigen mittels Induktion, dass $f \in C^n(\mathbb{R}) \quad \forall n$ und $f^{(n)}(0) = 0$. Dazu schreben wir:

$$\exists \text{ Polynom } p_n \text{ sodass } f^{(n)}(x) = \begin{cases} p_n\left(\frac{1}{x}\right) e^{-1/x^2} & x \neq 0 \\ 0 & x = 0 \end{cases} \quad (\star)$$

Daraus folgt dann die Aussage, denn $p_n\left(\frac{1}{x}\right) e^{-1/x^2} = p_n(y)/c^y \rightarrow 0$ [(2) 3.8(iii)].

Für $n=0$ ist (\star) erfüllt [mit $p_0 = 1$]

$n \mapsto n+1$. Sei $x \neq 0$, dann gilt

$$\begin{aligned} f^{(n+1)}(x) &\stackrel{\text{I.V.}}{=} \left(p_n\left(\frac{1}{x}\right) e^{-1/x^2} \right)' \\ &\stackrel{\text{KR}}{=} p_n'\left(\frac{1}{x}\right) \left(-\frac{1}{x^2}\right) e^{-1/x^2} + p_n\left(\frac{1}{x}\right) \frac{2}{x^3} e^{-1/x^2} \\ &= \left(p_n'\left(\frac{1}{x}\right) \left(-\frac{1}{x^2}\right) + p_n\left(\frac{1}{x}\right) \frac{2}{x^3} \right) e^{-1/x^2} =: p_{n+1}\left(\frac{1}{x}\right) e^{-1/x^2} \end{aligned}$$

Damit gilt nun $\overline{T[f, 0]}(x) = 0 \quad \forall x \in \mathbb{R}$

Was natürlich $\forall x \in \mathbb{R}$ konvergent ist, aber

$$\overline{T[f, 0]}(x) \neq f(x) \quad \text{für } x \neq 0$$

Fazit: f ist bei 0 so flach, dass $f^{(k)}(0) = 0 \quad \forall k$ und daher verschwindet die Taylorentwicklung nicht über die Fkt

3.13 Bsp (Die Binomialreihe) Sei $\alpha \in \mathbb{R} \setminus \mathbb{N}$. Wir betrachten

$$f: (-1, 1) \rightarrow \mathbb{R}$$

$f(x) = (1+x)^\alpha$ und entwickeln nach Taylor in $x_0=0$

- Es gilt $f^{(k)}(x) = \alpha(\alpha-1)\dots(\alpha-k+1)(1+x)^{\alpha-k}$ ($k \in \mathbb{N}$), daher gilt $f^{(k)}(0)/k! = \binom{\alpha}{k}$ und somit für die TR

$$\boxed{T[f, 0](x) = \sum_{k=0}^{\infty} \binom{\alpha}{k} x^k}$$

- Die Reihe konvergiert für $|x| < 1$ absolut wegen QT

$$\left| \frac{\alpha_{n+1}}{\alpha_n} \right| = \left| \frac{\binom{\alpha}{k+1} x^{k+1}}{\binom{\alpha}{k} x^k} \right| = \underbrace{\left| \frac{\alpha-k}{k+1} \right|}_{\rightarrow 1} |x| \rightarrow |x| < 1$$

- Die TR konvergiert auch gegen f falls $|x| < 1$, denn

- für $0 \leq x < 1$ gilt mit $\xi \in [0, x]$

$$R_n(x) = \frac{f^{(n)}(\xi)}{n!} x^n = \binom{\alpha}{n} (1+\xi)^{\alpha-n} x^n$$

Falls nun n so groß, dass $\alpha-n < 0 \Rightarrow (1+\xi)^{\alpha-n} < 1$

WGL $T[f, 0](x)$ abs konv $\Rightarrow |(\binom{\alpha}{n} x^n)| \rightarrow 0$ [Duell-Test]

$$\Rightarrow |R_n(x)| \leq \left| \binom{\alpha}{n} x^n \right| \rightarrow 0$$

- für $-1 < x < 0$ verwenden wir die Integralform von R_n
und erhalten (subst $t \mapsto -t$)

$$R_n(x) = n \binom{\alpha}{n} \int_0^{1-x} (x+t)^{n-1} (1-t)^{\alpha-n} dt$$

Nun gilt für $0 < x, 0 \leq t \leq |x| < 1$

$$|x+t| = |x| - t \leq |x| - |x|t = |x|(1-t) \quad \begin{array}{c} x+t \\ \hline x \quad t \end{array}$$

und $n \binom{\alpha}{n} = n \frac{\alpha(\alpha-1) \dots (\alpha-n+1)}{n(n-1) \dots 2} = \alpha \binom{\alpha-1}{n-1}$ $\quad (**)$

Damit also

$$\begin{aligned} |R_n(x)| &\leq h \binom{\alpha}{n} \left/ |x|^{n-1} \int_0^{|x|} (1-t)^{n-1} (1-t)^{\alpha-n} dt \right. \\ &\stackrel{(***)}{=} \alpha \binom{\alpha-1}{n-1} \left/ |x|^{n-1} \int_0^{|x|} (1-t)^{\alpha-1} dt \right. \\ &= |\alpha| \underbrace{\int_0^{|x|} (1-t)^{\alpha-1} dt}_{\text{unabhängig von } n} \left/ \binom{\alpha-1}{n-1} x^{n-1} \right. \\ &\quad \underbrace{\rightarrow 0}_{(n \rightarrow \infty)} \end{aligned}$$

Insgesamt erhalten wir also

$$\left\{ \begin{aligned} (1+x)^\alpha &= \sum_{k=0}^{\infty} \binom{\alpha}{k} x^k && (|x| < 1, \alpha \in \mathbb{R} \setminus \mathbb{N}) \end{aligned} \right.$$

3.16 Motivation (Taylor & Theorie)

Noch diesen praktischen & praktisch wichtigen Bspj

[viele wahr in den UE] verwenden wir den Satz v.

Taylor auch als Verteilung um die Theorie weiter zu entwickeln. Konkreter bereiten wir ein einfaches Werkzeug um Polynome zu entklören und Widmen uns schließlich der Frage nach dem Zusammenhang von PR und TR.

3.15 BEM (Polynome & verschwindende Ableitungen)

Sei $f: \mathbb{R} \rightarrow \mathbb{R}$ ein Polynom vom Grad n , d.h. $f(x) = \sum_{k=0}^n a_k x^k$.
 Dann gilt $f^{(n+1)}(x) = 0 \quad \forall x \in \mathbb{R}$
 [Nichts leichts Induktion $(x^n)^{(k)} = n(n-1)\dots(n-k+1)x^{n-k}$
 falls $n \leq k$ also insbes $(x^n)^{(n)} = n!$ und $(x^n)^{(n+1)} = 0$
 vgl. auch UE, Blatt 12 [8]]

Polynome haben also die Eigenschaft, dass eine und damit alle Ableitungen ob einer gewissen Ordnung verschwinden.

Umgekehrt, falls eine Fkt $f \in C^\infty$ diese Eigenschaft besitzt, dann muß f schon ein Polynom sein sein - das ist eine Konsequenz der Formel von Taylor wie wir gleich sehen werden.

Zusammengefaßt gilt also für $f \in \overline{C^\infty(\mathbb{R})}$

$\left\{ \begin{array}{l} f \text{ Polynom} \Leftrightarrow \exists k \text{ mit } f^{(k)}(x) = 0 \quad \forall x \end{array} \right.$

3.16 KOR (Fkt mit verschw. Abl. sind Polynome)

Sei $f: \mathbb{R} \rightarrow \mathbb{R}$ eine $(n+1)$ -mal diffbare Fkt. Falls $f^{(n+1)}(x) = 0 \quad \forall x \in \mathbb{R}$, dann ist f ein Polynom vom Grad höchstens n .

Beweis: $f^{(n+1)} = 0 \Rightarrow f^{(n+1)}$ stetig $\Rightarrow f \in C^{n+1}(\mathbb{R})$

und wir können 3.2 verwenden; $f^{(n+1)} = 0 \Rightarrow R_{n+1} = 0$
 $\xrightarrow{3.2} f(x) = T_n[f, 0](x)$ ein Polynom. □

3.17 Motivation (Welche Fkt haben eine Taylorentwicklung?)

76

Sei f eine plötzliche Fkt auf \mathbb{R} und sei $x_0 \in \mathbb{R}$. Nach 3.2 besitzt dann f eine Taylorreihe $T[f, x_0]$.

Diese muß aber außerhalb von x_0 nicht konvergieren und selbst wenn $T_n[f, x_0](x)$ konvergiert, ist nicht gesagt, dass $T_n[f, x_0] \rightarrow f(x)$ gilt [vgl. 3.11, 3.12]

f. D. ist $f(x) = e^{-1/x^2}$ (mit 0 in $x=0$ exponentiell) eine C^∞ -Fkt, die nicht durch ihre Taylorreihe dargestellt wird - man sagt auch f hat keine Tayloorsche Entwicklung.

Es stellt sich nun die Frage, welche Funktionen eine Taylozsche Entwicklung haben. (Es können nicht alle C^∞ -Fkt sein!?)

Eine endgültige Antwort auf diese Frage ist erst im Rahmen der komplexen Analysis möglich. An dieser Stelle können wir aber feststellen, dass die Summfkt von PR (diese sind ja nach 2.15(ii) C^∞) eine Taylozsche Entwicklung haben - und zwar gerade die PR durch die sie definiert wurden; genauer

3.18 kor (PR sind ihre eigenen T.R.)

Sei $f: (x_0 - R, x_0 + R) \rightarrow \mathbb{R}$, $f(x) = \sum_{k=0}^{\infty} Q_k (x - x_0)^k$ durch eine reelle PR $[x_0, Q_k \in \mathbb{R}]$ mit Konvergenzradius R gegeben.

Dann gilt $\forall k \in \mathbb{N}$

$$Q_k = \frac{f^{(k)}(x_0)}{k!}$$

3.19 BEN (Zur Bedeutung von 3.18)

Die etwas spezielle Aussage von 3.18 bedeutet insbesondere

- (i) falls f nicht nur eine beliebige C^∞ -Funktion ist, sondern sogar die Summenfkt eine Potenzreihe, d.h.

$$f(x) = \sum_{k=0}^{\infty} \vartheta_k (x-x_0)^k,$$

dann konvergiert die TR von f gegen f - weil noch 3.18 die TR ja genau die PR ist.

- (ii) Die Koeffizienten einer PR sind eindeutig bestimmt.

genauer gilt $f(x) = \sum_{k=0}^{\infty} \vartheta_k (x-x_0)^k$, dann gilt laut

3.18 für die ϑ_k

$$\vartheta_k = \frac{f^{(k)}(x_0)}{k!}.$$

[Diese Aussage bzw genauer: Seien $f(x) = \sum_{k=0}^{\infty} \vartheta_k (x-x_0)^k$ und $g(x) = \sum_{k=0}^{\infty} b_k (x-x_0)^k$ zwei PR mit pos KR und $f(x) = g(x)$ für $|x-x_0| < \alpha$ für ein gegebenes α . Dann gilt $\vartheta_k = b_k + k \vartheta_{k-1}$. wird oft als Identitätsatz für PR bezeichnet.]

Beweis: 2.15(ii) $\Rightarrow f \in C^\infty((x_0-R, x_0+R))$ und sukzessives Anwenden der Ableitungsformel 2.15(iii) liefert

$$f^{(n)}(x) = \sum_{k=n}^{\infty} \vartheta_k k(k-1)\dots(k-n+1)(x-x_0)^{k-n}.$$

Für $x=x_0$ folgt

$$\underbrace{f^{(n)}(x_0)}_{\vartheta_n \cdot n!} = \vartheta_n \cdot n!$$

□

STATT §4: FOURIER-REIHEN IN AUFKÜRFE

(1) Was sind und was sollen FR?

Grundthema von Kap. 15]

Approximation (schöner) Fkt durch (einfache) Basisfkt.

TR: glatte Fkt durch Polynome

FR: periodische Fkt durch trigonometrische Polynome

$f(x+2\pi) = f(x)$ → Periodenlänge π
 $f(x) = \sum_{k=0}^{\infty} a_k \sin(kx) + b_k \cos(kx)$

Grund- & Obsharmonischen

FR sind Grundlage der Fourier-Analysis

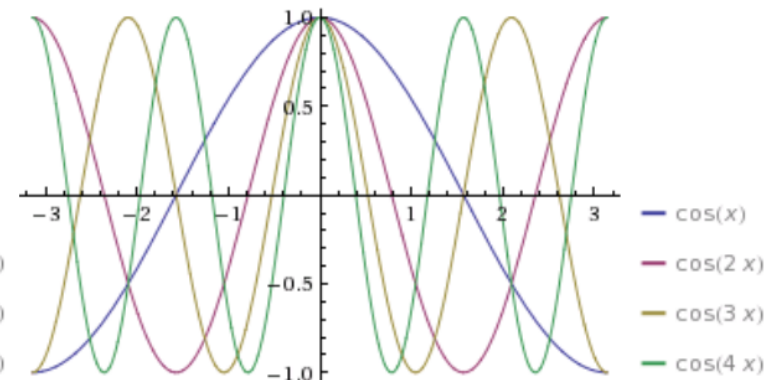
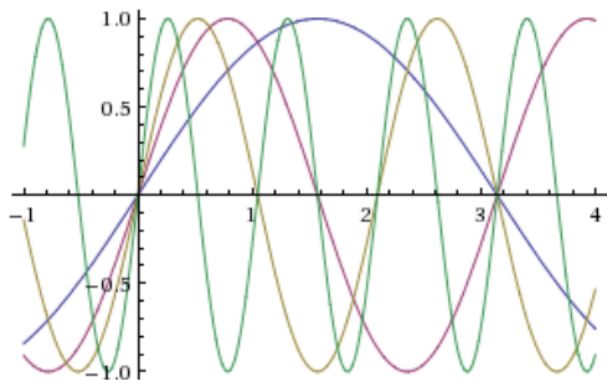
viele Anwendungen (Elektrotechnik, Physik, Medizin)

wichtige theoretische Konzepte im Rahmen der

FUNKTIONALANALYSIS (Harmonische Analysis, Zeit-
Frequenz Analysis)

Grundthema: zerlegen periodische Signale in "Frequenz-anteile"
 bzw. Annähern periodischer Signale durch einfache "Frequenz-
bausteine" bei vertretbarem Fehler

(2) Die Grundbausteine: Die einfachsten 2π -periodischen
 Fkt sind: \sin & \cos ; $\sin(kx)$, $\cos(kx)$



Kombinationen davon heißen trigonometrische Polynome

geometrische Konvention

$$\left. \begin{aligned} P_n(x) &= \frac{a_0}{2} + \sum_{k=1}^n (a_k \cos(kx) + b_k \sin(kx)) \\ &\quad \end{aligned} \right\}$$

Beobachtung: Die Koeffizienten $a_k, b_k \in \mathbb{R}$ können aus P_n zurückgewonnen werden - genauer gilt

$$\left. \begin{aligned} a_k &= \frac{1}{\pi} \int_0^{2\pi} P_n(x) \cos(kx) dx, \quad b_k = \frac{1}{\pi} \int_0^{2\pi} P_n(x) \sin(kx) dx \quad (*) \\ &\quad \end{aligned} \right\}$$

$$\begin{aligned} \int_0^{2\pi} P_n(x) \sin(kx) dx &= \int_0^{2\pi} \left[\frac{a_0}{2} + \sum_{l=1}^n (a_l \cos(lx) + b_l \sin(lx)) \right] \sin(kx) dx \\ &= \frac{a_0}{2} \int_0^{2\pi} \sin(kx) dx + \sum_{l=1}^n \int_0^{2\pi} \cos(lx) \sin(kx) dx \\ &\quad + \sum_{l=1}^n b_l \int_0^{2\pi} \sin(lx) \sin(kx) dx \\ &\stackrel{\text{part. Int.}}{=} [\dots] = 0 + 0 + b_k \pi \quad] \end{aligned}$$

Die Formeln in (*) kitzeln die resp. Frequenzanteile aus P_n heraus. Die Kernidee ist es, dasselbe bei allgemeinen 2π -periodischen, irrd. Flkt (für diese ist (*) sinnvoll) zu verschaffen; dazu die folgende

(3) DEF (F2) Sei $f: \mathbb{R} \rightarrow \mathbb{R}$ 2π -periodisch & R-integrabel auf $[0, 2\pi]$. Wir definieren

(i) die Fourier-Koeffizienten von f durch

$$a_k = \frac{1}{\pi} \int_0^{2\pi} f(x) \cos(kx) dx, \quad b_k = \frac{1}{\pi} \int_0^{2\pi} f(x) \sin(kx) dx$$

(ii) die Fourier-Reihe von f (unabhängig von Konvergenzfragen)

$$\boxed{\mathcal{F}[f](x) = \frac{a_0}{2} + \sum_{k=1}^{\infty} (a_k \cos(kx) + b_k \sin(kx))}$$

(4) BSP (Sägezahn & Holzfischzahn - ein Dopp-VU)

$$(i) \text{Sei } s(x) := \begin{cases} \frac{\pi-x}{2} & 0 < x < 2\pi \\ 0 & x = 0 \end{cases}$$

periodisch fortgesetzt. Dann

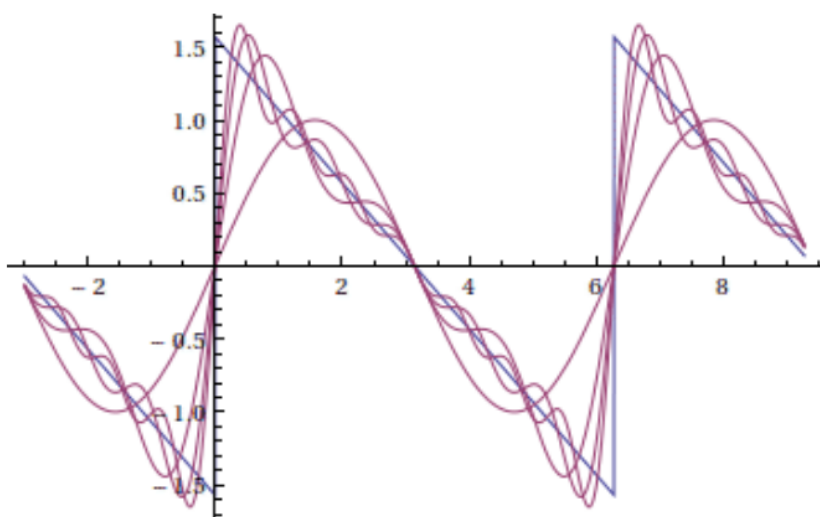
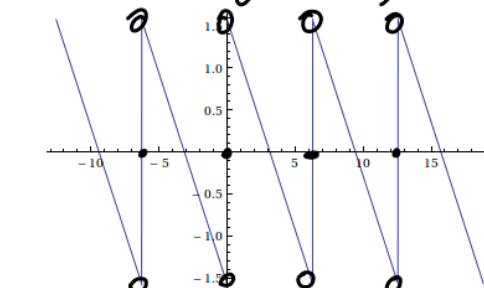
gilt

$$\boxed{\mathcal{F}[s](x) = \sum_{k=1}^{\infty} \frac{\sin(kx)}{k}}$$

Rechen-Rechnung

$$\boxed{a_k = 0 \forall k}$$

$$\boxed{b_k = 1/k}$$



Das ist genau die Reihe
 $(s)_0(x) \stackrel{\text{ft}}{\sim}$; wissen

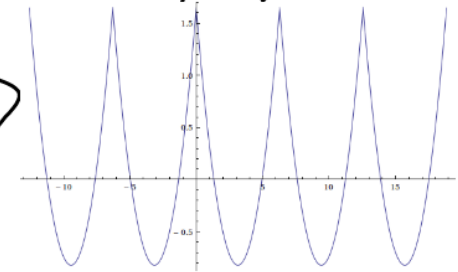
$$\mathcal{F}[s](x) \rightarrow s(x)$$

platzt $x \in \mathbb{R}$ &
glem auf $[\delta, 2\pi - \delta]$ ($\delta > 0$)

(ii) Sei $h(x) = \frac{(x-\pi)^2}{4} - \frac{\pi^2}{12}$ ($x \in [0, 2\pi]$) periodisch fortgesetzt.

Dann gilt

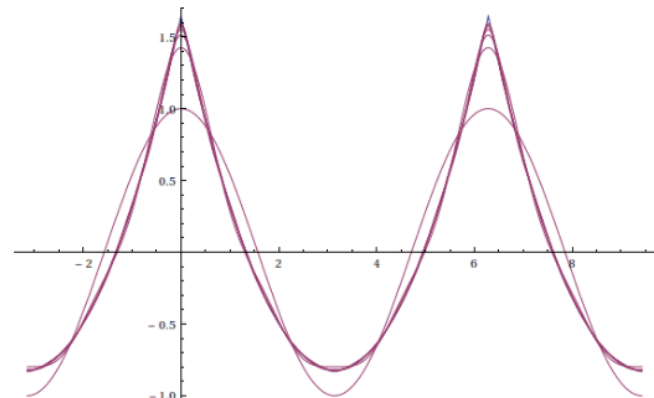
$$\left\{ \mathcal{F}[h](x) = \sum_{k=1}^{\infty} \frac{\cos(kx)}{k^2} \right\}$$



Dies ist genau die Reihe (H)

aus §7 & und wir wissen

$\mathcal{F}[h] \rightarrow h$ glm auf $[0, 2\pi]$.



(5) Konvergenzfragen. Die Bsp in (4) weisen darauf hin,
dass weder glm noch plato Konvergenz
der vorgenommene "Begriff für FIR ist.

[Im Folg(S) ist die Konvergenz nicht glm & die plato
konvergent in allen x ist der Def von s-genoer $s(0)=0$ - ge-
schwult: Definiert man stattdessen $s(0)=\neq 0$ so ändert sich
die FIR nicht - die Interpole "spüren" das gar nicht & bleiben
gleich - und die plato Konvergenz ist zerstört, D]

Es stellt sich heraus, dass der „richtige“ Begriff die
Konvergenz in quadratischen Mittel oder $\| \cdot \|_2$ -Norm
Konvergenz ist:

$f_n \rightarrow f$ im quadr. Mittel

[vgl. 1.13 (ii)]

$$\Leftrightarrow \|f_n - f\|_2 \rightarrow 0$$

$$\Leftrightarrow \int_0^{2\pi} |f_n(t) - f(t)|^2 dt \rightarrow 0$$

Es gilt nämlich das Fundamentalsatz

$T(2\pi)$: Sei $f: \mathbb{R} \rightarrow \mathbb{C}$ 2π -periodisch und integrierbar auf $[0, 2\pi]$.

Daß gilt

$\mathcal{F}[f] \rightarrow f$ im quadr. Mittel

(6) Analysis trifft lineare Algebra: Fourier-Entwicklung als Basisdarstellung

Basisdarstellung im $\mathbb{R}^n / \mathbb{C}^n$: $v \in \mathbb{R}^n / \mathbb{C}^n$

$$\underbrace{\left\{ v = \sum_{i=1}^n v_i e_i = \sum_{i=1}^n \langle v | e_i \rangle e_i \right.}_{\text{Koeffizienten}} \quad \left. \begin{array}{l} \text{Standard Skalarprodukt} \\ \langle v | e_i \rangle = \sum_{j=1}^n v_j (e_i)_j \\ = v_i \end{array} \right]$$

Standardbasis $e_i = (0, 0, 1, 0, \dots, 0)$

Hier versuchen wir etwas Analoges. Dazu definieren wir ein Skalarprodukt auf $\mathcal{R}([0, 2\pi]; \mathbb{C})$

$$\left\{ \langle f | g \rangle := \frac{1}{2\pi} \int_0^{2\pi} f(x) \overline{g(x)} dx \right.$$

Vektorraum $[0, 2\pi] 1.15$
der \mathbb{R} -int. Flt. auf $[0, 2\pi]$ mit Werten in \mathbb{C}

$\langle 1 \rangle$ hat (im Wesentlichen) alle Eigenschaften eines Skalarprodukts (siehe Lin Alg) und $\sin(kx), \cos(kx)$ sind bspw. $\langle 1 \rangle$ ein ORTHONORMALSYSTEM?

Genauer: definieren wir $e_k = \sin(kx)$, $f_k = \cos(kx)$ dann gilt

$$\langle e_k, e_\ell \rangle = \delta_{k\ell} = \begin{cases} 1 & k=\ell \\ 0 & \text{sonst} \end{cases}$$

$$\langle f_k, f_\ell \rangle = \delta_{k\ell}$$

$$\langle e_k, f_\ell \rangle = 0 \quad \forall k, \ell$$

Mit $\langle \cdot \rangle$ lassen sich FK & FR besonders schön
beschreiben.

$$Q_k = 2 \langle f | f_k \rangle, \quad b_k = 2 \langle f | e_k \rangle$$

$$\widehat{f}[f](x) = \frac{g_0}{2} + \sum_{k=1}^{\infty} (Q_k f_k + b_k c_k)$$

$$= \langle f, f_0 \rangle + 2 \sum_{k=1}^{\infty} (\langle f, e_k \rangle e_k + \langle f, f_k \rangle f_k)$$

komplexe Schreibweise

$$f_k := e^{ikx}$$

$$= \sum_{k=-\infty}^{\infty} \underbrace{\langle f, g_k \rangle g_k}_{\substack{\nearrow \\ \text{Reihe, d.h. Limes}}} \}$$

Basisdarstellung
(lin. Alg.)

\nearrow
Reihe, d.h. Limes
(Analysis)

[6] DIFFERENTIALRECHNUNG IN \mathbb{R}^n

In diesem Kapitel beginnen wir unser Plauso in die mehrdimensionale Analysis und beschäftigen uns mit der Differentialrechnung von Fkt

$$\left\{ \begin{array}{l} f: \mathbb{R}^n \rightarrow \mathbb{R}^m \\ (n, m \geq 1) \end{array} \right.$$

Wie bei eindim Analysis beginnen wir mit dem Studium des Definitionsbereichs der Fkt und Konvergenzfragen darin (vgl. 11), die wir in

§1 TOPOLOGIE DES \mathbb{R}^n

untersuchen. Danach beginnen wir unser Studium von Fkt (x) [vgl. 12] im 1d-Fall] in

§2 FKT VON $\mathbb{R}^n \rightarrow \mathbb{R}^m$: GRUNDBEGRIFFE & STETIGKEIT

Nochdem so die passenden Grundlagen gelegt sind beginnen wir die eigentliche mehrdim Differentialrechnung in

§3 DIFFERENZIERBARE FKT

Wo wir uns vor allem mit dem Begriff der Differenzierbarkeit von Fkt mit mehrdim Definitionsbereich auswärts sehen müssen). Darauf aufbauend studieren wir die Eigenschaften diffbarer Fkt (x) in

§4 SÄTZE ÜBER DIFFERZIABLE FKT

Hier werden nicht nur Analoga der 1-d Theorie behandelt - etwa Extremwerte [vgl. §3] und Taylor-Entwicklungen [vgl. §5] - sondern ganzin mehrdimensionale Themen wie der über implizite Fkt.

Zum Abschluß des Kap. behandeln wir in

§5 KURVEN

Fkt mit 1-d Defbereich aber mehrdim Ziellbereich, also „Kurven“ im ländlängst Sinn. Um diese zu studieren benötigt man nur keine mehrdim Differenzialrechnung - der Defbereich ist ja 1D - sie bereiten aber den Boden für unseren Einstieg in die mehrdim. Interpolations.

§ 1 Die Topologie des \mathbb{R}^n

1.1.1 Intro (Grundlagen der Analysis: Konvergenz)

Bei der Analysis von Fkt $f: \mathbb{R} \rightarrow \mathbb{R} [\mathbb{R}, \mathbb{C}]$ wurden die zentralen Hilfsmittel der Konvergenzbegriff im Definitionsbereich also in \mathbb{R} . In (1) haben wir uns ausführlich(s) mit der Konvergenz von Folgen in \mathbb{R} beschäftigt und darauf aufbauend in (2) die Stetigkeit von Fkt $f: \mathbb{R} \rightarrow \mathbb{R}$ ob einen der zentralen Begriffe untersucht.

Da unsere Interesse nun Fkt $f: \mathbb{R}^n \rightarrow \mathbb{R}^m$ gilt müssen wir uns zunächst mit Fragen der Konvergenz im Ausgangsraum, also \mathbb{R}^n befassen. Dies ist der Inhalt dieses §1.

Zentraler Begriff für die Formulierung von Konvergenz & Stetigkeit auf \mathbb{R} war der Betrag oder Abstand.
Dasselbe gilt auch für die Konvergenz in $\mathbb{C} [vgl. 12] 2.10]$ bzw die Konvergenz von Funktionenfolgen [vgl. 15] 1.13].
Wir beginnen daher unsere Untersuchungen mit einer genauen Analyse der Begriffe Abstand und Norm im \mathbb{R}^n .

Zuvor aber noch eine kleine Reminiscenz an den \mathbb{R}^n

1.2. VfH aus der lin. Algebra & Ausblick (Der \mathbb{R}^n)

(i) Für jedes $n \in \mathbb{N}$ ist \mathbb{R}^n -die Menge der n -Tupel

zelle füllen

Wir verwenden
Zeilenvektoren
Spaltenvektoren
& Spaltenvektoren-solo
 $x = (x_1, \dots, x_n) = \begin{pmatrix} x_1 \\ \vdots \\ x_n \end{pmatrix}$

$$\mathbb{R}^n = \{x = (x_1, \dots, x_n) \mid x_i \in \mathbb{R}, 1 \leq i \leq n\} -$$

ein n -dimensionaler Vektorraum über dem Grundkörper \mathbb{R} . D.h. wir haben die beiden Operationen Addition und Multiplikation mit einem Skalar (Zahl)

$$+: \mathbb{R}^n \rightarrow \mathbb{R}^n \quad x+y = (x_1, \dots, x_n) + (y_1, \dots, y_n) := (x_1+y_1, \dots, x_n+y_n)$$

$$\cdot: \mathbb{R} \times \mathbb{R}^n \rightarrow \mathbb{R}^n \quad d \cdot x = d(x_1, \dots, x_n) := (d x_1, \dots, d x_n),$$

die die einschlägigen Axiome erfüllen.

$$e_1 \nearrow \mathbb{R}^2$$

(ii) (Vorstellung und Anschauung)

Im Fall $n=2$ haben wir die Ebene \mathbb{R}^2

$$\begin{array}{c} e_2 \\ \downarrow \\ e_1 \end{array} \rightarrow \mathbb{R}^2$$

und im Fall $n=3$ den Anschauungsraum \mathbb{R}^3

mit 2 bzw 3 linear unabhängigen Richtungen

Der \mathbb{R}^n funktioniert "völlig analog" (beim Rechnen gibt es keinen Unterschied zwischen dem $\mathbb{R}^2, \mathbb{R}^3$ oder $\mathbb{R}^7, \mathbb{R}^{19}$ usw - es ist halt etwas mehr Arbeit) auch wenn wir uns keinen \mathbb{R}^n -dim Raum „vorstellen“ können. Es handelt sich hier

um eine große Stärke der Mathematik bzw der Abstraktion: Wir können formal ganz einfach im \mathbb{R}^n arbeiten, ohne ihn uns vorstellen zu müssen. Außerdem gibt

uns unsere 3-d Anschauung eine gute Stütze im \mathbb{R}^n .

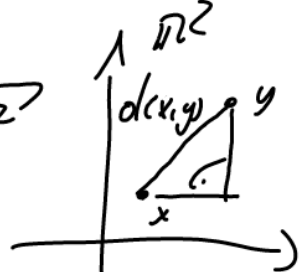
(iii) (Zwei verschiedene \mathbb{R}^n 's?)

Während die lineare Algebra vorwiegend an der lin. Struktur des \mathbb{R}^n (d.h. an seiner Struktur als Vektorraum und an linearen Abbildungen $\mathbb{R}^n \rightarrow \mathbb{R}^m$) interessiert ist - Ja klar, in der lin. Alg. dreht sich ja alles um das Lösen lin. Gleichungssysteme - ist die Analysis an allgemeinen (u.l.h. vorwiegend nicht-linearen) Abb $\mathbb{R}^n \rightarrow \mathbb{R}^m$ interessiert und an Fragen der Stetigkeit/Diffb. solche Th. und daher an Fragen der Konvergenz im \mathbb{R}^n . Wegen diesen völlig unterschiedlichen Herangehensweisen könnte man oft glauben, es gäbe zwei \mathbb{R}^n 's: den der lin. Alg & den der Analysis...
Dann ist natürlich nicht so!

1.3 FAKTIONSMETRIE / METRIK DER LIN. ALG (Abstand, Norm)

(i) Absstände im \mathbb{R}^n : Im \mathbb{R}^2 [und \mathbb{R}^3] ist Skalarprodukt der Abstand zwischen 2 Punkten $x = (x_1, x_2)$ und $y = (y_1, y_2)$ gemäß Pythagoras definiert als

$$\left\{ d(x, y) = \|x - y\| = \sqrt{(x_1 - y_1)^2 + (x_2 - y_2)^2} \right.$$



Wir nennen d den Euklidischen Abstand oder die Euklidische Metrik und definieren in völlig Analogie $d: \mathbb{R}^n \times \mathbb{R}^n \rightarrow \mathbb{R}$

$$\left\{ d(x, y) = \|x - y\| := \sqrt{(x_1 - y_1)^2 + \dots + (x_n - y_n)^2} = \sqrt{\sum_{k=1}^n (x_k - y_k)^2} \right\}$$

Die Metrik hat die 3 Grundeigenschaften ($x, y \in \mathbb{R}^n$)

$$\left\{ \begin{array}{ll} (M1) d(x,y) \geq 0 \text{ und } d(x,y)=0 \Leftrightarrow x=y & (\text{positiv definit}) \\ (M2) d(x,y) = d(y,x) & (\text{symmetrisch}) \\ (M3) d(x,z) \leq d(x,y) + d(y,z) & (\text{A-Impl.}) \end{array} \right\}$$

Die Eigenschaften (M1)-(M3) sind leicht aus der Def. zu zeigen und sind intuitiv genau das, was wir aus von einem verallgemeinerten Abstandsbeispiel erwarten.

(ii) Euklidische Norm: Wie in der Notation angekündigt wird d mit Hilfe der sog. Euklidischen Norm ausgedrückt. Diese ist definiert ob

$$\left\{ \begin{array}{l} \|\cdot\|: \mathbb{R}^n \rightarrow \mathbb{R} \\ \|x\| = \|(x_1, \dots, x_n)\| := \sqrt{x_1^2 + \dots + x_n^2} = \sqrt{\sum_{k=1}^n x_k^2} \end{array} \right.$$

Klarweise gilt $d(x,y) = \|x-y\|$ bzw $\|x\| = d(x,0)$.
Die Norm hat die 3 Grundeigenschaften
($x, y \in \mathbb{R}^n, \lambda \in \mathbb{R}$)

$$\left\{ \begin{array}{ll} (N1) \|x\| \geq 0 \text{ und } \|x\|=0 \Leftrightarrow x=0 & \text{(pos. definit)} \\ (N2) \|\lambda x\| = |\lambda| \|x\| & (\text{homogen}) \\ (N3) \|x+y\| \leq \|x\| + \|y\| & (\text{A-Impl.}) \end{array} \right\}$$

Diese sind ebenso leicht zu zeigen wie (M1)-(M3)

und „folgen“ aus einer intuitiven Verständnis des Begriffs „Länge eines Vektors“ ein.

(iii) (Standard-) Skalarprodukt. Auf \mathbb{R}^n ist das sog. Standard-Skalarprodukt definiert

$$\left\{ \begin{array}{l} \langle \cdot | \cdot \rangle : \mathbb{R}^n \times \mathbb{R}^n \rightarrow \mathbb{R} \\ \langle x | y \rangle = x_1 y_1 + \dots + x_n y_n = \sum_{k=1}^n x_k y_k \end{array} \right\}$$

Sein Zusammenhang mit der Norm ist offensichtlich

$$\|x\| = \sqrt{\langle x | x \rangle}$$

und daher

$$d(x, y) = \|x - y\| = \sqrt{\langle x - y | x - y \rangle}.$$

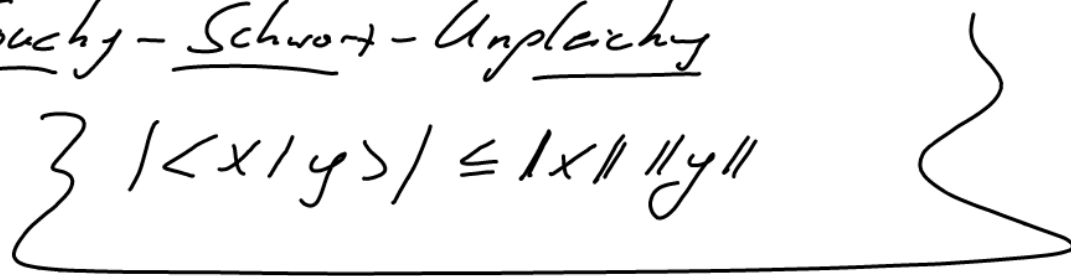
Das SP hat die 3 Grundeigenschaften ($x, y \in \mathbb{R}^n$, $\lambda, \mu \in \mathbb{R}$)

$$\left\{ \begin{array}{l} (\text{SP1}) \quad \langle x | x \rangle \geq 0 \text{ und } \langle x | x \rangle = 0 \iff x = 0 \quad (\text{pos. definit}) \\ (\text{SP2}) \quad \langle x | y \rangle = \langle y | x \rangle \quad (\text{symmetrisch}) \quad \text{nicht definiert} \\ (\text{SP3}) \quad \langle \lambda x + \mu y | t \rangle = \lambda \langle x | t \rangle + \mu \langle y | t \rangle \quad (\text{bilinear}) \\ \quad \quad \quad \langle x | \lambda y + \mu z \rangle = \lambda \langle x | y \rangle + \mu \langle x | z \rangle \quad \text{linear in jedem Faktor} \end{array} \right.$$

die ebenso leicht zu beweisen ist, wie die sop.

Cauchy-Schwarz-Ungleichung

$$\left\{ \langle x | y \rangle \leq \|x\| \|y\| \right.$$



(iv) Allgemein drückt man den Sprach um und definiert eine Metrik, eine Norm & ein Skalarprodukt über die jeweiligen Grundbegriffen - damit hat man allgemeine Begriffe geschaffen, die sich so verhalten wie ein „verständiges“ Abstand, eine „vernünftige“ Länge bzw. ein „sinnvolles“ SP. Jetzt offiziell

obwohl das Wesen der Abstraktion

1.4 DEF (Metrik, Norm, Skalarprodukt)

(i) Sei \mathcal{V} eine Menge und $d: \mathcal{V} \times \mathcal{V} \rightarrow \mathbb{R}$ eine Abb mit (M1) - (M3), dann nennen wir d eine Metrik auf \mathcal{V} und das Paar (\mathcal{V}, d) einen mehrdeutigen Raum

(ii) Sei V ein VR über \mathbb{R} und $\|\cdot\|: V \rightarrow \mathbb{R}$ eine Abb mit (N1) - (N3), dann nennen wir $\|\cdot\|$ eine Norm auf V und das Paar $(V, \|\cdot\|)$ einen normierten VR

(iii) Sei V ein VR über \mathbb{R} und $\langle \cdot | \cdot \rangle: V \times V \rightarrow \mathbb{R}$ eine Abb. mit (SP1) - (SP2), dann nennen wir $\langle \cdot | \cdot \rangle$ ein SP auf V und das Paar $(V, \langle \cdot | \cdot \rangle)$ einen Euklidischen VR

Im Falle eines \mathbb{C} -VR muß man die Bilinearität & die Symmetrie geprüft werden: $\langle x | y \rangle = \overline{\langle y | x \rangle}$

$$\langle x | y \rangle = \overline{\langle x | y \rangle}$$

1.5 Bsp (Metrische Raum (MR), Normierte VR (NVR), Eukl. VR (EV))

- (i) Natürlich ist \mathbb{R}^n mit dem Standard-SP/Eukl. Norm/Eukl. Metrik ein EVR/NVR/MR.
- (ii) $(\mathbb{R}, \|\cdot\|)$ ist ein NVR und mit $d(x, y) := |x - y|$ ein MR.
- (iii) $(C[0, b], \|\cdot\|_2)$ ist ein NVR, die reellwertige Funktionen in $C[0, b]$ mit $\langle \cdot \rangle$ bilden einen EVR. [vgl. 15] ss]
- (iv) $(C[0, b], \|\cdot\|_\infty)$ ist ein NVR.

1.6. Bem (Begriffe & Hierarchie – zum Ersten)

(i) Die Begriffe MR, NVR dienen dazu allgemein Räume mit „Abstand“ bzw. „Längenbegriffen“ zu studieren. Es zeigt sich, dass man auf diesen Räumen weitgehend analog zum \mathbb{R}^n Analysis betrieben werden kann. Viele Analysis-Züge formalisieren die mehrdimensionale Differenzialrechnung in diesem Rahmen (z.B. [House], [Forster]).

(ii) Es besteht folgende Hierarchie zwischen EVR, NVR und MR.

o) Aus jedem EVR $(V, \langle \cdot \rangle)$ wird Vermöge der Definition

$$\|x\| := \sqrt{\langle x, x \rangle}$$

ein NVR [(N1)-(N3)] folgerichtig aus (SP1)-(SP3) bzw. aus der CS-Upl. Diese Viererum folgt aus (SP1)-(SP2); vgl. [EWA, 7.6.15 bzw 7.2.60 und 7.6.16 bzw 7.3.60].

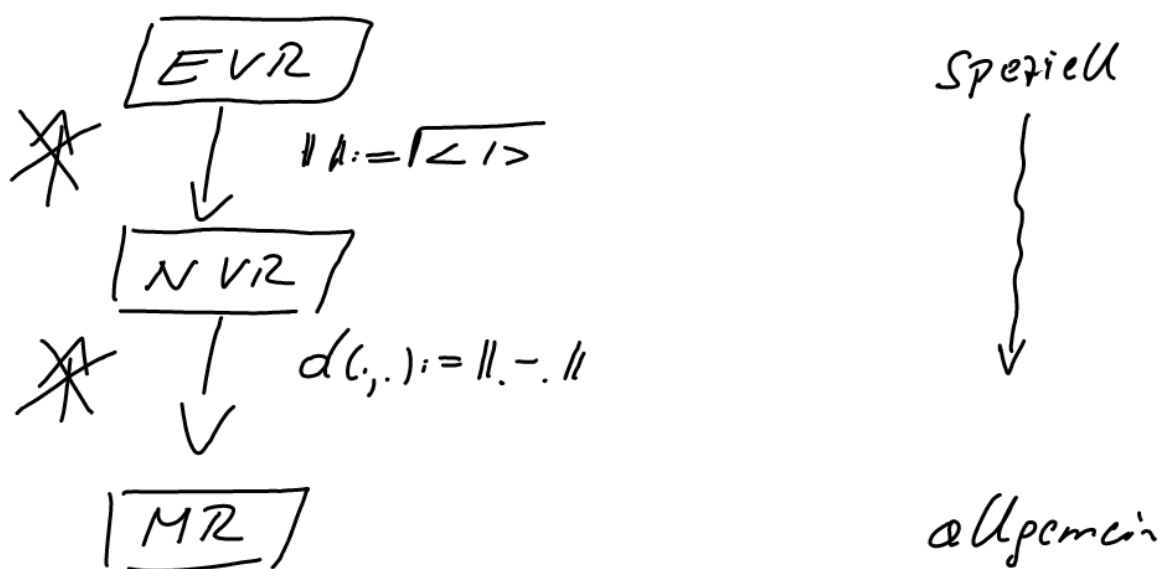
•) An jedem NVR ($V, 1 \parallel$) wird vermöge der Def

$$d(x, y) := \|x - y\|$$

vgl. [EMA J. 4.18 b zu
7.3.42]

ein MR [$(n_1) - (n_3)$] folgen leicht aus $(N1) - (N3)$].

•) Die „Umkehrungen“ sind jeweils nicht i.A. möglich.
Es gibt MR die keine NVR sind [sie brauchen ja nicht einmal VR zu sein!] und es gibt NVR,
die keine EVR sind; im Überblick



Das genaue Studium dieser Begriffe ist Grundlage der topologie bzw Funktionalanalysis.

1.7 BEN (Der \mathbb{R}^n ob NVR)

(i) Auf \mathbb{R}^n lassen sich außer der Eukl. Norm auch andere Normen (und damit Metriken vgl. 1.6) definieren. Beispiele sind

$$\|x\|_1 := |x_1| + |x_2| + \dots + |x_n| = \sum_{i=1}^n |x_i| \quad (\text{die 1-Norm})$$

•) b) v. allgemeiner ($1 \leq p < \infty$)

$$\|x\|_p := \sqrt[p]{|x_1|^p + \dots + |x_n|^p} = \left(\sum_{i=1}^n |x_i|^p \right)^{1/p} \quad (\text{p-Norm})$$

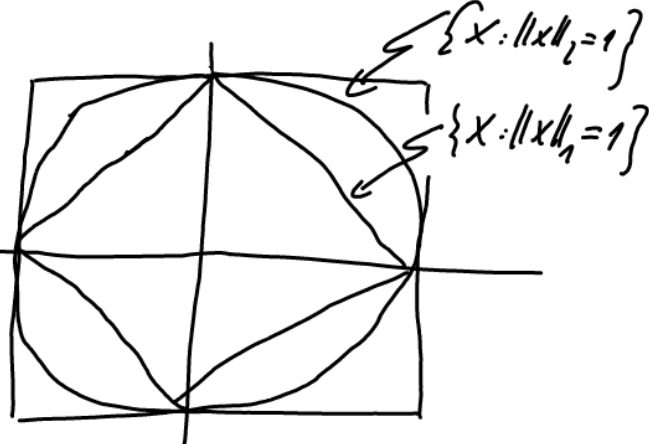
mit dem Spezialfall $\| \cdot \|_2 = \text{Eukl. Norm}$ und

•) $\|x\|_\infty := \max_{1 \leq i \leq n} |x_i| \quad (\infty\text{-Norm})$

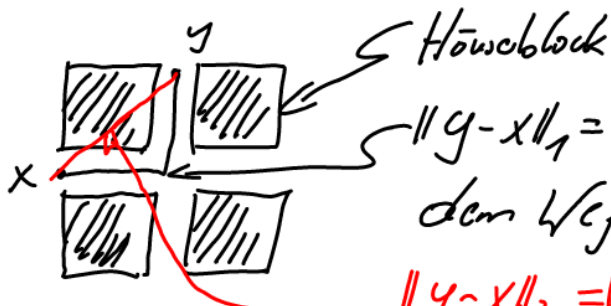
(ii) Es ergibt sich damit jeweils andere „Abstandsmessungen“ im \mathbb{R}^n , die für praktische Zwecke sehr brauchbar sind.

Am Bsp des \mathbb{R}^2 können wir z.B. die Einheitskugeln (d.h. die Kreise der Vektoren der Länge 1) bzgl. verschiedener Normen skizzieren.

$$\{x : \|x\|_\infty = 1\}$$



Die $\|\cdot\|_1$ ist z.B. beim Reisen von „Endfernungen“ in amerikanischen Städten viel besser geeignet als $\|\cdot\|_2$:



$\|y-x\|_1 = |y_1-x_1| + |y_2-x_2|$ entspricht
dem Weg den man gehen kann
 $\|y-x\|_2 = \sqrt{(y_1-x_1)^2 + (y_2-x_2)^2}$
ist zwar der „natürliche Abstand“,
aber so kann man nicht gehen...

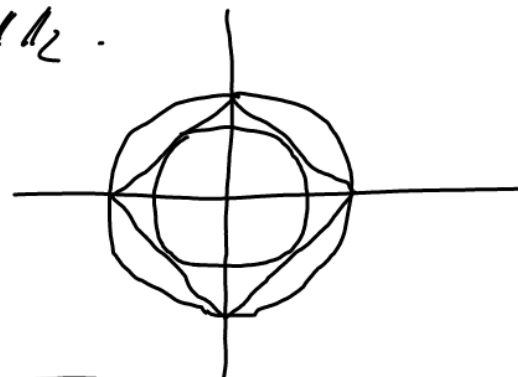
AUF FOKUSIERTE VORLESUNGSSTRAESEN

(iii) Zum Glück für die Analysis sind alle Normen auf \mathbb{R}^n äquivalent, d.h. genauer gilt der folgende Satz [z.B. Hause 2, 109.6]

Seien $\|\cdot\|_1$ und $\|\cdot\|_2$ zwei Normen auf \mathbb{R}^n , dann $\exists C_1, C_2 > 0$ sodass

$$C_1 \|x\|_1 \leq \|x\|_2 \leq C_2 \|x\|_1$$

[Anschaulich bedeutet der Satz, dass man die Einheitskugeln bzgl. der verschiedenen Normen schachteln kann - was ja geometrisch evident ist, z.B. für $\|\cdot\|_1$ und $\|\cdot\|_2$.]



Der Satz gilt im übrigen in jedem endl. dim. NVR.]

(iv) Wir können daher in Zukunft den \mathbb{R}^n mit vollem Recht als NVR mit $\|\cdot\|_2$ oder EVA mit $\langle \cdot \rangle$ studieren - Wenn wir eine beliebige andere Norm heranziehen würden, erhielten wir nämlich genau dieselbe Konvergenz und damit dieselbe Analysis.

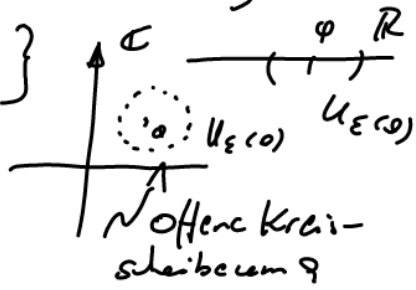
(v) In unendlichdim. VR führen verschiedene Normen i. A. zu verschiedenen Konvergenzbegriffen - siehe etwa $\|f\|_\infty, \|f\|_2$ in [5] §1, §4.

1.8 Notivation (Grundlagen der Konvergenz)

Wir haben den Konvergenzbegriff in \mathbb{R} und \mathbb{C} auf den Begriff der ε -Umgebung aufgebaut - zur Erinnerung

- in \mathbb{R} $U_\varepsilon(\alpha) = (\alpha - \varepsilon, \alpha + \varepsilon) = \{x \in \mathbb{R} : |x - \alpha| < \varepsilon\}$
- in \mathbb{C} $U_\varepsilon(\alpha) = \{z \in \mathbb{C} : |z - \alpha| < \varepsilon\}$

Und $x_n \rightarrow \alpha$ falls die x_n schließlich in jeder ε -Umgebung von α liegen.



Im \mathbb{R}^n werden wir den Konvergenzbegriff ebenso auf die ε -Umgebungen stützen. Dies wird - Analogie als offene und im Kapitel definiert; offiziell

1.9 DEF (ε -Umgebungen im \mathbb{R}^n) Sei $\alpha \in \mathbb{R}^n$. Für $\varepsilon > 0$ definieren wir die ε -Umgebung von α als

$$U_\varepsilon(\alpha) := \{x \in \mathbb{R}^n : \|x - \alpha\| < \varepsilon\}$$


1.10 Notivation (Umgebung - offene/obg. Mengen)

Wir haben es in der Analysis auf \mathbb{R} oft mit offenen btr.

obg. Intervallen zu tun gehabt - wobei es für viele Sätze essentiell war, ob das zugrundeliegende Intervall offen oder obg. war.

Die essentielle Eigenschaft offene Intervalle (a, b) bzw. obg. Intervalle $[a, b]$ - nämlich, dass der "Rand" $\{a, b\}$ nicht btr. schon dazu gehört - wollen wir nun auf beliebige Teil-

mengen des \mathbb{R}^n verallgemeinern. Natürlich ist hier der „Basis“ i.A. viel komplizierter und wir können ihn nicht leicht explizit angeben. Wir formalisieren diese Begriffe daher ebenfalls mittels ε -Umgebungen.

1.11 DEF (Umgebung, offene & obg Mengen)

(i) Sei $a \in \mathbb{R}^n$. Eine Menge $U \subseteq \mathbb{R}^n$ hat Umgebung von a , falls

$$\exists \varepsilon > 0 : U_\varepsilon(a) \subseteq U$$

(ii) Eine Menge $V \subseteq \mathbb{R}^n$ hat offen, falls V Umgebung aller ihrer Punkte ist, d.h.

$$\forall x \in V \quad \exists \varepsilon > 0 : U_\varepsilon(x) \subseteq V$$

E gibt eine ε -Schutzhülle, die pont in V liegt.

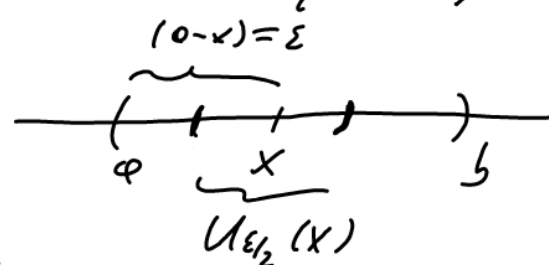
Jeder Punkt besitzt eine ε -Schutzhülle, die pont in V liegt.

(iii) Eine Menge $A \subseteq \mathbb{R}^n$ hat abgeschlossen, falls ihr Komplement $A^c = \mathbb{R}^n \setminus A$ offen ist.

1.12 Bsp (offene & obg Mengen)

(i) Offene Intervalle (a, b) sind offen. (daher der Name?)

Dann sei $x \in (a, b)$ dann setze $\varepsilon = \min\{|x-a|, |x-b|\}$
 $\Rightarrow U_{\varepsilon/2}(x) \subseteq (a, b)$



Aus demselben Grund sind die

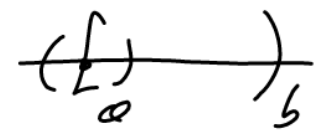
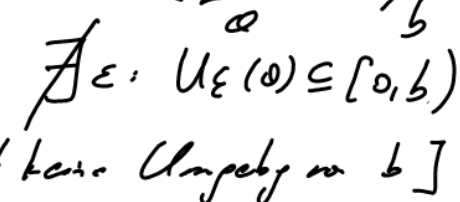
Intervalle der Form $(-\infty, b)$ bzw

$(0, \infty)$ offen.

(ii) Abgeschlossene Intervalle $[a, b]$ sind obg. (oh Wahr!)
 Denn $[a, b]^c = (-\infty, a) \cup (b, \infty)$ ist offen

Ebenso sind Intervalle der Form $[a, \infty)$ und $(-\infty, b]$ abgeschlossen, denn $[a, \infty)^c = (-\infty, a)$ und $(-\infty, b]^c = (b, \infty)$ sind offen

(iii) Hälfteffene Intervalle sind weder offen noch obg. Tatsächlich

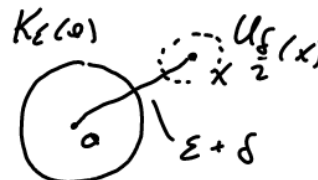
- $[a, b)$ ist nicht Umgebung von a 
- $[a, b)^c = (-\infty, a) \cup [b, \infty)$ ist nicht offen [es ist keine Umgebung von b] 

(iv) ε -Umgebungen sind offen.
 Sei nämlich beliebig $\varepsilon > 0$ beliebig
 $\Rightarrow \|b - a\| < \varepsilon \Rightarrow \varepsilon_1 := \varepsilon - \|b - a\| > 0$ 

V. zeigen, dass $U_\varepsilon(b) \subseteq U_{\varepsilon_1}(a)$. Sei dazu $x \in U_\varepsilon(b)$.

Es gilt $\underbrace{\|x - a\|}_{(N3)} \leq \|x - b\| + \|b - a\| < \varepsilon_1 + \|b - a\| \stackrel{(*)}{=} \varepsilon$

und daher $x \in U_{\varepsilon_1}(a)$ und da x beliebig war $U_\varepsilon(b) \subseteq U_{\varepsilon_1}(a)$.

(v) Abgeschlossene Kugeln ($a \in \mathbb{R}$) $K_\varepsilon(a) := \{x \in \mathbb{R}^n : \|x - a\| \leq \varepsilon\}$
sind obg. [Beweis durch Zeichnung, oder ]
 sei $x \in K_\varepsilon(a)^c = \{x : \|x - a\| > \varepsilon\} \Rightarrow \|x - a\| = \varepsilon + \delta (\delta > 0)$
 dann gilt $U_{\delta/2}(x) \subseteq K_\varepsilon(a)^c$, denn für $y \in U_{\delta/2}(x)$
 gilt $\underbrace{\|a - y\|}_{\geq \|a - x\| - \|x - y\|} \geq \|a - x\| - \delta/2 \geq \varepsilon + \delta - \frac{\delta}{2} = \varepsilon + \frac{\delta}{2} > \varepsilon$ 

(vi) Die Extremfälle: \mathbb{R}^n und \emptyset sind offen & obg.

\mathbb{R}^n ist offen, da lokale Umgebung jeder reellen Zahl und daher ist $\emptyset = \mathbb{R}^c$ abgeschlossen.

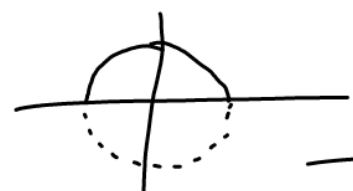
Die leere Menge \emptyset ist auch Umgebung aller ihrer Punkte [dies ist ein Trick - sie hat ja keinen Punkt & so ist nichts zu zeigen] und daher ist \emptyset offen und $\mathbb{R}^n = \emptyset^c$ obg.

1.13 WARNUNG (Offen ist nicht das „Gegenteil“ von obg. DDD)

Ein beliebiges Rechtsverständnis ist es zu glauben, dass obg. das „Gegenteil“ von offen ist - also obige Menge $M \subseteq \mathbb{R}^n$ entweder offen oder abgeschlossen ist.

Dies ist aber nicht wahr, denn es gibt Mengen

- die offen & abgeschlossen sind - nämlich \mathbb{R}^n und \emptyset ; siehe 1.12(vi) [dies sind über die eindimensionalen TT von \mathbb{R}^n mit dieser Eigenschaft]
- die weder offen noch obg. sind - z.B. $\{0, 1\} \subseteq \mathbb{R}$ oder etwa eine Kreisscheibe in \mathbb{R}^2 wo der obere Rand dazu gehört & der untere nicht.



1.14 PROP (Grund Eigenschaften von Umgebungen & offenen Mengen)

Sei $a \in \mathbb{R}^n$. Es gilt

- (i) U Umgebung von a , $V \supseteq U \Rightarrow V$ Umgebung von a
- (ii) U_1, U_2 Umgebungen von $a \Rightarrow U_1 \cap U_2$ Umgebung v. a

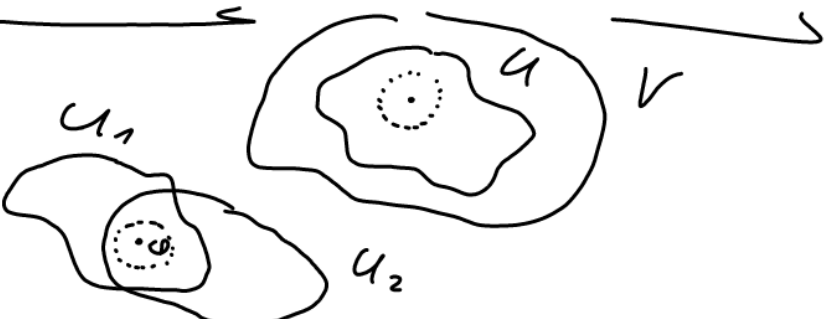
- ⚡ (iii) Die Vereinigung beliebig vieler offener Mengen ist offen.
 ⚡ (iv) Der Durchschnitt endlich vieler offener Mengen ist offen.

100
auch
viele

Beweis (i) klar per Def

(ii) ditto klar per Def

(iii) [einfaches Hantieren mit den Begriffen]



Seien $(U_i)_{i \in I}$ offene Mengen wobei I eine beliebige Indexmenge ist [I kann überabzählbar sein?]

Sei $\varnothing \in \bigcup_{i \in I} U_i \Rightarrow \exists i \in I, \varnothing \in U_i$

U_i offen $\Rightarrow \exists \varepsilon > 0: U_{\varepsilon(0)} \subseteq U_i \Rightarrow U_{\varepsilon(0)} \subseteq \bigcup_{i \in I} U_i$

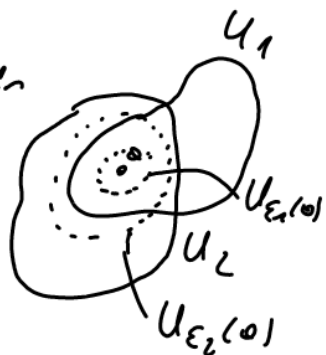
Es gibt ja schon eine ε -Sicherheitskugel um \varnothing in einem U_i , daher ist \varnothing auch in $\bigcup U_i$:

$\Rightarrow \bigcup_{i \in I} U_i$ offen

(iv) [ebenfalls...] Seien $U_1, \dots, U_e \subseteq \mathbb{R}^n$ offene Mengen

$\varnothing \in \bigcap_{i=1}^e U_i \Rightarrow \varnothing \in U_i \quad \forall 1 \leq i \leq e$

U_i offen $\Rightarrow \forall 1 \leq i \leq e \exists \varepsilon_i > 0: U_{\varepsilon_i(0)} \subseteq U_i$



Setzt $\varepsilon := \min_{1 \leq i \leq e} \varepsilon_i \Rightarrow U_{\varepsilon(0)} \subseteq U_i \quad \forall 1 \leq i \leq e$

$\Rightarrow U_{\varepsilon(0)} \subseteq \bigcap_{i=1}^e U_i \Rightarrow \bigcap_{i=1}^e U_i$ offen]

1.15 BEM & WARNUNG (Durchschnitte & Vereinigungen offener & abs. Mengen)

(i) Mittels der De Morgan'schen Regeln

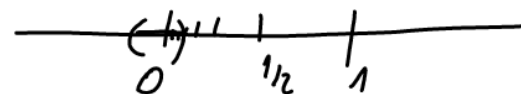
[ENIA 4.1.28] ergibt sich aus 1.15 (iii)(iv) sofort

- {
-) Beliebige Durchschnitte obg. Mengen sind obg.
-) Endliche Vereinigungen obg. Mengen sind obg.

[Tatsächlich: $(A_i)_{i \in I}$ obg $\Rightarrow (\bigcap_{i \in I} A_i)^c = \bigcup_{i \in I} A_i^c$ offen $\Rightarrow \bigcap_{i \in I} A_i$ obg
analog für $\bigcup_{i \in I} A_i$: De Morgan \hookrightarrow offen noch def
offen noch 1.16(iii)]

(ii) Die jeweils andere Kombination ist falsch:

-) Beliebige Durchschnitte offene Mengen sind i.A. nicht offen, denn z.B. $\bigcap_{n \in \mathbb{N}} (-\frac{1}{n}, \frac{1}{n}) = \{0\}$ ist obg [M.R. 10] - $(-\infty, 0) \cup (0, \infty)$ ist offen]
-) Daher sind wiederum nach De Morgan beliebige Vereinigungen obg. Mengen i.A. nicht obg. Ein expliziter Gegenstand ist etwa $\bigcup_{n \in \mathbb{N}} \left\{ \frac{1}{n} \right\}$ ist nicht obg, denn $\left(\bigcup_{n \in \mathbb{N}} \left\{ \frac{1}{n} \right\} \right)^c$ ist nicht offen - es enthält kein $U_\varepsilon(0)$



1.16 Ausblick (Topologie)

(i) (ε -Umgebungen sind ein metrisches Konzept)

Unsere bisherigen Überlegungen zu offenen & obg. Mengen basieren auf dem Konzept der ε -Umgebung. Dieses ist ein metrisches Konzept - soll heißen es ist in M.R. definierbar [tatsächlich haben wir nur $\|x - 0\|$ verwendet und wir hätten genauso gut schreiben können

$$U_\varepsilon(0) = \{x : d(x, 0) < \varepsilon\}$$

und wir werden im weiteren unsere spätere Betrachtung von Konvergenz & Stetigkeit darauf aufbauen.

(ii) (Es geht aber noch allgemeiner - Topologische Räume)

Tatsächlich kann man noch einen Verallgemeinerungsschritt draufsetzen und ohne zuhilfenahme einer Metrik definieren, was eine offene Menge ist. Dazu bedient man sich wiederum des Tricks [vgl. 1.3(cir)] die Grundeigenschaften zur Definition zu erheben:

Sei Π eine Menge. Eine Topologie Θ auf Π ist ein System von Teilmengen von Π (d.h. $\Theta \subseteq \mathcal{P}(\Pi)$, $\mathcal{P}(\Pi)$ die Potenzmenge von Π) mit den Eigenschaften

$$(O1) \quad \Pi, \emptyset \in \Theta$$

(O2) Sei I eine beliebige Indexmenge und

$$\cup_{i \in I} U_i \in \Theta \Rightarrow \cup_{i \in I} U_i \in \Theta$$

(O3) Seien $U_1, \dots, U_n \in \Theta$ ($n \in \mathbb{N}$) $\Rightarrow \bigcap_{i=1}^n U_i \in \Theta$.

Das Paar (Π, Θ) heißt topologischer Raum und die Mengen in Θ heißen offene Mengen in (Π, Θ) .

Diese Def ist tatsächlich an den Eigenschaften der offenen Mengen in \mathbb{R}^n (vgl. 1.16(iii),(iv)) bzw in $\mathbb{M}\mathbb{R}$ (vgl. (i)) modelliert – die Mengen in Θ haben genau dieselben Eigenschaften wie die offenen Mengen im \mathbb{R}^n bzw in $\mathbb{M}\mathbb{R}$ (vgl. (i)).

\mathbb{R}^n offen
vgl. 1.12(cir)

beliebige Verein.
sind erlaubt
vgl. 1.14(cir)

Endl. Durch.
sind erlaubt
vgl. 1.14(cir)

(iii) (Topologie)

Das Studium top. Räume ist Inhalt des math. Teilstücks der (mengentheoretischen) Topologie. Es zeigt sich, dass eine Theorie von Konvergenz & Stetigkeit in top. Räumen entwickelt werden kann – ohne Fahrlässigkeit der Begriffe Metrik, Norm oder por. SP, rein unter Verwendung des Begriffs offene Mengen.

In diesem Sinne ist die Topologie jenes Teilstück der Mathematik, das den abstraktesten Kern des Konvergenzbegriffs fragebt.

(iv) (\mathbb{N} R & top. Räume)

Genauso wie man aus jedem EVR einen NR und aus jedem NR einen TR machen kann (vgl. 1.6(iii)) kann man aus jedem \mathbb{N} R einen topologischen Raum machen.

Genauer, sei (\mathbb{N}, d) ein \mathbb{N} R, dann ist

$$\Theta = \left\{ U \subseteq \mathbb{N} / \forall x \in \mathbb{N} \exists \varepsilon \in \mathbb{N} \text{ mit } U_\varepsilon(x) \subseteq U \right\}$$

= { $U \subseteq \mathbb{N} / U$ offen im Sinne von 1. Maß}

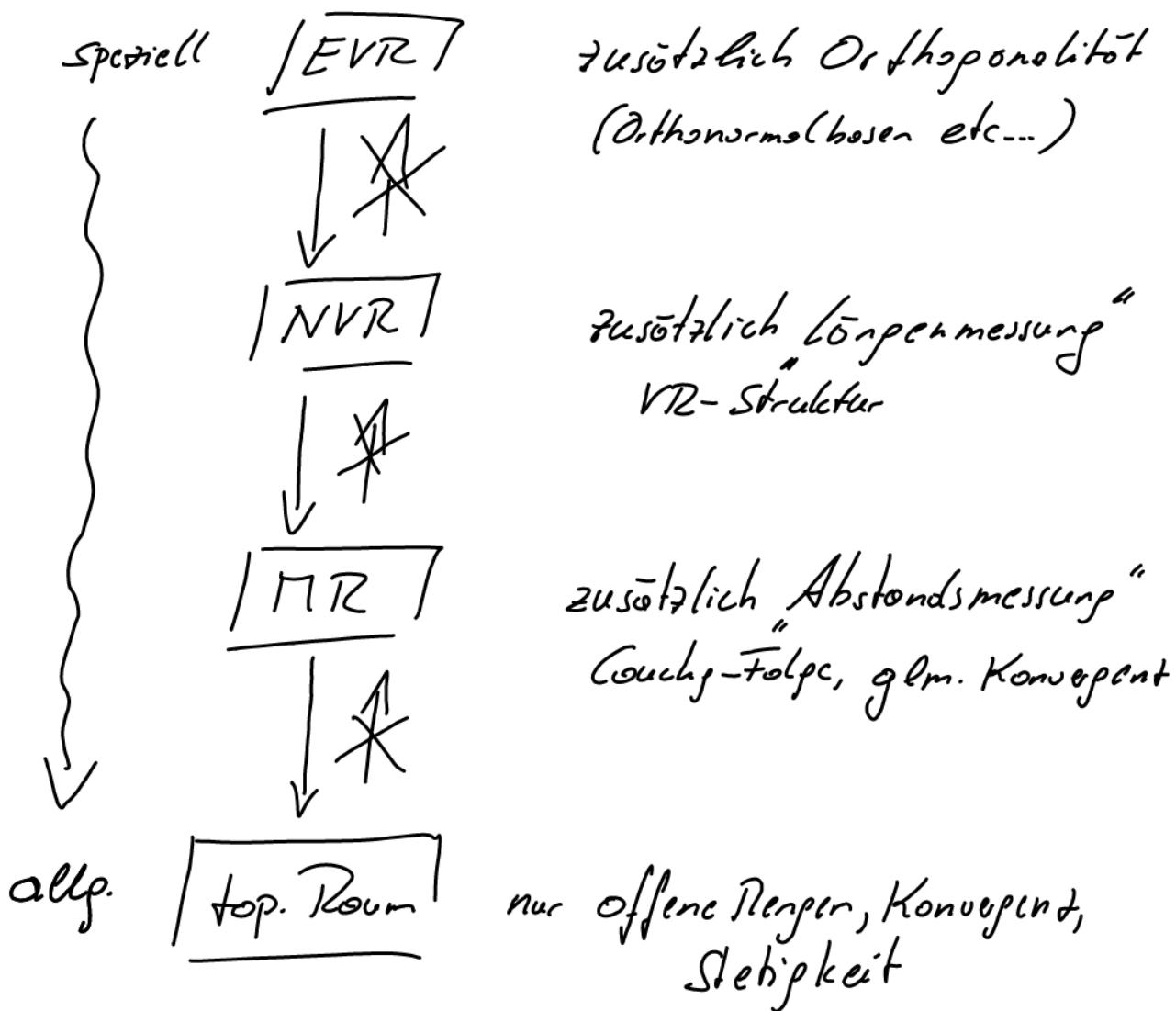
Verhältnis zu
jeder Pkt. an
 ε -Schwelle ist

eine Topologie auf \mathbb{N} .

Es gibt aber viele top. Räume, deren Topologie nicht auf diese Weise von einer Metrik erzeugt wird.

(v) (Hierarchie der Begriffe - Raumfaktor)

zusammen mit 1.6(cii) erhalten wir folgende Hierarchie von „Räumen.“



R und R'' sind natürlich noch spezieller ob EVR: R' ist ein vollständiger Körper und R'' (bis auf Isomorphie) der einzige n-dim EVR.

(vi) (Abstraktion schön & gut - aber rot)

Diese Trope beinhaltet die folgende Textauszüge von Michael Grosser:

[M. Grosser, Mathematik für Physik 4 (Funktionalanalysis); Auszug]

Besinnen wir uns auf eine der ursprünglichen Aufgaben der Mathematik in Anwendungssituationen, nämlich etwas „auszurechnen“, die Lösung eines in mathematische Ausdruckweise übersetzten Problems zu ermitteln.

Besteht die Lösung in einem Zahlenwert, so ist es langfristig gesehen wenig sinnvoll, das gegebene Problem als einzelnes anzugehen: In den meisten Fällen wäre das zu schwierig oder insofern unrationell, weil man beim nächsten Problem wieder von vorne weg zu überlegen beginnen müßte. Viel sinnvoller ist es, die Menge aller in Frage kommenden (reellen, komplexen) Zahlen mit den dort relevanten Rechenoperationen und Strukturen (Ordnung, Nähe und Distanz, Approximation) zu untersuchen und außerdem die Abbildungen dieser Menge (in einer gegebenen Gleichung entspricht ja jede Seite einer Funktion in der gesuchten Unbekannten) zu studieren. Das geschieht in der Analysis der Funktionen einer (reellen beziehungsweise komplexen) Variablen.

Analoges gilt, falls die Lösung in einem Zahlenvektor beziehungsweise in einem n -Tupel von Zahlen besteht: Wiederum bringt einen das endlose Studium von jeweils gegebenen Einzelfällen kaum weiter. Nützlicher ist es zum Beispiel im Falle linearer Gleichungssysteme, die allgemeine Lösbarkeit einschlägiger Probleme auf der Basis eines gründlichen Studiums endlichdimensionaler Vektorräume und linearer Abbildungen zu untersuchen. Im Falle nichtlinearer Gleichungen beziehungsweise Abbildungen müssen die Methoden der Analysis von Funktionen mehrerer Variabler herhalten.

Genauso stellt sich die Situation dar, wenn die Lösung eines Problems in einem noch „komplizierteren“ mathematischen Objekt wie etwa einer Folge oder einer Funktion besteht. Das ist unter anderem in den unzähligen Situationen der Fall, wo eine Differential- oder eine Integralgleichung gelöst werden muß (beispielsweise zur Ermittlung der Bahn eines Himmelskörpers, der Ausbreitung einer Erdbebenwelle, der Wellenfunktion eines quantenmechanischen Systems, der Schwingung einer Membran einer gewissen Gestalt und so weiter). In einer solchen Situation ist es noch viel schwieriger, eine einzelne Aufgabe in einem „singulären Gewaltakt“ zu lösen. Hier muß jeweils eine geeignete Gesamtheit von Funktionen, Folgen etc. mit den relevanten Strukturen (ein gewisser „Raum“) sowie die passende Art von Abbildungen zwischen solchen Räumen studiert werden. Diese Räume sind meist komplizierter als die vertrauten Räume \mathbb{R}^n oder \mathbb{C}^n oder Teilmengen von diesen.

1.17 NOTATION (Zurück im Konkreten: Konvergenz im \mathbb{R}^n)

Noch unserm Ausflug in die Strukturtheorie kehren wir zu konkreten Dingen zurück: Konvergenz im \mathbb{R}^n . Wir beginnen die Terminologie für Folgen im \mathbb{R}^n festzulegen.

1.18 TERMINOLOGIE (Folgen in \mathbb{R}^n)

Eine Folge in \mathbb{R}^n (im Sinne von [1] Def 2.1) ist eine Abb

oder
auch
Vektorfolge

$$x: \mathbb{N} \rightarrow \mathbb{R}^n$$

und wir schreiben $x^{(k)} := x(k)$ bzw.

$(x^{(k)})_{k \in \mathbb{N}}$ oder kürzer $(x^{(k)})_k, (x^{(k)})$
für die ganze Folge.

nicht $x_k := x(k)$
weil dies spricht
sich mit der
Komponentenschreib-
weise

Jedes $x^{(k)}$ ist ja Element in \mathbb{R}^n und wir schreiben

K-t-ter
Folgeglied

$$x^{(k)} = (x_1^{(k)}, \dots, x_n^{(k)}) \in \mathbb{R}^n, k \in \mathbb{N}.$$

1.-h-te
Komponente
des k. Folgeglieds

Die Folge $(x^{(k)})$ besteht also aus den n-stück
Komponentenfolgen $(x_1^{(k)}), \dots, (x_n^{(k)})$,
die alle reelle Folgen sind.

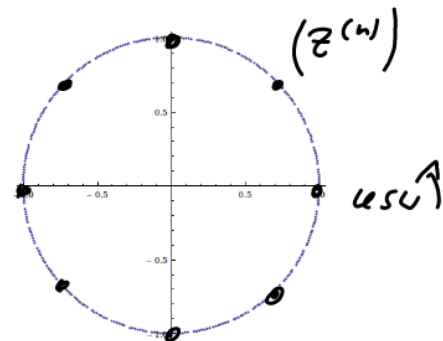
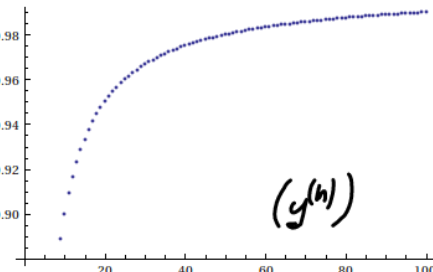
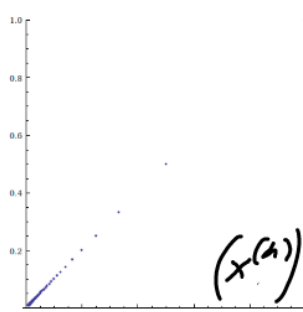
Eine Folge im \mathbb{R}^n
sind n-stück
Folgen in \mathbb{R}

1.19 Bsp (Folgen in \mathbb{R}^n - Veranschaulichung)

(i) Bsp für Folgen im \mathbb{R}^2 sind obige

$$x^{(n)} = \left(\frac{1}{n}, \frac{1}{n}\right), \quad y^{(n)} = \left(n, 1 - \frac{1}{n}\right), \quad z^{(n)} = \left(\cos\left(n \frac{\pi}{q}\right), \sin\left(n \frac{\pi}{q}\right)\right)$$

Diese können als Folziengänge im \mathbb{R}^2 (vgl. [1] 2.4)
veranschaulicht werden:

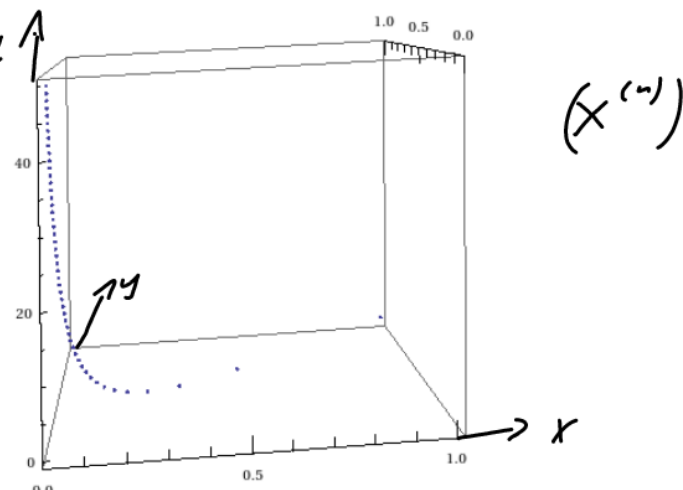


(ii) Bsp für Folgen im \mathbb{R}^3 bzw \mathbb{R}^5 sind

$$x^{(n)} = \left(\frac{1}{n}, \frac{1}{n}, n \right) \quad y^{(n)} = \left(\left(1 + \frac{1}{n}\right)^n, 1, e^n, 1 - \frac{1}{n}, n \right)$$

Folgen im \mathbb{R}^3 können noch als Spurfolgen vereinfacht werden - allerdings etwas mühsam.

Für $n \geq 4$ kann man sinnvoll nur noch die Komponenten veranschaulichen [siehe Graph oder Spurfolge rpl. 17] 2.4]



[Jetzt aber endlich
zur Konvergenz]

1.20 DEF (Konvergenz im \mathbb{R}^n)

Sei $(x^{(k)})$ eine Folge in \mathbb{R}^n und sei $\omega \in \mathbb{R}^n$. Wir sagen $x^{(k)}$ konvergiert gegen ω , falls

} $\forall \varepsilon > 0 \exists N \in \mathbb{N} \forall k \geq N: x^{(k)} \in U_\varepsilon(\omega)$
d.h. $\|x^{(k)} - \omega\| < \varepsilon$

pkt. Wir schreiben dann

$\lim_{k \rightarrow \infty} x^{(k)} = \omega$ oder $x^{(k)} \rightarrow \omega$ ($k \rightarrow \infty$) und nennen ω den Grenzwert von $(x^{(k)})$.

1.21 Motivation (Prinzip der Koordinatenweisen Konvergenz)
 Wie schon in C, wo sich die Konvergenz einer Folge auf die Konvergenz von Real- und Imaginärteil zurückführen lässt [vgl. 12] 3.10(E)], lässt sich die Konvergenz einer Folge $x^{(k)} = (x_1^{(k)}, \dots, x_n^{(k)})$ in \mathbb{R}^n auf die Konvergenz der Komponentenfolgen $(x_1^{(k)}), \dots, (x_n^{(k)})$ zurückführen - man spricht vom Prinzip der Komponentenweisen (oder Koordinatenweisen) Konvergenz (PKK).

Genauer werden wir gleich sehen, dass

$$\lim(x^{(k)}) = (\lim x_1^{(k)}, \dots, \lim x_n^{(k)})$$

gilt. Somit ist wie schon in C [vgl. 12] 3.10(E)] die Konvergenz in \mathbb{R}^n nichts Neues aber n-mal so viel Arbeit

1.22 Satz (PKK) Sei $x^{(k)} = (x_1^{(k)}, \dots, x_n^{(k)})$ eine Folge
 in \mathbb{R}^n und $\varphi = (\varphi_1, \dots, \varphi_n) \in \mathbb{R}^n$. Dann gilt
 $\lim_{k \rightarrow \infty} x^{(k)} = \varphi \iff \lim_{k \rightarrow \infty} x_j^{(k)} = \varphi_j \quad \forall 1 \leq j \leq n$

Beweis [punktgleich bzw. als Elter-Beweis]

$$\Rightarrow \forall 1 \leq j \leq n \text{ gilt } |x_j^{(k)} - \varphi_j| \leq \|x^{(k)} - \varphi\| \xrightarrow{k \rightarrow \infty} 0 \quad (\text{El. Voraus.})$$

$$\Rightarrow x_j^{(k)} \xrightarrow{k \rightarrow \infty} \varphi_j.$$

$$(*) |c_j| = \sqrt{c_j^2} \leq \sqrt{c_1^2 + \dots + c_n^2} = \|c\|$$

jede Koordinate ist dem Betrag nach beschränkt durch die Norm

\Leftrightarrow Sei $\varepsilon > 0$. Cl. Voraussetzung gilt für $1 \leq j \leq n$

$$\exists N_j : |x_j^{(k)} - \varphi_j| < \varepsilon / \sqrt{n} \quad \forall k \geq N_j \quad (*)$$

Sche $N := \max\{N_1, \dots, N_n\}$ und sei $k \geq N$, dann
gilt

$$\begin{aligned} \|x^{(k)} - \varphi\| &= \left(\underbrace{(x_1^{(k)} - \varphi_1)^2}_{\leq \varepsilon^2/n} + \dots + \underbrace{(x_n^{(k)} - \varphi_n)^2}_{\leq \varepsilon^2/n} \right)^{1/2} \\ &\leq \left(n \frac{\varepsilon^2}{n} \right)^{1/2} = \varepsilon. \end{aligned}$$

$$\Rightarrow x^{(k)} \rightarrow \varphi.$$

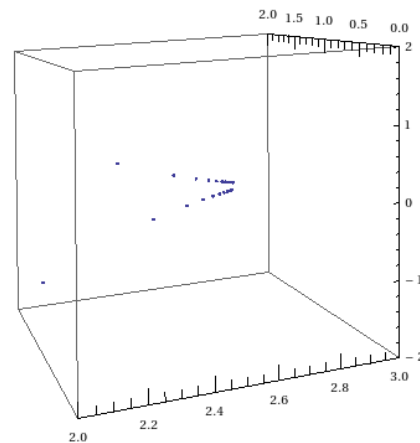
□

1.23 BSP (Konvergenz im \mathbb{R}^n)

$$x^{(n)} = \left(\frac{1}{n}, \frac{1}{n} \right) \rightarrow (0, 0) \quad (n \rightarrow \infty)$$

$$y^{(n)} = \left(n, 1 - \frac{1}{n} \right) \text{ divergiert [weil } y_i^{(n)} = n \rightarrow \infty]$$

$$z^{(k)} = \begin{pmatrix} (1+1/k)^k \\ 1 \\ (-1)^k/k \end{pmatrix} \rightarrow \begin{pmatrix} e \\ 1 \\ 0 \end{pmatrix}$$



1.24 BEI (PKK und seine Folgen)

Das PKK erlaubt es uns Resultate über Folgen in \mathbb{R} port leicht in Resultate über Folgen in \mathbb{R}^n zu verwandeln - vgl. dazu auch (2) 3.10 (G), (H).

Z.B. ist es "keinen Satz" festzustellen dass Summen von konvergenten Folgen in \mathbb{R}^n gegen die Summe der

Grenzwerte konvergieren.

$$\begin{aligned} [x^{(k)} \rightarrow \varnothing, y^{(k)} \rightarrow b \stackrel{\text{PKK}}{\Rightarrow} x_j^{(k)} \rightarrow \varnothing_j, y_j^{(k)} \rightarrow b_j \quad \forall 1 \leq j \leq h \\ \boxed{\Rightarrow x_j^{(k)} + y_j^{(k)} \rightarrow \varnothing_j + b_j \quad \forall 1 \leq j \leq h} \\ \stackrel{\text{PKK}}{\Rightarrow} x^{(k)} + y^{(k)} \rightarrow \varnothing + b] \end{aligned}$$

Folgende beide Resultate über Cauchy-Folgen & beschränkte Folgen halten wir - wegen ihrer großen Relevanz - explizit fest. Zuvor müssen wir aber noch definieren.

1.25 DEF (CF & beschränkte Folge)

Sei $(x^{(k)})$ eine Folge in \mathbb{R}^n . Wir nennen $x^{(k)}$

(i) eine Cauchy-Folge, falls

$$\forall \varepsilon > 0 \exists N \forall k, m \geq N: \|x^{(k)} - x^{(m)}\| < \varepsilon$$

(ii) beschränkt, falls

$$\exists R > 0 \forall k \in \mathbb{N} \|x^{(k)}\| \leq R$$



1.26 KOR (Vollständigkeit, Bolzano-Weierstraß)

(i) \mathbb{R}^n ist vollständig, d.h. für jede Folge $(x^{(k)})$ im \mathbb{R}^n gilt
 $x^{(k)}$ konvergent $\Leftrightarrow x^{(k)}$ CF

(ii) In \mathbb{R}^n gilt der Satz v. Bolzano-Weierstraß, d.h.
jede beschränkte Folge in \mathbb{R}^n hat eine konvergente Teilfolge.

Ruß nicht definiert worden - Def [1] 3.3 gilt für Folgen in beliebigen Räumen

Beweis (i) [sowohl lachliche Anwendung von PKK] ($\vee E$)

(ii) $x^{(k)}$ beschränkt $\Rightarrow x_j^{(k)}$ beschränkt $\forall 1 \leq j \leq n$

Wie x_j im
Beweis von 1.22

$x_1^{(k)}$ beschränkte Folge in \mathbb{R} $\xrightarrow[\text{1.7.3.11}]{\text{BW}} \exists \text{ konv. TF } (x_1^{(k_e)})_c$

Betrachte nun die Folge $(x_2^{(k_e)})_c$. Sie ist ob TF der
beschr. reellen Folge $(x_2^{(k)})_k$ beschränkt

$\xrightarrow{\text{BW}} \exists \text{ konv. TF } (x_2^{(k_m)})_m$

Betrachten $(x_3^{(k_m)})_m$ ---

⋮
 $\xrightarrow{\text{⋮}} \exists \text{ konv. TF } (x_n^{(k_s)})_s$

Konstruktion

$\Rightarrow \exists \text{ TF } (x^{(k_s)})_s$, die in jeder Komponente konv.

$\xrightarrow{\text{PKK}}$ $(x^{(k_s)})_s$ konvergent (als Folge in \mathbb{R}^n). \square

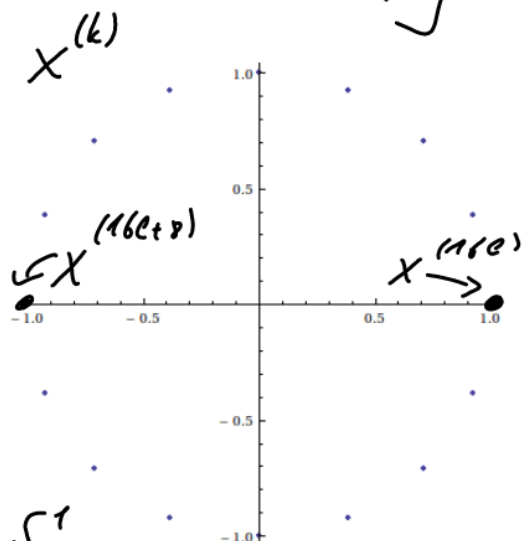
1.27 BSD (Zum BW)

$$x^{(k)} = (\cos(k\frac{\pi}{8}), \sin(k\frac{\pi}{8}))$$

$(x^{(k)})$ ist beschränkt, dann

$$\|x^{(k)}\|^2 = \cos^2\left(\frac{k\pi}{8}\right) + \sin^2\left(\frac{k\pi}{8}\right) = 1$$

$$\Rightarrow \|x^{(k)}\| = 1 \quad \forall k \text{ d.h. alle } x^{(k)} \in S^1$$



Eine konv. TF ist z.B. $x^{(16e)} = (\cos(2e\pi), \sin(2e\pi)) = (1, 0)$

aber etwa auch $x^{(16e+8)} = (\cos((2e+1)\pi), \sin((2e+1)\pi)) = (-1, 0)$

1.28 Motivation (Abg & kp Mengen)

In der Analysis schlägt Flit auf \mathbb{R} haben die beschränkten & obg. Intervalle $[a, b]$ eine Sonderrolle gespielt [vgl. 12] 2.1. & Thms 2.11, 2.16] diese haben wir ob komplexe Intervalle bezeichnet.

Ihre Verallgemeinerung, den komplexen Mengen im \mathbb{R}^n wenden wir uns jetzt zu: - war könnten wir analog zum Vierchen in \mathbb{R} komplexe Mengen als obg + beschränkte Mengen definieren - das wäre zwar ein mögliches Zugang, aber auch ein untauglicher^(A): Ein wesentliche Eigenschaft einer komplexen Menge ist nämlich:

Jede Folge in K hat eine in K konv. TF.

(*)

Gegeben: angeschaut ob praktisch sehr brauchbar ob
= Existenzmaschine [vgl. 11] Kap 3]

die Limes einer TF wird in die Existenz prüfen.

Zentrale Begriffe der höheren Analyse,
topologische Funktionen
und Ortsysteme.

Komplexität ist in gewisse Weise der obstruktive Kern der „Existenzmaschine“ der Analysis. Er kann nicht nur in \mathbb{R}^n , sondern auch in top. Räumen formuliert werden.

Allerdings können schon in \mathbb{R}^n kp Mengen „propto“ obg + beschränkte Mengen sein... [vgl.(1)].

allerdings nicht unbedingt
(*) sondern mittels
Überdeckungs eigenschaft
vgl. [Fischer 2, § 3]

Zurück befreien wir uns also noch mit obg. Mengen.

1.29 Satz (Abg Mengen enthalten die Lw ihrer Folgen)

{ Sc. $A \subseteq \mathbb{R}^n$, dann gilt

Für alle (in \mathbb{R}^n) konvergenten

A ist abgeschlossen (\Leftrightarrow) Folgen $(x^{(k)})$ in A gilt

$$\lim_{k \rightarrow \infty} x^{(k)} \in A$$

1.30 Bsp (Zur Illustration von 1.29)

{ genauer: $f_k \in \mathbb{R}^n$ mit $c = \lim_{k \rightarrow \infty} x^{(k)}$ und $x^{(k)} \in A \forall k \Rightarrow c \in A$

Wir betrachten $x_n = 1/n$ in \mathbb{R} . Dann gilt

$x_n \in (0, 1]$ aber $\lim x_n = 0 \notin (0, 1]$ und $(0, 1]$ ist nicht
obg.

$x_n \in [0, 1]$ und $\lim x_n \in [0, 1]$ und $[0, 1]$ ist obg.

[Zw. indirekt aber anschaulich]

Beispiel \Rightarrow "Indir. auf $c = \lim x^{(k)}$ mit $x^{(k)} \in A \forall k$
aber $c \notin A$

$$\Rightarrow c \in A^c = \mathbb{R}^n \setminus A$$

Abg $\Rightarrow \mathbb{R}^n \setminus A$ offen

$\Rightarrow \exists$ Sicherheitskugel um c

genauer $\exists \varepsilon > 0 : U_\varepsilon(c) \subseteq \mathbb{R}^n \setminus A$

$$\Rightarrow U_\varepsilon(c) \cap A = \emptyset \quad (*)$$



Dies ist aber ein Widerspruch zu $c = \lim x^{(k)}$, $x^{(k)} \in A$, denn

$$c = \lim x^{(k)} \Rightarrow \exists N \forall k \geq N : x^{(k)} \in U_\varepsilon(c)$$

$$\stackrel{(*)}{\Rightarrow} x^{(k)} \notin A \quad \forall k \geq N \quad \text{d.h. } x^{(k)} \notin A \quad \forall k$$

\Leftarrow "Wir zeigen, dass A^c offen ist."

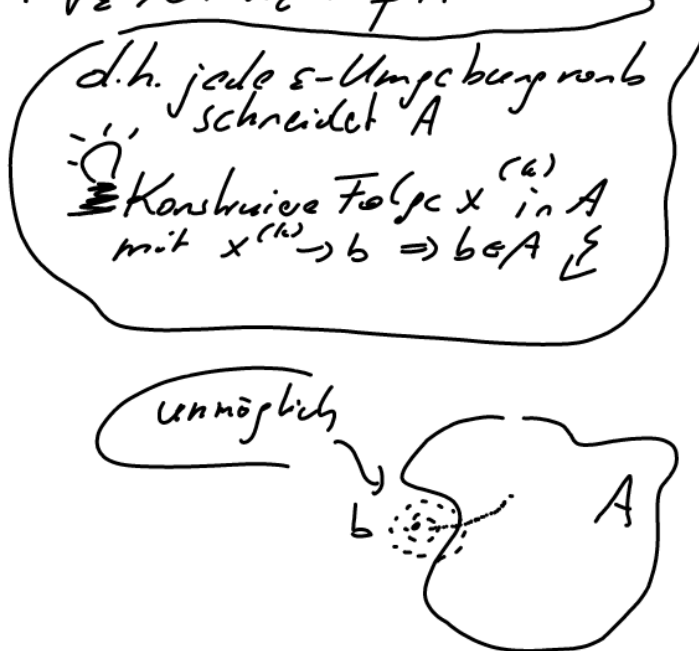
Indir. arg nicht $\Rightarrow \exists b \in A^c : \forall \varepsilon > 0: U_\varepsilon(b) \not\subset A^c$

$\Rightarrow \nexists k \in \mathbb{N}: U_k(b) \cap A \neq \emptyset$

$\Rightarrow \forall k \in \mathbb{N} \exists x^{(k)} \in U_k(b) \cap A$

$\Rightarrow (x^{(k)})$ ist Folge in A
mit $x^{(k)} \rightarrow b$ ($k \rightarrow \infty$)

$\overset{A \text{ obg}}{\Rightarrow} b \in A$ \square



d.h. jede ε -Umgebung von b schneidet A
Konstruktive Folge $x^{(k)}$ in A
mit $x^{(k)} \rightarrow b \Rightarrow b \in A$

1.31 BEN (Abschluss einer Menge)

(i) (Die Idee)

Man kann den Defekt einer nicht obg. Menge M beheben nicht obg. zu sein, indem man die Lücken alle (in \mathbb{R}^ω) konvergente Folgen $x^{(k)}$ in M zu M dazupfist.

(ii) Formal definieren wir den Abschluss einer beliebigen Menge $M \subseteq \mathbb{R}^\omega$ als

$$\overline{M} := \left\{ c \in \mathbb{R}^\omega \mid \exists \text{Folge } x^{(k)} \text{ in } M \text{ mit } c = \lim x^{(k)} \right\}$$

(iii) Einfache Eigenschaften des Abschlusses sind

$M \subseteq \overline{M}$ [jeder $c \in M$ ist $\lim x^{(k)}$ mit $x^{(k)} = c$ f.c.]

\overline{M} ist obg. [folgt sofort aus 1.29]

$M = \overline{M} \Leftrightarrow M$ obg. [ditto]

(ir) Ein Bsp: $\overline{U_r(x_0)} = \overline{\{x \in \mathbb{R}^n : \|x - x_0\| < r\}}$
 $= K_r(x_0) = \{x \in \mathbb{R}^n : \|x - x_0\| \leq r\}$



(ii) Der Abschluss einer Menge ist ein top. Begriff, d.h. es ist in top. Räumen formalisierbar (ohne anderes)

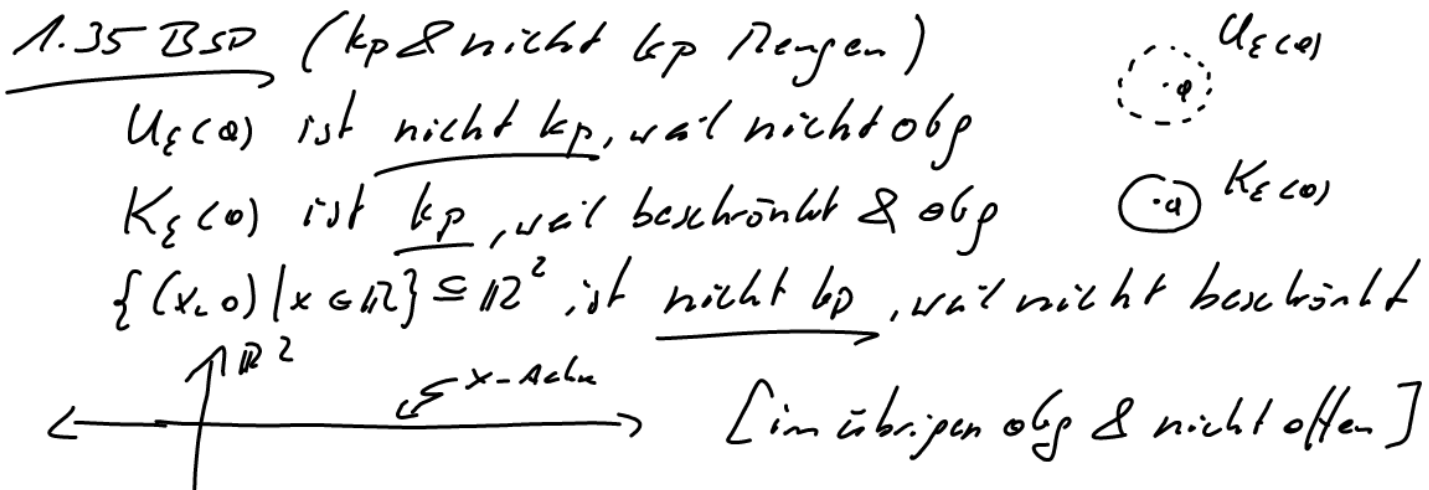
1.32 DEF (Komplexe Mengen) Eine Menge $K \subseteq \mathbb{R}^n$ heißt kompakt, falls jede Folge $(x^{(k)})$ in K eine Teilfolge besitzt, die gegen einen Pkt $a \in K$ konvergiert

1.33 Bsp (kp. Intervall)

$K = [a, b] \subseteq \mathbb{R}$ ist kp, dann sei (x_n) eine Folge in K
 $\Rightarrow a \leq x_n \leq b \ \forall n \Rightarrow (x_n)$ ist beschränkt
 $\stackrel{\text{Bsp}}{\Rightarrow} \exists \text{kono. TF } (x_{n_k})$
 $\Rightarrow a \leq x_{n_k} \leq b \ \forall k \Rightarrow a \leq \lim_{k \rightarrow \infty} x_{n_k} \leq b \Rightarrow \lim_{k \rightarrow \infty} x_{n_k} \in K$

1.34 Thm (Satz von Heine-Borel) Sei $K \subseteq \mathbb{R}^n$, dann gilt
 $\{K \text{ ist kompakt} \Leftrightarrow K \text{ ist beschränkt und obg.}\}$

[Das ist ein zentraler Satz und wie in 1.28 erwähnt in \mathbb{R}^n gerade nachrichtig, in M.2 falsch.]



Beweis. [Zusammensetzen der Konzerte & 1.2P]

\Rightarrow

"(1) K ist obp, dann sei $(x^{(k)})$ in K mit $c = \lim_k x^{(k)}$

$\stackrel{1.2P}{\Rightarrow}$ er genügt 22: $c \in K$

$K \neq K_p \Rightarrow \exists \text{TF } (x^{(k_e)})_e \text{ mit } \varrho := \lim_e x^{(k_e)} \in K$

$x^{(k)} \text{ konv} \Rightarrow c = \varrho \Rightarrow c \in K$

(2) K ist beschränkt. [d.h. $\exists R > 0 : K \subseteq K_R(0)$, vgl 1.25(iii)]

Indir-arg K nicht beschränkt, d.h. $\nexists R : K \subseteq K_R(0)$

$\Rightarrow \exists$ Folge $(x^{(k)})$ in K mit $\|x^{(k)}\| \rightarrow \infty$ ($k \rightarrow \infty$)

$\Rightarrow (x^{(k)})$ hat keine konv. TF $\not\subseteq$ zu $K \neq K_p$
(eine solche wäre ja beschränkt)

\Leftarrow "Sei $(x^{(k)})$ eine Folge in K [zz $(x^{(k)})$ hat in K konv. TF]

K beschr $\Rightarrow (x^{(k)})$ beschr $\stackrel{\text{Bsp}}{\Rightarrow} \exists$ konv TF $(x^{(k_e)})_e$;

sei $\varrho := \lim_e x^{(k_e)}$

$K \neq K_p \Rightarrow \varrho \in K$. \square

f2 FUNKTIONEN VON \mathbb{R}^n NACH \mathbb{R}^m

3 GRUNDBEGRIFFE & STETIGKEIT

2.1 intro (Mehrdimensionale Analysis)

Aufbauend auf unserem Studiums der Topologie des mehrdim. Raumes \mathbb{R}^n beginnen wir jetzt mit der eigentlichen mehrdimensionalen Analysis, d.h mit der Analysis von Flkt

$$f: \mathbb{R}^n \ni u \rightarrow \mathbb{R}^m$$

mit $m, n \geq 1$. Da solche Flkt in der Schulanalysis wenig bis gar nicht vorkommen werden wir uns zunächst ausführlich mit dieser Repräsentation beschäftigen, die Verwendung solche Flkt ausführlich motivieren und Spezialfälle, Bsp und Veranschaulichungen diskutieren. Schließlich werden wir die Stetigkeit solcher Flkt diskutieren und sowohl bekannte (wieder entdecken), als auch ganz neue Phänomene kennenzulernen.

2.2 Motivation (Funktion $f: \mathbb{R}^n \rightarrow \mathbb{R}^m$ - Was, wozu, warum?)

Bisher haben wir (mit wenigen Ausnahmen fast) nur Flkt $f: \mathbb{R}^n \ni u \rightarrow \mathbb{R}$ betrachtet, also Funktionen, die eine (reelle) Zahl freßen und eine andere (reelle) Zahl ausspucken. Betrachtet man mögliche An-

Wandlungen so entdeckt man recht schnell, dass in vielen Situationen so eine einfache Fkt nicht ausreichend ist. Viel öfter möchte man Punkte in einem mehrdim Raum eine fkt oder auch einen Vektor (= mehrere Werte) zuordnen. Beispiele gibt es wie sonst am Meer z.B.:

- Bewegen im Raum: jedem Zeitpkt $t \in [t_0, t_1] \subseteq \mathbb{R}$ will man die Position eines Objekts im Raum \mathbb{R}^3 zuordnen, das ergibt eine Fkt

$$f: [t_0, t_1] \rightarrow \mathbb{R}^3$$

$$t \mapsto f(t)$$

die Position eines Gegenstands im Raum

- Temperaturfeld: Jeder Punkt p in Wien (oder wo und da einfache halbe Stunde, also als $T \in \mathbb{R}^2$ vorstellen) ordnen wir die Temperatur $T(p)$ heute um t herum zu. So ergibt sich eine Fkt

$$T: \mathbb{R}^2 \times W \rightarrow \mathbb{R}$$

$$x \mapsto T(x)$$

die Temp im Pkt x heute um t:00

- Windströmung: Wir wollen jedem Punkt p über Österreich bis zu einer Höhe von 8km die jeweilige Windschwindigkeit zuordnen.

Dabei soll die Windgeschwindigkeit ein 3-dim Vektor $v \in \mathbb{R}^3$ sein, wobei die Richtung von v die Windrichtung angibt und die Länge $\|v\|$ von v die Windgeschwindigkeit in $m s^{-1}$ angibt. So erhalten wir eine Abb

$$v: \mathbb{R}^3 \ni p \rightarrow \mathbb{R}^3$$

$$p \mapsto v(p)$$

Windgeschw.-richtg
im Pkt p

Nehmen wir noch die Zeit als Parameter hinzu, so haben gelungen wir zu einer Fkt

$$v: \mathbb{R}^4 = [t_0, t_1] \times \mathbb{R}^3 \rightarrow \mathbb{R}^3$$

$$(t, p) \mapsto v(t, p)$$

Windgeschw.-richtg
im Pkt p zur
Zeit t

Um alle solche Bsp. geprägt und in einem Rahmen beschreiben, modellieren & analysieren zu können betrachtet man eine Fkt

$$\left. \begin{array}{l} f: \mathbb{R}^n \ni u \rightarrow \mathbb{R}^m \end{array} \right\}$$

die einem Pkt oder Vektor [dies ist nur eine Frage der Modellierung/Anschauung - ob keine mathematische Frage] im \mathbb{R}^n einen Pkt/Vektor im \mathbb{R}^m zuordnet.

Wir beginnen unser Studium solcher Fkt in dem wir etwas Terminologie einführen & Spezialfälle betrachten & veranschaulichen.

2.3 TERMINOLOGIE. Sei $f: \mathbb{R}^n \rightarrow \mathbb{R}^m$ eine Fkt.

(i) (Komponentenfkt.) Für $x \in U \subseteq \mathbb{R}^n$ schreiben wir

$$f(x) = \begin{pmatrix} f_1(x) \\ f_2(x) \\ \vdots \\ f_m(x) \end{pmatrix} \in \mathbb{R}^m$$

Da $f(x) \in \mathbb{R}^m$ muß nämlich $f(x)$ als Vektor mit m Komponenten sein, die wir bezeichnen wir eben mit $(f_1(x), \dots, f_m(x))$. Dabei schreiben wir Vektoren manchmal als Zeilen - manchmal als Spaltenvektoren, ohne damit etwas Mathematisches ausdrücken zu wollen.

Diese „Zerlegung“ von $f(x)$ in $(f_1(x), \dots, f_m(x))$ können wir natürlich für jedes $x \in U$ durchführen und so erhalten wir m -stellige Fkt für $(1 \leq j \leq m)$,

$$f_j: U \subseteq \mathbb{R}^n \rightarrow \mathbb{R}.$$

D.h. eine Fkt $f: U \subseteq \mathbb{R}^n \rightarrow \mathbb{R}^m$ besteht aus m -stellig sop. skalarwertigen Fkt $f_1, \dots, f_m: U \rightarrow \mathbb{R}$. Diese nennen wir die Komponentenfkt oder kurz Komponenten von f . Diese sind die „Bausteine“ von f und - wie wir sehen werden - spiegeln sich wesentliche Eigenschaften von f schon in den Komponentenfkt f_j .

Eine Fkt $\mathbb{R}^n \rightarrow \mathbb{R}^m$ sind in Wirklichkeit m Fkt $\mathbb{R}^n \rightarrow \mathbb{R}$

(ii) (Partielle Funktionen) Ähnlich - aber nicht mit (i) zu verwechseln! - können wir $x \in \mathbb{R}^n$ in seine Komponenten zerlegen, also $x = (x_1, \dots, x_n)$ schreiben. Damit ergibt sich

$$f(x) = f(x_1, \dots, x_n) = \begin{pmatrix} f_1(x_1, \dots, x_n) \\ \vdots \\ f_m(x_1, \dots, x_n) \end{pmatrix}.$$

Wir können nur die sog. partiellen Fkt von f betrachten indem wir alle bis auf eine Komponente von x festhalten und nur eine Komponente - als 1 d Variable - laufen lassen. Genauer sei $f: \mathbb{R}^n \rightarrow \mathbb{R}$ und $(x_1, x_2, \dots, \underbrace{x_k}_{\text{fix}}, \dots, x_{k+1}, \dots, x_n)$ fix ($1 \leq k \leq n$) dann ist die k -te partielle Fkt von f die Fkt

$$\mathbb{R} \ni x \mapsto f(\underbrace{x_1, \dots, x_{k-1}}_{\text{fix}}, x, \underbrace{x_{k+1}, \dots, x_n}_{\text{fix}}) \in \mathbb{R}$$

Läuft

Anders als die Komponentenfkt spiegeln die partiellen Fkt oft nicht die wesentlichen Eigenschaften der Fkt wider!

Explizit ob Vorwärts?

(iii) WARNSUNG. Anders als (ii) führt (ii) zu keiner
 \Rightarrow „guten Zerlegung“ von $f: \mathbb{R}^n \rightarrow \mathbb{R}^m$
 Einseits können die Komponentenfkt

$$f_1: U \ni x = (x_1, \dots, x_n) \mapsto f_1(x_1, \dots, x_n) \in \mathbb{R}$$

$$f_m: U \ni x = (x_1, \dots, x_n) \mapsto f_m(x_1, \dots, x_n) \in \mathbb{R}$$

für viele freie Variable separat betrachtet werden und kodieren dabei wesentliche Eigenschaften von f .

Daher sind Flkt der Bauart

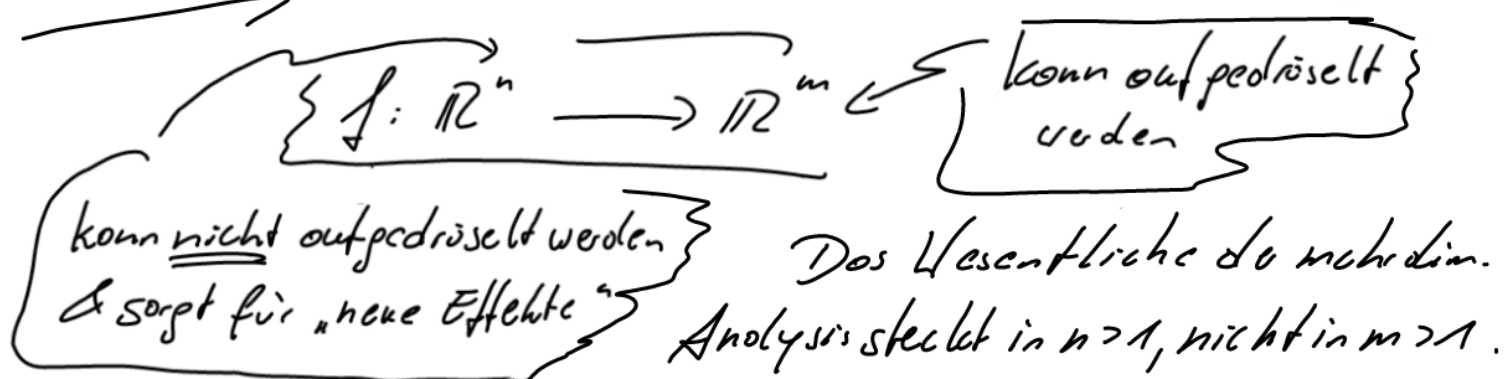
$$f: \mathbb{R}^n \ni x \mapsto f(x) \in \mathbb{R}$$

$\left\{ \begin{array}{l} \text{1-d. Fktbereich,} \\ \text{"skalare Fkt"} \end{array} \right.$

die wesentlichen Baukline der mehrdim. Analysis.

Ein wesentlicher Knotenpunkt der mehrdim. Analysis ist es, dass anderseits die Abhängigkeit von $x = (x_1, \dots, x_n)$ von Fkt $f: \mathbb{R}^n \rightarrow \mathbb{R}^m$ – oder auch nur der Bausteine $f: \mathbb{R}^n \rightarrow \mathbb{R}$ – nicht „aufgedröhlt“ werden kann in eine Abhängigkeit von x_1 und einer von x_2 usw. Mit anderen Worten kodieren die partiellen Fkt nicht die Eigenschaften der Gesamtflkt.

Zum Nachdenken:



2.4. SPEZIALE FÄLLE & VERANSCHAULICHUNG

Wir betrachten $f: \mathbb{R}^n \supset U \rightarrow \mathbb{R}^m$ ($m, n \geq 1$)

(i) Kurven. Falls $n=1$ spricht man von Kurven. Sie werden meist mit c oder α bezeichnet und sinnvollerweise auf Intervallen $I \subseteq \mathbb{R}$ betrachtet, also

$$c: I \subseteq \mathbb{R} \rightarrow \mathbb{R}^m$$

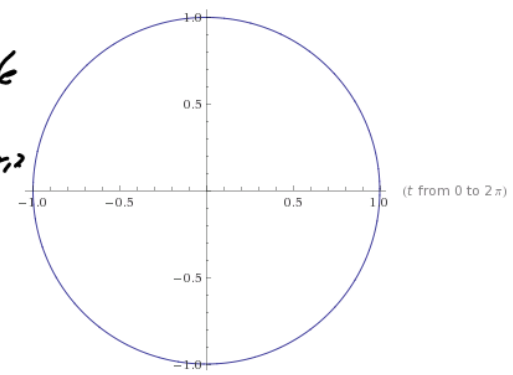
Falls $m=1$, sind wir im [föder!?] folgende
eindim. Analysis.

Falls $m=2$, so sprechen wir von ebenen Kurven oder Kurven in der Ebene. Diese können wir veranschaulichen, indem wir ihr Bild $c(I) \subseteq \mathbb{R}^2$ zeichnen. Bsp sind obige

$$c: [0, 2\pi] \rightarrow \mathbb{R}^2 \quad \begin{matrix} 1. \text{ Komponente} \\ 2. \text{ Kom.} \end{matrix}$$

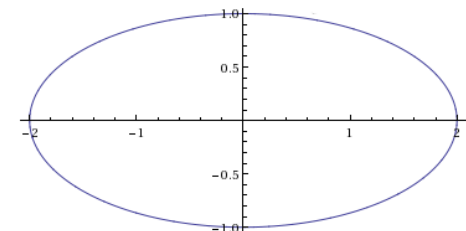
$$t \mapsto c(t) = \begin{pmatrix} c_1(t) \\ c_2(t) \end{pmatrix}$$

$$:= \begin{pmatrix} \cos(t) \\ \sin(t) \end{pmatrix}$$



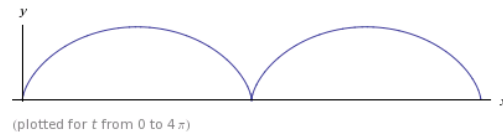
$$\alpha: [0, 2\pi] \rightarrow \mathbb{R}^2$$

$$t \mapsto \alpha(t) = \begin{pmatrix} 2\cos(t) \\ \sin(t) \end{pmatrix}$$



$$s: [0, 4\pi] \rightarrow \mathbb{R}^2$$

$$t \mapsto \begin{pmatrix} t - \sin(t) \\ 1 - \cos(t) \end{pmatrix}$$



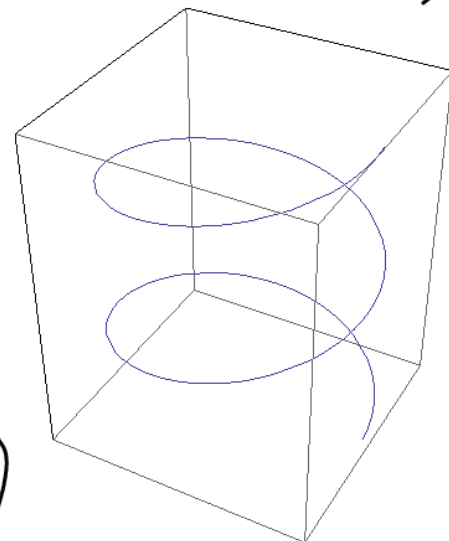
K ne Graphen von
Fkt. $\mathbb{R} \rightarrow \mathbb{R}$

Falls $m=3$ spricht man von Raumkurven. Sie können ebenso durch ihr Bild veranschaulicht werden, z.B.

$$C: [0, 4\pi] \rightarrow \mathbb{R}^3$$

$$t \mapsto \begin{pmatrix} \cos(t) \\ \sin(t) \\ t \end{pmatrix}$$

(Helix, bzw. Schraubenlinie)



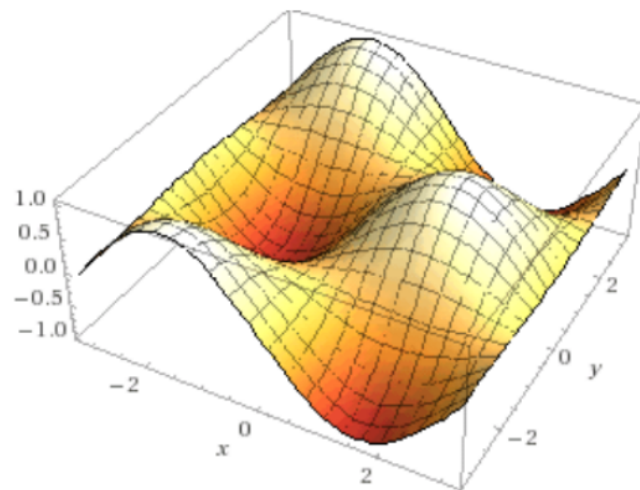
(ii), "Landschaften": Falls $n=2$, $m=1$ also im Falle reellwertiger/skalar-wertiger Funktionen auf \mathbb{R}^2 , d.h.

$$f: \mathbb{R}^2 \ni u \rightarrow \mathbb{R}$$

kann der Graph $G(f) = \{(x, y, f(x, y)) \mid (x, y) \in U\}$ als "Relief" oder Landschaft veranschaulicht werden: Über jedem "Pkt. $(x, y) \in U \subseteq \mathbb{R}^2$ " wird der Funktionswert $f(x, y)$ eingezeichnet. Ein Beispiel ist etwa ($U = (-\pi, \pi) \times (-\pi, \pi)$)

$$f: U \rightarrow \mathbb{R}$$

$$(x, y) \mapsto \sin(x)\cos(y)$$



Da $n=2 > 1$ können wir partielle Flächen von f betrachten

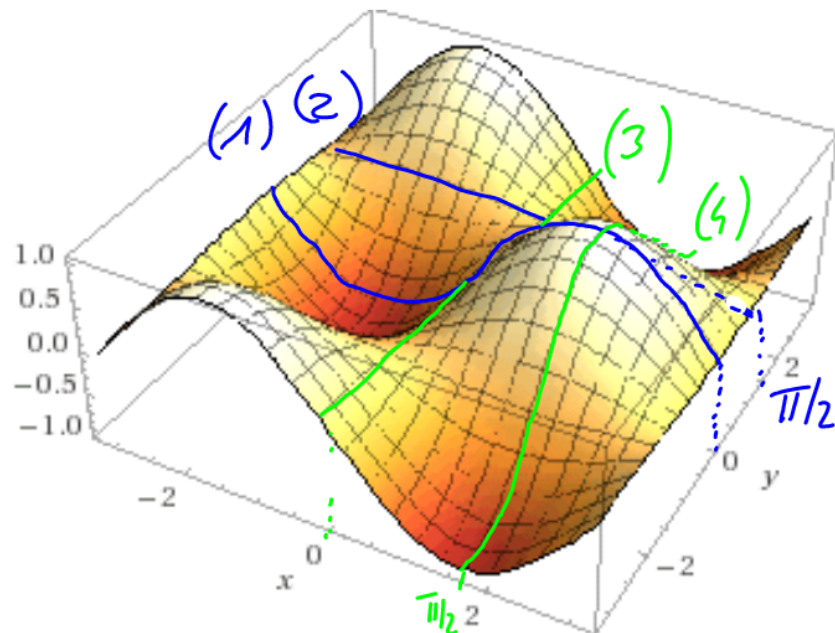
z.B.:

$$x \mapsto f(x, 0) = \sin(x)\cos(0) = \sin(x) \quad (1)$$

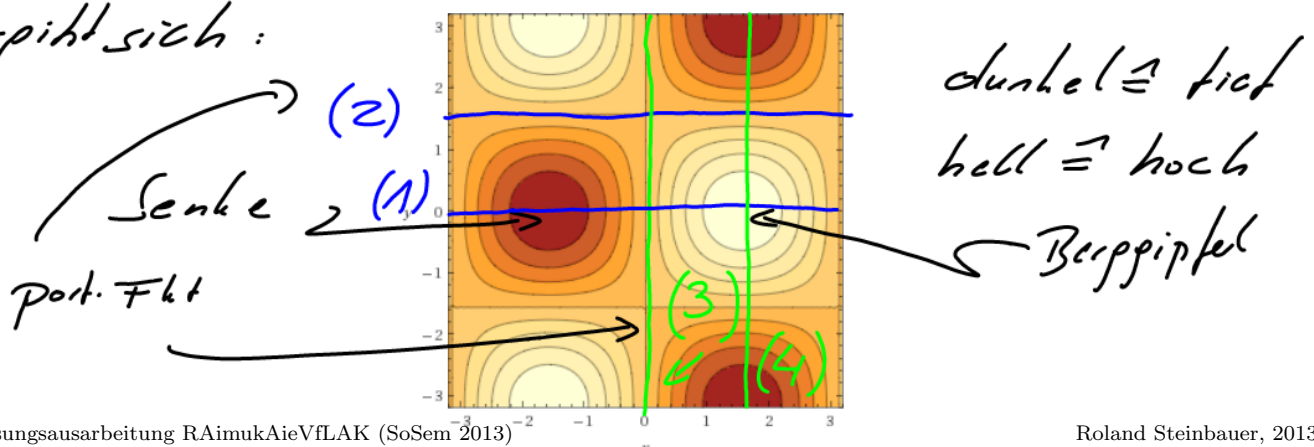
$$x \mapsto f(x, \pi/2) = \sin(x)\cos(\pi/2) = 0 \quad (2)$$

$$y \mapsto f(0, y) = \sin(0)\cos(y) = 0 \quad (3)$$

$$y \mapsto f(\pi/2, y) = \sin(\pi/2)\cos(y) = \cos(y) \quad (4)$$



Eine 2. Möglichkeit eine Fläche $f: \mathbb{R}^2 \rightarrow \mathbb{R}$ zu veranschaulichen besteht darin, die Höhenschichtlinien in \mathbb{R}^2 einzutragen – wie in einer Landkarte. Dabei werden in \mathbb{R}^2 alle Punkte $(x, y) \in \mathbb{R}^2$ gleich eingefärbt, wo $f(x, y)$ denselben Wert annimmt. In unserem Fall ergibt sich:



(iii) Vektorfelder. Im Fall $n=m$ spricht man von Vektorfeldern. Anschaulich gesprochen ordnet eine Fkt

$$v: \mathbb{R}^n \ni x \rightarrow \mathbb{R}^n$$

jedem Pkt $x = (x_1, \dots, x_n) \in U$ den Vektor $v(x) \in \mathbb{R}^n$ zu, den wir uns ob im Pkt x angeheftet denken (können).

Falls $m=n=2$ oder auch $m=n=3$ können wir v graphisch veranschaulichen; wir betrachten z.B.

$$v: [-1,1] \times [-1,1] \rightarrow \mathbb{R}^2$$

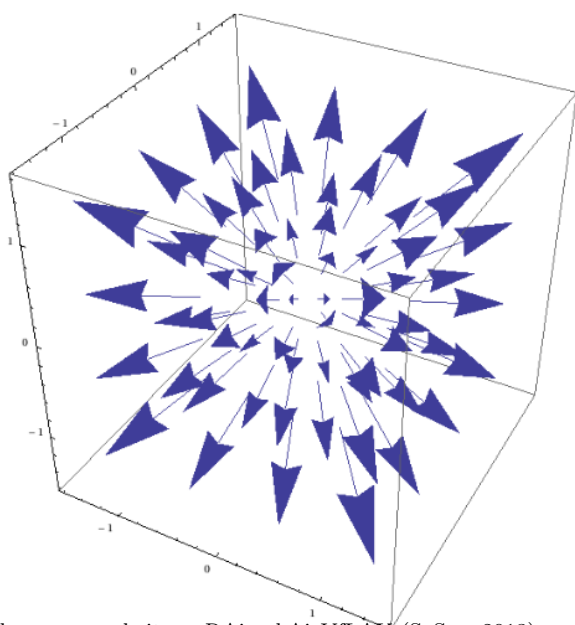
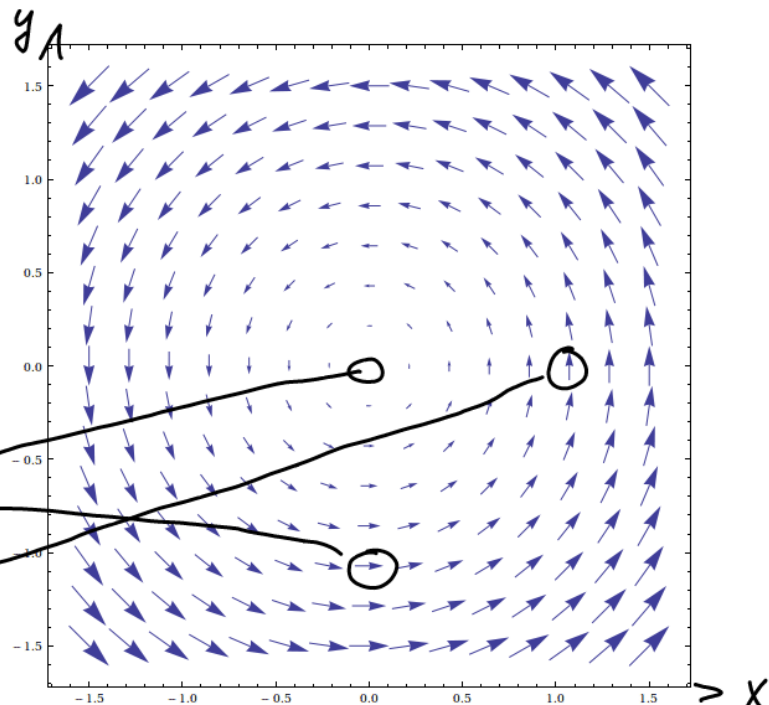
$$(x,y) \mapsto \begin{pmatrix} -y \\ x \end{pmatrix}$$

t.B.:

$$v(0,-1) = (1,0)$$

$$v(0,0) = 0$$

$$v(1,0) = (0,1)$$



$$v: [-1,1] \times [-1,1] \times [-1,1] \rightarrow \mathbb{R}^3$$

$$v(x,y,z) = (x,y,z)$$

Das "Positionsfeld": In jedem Pkt wird ein Vektor angehängt, der vom Ursprung $(0,0,0)$ weggezählt & dessen Länge seine Entfernung zum Ursprung entspricht.

2.5 Motivation (Stetigkeit) Wir werden nun Stetigkeit von Fkt $f: \mathbb{R}^n \rightarrow \mathbb{R}^m$ untersuchen. Dazu erinnern wir uns, dass Stetigkeit für $f: \mathbb{R}^2 \rightarrow \mathbb{R}$ zur „Erscheinungsform“ hatte nämlich [12] 1.13]

- Umgebungsstetigkeit: die (ε, δ) -Bedingung, d.h. ($a \in D$)

$\forall \varepsilon > 0 \exists \delta > 0 \forall x \in D, |x - a| < \delta \Rightarrow |f(x) - f(a)| < \varepsilon$
woss sich in „Umgebungssprache“ auch so ausdrücken lässt

$$\forall \varepsilon > 0 \exists \delta > 0 \quad f(U_{\delta(0) \cap D}) \subseteq U_\varepsilon(f(a))$$

- Folgenstetigkeit: $\forall (x_n) \in D$ mit $x_n \rightarrow a \Rightarrow f(x_n) \rightarrow f(a)$

Vie im 1-d Fall werden wir die Stetigkeit ob Umgebungsstetigkeit definieren, dann aber gleich sicherstellen, dass sie mit der Folgenstetigkeit übereinstimmt. Dann werden wir Stetigkeit durch die Stetigkeit der Komponentenfkt charakterisieren. Noch einigen Bsp erleben wir unsere erste große Überraschung der mehrdim Analysis.

2.6 DEF (Stetigkeit) Sei $U \subseteq \mathbb{R}^m$ und sei $a \in U$. Eine Fkt $f: U \rightarrow \mathbb{R}^n$ hat stetig in a , falls

$$\forall \varepsilon > 0 \exists \delta > 0 \quad \forall x \in U \text{ mit } \|x - a\| < \delta \Rightarrow \|f(x) - f(a)\| < \varepsilon$$

[d.h. $\forall \varepsilon > 0 \exists \delta > 0 \quad f(U_{\delta(0)} \cap U) \subseteq U_\varepsilon(f(a))$]

f hat stetig auf U , falls f stetig in a , $\forall a \in U$.

Völlig analog zu [2] 1.6

2.7 SATZ (Umkehrbarer Satz = folgenschw.) Sei $f: \mathbb{R}^n \rightarrow \mathbb{R}^m$,

$\varrho \in U$. Dann gilt

Für jede Folge $(x^{(k)})$ in U mit

f stetig in ϱ (\Leftrightarrow) $\lim_{k \rightarrow \infty} x^{(k)} = \varrho$ gilt

$$\lim_{k \rightarrow \infty} f(x^{(k)}) = f(\varrho)$$

Beweis. [völlig analog zum 1-d-Fall; vgl. 1.12 - kürzer aufgeschrieben]

\Rightarrow "Sei $(x^{(k)})$ eine Folge in U , $x^{(k)} \rightarrow \varrho$; dann $f(x^{(k)}) \rightarrow f(\varrho)$ in \mathbb{R}^m ".

Sei $\varepsilon > 0$.

Wähle $\delta > 0$: $\|x - \varrho\| < \delta \Rightarrow \|f(x) - f(\varrho)\| < \varepsilon$ [möglich nach 2.6]

Wähle $N \in \mathbb{N}$: $\forall k \geq N$ $\|x^{(k)} - \varrho\| < \delta$ [v.l. Voraus: $x^{(k)} \rightarrow \varrho$]

Dann gilt $\forall k \geq N$ $\|f(x^{(k)}) - f(\varrho)\| < \varepsilon$, also $f(x^{(k)}) \rightarrow f(\varrho)$

\Leftarrow : Indir. arg f nicht stetig in ϱ . Dann gilt

$\exists \varepsilon > 0 \quad \forall k \in \mathbb{N} \quad \exists x^{(k)} \in U, \|x^{(k)} - \varrho\| < 1/k$ aber $\|f(x^{(k)}) - f(\varrho)\| \geq \varepsilon$
 $\Rightarrow x^{(k)} \rightarrow \varrho$ aber $f(x^{(k)}) \not\rightarrow f(\varrho)$ \square

2.8 SATZ (Stetigkeit via Komponentenfkt)

Sei $f: \mathbb{R}^n \rightarrow \mathbb{R}^m$, $f = (f_1, \dots, f_m)$ und sei $\varrho \in U$.

Dann gilt

f stetig in ϱ (\Leftrightarrow) $\forall 1 \leq j \leq m$: f_j stetig in ϱ

[f ist genau dann stetig (in ϱ), falls alle Komponentenfkt f_1, \dots, f_m stetig (in ϱ) sind.]

Beweis. [Einfache Anwendung von 2.7 und PKK 1.22]

f stetig in $\alpha \stackrel{2.7}{\iff} \forall x^{(k)} \text{ in } U, x^{(k)} \rightarrow \alpha : f(x^{(k)}) \rightarrow f(\alpha)$

$$\left(f(x^{(k)}) \right)_j \xrightarrow{\text{1.22}} \left(f(\alpha) \right)_j = f_j(\alpha) \quad \forall 1 \leq j \leq m$$

$\leftarrow \underbrace{f_j(x^{(k)})}_{\text{prod}}$

$$\iff \forall x^{(k)} \rightarrow \alpha : \forall 1 \leq j \leq m f_j(x^{(k)}) \rightarrow f_j(\alpha)$$

$\stackrel{2.7}{\iff} \forall 1 \leq j \leq m f_j$ stetig in α
[für jedes $f_j : U \rightarrow \mathbb{R}$]]

2.9 Bsp (Stetige Fkt)

(i) Konstante Fkt sind stetig: Sei $c \in \mathbb{R}^m$, dann ist
 $f : \mathbb{R}^n \rightarrow \mathbb{R}^m, f(x) = c \quad \forall x$ offensichtlich stetig
 auf \mathbb{R}^n [$x^{(k)} \rightarrow \alpha \Rightarrow f(x^{(k)}) = c \rightarrow c = f(\alpha)$]

(ii) Projektionen. Sei $1 \leq i \leq n$. Wir definieren $p_i : \mathbb{R}^n \rightarrow \mathbb{R}$

$$p_i(x) = p_i(x_1, \dots, x_n) = x_i$$

Alle p_i ($1 \leq i \leq n$) sind stetig [$x^{(k)} \rightarrow \alpha \stackrel{1.22}{\Rightarrow} \forall 1 \leq i \leq n : x_i^{(k)} \rightarrow \alpha_i$]

2.10 Bem ("Baukasten")

Rückblick des Folgerungskit 2.7 ist es leicht zu sehen

[UE; vgl. 1. d Fall (2) Prop 1.17] dass die Grundoperationen für Fkt auch im mehrdim Fall die Stetigkeit erhalten.

(i) Seien $f, g: \mathbb{R}^n \rightarrow \mathbb{R}^m$ stetig in $a \in U, d, \mu \in \mathbb{R}$, dann ist auch

$$(f + \mu g): U \rightarrow \mathbb{R}^m \quad [(f + \mu g)(x) = d \cdot f(x) + \mu \cdot g(x)]$$

stetig in a . Falls $m=1$, dann ist auch

$$f \cdot g: U \rightarrow \mathbb{R}$$

stetig und falls zusätzlich $g(a) \neq 0$, dann ist auch

$$\frac{f}{g}: U \setminus \{x \in U : g(x) = 0\} \rightarrow \mathbb{R}$$

stetig in a .

(ii) Sei $f: \mathbb{R}^n \rightarrow \mathbb{R}^m$ stetig in $a \in U$, $f(U) \subseteq V$.

Sei $g: \mathbb{R}^m \rightarrow \mathbb{R}^l$ stetig in $b = f(a) \in V$. Dann ist auch

$$g \circ f: U \rightarrow \mathbb{R}^l$$

stetig in $a \in U$. [Kurz: Die Verknüpfung stetiger Flkt ist stetig.]

2.11 Bsp (Stetige Flkt)

(i) Wegen 2.10(i) ist jedes Polynom in n -Variablen stetig

$$\text{z.B.: } p(x, y, z) = 7x^2y^3 + 5xy^2 + 3x^3z^5.$$

Insbesondere sind lineare Flkt $f: \mathbb{R}^n \rightarrow \mathbb{R}^m$

$$f(x) = \begin{pmatrix} 0_{11}x_1 + 0_{12}x_2 + \dots + 0_{1n}x_n \\ \vdots \\ 0_{m1}x_1 + \dots + 0_{mn}x_n \end{pmatrix}$$

$$= A \cdot x \quad [\text{mit } A = \begin{pmatrix} 0_{11} & \dots & 0_{1n} \\ \vdots & & \vdots \\ 0_{m1} & \dots & 0_{mn} \end{pmatrix}] \text{ stetig auf } \mathbb{R}^n$$

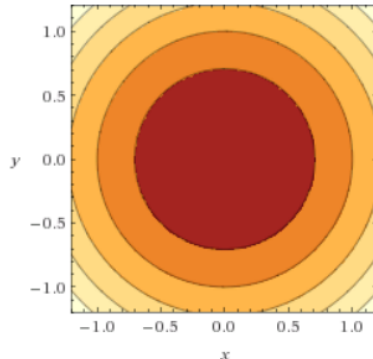
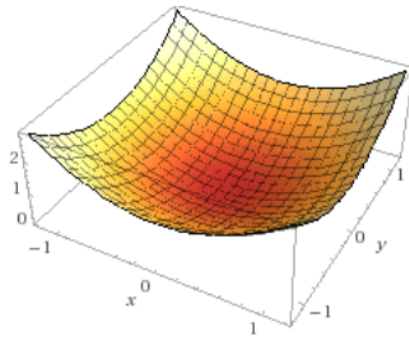
$\xrightarrow{\text{Matrix-Vektor in Alg...}}$

(ii) Sei $g: \mathbb{R}^n \rightarrow \mathbb{R}$, $g(x) = x_1^2 + \dots + x_n^2$. Dann ist g stetig wegen (i) und $g(x) \geq 0 \quad \forall x \in \mathbb{R}^n$. Weiter ist $\Gamma: [0, \infty] \rightarrow \mathbb{R}$ stetig und daher wegen 2.10(ii) die sog. Radiusfkt]

$$r: \mathbb{R}^n \rightarrow \mathbb{R}$$

$$x \mapsto \left(x_1^2 + x_2^2 + \dots + x_n^2 \right)^{\frac{1}{2}} = \sqrt{\sum_{i=1}^n x_i^2}$$

stetig auf \mathbb{R}^n .



[Die Radiusfkt auf \mathbb{R}^n]

2.12 BEM (Projektionen, Komponentenfkt & Stetigkeit)

Die Projektionen aus 2.P(iii) können verwendet werden, um die Komponentenfkt auszudrücken. Genauer sei $f: \mathbb{R}^m \rightarrow \mathbb{R}^n$ und seien $p_j(x) = x_j$ ($1 \leq j \leq m$) die Projektionen in \mathbb{R}^n . Dann gilt [offensichtlich] für die Komponentenfkt von f

$$f_j = p_j \circ f: \mathbb{R}^n \rightarrow \mathbb{R} \quad (1 \leq j \leq m)$$

Ist f obwohl stetig, so folgt aus 2.10(ii), 2.P(ii) die Stetigkeit der f_j ($1 \leq j \leq m$), die wir allerdings schon aus 2.8 haben...

[Nun für unerwarteten Überraschung!]

2.13 $\overline{\text{WARNUNG}}$ (partiell/separat stetig $\not\Rightarrow$ stetig)

Sei $f: \mathbb{R}^2 \rightarrow \mathbb{R}$ mit der Eigenschaft, dass die partiellen Abbildungen

$$\begin{aligned} x &\mapsto f(x, 0) \quad \text{und} \\ y &\mapsto f(0, y) \end{aligned}$$

beide stetig bei $x=0$ bzw $y=0$ sind. Man sagt dann, f ist separat oder partiell stetig bei $0 [= (0, 0)]$

Dann muß f trotzdem nicht stetig in $(x, y) = (0, 0)$ sein? [Cauchy hat das 1821 in einem Buch fälschlicherweise behauptet.]

Ein explizites Gegenbsp [Picard 1885] ist $f: \mathbb{R}^2 \rightarrow \mathbb{R}$

$$f(x, y) = \begin{cases} \frac{xy}{x^2 + y^2} & (x, y) \neq (0, 0) \\ 0 & (x, y) = (0, 0) \end{cases}$$

- f ist stetig $\forall (x, y) \neq (0, 0)$ als rationale Fkt ohne Nullstellen im Vener [2.10(i)].

- Die partiellen Fkt

$$x \mapsto f(x, 0) = 0 \quad \forall x \in \mathbb{R}$$

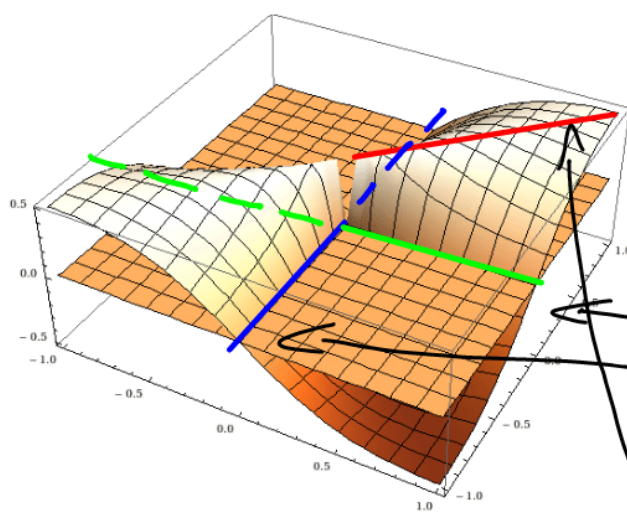
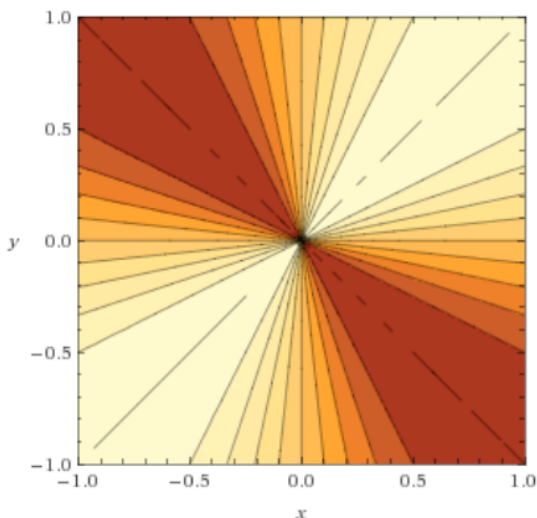
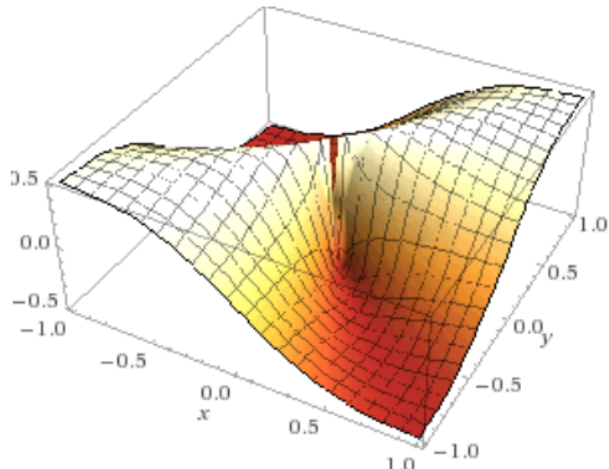
$$y \mapsto f(0, y) = 0 \quad \forall y \in \mathbb{R}$$

sind offensichtlich stetig auf \mathbb{R} obwohl in $x=0$ bzw $y=0$.

- Aber f ist nicht stetig in $(0,0)$. Um das explizit zu sehen betrachten wir die spezielle Nullfolge $x^{(k)} = (\frac{1}{k}, \frac{1}{k})$. Es gilt

$$f(x^{(k)}) = f\left(\frac{1}{k}, \frac{1}{k}\right) = \frac{\frac{1}{k}^2}{\frac{1}{k}^2 + \frac{1}{k}^2} = \frac{1}{2} \neq 0 = f(0,0)$$

- Was ist hier passiert? Eine prophetische Analyse zeigt:



- Der Graph ist eine „Klippenlandschaft“ nördlich $(0,0)$.
- Die partiellen Flächen „markieren“ die Gefahr nicht.
- f läuft längs der Nullfolge $(\frac{1}{k}, \frac{1}{k})$ auf dem Kamm, d.h. $f(\frac{1}{k}, \frac{1}{k}) = \frac{1}{2}$

und daher ins Verderben bei $(0,0)$!

Fazit: Verwechsle nie partielle Funktionen mit Komponentenflächen! [Vgl. 2.3(ii)]

2.14 Ausblick (Stetige Fkt auf kompakten Mengen)

Schon im 1-d-Fall ist die Sondernolle kp. Intervall für stetige Fkt aufgefüllt [vgl. 12] 2.1]. Ganz allgemein [d.h. in top. Räumen] gilt, dass stetige Fkt kp Mengen richtig transportieren", denn

| stetige Bilder kp Mengen sind kp, |

d.h. f stetig, K kp $\Rightarrow f(K)$ kp.

Wir erwähnen hier konkret zwei Aussagen, die direkte Verallgemeinerungen ihrer 1-d Spezialfälle sind. Die Beweise erhält man durch passiertes Umschreiben der 1-d Beweise [UE].

2.15 Prop (Stetige Fkt auf kp Mengen) Sei $K \subseteq \mathbb{R}^m$ kompakt und sei $f: K \rightarrow \mathbb{R}^n$ stetig. Dann gilt

(i) Falls $m=1$, also $f: K \rightarrow \mathbb{R}$, so ist f beschränkt & nimmt Minimum & Maximum an [d.h. $\exists \xi, \eta \in K$ sodass $f(\xi) \leq f(x) \leq f(\eta) \quad \forall x \in K$]

(ii) f ist gleichmäßig stetig, d.h. $\forall \delta > 0 \exists \delta > 0$ (unabhängig von x_0) sodass $\forall x, y \in K$ mit $\|x-y\| < \delta \Rightarrow \|f(x)-f(y)\| < \epsilon$

f3 DIFFERENZIERBARE FUNKTIONEN

3.1 intro. In diesem f beginnen wir unser Studium der mehrdim Differenzialrechnung indem wir uns um den Kernbegriff der Differenzierbarkeit einer Flkt $f: \mathbb{R}^m \rightarrow \mathbb{R}^n$ kümmern. Wie bereits in A.4 erklärt, kann eine Theorie der Diffbarkeit solche Flkt nicht auf dem Begriff der Differentialquotienten aufgebaut werden, sondern bedient sich der Charakterisierung der Ableitung als lineare Bestapproximation [13] Thm. A.18] - diese kann ganz einfach ins Mehrdimensionale übertragen werden. \rightsquigarrow fast wortwörtlich

Trotzdem beginnen wir mit einem Studium der Ableitungen der partiellen Funktionen [vgl. 2.3(iii)], den sogenannten partiellen Ableitungen. Da die partiellen Flkt auf $I \subseteq \mathbb{R}$ definiert sind, ist konzeptionell alles klar. Gewandt durch 2.13 können wir uns wohl kaum Hoffnungen darauf machen, dass die Diffbarkeit der part. Flkt die Diffbarkeit der Flkt selbst einfasst. Dem ist tatsächlich so, aber es wird sich herausstellen, dass die part. Ableitungen der Schlüssel zum Berechnen der Ableitung diffbare Flkt sind.

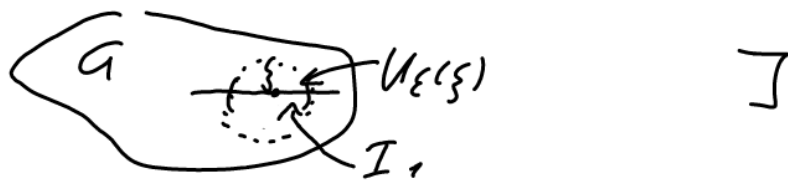
3.2 Motivation (partielle Ableitungen) Sei $G \subseteq \mathbb{R}^n$ offen, sei $f: G \rightarrow \mathbb{R}$ eine Flkt und sei $\xi = (\xi_1, \dots, \xi_n) \in G$.

Die partielle Flkt $x_1 \mapsto f(x_1, \xi_2, \xi_3, \dots, \xi_n)$ ist zumindest

auf einem kleinen offenen Intervall $I_1 \ni \xi_1$ definiert

[G offen $\Rightarrow f(U_\varepsilon(\xi)) \subseteq G$; definiere $I_1 = U_\varepsilon(\xi) \cap \{x_1, \xi_2, \dots, \xi_n\} / x_1 \in \mathbb{R}\}$]

2-d Veranschaulichung



und wir können $I_1 \ni x_1 \mapsto f(x_1, \xi_2, \dots, \xi_n)$ auf Differenzierbarkeit untersuchen. Falls die Ableitung im Pkt $x_1 = \xi_1$ existiert, d.h. falls

$$\lim_{h \rightarrow 0} \frac{f(\xi + he_1) - f(\xi)}{h}$$

existiert und endlich ist, dann

werden wir f in ξ partiell differenzierbar noch x_1 nennen und die Ableitung mit $\left\{ D_1 f(\xi) \text{ oder } \frac{\partial f}{\partial x_1}(\xi) \text{ oder } \partial_{x_1} f(\xi) \right\}$

bezeichnen - offizielle Definitionen.

Analog dazu können wir natürlich die anderen partiellen Fkt betrachten, also ($1 \leq i \leq n$)

$$x_i \mapsto f(\xi_1, \dots, \xi_{i-1}, x_i, \xi_{i+1}, \dots, \xi_n)$$

und erhalten die i -te partielle Ableitung $D_i f(\xi)$ in ξ .

Also erhalten wir die i -te partielle Ableitung durch Festhalten aller anderen Variablen $x_1, \dots, x_{i-1}, x_{i+1}, \dots, x_n$ und übliches (1-d) Differenzieren in der i -ten Variable.

Jetzt offiziell:

3.3 DEF (partielle Ableitung) Sei $G \subseteq \mathbb{R}^n$ offen, sei
 $f: G \rightarrow \mathbb{R}$ eine Fkt und sei $\xi = (\xi_1, \dots, \xi_n) \in G$.

(i) Falls die i -te partielle Fkt ($1 \leq i \leq n$)

$$x_i \mapsto f(\xi_1, \dots, \xi_{i-1}, x_i, \xi_{i+1}, \dots, \xi_n)$$

im Pkt $x_i = \xi_i$ differenzierbar ist, so heißt f in ξ partiell noch x_i (oder noch der i -ten Koordinate) diffbar und wir bezeichnen diese partielle Ableitung noch x_i (noch der i -ten Koordinate).

$$D_i f(\xi) = \frac{\partial f}{\partial x_i}(\xi) = D_{x_i} f(\xi) = \lim_{\text{oth} \rightarrow 0} \frac{f(\xi + \text{oth}) - f(\xi)}{\text{oth}}$$

(ii) Falls f in ξ nach allen Variablen x_1, \dots, x_n partiell diffbar ist, so nennen wir f partiell diffbar in ξ .

(iii) Falls f in allen $\xi \in G$ partiell diffbar ist, so nennen wir f partiell diffbar (auf G).

3.4 Bsp (part. Abl.) [ganz einfach?]

(i) $f: \mathbb{R}^2 \rightarrow \mathbb{R}$, $f(s,t) = se^t + \sin(st)$

$$D_1 f(s,t) = \frac{\partial f}{\partial s}(s,t) = e^t + t \cos(st), D_2 f(s,t) = \frac{\partial f}{\partial t}(s,t) = se^t + s \cos(st)$$

(ii) $g: \mathbb{R}^3 \rightarrow \mathbb{R}$, $g(x,y,z) = x^2 + xy^2 + 2z^3$

$$D_1 g(x,y,z) = \frac{\partial g}{\partial x}(x,y,z) = 2x + y^2, D_2 g(x,y,z) = \frac{\partial g}{\partial y}(x,y,z) = 2xy$$

$$D_3 g(x,y,z) = \frac{\partial g}{\partial z}(x,y,z) = 6z^2$$

so tun, ob ob
tbw.s Konstante
wären

3.5 BEN (Höhere part. Abl. & eine wichtige Fuge)

Sei $\text{vielelement} G \subseteq \mathbb{R}^n$ offen, $\xi \in G$, $f: G \rightarrow \mathbb{R}$.

(i) Falls f auf G partiell diffbar ist, so erhalten wir n -Stück Fkt

$$D_1 f: G \rightarrow \mathbb{R}, \dots, D_n f: G \rightarrow \mathbb{R}$$

Falls $D_i f$ in $\xi \in G$ partiell noch x_j diffbar ist, so erhalten wir eine partielle Ableitung 2. Ordnung von f im Pkt $\xi \in G$, genauer erhalten wir die part. Abl 2. Ordnung

$$D_j D_i f(\xi)$$

Auf diese Weise erhalten wir n^2 Stück partielle Ableitungen 2. Ordnung.

(ii) Falls $D_j D_i f$ auf G existiert und in $\xi \in G$ noch x_k partiell diffbar ist, so erhalten wir die part. Abl. 3. Ordnung in ξ

$$D_k D_j D_i f(\xi)$$

usw., usw.

(iii) Eine wichtige Fuge, die sich nun stellt, ob bei den partiellen partiellen Ableitungen, z.B. $D_1 D_2 f$ und $D_2 D_1 f$ die Reihenfolge der Differenziation wesentlich ist oder nicht, d.h. ob etwa

$$D_1 D_2 f(\xi) = D_2 D_1 f(\xi) \text{ gilt oder nicht.}$$



Die Antwort ist i. o. NEIN [siche UE]; unter der milden Voraussetzung, dass die betroffenen part. Ableitungen stetig sind lautet sie aber JA.

Beror wir das einschlägige Resultat formulieren & beweisen, ein Bsp.

3.6 Bsp (Höher part. Abl.) Wir betrachten nochmals $\varphi: \mathbb{R}^3 \rightarrow \mathbb{R}$, $\varphi(x, y, z) = x^2 + xy^2 + cz^3$. Cf 3.4 gilt

$D_1\varphi = 2x + y^2$, $D_2\varphi = 2xy$, $D_3\varphi = 6z^2$ und daher

$$D_1 D_1 \varphi = 2, \quad D_1 D_2 \varphi = 2y, \quad D_1 D_3 \varphi = 0$$

$$D_2 D_1 \varphi = 2y, \quad D_2 D_2 \varphi = 2x, \quad D_2 D_3 \varphi = 0$$

$$D_3 D_1 \varphi = 0, \quad D_3 D_2 \varphi = 0, \quad D_3 D_3 \varphi = 12z$$



3.7 Satz (von Schwarz) Sei $G \subseteq \mathbb{R}^n$ offen, $g \in G$, $f: G \rightarrow \mathbb{R}$.
 Falls $D_i D_j f$ und $D_j D_i f$ ($1 \leq i, j \leq n$) auf G existieren
 und in g stetig sind, so gilt

$$\underbrace{D_i D_j f(g)}_{=} = \underbrace{D_j D_i f(g)}_{=}$$

nicht
verwechseln

3.8 Bew (zum Satz v. Schwarz)

[i] Hier über dem Beweis erreichbar genügt die Existenz von $D_i D_j f$ und $D_j D_i f$ auf eine (kleinen) Umgebung von g
 (ii) Induktiv ergibt sich natürlich eine analoge Aussage für partielle Ableitungen höherer Ordnung; d.h.
 {Gemischte part. Abl. vertauschen, falls sie stetig sind?}

Beweis von 3.7: [lange & technisch aufwendige Anwendung des MWS]

(1) Vorbereitung 1: (Z-d Speziell soll genügt)

Es genügt den Satz für $n=2$ zu zeigen, dann obdA sei $x_i = x$, $x_j = y$ und alle anderen Variablen werden ohnehin festgehalten.

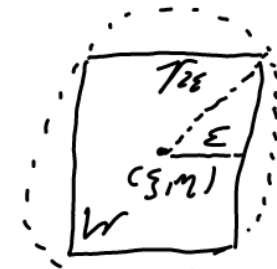
Sei also $G \subseteq \mathbb{R}^2$ offen, $(\xi, \eta) \in G$, $f: G \rightarrow \mathbb{R}$ und $D_1 D_2 f, D_2 D_1 f: G \rightarrow \mathbb{R}$ stetig. Zu zeigen ist, dass

$$D_1 D_2 f(\xi, \eta) = D_2 D_1 f(\xi, \eta)$$

(2) Vorbereitung 2: (Festlegen der Umgebungen)

Wähle $\varepsilon > 0$ so, dass $U_{T\varepsilon}(\xi, \eta) \subseteq G$.

$$\Rightarrow W := [\xi - \varepsilon, \xi + \varepsilon] \times [\eta - \varepsilon, \eta + \varepsilon] \subseteq U_{T\varepsilon}(\xi, \eta) \subseteq G$$



Seien $\alpha, \beta \neq 0$, $|\alpha|, |\beta| < \varepsilon$

$$\Rightarrow [\xi - |\alpha|, \xi + |\alpha|] \times [\eta - |\beta|, \eta + |\beta|] \subseteq W$$

$U_{T\varepsilon}(\xi, \eta)$

(3) Darstellung von $D_2 D_1 f$

Setze $\varphi(x) := f(x, \eta + \beta) - f(x, \eta)$ für $x \in [\xi - |\alpha|, \xi + |\alpha|]$

$\xrightarrow{\text{MWS}}$ $\exists x_1 \in [\xi - |\alpha|, \xi + |\alpha|]$:

$$\varphi(x + \alpha) - \varphi(x) = \alpha' \varphi'(x_1) = \alpha (D_1 f(x_1, \eta + \beta) - D_1 f(x_1, \eta)) = (\alpha)$$

Setze $\varphi_1(y) := D_1 f(x_1, y)$ für $y \in [\eta - |\beta|, \eta + |\beta|]$

$$\Rightarrow (\alpha) = \alpha (\varphi_1(\eta + \beta) - \varphi_1(\eta)) \quad (1)$$

$$\xrightarrow{\text{MLS}} \exists y_1 \in [\gamma - 1\beta, \gamma + 1\beta]$$

$$\underbrace{\varphi(\xi+\alpha) - \varphi(\xi)}_{= \alpha \beta} \stackrel{(1)}{=} \varphi'(y_1) = \alpha \beta \underbrace{D_2 D_1 f(x_1, y_1)}_{(1)} \quad (\square)$$

(4) Darstellung von $D_1 D_2$:

$$\text{Setz } \varphi(y) := f(\xi+\alpha, y) - f(\xi, y) \quad \text{für } y \in [\gamma - 1\beta, \gamma + 1\beta]$$

Wie in (3) geht man nun mit (2-maliger Anwendung d₂)

MLS: $\exists x_2 \in [\xi - 1\alpha, \xi + 1\alpha], y_2 \in [\gamma - 1\beta, \gamma + 1\beta]$ sodass

$$\begin{aligned} \varphi(\gamma + \beta) - \varphi(\gamma) &= \beta \varphi'(y_2) = \beta (D_2 f(\xi + \alpha, y_2) - D_2 f(\xi, y_2)) \\ &= \beta \underbrace{D_1 D_2 f(x_2, y_2)}_{(II)} \end{aligned} \quad (\square)$$

(5) Die beiden Darstellungen stimmen überein. Es gilt

$$\begin{aligned} \varphi(\xi + \alpha) - \varphi(\xi) &= f(\xi + \alpha, \gamma + \beta) - f(\xi + \alpha, \gamma) - f(\xi, \gamma + \beta) + f(\xi, \gamma) \\ &= f(\xi + \alpha, \gamma + \beta) - f(\xi, \gamma + \beta) - (f(\xi + \alpha, \gamma) - f(\xi, \gamma)) \\ &= \varphi(\gamma + \beta) - \varphi(\gamma) \end{aligned}$$

(I), (II)

$$\Rightarrow \alpha \beta D_1 D_2 f(x_2, y_2) = \alpha \beta D_2 D_1 f(x_1, y_1)$$

$$\xrightarrow{\alpha, \beta \neq 0} \left\{ \begin{array}{l} D_1 D_2 f(x_2, y_2) = D_2 D_1 f(x_1, y_1) \end{array} \right\}$$

(6) Abschluss: $\alpha, \beta \rightarrow 0$: Wir betrachten nun den Limes

$$(\alpha, \beta) \rightarrow (0, 0) \Rightarrow (x_1, y_1) \rightarrow (\xi, \gamma) \leftarrow (x_2, y_2)$$

$D_1 D_2 f, D_2 D_1 f$ stetig?

$$\xrightarrow{\text{Z 1.26}} D_1 D_2 f(\xi, \gamma) = D_2 D_1 f(\xi, \gamma)$$

]

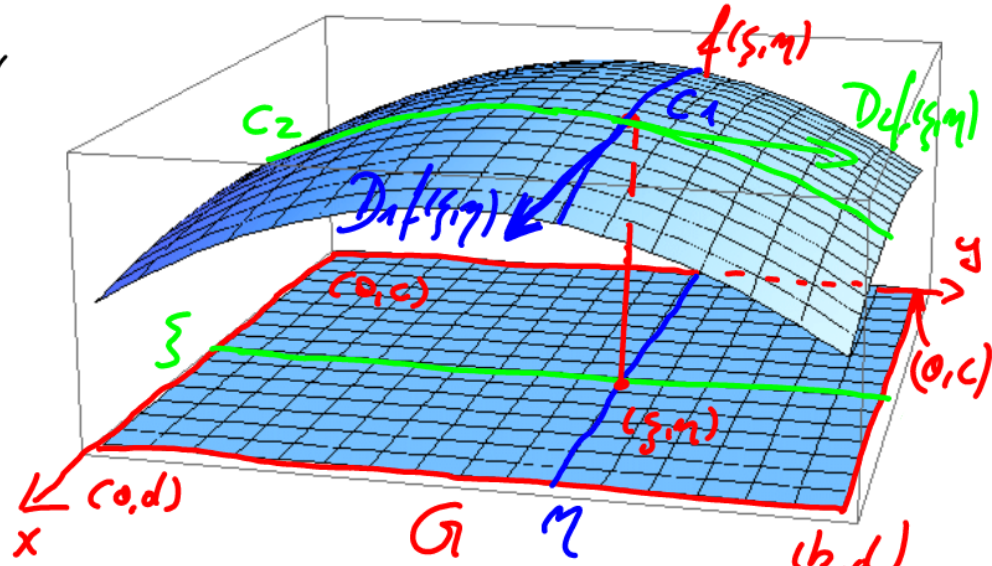
3.9 Rückblick & Ausblick (Differenzierbarkeit)

(i) Was wir bis jetzt getan haben: Wir wollen die Bedeutung der part. Ableitungen graphisch darstellen. Sei dazu $G := (a, b) \times (c, d)$ ein offenes Rechteck im \mathbb{R}^2 , $(\xi, \eta) \in G$ und $f: G \rightarrow \mathbb{R}$ part. diffbar. Wir betrachten die part. Flkt.

$$\begin{aligned} g: x \mapsto f(x, \eta) \\ h: y \mapsto f(\xi, y) \end{aligned}$$

und zeichnen sie im Graphen $\Gamma(f) = \{(x, y, f(x, y)) \mid (x, y) \in G\}$ ein:

- g beschreibt die Kurve C_1 , die durch Schnitt von $\Gamma(f)$ mit der Ebene $y=\eta$ entsteht.



- h beschreibt die Kurve C_2 , die durch Schnitt $\Gamma(f)$ mit der Ebene $x=\xi$ entsteht

- Daraus ist $D_1 f(\xi, \eta) = g'(\xi)$ der Anstieg von C_1 im Pkt $(\xi, \eta, f(\xi, \eta))$ und $D_2 f(\xi, \eta) = h'(\eta)$

- (ii) Fazit: Die Information, die in $D_1 f$, $D_2 f$ steckt bezieht sich nur auf die Änderung von f

in 2 sehr speziellen Richtungen - nämlich den Koordinatenrichtungen. Ohne weiteren Voraussetzungen seien Df, Df nichts über die Änderung von f in allen anderen Richtungen aus.

Diese Information wird aber nicht ausreichen um einen guten Differenzierbarkeitsbegriff daraus aufzubauen. Dafür erinnern wir uns an

- (iii) Differenzieren als lin. Approximation im 1-d Fall
 ③ Thm. 1.19 besagt für $f: \mathbb{R} \supseteq I \rightarrow \mathbb{R}$, $\xi \in I$, I ein Intervall

$$\exists \varrho \in \mathbb{R} \quad \exists \delta > 0 \quad \exists r: (-\delta, \delta) \rightarrow \mathbb{R} : \\ f \text{ diffbar in } \xi \iff f(\xi+h) - f(\xi) = \varrho h + r(h) \quad \begin{matrix} \forall |h| < \delta \\ \text{mit } \xi+h \in I \end{matrix} \\ \text{und } \frac{r(h)}{h} \rightarrow 0 \quad (h \rightarrow 0)$$

Bemerkung [vgl. ③] 1.20], dass dabei

$$\mathbb{R} \ni h \mapsto \varrho \cdot h \in \mathbb{R}$$

eine lineare Fkt ist, die die Inkrementfkt

$$\varphi(h) := f(\xi+h) - f(\xi)$$

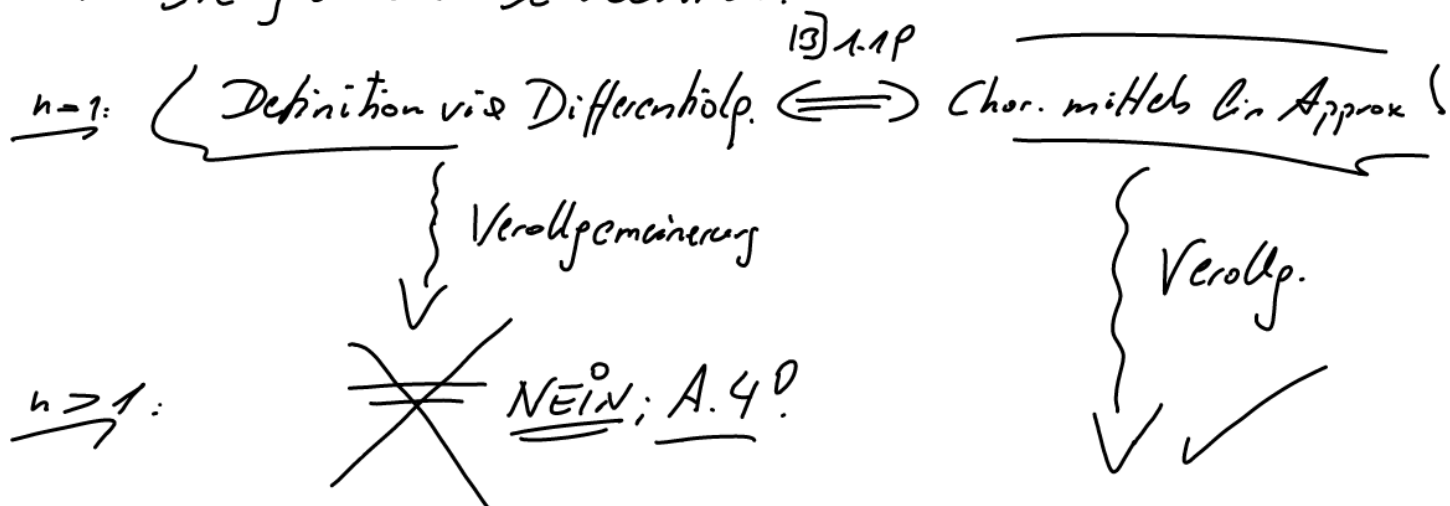
beschreibt die Änderung von f nahe ξ

approximiert; es ist außerdem $\varrho = f'(\xi)$.

Diese Aussage der Differenzierbarkeit lässt sich nun gut auf den Fall $f: \mathbb{R}^n \rightarrow \mathbb{R}^m$ verallgemeinern. Berücksichtigen wir das für noch eine allgem. Bemerkung

3.10 Strologische Bemerkung } Verallgemeinerungen um besten Weg?

Umso Vorsichtsweise beim Verallgemeinern des Begriffs der Differenzial von 1-d auf n-d Definitionsbereich folgt einer in der Mathematik verwandten Strologie beim Verallgemeinern von Begriffen: Dazu vollen wir sie genauer betrachten:



Der Begriff der Differenzial kann im Fall $n=1$ durch die lin. Approximation des Inkrementals vollständig charakterisiert werden. Während die ursprüngliche Def mittels Differenzialquotienten sich nicht auf den Fall $n \geq 1$ verallgemeinern lässt, ist dies für die in $n=1$ äquivalente Formulierung aus (3) 1.19 sehr wohl (und zwar sehr direkt?) möglich.

Falls in der math. Forschung ein Begriff verallgemeinert werden soll, steht oft viel Arbeit & Kreativität im O. Schrift, indem man die für die Verallgemeinerung am besten geeignete äquivalente Formulierung des Begriffs findet - oft muss sie überhaupt erst neu erfunden werden?

3.11 DEF (Differenzierbarkeit) Sei $G \subseteq \mathbb{R}^n$ offen, $f: G \rightarrow \mathbb{R}^m$.

(i) Die Fkt f heißt Differenzierbar im Pkt $\xi \in G$, falls

$\exists A: \mathbb{R}^n \rightarrow \mathbb{R}^m$ linear, $f \circ \varphi \circ f^{-1}: \mathbb{R}^n \ni \vec{U}_j(0) \rightarrow \mathbb{R}^m$ sodass

$$f(\xi + h) - f(\xi) = A \cdot h + r(h) \quad \forall h \in \mathbb{R}^n \text{ mit } \|h\| < \delta$$

und $\lim_{h \rightarrow 0} \frac{r(h)}{\|h\|} = 0$

(ii) Ist f diff bar in allen Punkten $\xi \in G$, dann nennen wir f diffbar auf G .

3.12 BEM (zu Def der Diffbarkeit)

(i) (offener Defbereich) W: beschränken uns bei der mehrdim Diffbarkeit auf offene Definitionsbereiche. Anders als im 1-d Fall kann man sich dem Rand des Defbereichs aus vielen Richtungen nähern, was die Sache sehr verkomplizieren würde.

$$f: I \subseteq \mathbb{R} \rightarrow \mathbb{R}$$

einschließlich hier linkssiehige Abl

leicht zu definieren [3] 1.7(iii)



(ii) (Übereinstimmung im Fall $n=1=m$) Def 3.11 reduziert sich im Fall $n=1=m$ tatsächlich auf die Bedingung in [3] 1.19 - vgl 3.P(iii). Dabei ist die lin. Abbildung A dargestellt durch die (1×1) -Matrix $\varphi = f'(g) \in \mathbb{R}$.

(iii) (Die Ableitung?) Plot (iii) legt nahe, dass wir (auch) in 3.11 A ob die Ableitung von f in ξ berechnen. Dies haben wir in 3.11 allerdings aus praktischen Gründen nicht getan: bevor wir das können, müssen wir sicherstellen, dass A eindeutig durch 3.11 bestimmt ist.

Außerdem würden wir A auch gerne berechnen (können) - bevor wir es probotisch benennen.

Erläuterlicherweise kommen uns bei beiden Problemen die partiellen Ableitungen zu Hilfe?

3.13 SAT + DEF (Differenzierbar \Rightarrow partiell differenzierbar, Jacobi-Matrix)

Sei $G \subseteq \mathbb{R}^n$ offen und sei $f = (f_1, \dots, f_m): G \rightarrow \mathbb{R}^m$ differenzierbar in $\xi \in G$. Dann sind alle Komponentenfktl. $f_j: G \rightarrow \mathbb{R}$ ($1 \leq j \leq m$) (in alle Richtungen) partiell differenzierbar in ξ und es gilt

$$A = \begin{pmatrix} Df_1(\xi) & Df_2(\xi) & \dots & Df_n(\xi) \\ Df_{1,1}(\xi) & \dots & \dots & Df_{1,n}(\xi) \\ \vdots & & & \\ Df_{m,1}(\xi) & \dots & \dots & Df_{m,n}(\xi) \end{pmatrix} =: Df(\xi).$$

d.h.
 $Df_{j,i} = \frac{\partial f_j}{\partial x_i}(\xi)$
 $(x_1, \dots, x_n) \mapsto f_j(x_1, \dots, x_n)$
Jacobi-Matrix
Abbildung: $\mathbb{R}^n \rightarrow \mathbb{R}^m$

Die Matrix $Df(\xi)$ heißt Jacobi-Matrix von f in ξ .

3.14 BEM + TERMINOLOGIE (3.12(iii)) gelöst, die Ableitung)

Eine Kurzfassung von 3.13 ist:
 f differenzierbar in $\xi \Rightarrow$ Alle Komponenten f_j partiell differenzierbar in ξ und $A = Df(\xi)$

Insbesondere ist A durch die Jacobi-Matrix $Df(\xi)$ eindeutig bestimmt & (leicht) berechenbar und wird die Ableitung von f in ξ genannt.

Nichts Neues
nur (früher) im
SOUIC Arbeit

Bereits [nicht schwierig aber viel Bürokratie]

Seien (mit der Notation von 3.13)

$$\xi = (\xi_1, \dots, \xi_n), \quad h = (h_1, \dots, h_n), \quad r = (r_1, \dots, r_m)$$

Komponenten von r

Die Gleichung in 3.12, $f(\xi+h) - f(\xi) = Ah + r(h)$ lautet in Komponenten ($1 \leq j \leq m$)

Notizmatrix $A \cdot h$

$$(*) \quad f_j(\xi+h) - f_j(\xi) = \varphi_{j1} h_1 + \dots + \varphi_{jn} h_n + r_j(h).$$

Aus der Bedingung an r , $\frac{r(h)}{\|h\|} \rightarrow 0$ ($h \rightarrow 0$) folgt für jedes j

$$(**) \quad \lim_{h \rightarrow 0} \frac{r_j(h)}{\|h\|} = 0.$$

Idee: So kommt man zu part. Abh.

Speziell für $h = s \cdot e_i$ (sehr, e_i : der i -te Einheitsvektor)

nehmen $(*)$, $(**)$ folgende Form an:

$$f_j(\xi + se_i) - f_j(\xi) = \varphi_{ji} s + p_j(s) \quad \text{mit} \quad \sum_{e=1}^n \varphi_{je}(e_i)_e = \sum_e \varphi_{je} \text{ die} \\ = \varphi_{ji}$$

$$p_j(s) := r_j(se_i) \quad \text{und} \quad \lim_{s \rightarrow 0} \frac{p_j(s)}{s} = \lim_{s \rightarrow 0} \frac{r_j(se_i)}{\|se_i\|} = 0.$$

[3] 1.19

$\Rightarrow s \mapsto f_j(\xi + se_i)$ diffbar im Plot ξ mit Abh. φ_{ji}

3.3

$\Rightarrow f_j$ part diffbar in ξ nach x_i und $D_i f_j(\xi) = \varphi_{ji}$.

3.15 BEN (Spezielle Fälle)

(offenes Intervall)

Mittwoch
Vorlesung

(i) $n=1=m$. Also $f: I \rightarrow \mathbb{R}$ diffbar in $\xi \in I$. Dann gilt $Df(\xi) = f'(\xi)$, eine (1×1) -Matrix und wir sind zurück in Koz. 13]

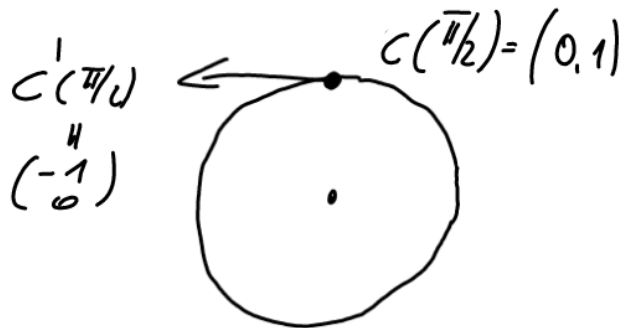
(ii) $n=1$, Kurven: Sei $c = (c_1, \dots, c_m): I \rightarrow \mathbb{R}^m$ diffbar in $t \in I$. Dann gilt

Vgl. Lk. 11

$$Dc(t) = \begin{pmatrix} c_1'(t) \\ \vdots \\ c_m'(t) \end{pmatrix} := c'(t), \text{ eine } (m \times 1)\text{-Matrix, ohne ein Spaltenvektor}$$

Z.B. $c(t) = \begin{pmatrix} \cos(t) \\ \sin(t) \end{pmatrix}$

$$Df(t) = \begin{pmatrix} -\sin(t) \\ \cos(t) \end{pmatrix}$$



Veranschaulichung ob „Geschwindigkeitsvektor“

(iii) $m=1$, skalare Fkt: Sei $f: G \rightarrow \mathbb{R}$ diffbar in $\xi \in G$, dann gilt

$Df(\xi) = (D_1 f(\xi), \dots, D_n f(\xi))$, eine $(1 \times n)$ -Matrix, ohne

Schauen wir in die Def der Diff. e in, so erhalten wir

$$f(\xi + h) - f(\xi) = D_1 f(\xi) h_1 + \dots + D_n f(\xi) h_n + r(h)$$

$$= \langle Df(\xi)^t, h \rangle + r(h).$$

Skalarprod.
auf \mathbb{R}^n

$$Df(\xi)^t = \begin{pmatrix} D_1 f(\xi) \\ \vdots \\ D_n f(\xi) \end{pmatrix}$$

oder transponierte Zeilenvektor ist ein Spaltenvektor

Off wird folgende Terminologie verwendet:

$$\text{grad } f(\xi) := Df(\xi)^t$$

heißt der Großgradient von f im Pkt ξ . Damit schreibt sich die Def der Differenzierbarkeit für $f: \mathbb{R}^n \rightarrow \mathbb{R}$ - ohne den Beweis - als folgt Folgs. vgl. 2.3(i) - wie folgt

$$\left\{ \begin{array}{l} f(\xi+h) - f(\xi) = \langle \text{grad } f(\xi), h \rangle + r(h) \\ \text{mit } \frac{r(h)}{\|h\|} \rightarrow 0 \quad (h \rightarrow 0) \end{array} \right.$$

z.B.: $f: \mathbb{R}^2 \rightarrow \mathbb{R}$, $f(x,y) = \sin(x)\cos(y)$,

$$\text{grad } f(x,y) = \begin{pmatrix} \cos(x)\cos(y) \\ -\sin(x)\sin(y) \end{pmatrix}$$

3.16 BEM (Umformulierungen der Differenzierbarkeit) Folgende einfache Umformulierungen der Differenzierbarkeit sind oft nützlich: Für $G \subseteq \mathbb{R}^n$ offen, $f = (f_1, \dots, f_m): G \rightarrow \mathbb{R}^m$, $\xi \in G$ sind folgende Aussagen äquivalent

(1) f differenzierbar in ξ

(2) Alle Komponenten $f_j: G \rightarrow \mathbb{R}$ sind differenzierbar in ξ

(3) $\exists A: \mathbb{R}^n \rightarrow \mathbb{R}^m$ linear, sodass

$$\lim_{h \rightarrow 0} \frac{f(\xi+h) - f(\xi) - Ah}{\|h\|} = 0$$

$$\begin{aligned} Df(\xi) &= \begin{pmatrix} D_1 f_1 & \dots & D_n f_1 \\ \vdots & & \vdots \\ D_1 f_m & \dots & D_n f_m \end{pmatrix}(\xi) \\ &\stackrel{3.15 \text{ aus}}{=} \begin{pmatrix} Df_1 \\ \vdots \\ Df_m \end{pmatrix} \end{aligned}$$

$$\begin{aligned} r(h) &= f(\xi+h) - f(\xi) - Ah \\ &\text{vgl. Bew [3] 1.19} \end{aligned}$$

3.17 Bsp (Differenzieren, Jacobi-Matrix)

(i) (lin. Abb) Sei $f: \mathbb{R}^n \rightarrow \mathbb{R}^m$ linear, also $f(x) = Bx$ mit B eine $(m \times n)$ -Matrix. Dann gilt für $\xi + h$

$$f(\xi + h) - f(\xi) = B(\xi + h) - B\xi = Bh + 0.$$

Aber ist Def 3.11 mit $r(h) = 0$ erfüllt und es gilt $A = B$, d.h. $Df(\xi) = B \quad \forall \xi \in \mathbb{R}^n$.

[Die Ableitung einer lin. Abb ist (in jedem Pkt) die Matrix selbst; das ist schon auf \mathbb{R} : $f(x) = ax \quad f'(x) = a \quad \forall x$]

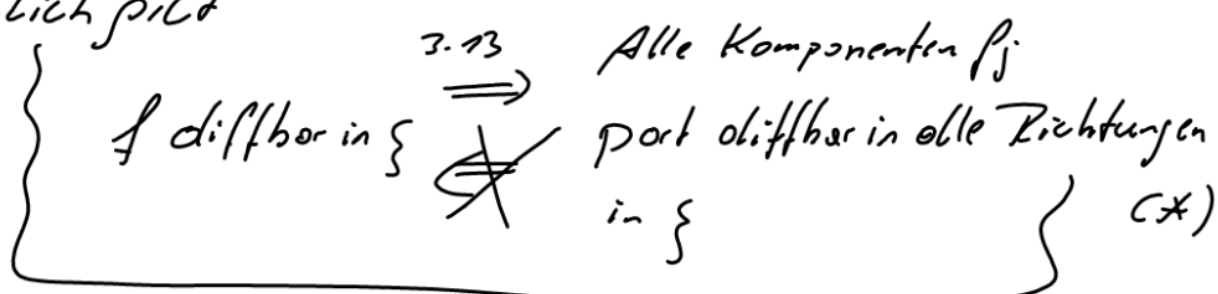
(ii) Sei $f: \mathbb{R}^3 \rightarrow \mathbb{R}^2$, $f(x, y, z) = \begin{pmatrix} x^2 + xy^2 \\ 2x + z \end{pmatrix}$. Dann hat die Jacobi-Matrix die Gestalt

$$Df(x, y, z) = \begin{pmatrix} D_1 f_1 & D_2 f_1 & D_3 f_1 \\ D_1 f_2 & D_2 f_2 & D_3 f_2 \end{pmatrix}_{(x, y, z)} = \begin{pmatrix} 2x + y^2 & x^2 & xy \\ 2 & 0 & 1 \end{pmatrix}.$$

3.18 VORSICHT (punkt diffbar $\not\Rightarrow$ diffbar; je nichteinmal stetig)

(i) In 3.17(iii) haben wir zwar die Jacobi-Matrix berechnet, damit ist aber nicht gezeigt, dass f auch diffbar ist!

Tatsächlich gilt



(ii) Es kommt sogar noch dicke: Die Bedingung auf der rechten Seite impliziert nicht einmal die Stetigkeit, genauer sei $f: G \rightarrow \mathbb{R}$, dann gilt

$\left\{ \begin{array}{l} f \text{ stetig in } \{ \\ f \text{ port diffbar in } \{ \end{array} \right.$

Ein explizites Gegenbsp ist

des Peano-Bsp aus 2.13:

$$f(x,y) = \begin{cases} \frac{xy}{x^2+y^2} & (x,y) \neq (0,0) \\ 0 & (x,y) = (0,0) \end{cases}$$

Dann gilt [2.13] für die part. Fkt

$$x \mapsto f(x,0) = 0 \quad \forall x \Rightarrow D_1 f(0,0) = 0$$

$$y \mapsto f(0,y) = 0 \quad \forall y \Rightarrow D_2 f(0,0) = 0.$$

Also ist f in $(0,0)$ port diffbar aber unstetig - und daher auch nicht diffbar wie o.a) Satz 3.19 (unter: diffbar \Rightarrow stetig) folgt.

(iii) Alles wird wieder gut, wenn die port. Ableitungen nicht nur existieren, sondern auch stetig sind. Das zeigen wir in Satz 3.20 unten.

(iv) Zunächst halten wir fest, dass - wie auf \mathbb{R} - die Diffbarkeit die Stetigkeit impliziert und weil diesselben Gegenbsp wie auf \mathbb{R} port stetig bleiben für $f: \mathbb{R}^n \rightarrow \mathbb{R}^m$, geht prüft

$\left\{ \begin{array}{l} f \text{ diffbar in } \{ \\ \Rightarrow f \text{ stetig in } \{ \end{array} \right.$

$$f(x) = 1/x \text{ in } x=0 \quad [13], 3.8(vii)]$$

3.19 SATZ (diffbar \Rightarrow stetig) Sei $G \subseteq \mathbb{R}^n$ offen und sei $f: G \rightarrow \mathbb{R}^m$ diffbar in $\{ \in G$. Dann ist f auch stetig in $\{$.

Beweis: [selbe Idee wie 1.13 nur mit Folgen statt lim v. Flkt.]

Sei $(x^{(k)})$ Folge in G mit $x^{(k)} \rightarrow \xi$; sehe $h^{(k)} := x^{(k)} - \xi$
 $\Rightarrow h^{(k)} \rightarrow 0$ und es gilt

$$f(x^{(k)}) - f(\xi) = f(\xi + h^{(k)}) - f(\xi) \quad (k \rightarrow \infty)$$

$$\stackrel{3.13}{=} Df(\xi)h^{(k)} + r(h^{(k)}) \xrightarrow{\xi} Df(\xi) \cdot 0 + 0$$

Aber $f(x^{(k)}) \rightarrow f(\xi) \stackrel{2.7}{\Rightarrow} f$ stetig in ξ .]

3.10 Satz (stetig part diffb \Rightarrow diffb) Sei $G \subseteq \mathbb{R}^n$ offen,

sei $f: G \rightarrow \mathbb{R}$ partiell diffb und seien alle partiellen Ableitungen $D_i f: G \rightarrow \mathbb{R}$ ($1 \leq i \leq n$) stetig in ξ .

Dann ist f diffb in ξ .

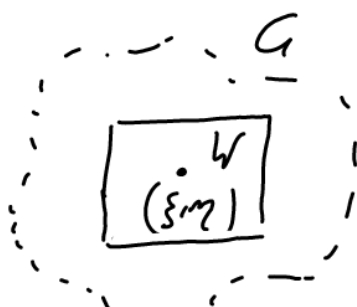
Beweis [Anwenden des MWS & etwas Bürokratie]

(1) Vorpostenkonkl:

Wir sehen $n=2$, da allgemeine Föll erfordert dann nur eine Anpassung der Notation.

Sei also $(\xi, \eta) \in G$ und ε so klein, dass

$$W := [\xi - \varepsilon, \xi + \varepsilon] \times [\eta - \varepsilon, \eta + \varepsilon] \subseteq G$$



(2) Berechnen des Inkrementals:

Für (α, β) mit $|\alpha|, |\beta| < \varepsilon$ gilt $(\xi, \eta) + (\alpha, \beta) \in W$ und wir können rechnen

$$\underline{f(\xi, \eta) + (\alpha, \beta)) - f(\xi, \eta)}$$

Trick: geeigneten Term einschreiben

$$= f(\xi + \alpha, \eta + \beta) - f(\xi, \eta + \beta) + f(\xi, \eta + \beta) - f(\xi, \eta)$$

$$= \alpha D_1 f(\xi, \eta + \beta) + \beta D_2 f(\xi, \eta)$$

Md)-MWS für passende Zwischenstellen $x_1 \in [\xi - \alpha, \xi + \alpha], y_1 \in [\eta - \beta, \eta + \beta]$

$$= \alpha D_1 f(\xi, \eta) + \beta D_2 f(\xi, \eta) \quad \text{hätten wir gerade}$$

$$+ \alpha \underbrace{(D_1 f(x_1, \eta + \beta) - D_1 f(\xi, \eta))}_{\subseteq r_1(\alpha, \beta)} + \beta \underbrace{(D_2 f(\xi, y_1) - D_2 f(\xi, \eta))}_{\subseteq r_2(\beta, \eta)} \quad \text{stößt auf Tats.}$$

$$\subseteq r_1(\alpha, \beta) (*)$$

$$\subseteq r_2(\beta, \eta) (**, **)$$

Matrixprodukt

$$=: r(\alpha, \beta)$$

$$= (D_1 f(\xi, \eta), D_2 f(\xi, \eta)) \cdot \begin{pmatrix} \alpha \\ \beta \end{pmatrix} + r(\alpha, \beta)$$

(3) Nachweis der Differenzierbarkeit. Gemäß 3.13 genügt

es zu zeigen, dass für $h = (\alpha, \beta)$ $\frac{r(h)}{\|h\|} \rightarrow 0$ ($h \rightarrow 0$).

Daher schätzen wir ab

$$\frac{|r(\alpha, \beta)|}{\sqrt{\alpha^2 + \beta^2}} \stackrel{\Delta-\text{Upf}}{\leq} \frac{|\alpha| |r_1(\alpha, \beta)| + |\beta| |r_2(\alpha, \beta)|}{\sqrt{\alpha^2 + \beta^2}} \quad \left[\begin{array}{l} \oplus \\ \{ = \left\langle \begin{pmatrix} \alpha \\ \beta \end{pmatrix}, \begin{pmatrix} r_1 \\ r_2 \end{pmatrix} \right\rangle \end{array} \right]$$

$$\cancel{\frac{|r(\alpha, \beta)|}{\sqrt{\alpha^2 + \beta^2}}} \leq \frac{\sqrt{\alpha^2 + \beta^2} \sqrt{r_1^2(\alpha, \beta) + r_2^2(\alpha, \beta)}}{\sqrt{\alpha^2 + \beta^2}}$$

$$= \sqrt{r_1^2(\alpha, \beta) + r_2^2(\alpha, \beta)} \quad (1)$$

Nun gilt: mal $(\alpha, \beta) \rightarrow (0,0)$ folgt

$$x_1 \rightarrow \xi, y_1 \rightarrow \eta, \alpha + \beta \rightarrow \gamma$$

$D_1 f, D_2 f$ stetig in (ξ, η)

$$\Rightarrow D_1 f(x_1, \gamma + \beta) \rightarrow D_1 f(\xi, \gamma)$$

$$z. f. \quad D_2 f(\xi, y_1) \rightarrow D_2 f(\xi, \eta)$$

(*) , (**)

$$\Rightarrow r_1(\alpha, \beta) \rightarrow 0, r_2(\alpha, \beta) \rightarrow 0 \quad \text{für } (\alpha, \beta) \rightarrow (0,0)$$

$$\stackrel{(\Delta)}{\Rightarrow} \frac{r(\alpha, \beta)}{\|(\begin{pmatrix} \alpha \\ \beta \end{pmatrix} \|)} \rightarrow 0 \quad (\alpha, \beta) \rightarrow (0,0)$$

]

3.21 BEM (Terminologie - Zusammenfassung der Situation)

(i) \mathcal{C}^1 -Flkt

Gelten die Bedingungen von Satz 3.15 in allen Punkten $\xi \in G$, d.h. falls für $f: \mathbb{R}^n \ni \xi \rightarrow \mathbb{R}$ alle part. Ableitungen auf ganz G stetig sind, dann ist auch die Abb

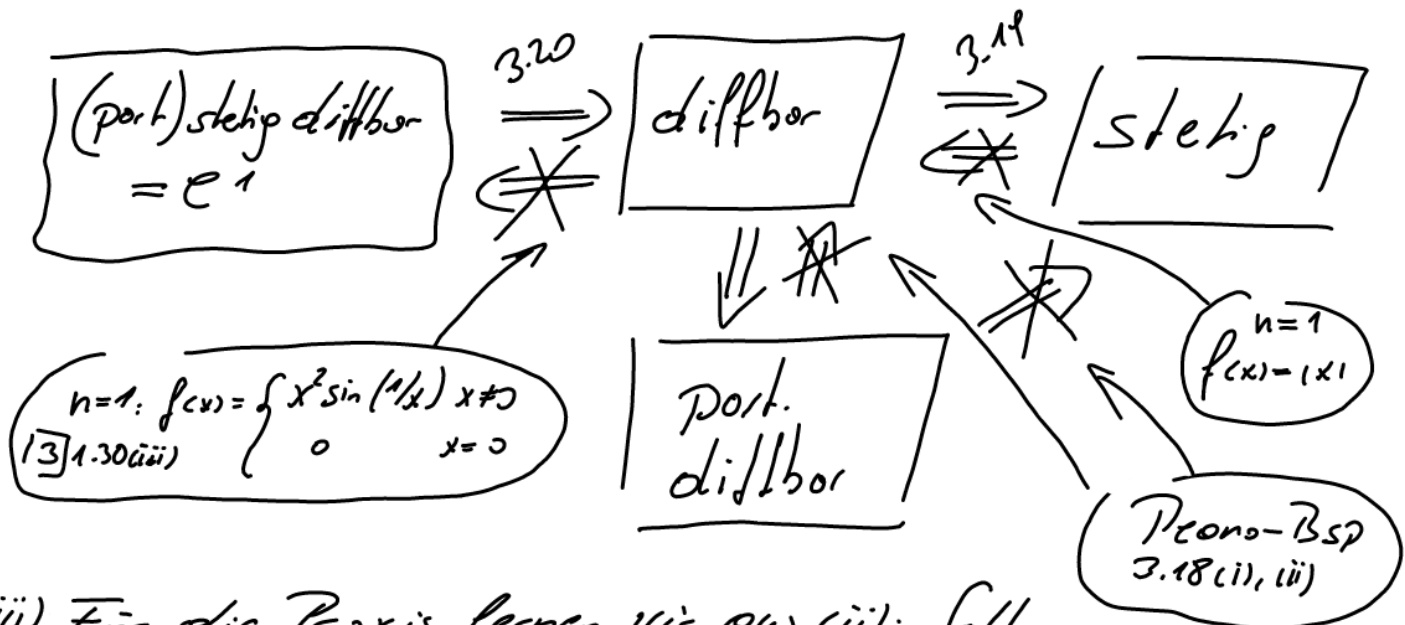
$$\underbrace{\{ G \ni \xi \mapsto Df(\xi) \in M_{(1 \times n)}(\mathbb{R}) \}}_{\substack{(x_n)- \\ \text{Nobritzen} \\ \text{mit reellen} \\ \text{Einträgen}}}$$

stetig [wegen 2.8]. In völlige Analogie zu den 1-d Flkt [13] 1.30(iii)] nennen wir solche

Flkt $\{ \text{stetig diffbar bzw } \mathcal{C}^1 \text{-Flkt} \}$

Also sind stetig diffbare Flkt per def partiell stetig diffbare Flkt.

(ii) (Überblick) Wir können nun folgenden Überblick über die (Nicht-) Implikationen der Differenzierbarkeitsbegriffe geben:



(iii) Für die Praxis lernen wir aus (ii): soll eine Flkt $f: \mathbb{R}^n \rightarrow \mathbb{R}^m$ auf Differenzierbarkeit untersucht werden, so ist folgende Vorgehensweise sinnvoll:

(1) Berechne die Jacobi-Matrix; natürlich nur falls möglich, ohne alle Komp. alle part. Ableitungen berechnen.

(2) Überprüfe die Einträge der Jacobi-Matrix auf Stetigkeit. Falls ja, dann ist f sogar C^1 . Falls nein, muss die Def. der Differenzierbarkeit herangezogen werden ...

[Höchste Zeit für ...]

3.22 BSD (Differenzierbare Flkt)

(i) $f: \mathbb{R}^3 \rightarrow \mathbb{R}^2$, $f(x,y,z) = \begin{pmatrix} x^2 + xy \\ zx + z \end{pmatrix}$, $Df(x,y,z) = \begin{pmatrix} 2x+y & x \\ z & 0 & 1 \end{pmatrix}$ 3.17cii)

ist stetig auf \mathbb{R}^3 also $f \in C^1(\mathbb{R}^3; \mathbb{R}^2)$, insbes. diffbar

(ii) $f: \mathbb{R}^2 \rightarrow \mathbb{R}$, $f(x,y) = x+y$, $Df(x,y) = \begin{pmatrix} 1 \\ 1 \end{pmatrix}$

ist stetig also $f \in C^1(\mathbb{R}^2)$, insbes. diffbar auf \mathbb{R}^2

(iii) $f: G := \{(x,y) \in \mathbb{R}^2 / x > 0, y > 0\} \rightarrow \mathbb{R}^2$, $f(x,y) = \begin{pmatrix} x+y \\ \sqrt{x+y} \end{pmatrix}$

$$Df(x,y) = \begin{pmatrix} 1 & 1/2\sqrt{y} \\ 1/2\sqrt{x} & 1 \end{pmatrix} \text{ ist stetig auf } G \Rightarrow f \in C^1(G; \mathbb{R}^2)$$

$\underbrace{\quad}_{\text{3 insbes. diffbar auf } G}$

3.23 BEN (Baukasten)

Analog zum 1-d Fall wollen wir die Verträglichkeit der Differenziation mit den Grundoperationen untersuchen [vgl. 13] 1.13] und daraus ein „Baukastensystem“ für mehrdim Differenzieren plus Differenzionsregeln gewinnen – natürlich sind hier Einschränkungen gegeben, da z.B. Produkte nur für Flkt mit Gradbach ≤ 2 möglich sind...

3.24 PRO7 (Differenzionsregeln) Sei $G \subseteq \mathbb{R}^n$ offen.

(i) (Kombinationen) Seien $f, g: G \rightarrow \mathbb{R}^m$ diffbar in $\xi \in G$. Für $r, \mu \in \mathbb{R}$ ist $rf + \mu g$ diffbar in ξ und es gilt

$$D(rf + \mu g)(\xi) = r Df(\xi) + \mu Dg(\xi)$$

Zahl. Rohix Rohix + Rohix

(ii) (Produktregel) Seien f, g: $G \rightarrow \mathbb{R}$ diffbar in ξ .
 Dann ist fg diffbar in ξ und es gilt

$$\left\{ \begin{array}{l} \text{groß}(fg)(\xi) = f(\xi) \text{prod } g(\xi) + g(\xi) \text{prod } f(\xi) \\ \text{Vektor+Vektor} \end{array} \right.$$

(iii) (Kettenregel) Seien $f: G \rightarrow \mathbb{R}^m$, $g: \mathbb{R}^m \ni w \rightarrow \mathbb{R}^e$

Funktionen $W \subseteq \mathbb{R}^m$ offen und $f(G) \subseteq W$. Ist f diffbar in $\xi \in G$ und g diffbar in $y := f(\xi) \in W$,

dann ist die Verknüpfung $g \circ f: G \rightarrow \mathbb{R}^e$ diffbar in ξ und es gilt

Das übliche Vorgehen:
 $\mathbb{R}^n \ni \xi \xrightarrow{f} f(\xi) \in W \xrightarrow{g} \mathbb{R}^e$

$$\left\{ \begin{array}{l} D(g \circ f)(\xi) = Dg(f(\xi)) \cdot Df(\xi) \end{array} \right.$$

Jacobi-Matrix einer Abb
 $\mathbb{R}^n \rightarrow \mathbb{R}^e$: $(l \times n)$ -Matrix

Produkt der Jacobi-Matrizen:
 $Dg(y) \in M(e, m)$, $Df(\xi) \in M(m, n)$
 gibt eine Matrix in $M(e, n)$ ohne
 diag

3.25-BSP (Kettenregel)

$$(i) f: \mathbb{R}^2 \rightarrow \mathbb{R}^2, f(x, y) = \begin{pmatrix} x-y \\ xy \end{pmatrix}; g: \mathbb{R}^2 \rightarrow \mathbb{R}^3, g(x, y) = \begin{pmatrix} x+y \\ 3x+2y \\ y \end{pmatrix}$$

$$\xi = (\xi_1, \xi_2) = (0, 1), \quad f(0, 1) = (-1, 0) = (y_1, y_2) = y$$

$$Df(x, y) = \begin{pmatrix} 1 & -1 \\ y & x \end{pmatrix}, \quad Df(0, 1) = \begin{pmatrix} 1 & -1 \\ 1 & 0 \end{pmatrix}$$

$$Dg(x, y) = \begin{pmatrix} 1 & 1 \\ 3 & 2 \\ 0 & 1 \end{pmatrix}, \quad Dg(f(0, 1)) = Dg(-1, 0) = \begin{pmatrix} 1 & 1 \\ 3 & 2 \\ 0 & 1 \end{pmatrix}$$

hängt gar nicht vom Pkt ab

$$\underbrace{D(g \circ f)(0,1)}_{\stackrel{3.24(iii)}{\sim}} = Dg(-1,0) \cdot Df(0,1) = \begin{pmatrix} 1 & 1 \\ 3 & 2 \\ 0 & 1 \end{pmatrix} \begin{pmatrix} 1 & -1 \\ 1 & 0 \end{pmatrix} = \underbrace{\begin{pmatrix} 2 & -1 \\ 5 & -3 \\ 1 & 0 \end{pmatrix}}_{?}$$

Notwendig können wir auch direkt rechnen:

$$g \circ f(x,y) = g(x-y, xy) = \begin{pmatrix} x-y+xy \\ 3(x-y)+2xy \\ xy \end{pmatrix}$$

$$D(g \circ f)(x,y) = \begin{pmatrix} 1+y, & -1+x \\ 3+2y, & -3+2x \\ y & x \end{pmatrix}, \quad D(g \circ f)(0,1) = \underbrace{\begin{pmatrix} 2 & -1 \\ 5 & -3 \\ 0 & 1 \end{pmatrix}}_{?}$$

(ii) Ein weiterer Spezialfall der Kettenregel ist
 $f: \mathbb{R} \rightarrow \mathbb{R}^n$, $\rho: \mathbb{R}^n \rightarrow \mathbb{R}$. Dann ist $\rho \circ f: \mathbb{R} \rightarrow \mathbb{R}$ und es gilt

$$\begin{aligned} (g \circ f)'(\xi) &= D\rho(f(\xi)) \cdot Df(\xi) = \underbrace{(D_1 \rho \dots D_n \rho)(f(\xi))}_{\substack{(1 \times n) \text{-Matrix} \\ = Zeilenvektor}} \cdot \underbrace{\begin{pmatrix} f'_1(\xi) \\ \vdots \\ f'_n(\xi) \end{pmatrix}}_{\substack{(n \times 1) \text{-Matrix} \\ = Spaltenvektor}} \\ &= \underbrace{\langle \text{prod} \rho(f(\xi)) \cdot f'(\xi) \rangle}_{\substack{\text{Skalarprodukt} \\ \text{auf } \mathbb{R}^n}} \end{aligned}$$

Beweis von 3.25

(i) [Einfacher Zusammensetzen der Defs] Für $h \neq 0$ gilt

$$\begin{aligned} f(\xi+h) - f(\xi) &= Df(\xi)h + r_1(h), \quad r_1(h)/h \rightarrow 0 \\ g(f(\xi+h)) - g(f(\xi)) &= Dg(f(\xi))h + r_2(h), \quad r_2(h)/h \rightarrow 0 \end{aligned} \quad \left. \right\} (*)$$

$$\begin{aligned}
 & \Rightarrow (df + \mu p)(\xi + h) - (df + \mu p)(\xi) = \\
 & = df(\xi + h) - df(\xi) + \mu p(\xi + h) - \mu p(\xi) \\
 & \stackrel{(*)}{=} \underbrace{Df(\xi) + \mu Dp(\xi)}_{= r(h)} + \underbrace{dr_1(h) + \mu r_2(h)}_{= r(h)}
 \end{aligned}$$

Wieder wegen (*) gilt

$$\frac{r(h)}{\|h\|} = \frac{r_1(h)}{\|h\|} + \mu \frac{r_2(h)}{\|h\|} \rightarrow 0.$$

(ii) Analog zu (i) [Haus II 165.3]

(iii) Einfaches Umschreiben des 1-d. Zerwes [3] 1.23. \square

3.26 ROTATION (Richtungsableitung)

Wir stellen uns jetzt folgende Aufgabe: Wir wollen durch ein hügeliges Gelände eine Straße bauen. Dazu müssen wir aus jedem Punkt die Steigung in verschiedene Richtungen bestimmen, um zu sehen was ein pinshaped Trassenverlauf wäre.

Das zugrundeliegende math. Problem ist es die Ableitung einer Fkt. $f: \mathbb{R}^2 \rightarrow \mathbb{R}$ in eine bestimmte Richtung zu bestimmen. Dazu ist die Richtung durch einen Vektor v mit $\|v\|=1$ gegeben - einen sogenannten Richtungsvektor.

Eine naheliegende Definition - platz für $G \subseteq \mathbb{R}^n$ ist:

3.27 DEF (Richtungsableitung) Sei $G \subseteq \mathbb{R}^n$ offen, gebe
 $f: G \rightarrow \mathbb{R}$ eine Funktion und $v \in \mathbb{R}^n$ mit $\|v\|=1$
Falls der Grenzwert

$$D_v f(\xi) := \lim_{t \neq 0} \frac{f(\xi + tv) - f(\xi)}{t}$$

existiert und endlich ist, so nennen wir $D_v f(\xi)$ die
Richtungsableitung von f in ξ in Richtung v .

3.28 BEOBSCHTUNG (Richtungsabsl. vs part. Ableitung)

Sehen wir in 3.27 $v = e_i$, dann sehen wir

$$D_v f(\xi) = \lim_{t \rightarrow 0} \frac{f(\xi + te_i) - f(\xi)}{t} = D_i f(\xi)$$

also ist die Richtungsableitung in Richtung der i-ten Koordinatenachse gerade die i-te part. Ableitung.
Die part. Ableitungen sind also spezielle Richtungsableitungen.

Andererseits lassen sich Richtungsableitungen in allg. Richtungen aus den part. Ableitungen zusammensetzen, wie die folgende Proposition zeigt.

3.29 PROB (Richtungsabsl. via part. Abl.) Sei $G \subseteq \mathbb{R}^n$ offen, gebe
 $f: G \rightarrow \mathbb{R}$ diffbar in ξ . Dann existiert $D_v f(\xi)$ für jeden
Richtungsvektor v und es gilt

$$D_v f(\xi) = \langle \text{grad } f(\xi), v \rangle$$

Beweis: [Einfache Rechnung] Für alle $\delta \neq t$ klein genug gilt

$$\frac{f(\xi + tv) - f(\xi)}{t} = \frac{Df(\xi) \cdot tv + r(tv)}{t} = Df(\xi) \cdot v + \frac{r(tv)}{t}$$

(3.13)

$$\rightarrow Df(\xi) \cdot v = \langle \text{grad } f(\xi), v \rangle \quad \square$$

3.30 Bsp (Richtungsableitung)

Sei $f: \mathbb{R}^2 \rightarrow \mathbb{R}$, $f(x,y) = x^2 + y^2$, $\xi = (1,1)$, $v = \begin{pmatrix} 1/\sqrt{2} \\ 1/\sqrt{2} \end{pmatrix}$.

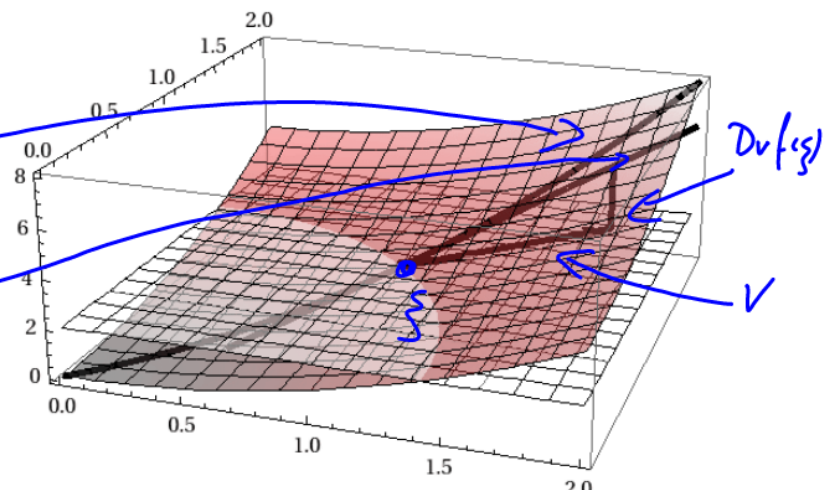
Dann gilt $Dv f(\xi) = \langle \text{grad } f(\xi), v \rangle = \left\langle \begin{pmatrix} 2 \\ 2 \end{pmatrix}, \begin{pmatrix} 1/\sqrt{2} \\ 1/\sqrt{2} \end{pmatrix} \right\rangle = \frac{4}{\sqrt{2}}$

$$\text{grad } f(x,y) = \begin{pmatrix} 2x \\ 2y \end{pmatrix}$$

Geometrische Interpretation

Schnittkurve der Graphen mit der Ebene $\{x, y, z\} / x, y \in \mathbb{R}\}$

Tangente an die Schnittkurve



3.31 BEOBSCHTUNG

(Richtung des stärksten Anstiegs)

In der Formel aus 3.29 ist eine wichtige Information verdeckt, die wir jetzt herauskitzeln wollen. Es gilt

$$|Dv f(\xi)| = |\langle \text{grad } f(\xi), v \rangle| \quad \text{mit } v = 1$$

$$\leq \|\text{grad } f(\xi)\| \|v\| = \|\text{grad } f(\xi)\|$$

(Cauchy-Schwarz)

D.h. die Norm des Gradienten beschränkt den Bruch aller Richtungsableitungen.

Ist außerdem $\text{prod} f(\xi) \neq 0$ dann ist $v_0 := \frac{\text{prod} f(\xi)}{\|\text{prod} f(\xi)\|}$ ein Richtungsvektor und wir haben

$$\text{Drf}(\xi) \stackrel{3.29}{=} \frac{\langle \text{prod} f(\xi), \text{prod} f(\xi) \rangle}{\|\text{prod} f(\xi)\|} = \|\text{prod} f(\xi)\|.$$

Das bedeutet, dass der Gradient $\text{prod} f(\xi)$ die Richtung des stärksten Anstiegs angibt. Genauer sagt $\text{prod} f(\xi)$ in Richtung des stärksten Anstiegs und $-\text{prod} f(\xi)$ in Richtung des steilsten Gefälles.

Diese überaus wichtigen Ergebnisse halten wir in einem Satz fest

3.32 SATT (Bedeutung des Gradienten) Sei $G \subseteq \mathbb{R}^n$ offen und sei $f: G \rightarrow \mathbb{R}$ diffbar in ξ . Dann gilt

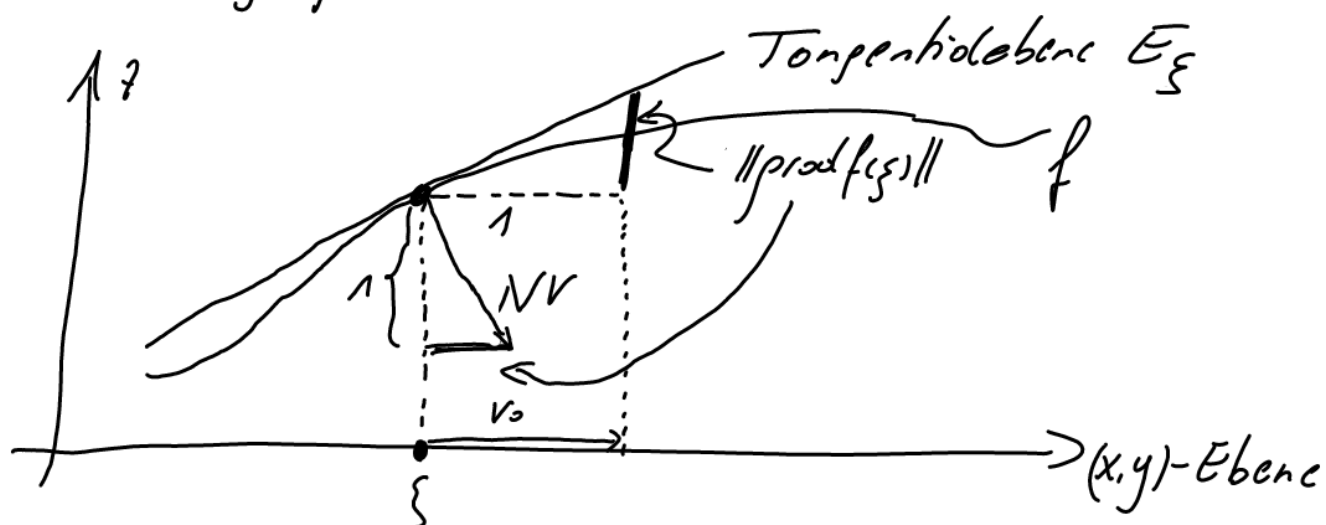
} (i) Ist $\text{prod} f(\xi) = 0$, dann verschwinden alle Richtungsableitungen $\text{Drf}(\xi)$ von f in ξ .

(ii) Ist $\text{prod} f(\xi) \neq 0$, so gibt es unter allen Richtungsableitungen $\text{Drf}(\xi)$ eine primitive, nämlich die Richtungsableitung in Richtung des Gradienten $\text{prod} f(\xi)$ [d.h. $v = \text{prod} f(\xi)/\|\text{prod} f(\xi)\|$]. Ihr Wert ist gerade $\|\text{prod} f(\xi)\|$.

3.33 VERANSCHAUICHHUNG & ANWENDUNG: TANGENTIÄLEBENE

Sei $f: \mathbb{R}^2 \rightarrow \mathbb{R}$ diffbar, $\xi \in G$.

(i) Wir betrachten den vertikalen Schnitt durch den Graphen $\Gamma(f) \subseteq \mathbb{R}^3$ mit der senkrechten Ebene über der Geraden $t \mapsto \xi + t\gamma_0$ mit $\gamma_0 = \text{grad } f(\xi)/\|\text{grad } f(\xi)\|$.
 [schneide gezeichnet durch die Grafik in 3.30]



(ii) Wir können nun leicht die Tangentialebene an $\Gamma(f)$ in $(\xi, f(\xi))$ beschreiben. Ein Normalvektor ist gegeben durch $NV = \begin{pmatrix} \text{grad } f(\xi) \\ -1 \end{pmatrix}$ siche Skizze

Daher ergibt sich für die Hessesche Normalform

$$\begin{pmatrix} x \\ y \\ z \end{pmatrix} \in E_\xi \Leftrightarrow \langle NV, \begin{pmatrix} x \\ y \\ z \end{pmatrix} - \begin{pmatrix} \xi_1 \\ \xi_2 \\ f(\xi) \end{pmatrix} \rangle = 0$$

$$\Leftrightarrow \left\langle \begin{pmatrix} \text{grad } f(\xi) \\ -1 \end{pmatrix}, \begin{pmatrix} x-\xi_1 \\ y-\xi_2 \\ z-f(\xi) \end{pmatrix} \right\rangle = 0$$

$$\Leftrightarrow \langle \text{grad } f(\xi), \begin{pmatrix} x-\xi_1 \\ y-\xi_2 \\ z-f(\xi) \end{pmatrix} \rangle - (z-f(\xi)) = 0$$

Also $\boxed{z = f(\xi) + \langle \text{grad } f(\xi), \begin{pmatrix} x-\xi_1 \\ y-\xi_2 \end{pmatrix} \rangle}$

§4 EIGENSCHAFTEN DIFFBARER FKT

4.1 INTRO. Nachdem im voriger § die Differenzierbarkeitsbegriff für Fkt $f: \mathbb{R}^n \rightarrow \mathbb{R}^m$ genau beleuchtet wurde werden wir in diesem § (und p zu 13) § 2) Anwendungen der mehrdim Differentialrechnung behandeln. Genauer werden wir die folgenden 5 Themen studieren

- (1) Differenzialsätze. In 1.1 hat sich der Differenzialsatz als entscheidendes Werkzeug herauskristallisiert, das hinter vielen Resultaten steckt - bis hin zu Bsp. 3.8, 3.20. Hier werden wir Verallgemeinerungen bzw. Abschreibungen des DWS kennen lernen
- (2) Taylorentwicklung. In 15) f) haben wir den sogen. Taylorkomplement, der es ermöglicht Fkt aus ihren Ableitungen in einem Pkt. zu rekonstruieren - Er bleibt im Wesentlichen für $f: \mathbb{R}^n \rightarrow \mathbb{R}$ gültig
- (3) Satz über implizite Fkt: Eine Fkt $f: \mathbb{R}^2 \rightarrow \mathbb{R}$ lässt sich als "Landkarte" interpretieren. Hier gehen wir der höchst relevanten Frage nach, wann sich die Höhensichtlinien als Fkt einer Variable schreiben lassen bzw. welche Eigenschaften diese Fkt haben.
- (4) Ableitung der inversen Fkt: Ebenfalls ein Thema das wir in 1.1 betrachtet, erklärt & vielfach angewendet haben. Hier lernen wir die Verallgemeinerung kennen

(5) Extremwerte. Wir studieren die Extrema von Fkt
 $f: \mathbb{R}^{n \geq 2} \rightarrow \mathbb{R}$ mit Hilfe der Differenzialrechnung. Die
 Situation ist hier viel reichhaltiger als im 1-d und
 die Sätze (verwandte Ansätze aus lin. Algebra und)
 sind etwas schwächer als im 1-d.

Dort wir hier das Ende unseres Reise in die Grundlagen
 der Differenzialrechnung erreichen und auf diese Resultate
 im Rahmen der VU nicht weiter aufbauen werden wir
 die techn. Details stärker in den Hintergrund treten
 lassen und mehr auf die Ideen & Begriffe fokussieren –
 insbesondere werden wir uns oft mit dem Fall $n=2$
 befassen, da er oft schon alle relevanten Aspekte bein-
 hält.

4.2 MITTELVWERTSÄTZE?

(i) Wie schon in 4.1(1) gesagt, ist im 1-d Fall der MWS das
 Werkzeug hinter vielen Resultaten (vgl. 1D) 2.14, 2.17,
 2.30, ...). Dorthin kann die Bedeutung eines analogen Satzes
 in der mehrdim. Analysis gar nicht überschätzt werden.

(ii) Für $Fkt f: \mathbb{R}^{n \geq 2} \rightarrow \mathbb{R}$ bleibt der Satz im wesentlichen
 – mit den entsprechenden Anpassungen –
 erhalten; genauer

THM (Nichtlavalatz) Sei $G \subseteq \mathbb{R}^n$ offen, $f: G \rightarrow \mathbb{R}$

diffbar auf G und seien $\xi, \xi+h \in G$ sodass auch ihre
geometrische Verbindungsstrecke S in G liegt.

Dann $\exists \theta \in (0,1)$ sodass

$f(\xi+h) - f(\xi) = Df(\xi + \theta h) \cdot h$

$\xi + \theta h$ liegt zwischen $\xi, \xi+h$

Beweis. [Analogie des 1-d TWS & der Kettenregel]

Vor setzen $\varphi(t) := f(\xi + th)$, $t \in [0,1]$. $\varphi = f$ längs S

$\stackrel{3.24(iii)}{\Rightarrow} \varphi$ diffbar auf $[0,1]$ und $\varphi'(t) = Df(\xi + th) \cdot h$

$\stackrel{13.2.8}{\Rightarrow} \exists \theta \in (0,1)$ mit $\varphi(1) - \varphi(0) = \varphi'(0)$ also

$f(\xi+h) - f(\xi) = Df(\xi + \theta h) \cdot h$

]

(iii) Für $f: \mathbb{R}^n \rightarrow \mathbb{R}^m$ ($m > 1$) ist der Satz allerdings falsch, da die Fixstellen für die verschiedenen Komponenten (für die es gilt je das Theorem in (ii)) durchaus verschieden sein können. Ein explizites Gegenbeispiel ist $c: [0, 2\pi] \rightarrow \mathbb{R}^2$, $c(t) = \begin{pmatrix} \cos(t) \\ \sin(t) \end{pmatrix}$.

Es gilt $[\xi=0, h=2\pi]$

$c(0) = \begin{pmatrix} 1 \\ 0 \end{pmatrix} = c(2\pi)$ aber $\nexists \theta \in (0,1)$ mit

$\begin{pmatrix} 0 \\ 0 \end{pmatrix} = c(2\pi) - c(0) = Dc(\theta 2\pi) 2\pi =$

denn $Dc(t) = c'(t) = \begin{pmatrix} -\sin(t) \\ \cos(t) \end{pmatrix} \Rightarrow \|c'(t)\| = 1 \Rightarrow c'(t) \neq \begin{pmatrix} 0 \\ 0 \end{pmatrix}$

KEIN TWS
für $m > 1$
Sonderfall $n=1$

(iv) Punkt (iii) weist oben schon in Richtung einer „Ersatz-Lösung“. Wenn schon keine gemeinsame Zwischenstelle für alle Komponenten existiert, so kann man doch zumindest eine Abschätzung erreichen wenn man Schranken an alle Diff auf der Verbindungsgeraden von ξ noch $\xi+h$ zur Verfügung hat. Tatsächlich prkt

SATZ (MWS für reellwertige Fkt) Sei $G \subseteq \mathbb{R}^n$ offen,
 $f: G \rightarrow \mathbb{R}^m$ stetig diffbar auf G und seien $\xi, \xi+h$ sodass ihre Verbindungsstrecke S in G liegt.
Dann $\exists M > 0$ sodass

$$\|f(\xi+h) - f(\xi)\| \leq M \|h\|$$

d.h. f ist
Lipschitz stetig
vgl [3] 2.14(cii)

[Dabei ist $M = \max \{ |Df_j(x_1)| : x \in S, 1 \leq i, 1 \leq j \leq m \}$]
Zugren [2] 2.11].

Beweis 7.3 Haase II, 167.6]

(v) Schließlich holten wir folgende wichtige Konsequenz von (iv) fest

KORROLAR: (Ableitung = 0 \Rightarrow Fkt konst.) Sei $f \in \mathcal{C}^1(\mathbb{R}^n, \mathbb{R}^m)$, $r > 0$, $G = \mathbb{B}_r(x_0)$ und $f: G \rightarrow \mathbb{R}^m$ diffbar mit $Df(x) = 0 \forall x \in G$.
Dann ist f konstant auf G . [vgl. [3] 2.14(cii)]

[$\mathbb{B}_r(\xi) = \{x : \|x - \xi\| < r\}$ ist konvex [3] 2.72(ii) und somit liegen für je 2 Punkte die Verbindungsstrecken in $\mathbb{B}_r(\xi)$.]]

4.3 DER SATZ VON TAYLOR kann ähnlich dem HWS entlang von Strecken für $f: \mathbb{R}^{n+2} \rightarrow \mathbb{R}$ aus dem 1d-Satz [§ 3.8] gefolgt werden. Sogar eine „komponentenweise Ausdehnung“ auf $f: \mathbb{R}^n \times \mathbb{R}^m \rightarrow \mathbb{R}^m$ ($m > 1$) ist möglich; siehe [Hauso 2], 168]. Wir betrachten hier nur den 2-d Spezialfall ($n=2, m=1$).

Sei $G \subseteq \mathbb{R}^2$ offen, $\xi = (\xi_1, \xi_2) \in G$, $h = (h_1, h_2)$ so dass die Strecke $S = \{\xi + th : 0 \leq t \leq 1\}$ ganz in G liegt.

Sei $f: G \rightarrow \mathbb{R}$ eine C^3 -Fkt.



Wir betrachten f „über der Strecke S “, d.h. $\varphi: [0, 1] \rightarrow \mathbb{R}$

$$\left\{ \begin{array}{l} \varphi(t) = f(\xi + th) = f(\xi_1 + th_1, \xi_2 + th_2) \end{array} \right\}$$

Taylor 1D

$$\underset{[§ 3.8]}{\Rightarrow} \varphi(1) = \varphi(0) + \underbrace{\varphi'(0)}_{f(\xi+th)} + \underbrace{\frac{1}{2} \varphi''(0)}_{f'(\xi)} + R_3(t) \quad (*)$$

Wir übersetzen nun (*) in eine Gleichung für f :

$$\begin{aligned} \bullet \varphi'(t) &= \overset{3.2 \text{ Kurs}}{Df(\xi+th)} h \Rightarrow \varphi'(0) = Df(\xi) \cdot h = \underbrace{\text{prod } f(\xi), h}_{\text{Kontingenz}} \\ \bullet \varphi''(t) &= \frac{\partial^2}{\partial t^2} (Df(\xi_1 + th_1, \xi_2 + th_2)) h_1 + D_2 f(\xi_1 + th_1, \xi_2 + th_2) h_2 \\ &= \underbrace{D_1 D_1 f(\xi+th) h_1^2}_{D_1^2 f} + D_2 D_1 f(\xi+th) h_2 h_1 \\ D_1^2 f &:= + D_1 D_2 f(\xi+th) h_1 h_2 + D_2 D_2 f(\xi+th) h_2^2 \end{aligned}$$

$$\xrightarrow{\text{Skalarprod}} = \left\langle \begin{pmatrix} D_1^2 f & D_2 D_1 f \\ D_1 D_2 f & D_2^2 f \end{pmatrix} (\xi+th) h, h \right\rangle$$

$$=: H(f)(\xi+th) \text{ die sog. } \overbrace{\text{Hesse-Matrix}}$$

$$\text{gehorcher } H(f)(\xi) := (D_i D_j f(\xi))_{i,j} \quad \text{s.d. } \overbrace{H(f)(\xi) \text{ symmetrisch}}_{\text{falls } p \in C^2}$$

Insgesamt erhalten wir aus (*) die TAYLOR-ENTWICKLUNG

$$f(\xi + th) = f(\xi) + \underbrace{\langle \text{grad}f(\xi), h \rangle}_{\text{Vorflieg}} + \underbrace{\frac{1}{2} \langle Hf(\xi)h, h \rangle}_{\text{lineare N\"aherung}} + R_3(\xi)$$

Man kann zeigen, dass $\frac{\text{Rest}}{\|h\|} \rightarrow 0$ ($h \rightarrow 0$). quadratische Form

4.4 DER SATZ \"BER IMPLICITE FUNKTIONEN"

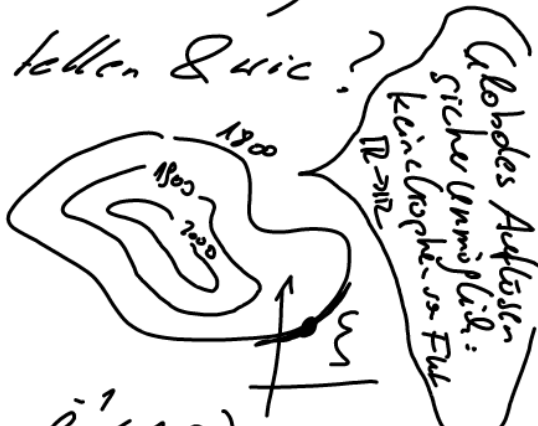
(i) Wir betrachten folgendes Problem: Gegeben sei eine Landschaft und wir interessieren uns f\"ur die Höhenschichtlinien (etwa in einer Landkarte).

K\"onnen wir diese als Funktion darstellen & wie?

(ii) Präzisierung der Problemstellung:

Sei $f: \mathbb{R}^2 \times G \rightarrow \mathbb{R}$ eine C^1 -Fkt.

K\"onnen wir die sog. Niveaumengen



$$N_f(c) := \{ (x, y) \in G : f(x, y) = c \} = f^{-1}(c)$$

zumindest lokal, d.h. in einer Umgebung eines (jeden) Punktes $\xi = (\xi_1, \xi_2) \in N_f(c)$, durch eine 1-d Fkt. beschreiben? Genauer lautet die Frage also:

$$\exists h: U \rightarrow V \quad U \text{ Umgebung von } \xi_1, V \text{ von } \xi_2 \text{ (*)}$$

sodass:

$$\left\{ f(x, y) = c \iff y = h(x) \quad f(x, y) \in U \times V \right\}$$

Falls (*) erfüllt ist, dann
sagt man

- Wir haben die Gleichung
 $f(x,y) = c$, noch y aufgelöst
- bzw

- Die Fläche h ist (falls sie eindeutig ist),
„durch die Gleichung $f(x,y)=c$ implizit gegeben“
[NAME?]

(iii) Beide Antworten auf (ii) können wir 2 Fälle sofort ausschließen

- $c \notin f(L)$ $\Rightarrow N_f(c) = \emptyset$ und es ist nichts zu tun
- $\text{grad } f(x) = 0$ auf eine Umgebung U von \bar{f}
 $\xrightarrow{L^2(U)}$ $\Rightarrow f(x) = c$ auf U und $N_f(c)$ ist keine Kurve

Wir nehmen daher Objekt an:

$$\left\{ c \in f(L), \quad \text{grad } f(\bar{x}) \neq 0 \right\} \quad (*)$$

(ir) Eine notwendige Bedingung und eine Info über

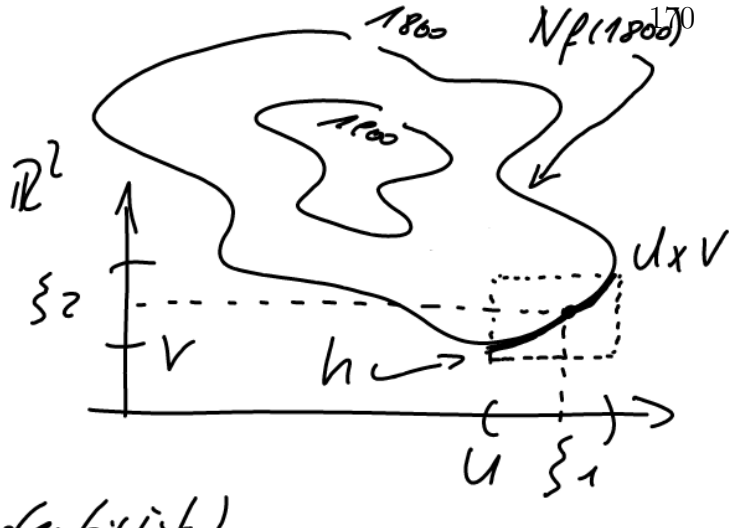
Ang $c(*)$ gilt, dann gilt $f(x, h(x)) = c \quad \forall x \in U$

Kettenregel

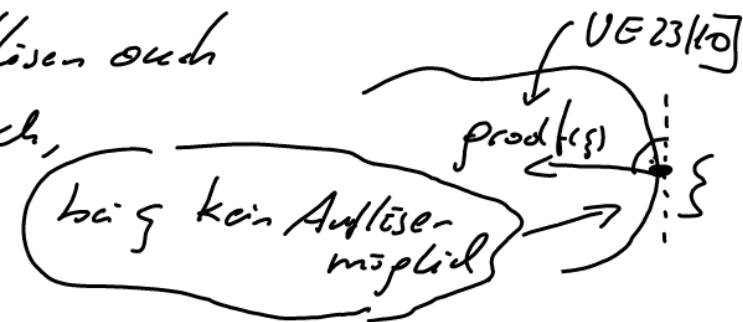
$$\Rightarrow 0 = D_1 f(x, h(x)) + D_2 f(x, h(x)) h'(x) \quad (***)$$

$$\Rightarrow \underbrace{D_2 f(\bar{x})}_{\text{grad } f(\bar{x}) \neq 0} \neq 0, \text{ denn sonst } \Rightarrow D_1 f(\bar{x}) = 0$$

$$\Rightarrow h'(x) = \frac{-D_1 f(x, h(x))}{D_2 f(x, h(x))} \quad \Rightarrow \text{grad } f(\bar{x}) = 0 \quad ? \quad (***)$$



(v) Die Bedeutung der notwendigen Bedingung $D_2 f(\xi) \neq 0$ ist, dass die Höhenschichtlinie nicht senkrecht ist; dann wäre ein Auflösen auch anschaulich nicht möglich, da der Graph der Fkt \hookrightarrow „umdrehen“ würde.



(vi) Der Witt des Satzes über implizite Fkt ist, dass die notwendige Bed. auch hinreichend ist.

THEOREM (IMPLIZITEN-SATZ) Sei $G \subseteq \mathbb{R}^2$ offen, $f: G \rightarrow \mathbb{R}$ eine C^1 -Fkt, $c \in \mathbb{R}$, $\xi = (\xi_1, \xi_2) \in G$ mit $f(\xi) = c$ und $\text{prod } f(\xi) \neq 0$. Falls $D_2 f(\xi) \neq 0$, dann gibt es Umgebungen U von ξ_1 und V von ξ_2 und eine Fkt $h: U \rightarrow V$ sodass $h \in C^1$ und eindeutig mit der Eigenschaft $\forall x, y \in U \times V: [f(x, y) = c \Leftrightarrow y = h(x)]$.

Außerdem gilt

$$\left\{ h'(x) = - \frac{D_1 f(x, h(x))}{D_2 f(x, h(x))} \right\}$$

[Ein analoges Statement mit $D_1 f(\xi) \neq 0$ und $x = h(y)$ gilt ebenfalls.]

(vii) Ein Beispiel: $G = (0, \infty)^2$, $f(x, y) = x + y + \log(xy)$

$\xi = (1, 1)$, $c = 2$ [check: $f(1, 1) = 1 + 1 + \log(1) = 2$]

Wir wollen

$$x + y + \log(xy) = 2 \quad \text{bei } \xi = (1, 1)$$

noch y auflösen.

$$\text{Es gilt: } D_2 f(x, y) = 0 + 1 + \frac{1}{xy} x = 1 + \frac{1}{y} \Rightarrow D_2 f(1, 1) = 2 \neq 0$$

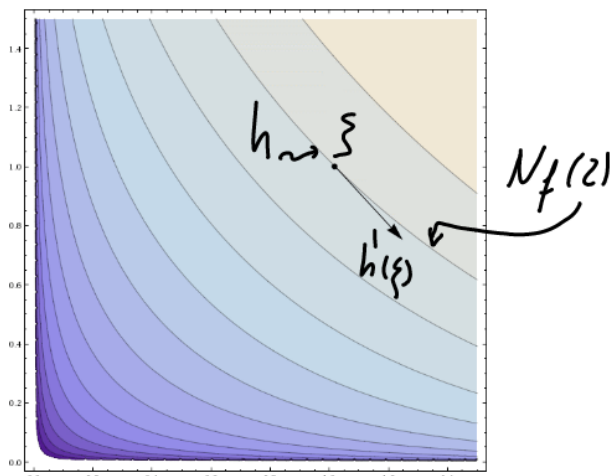
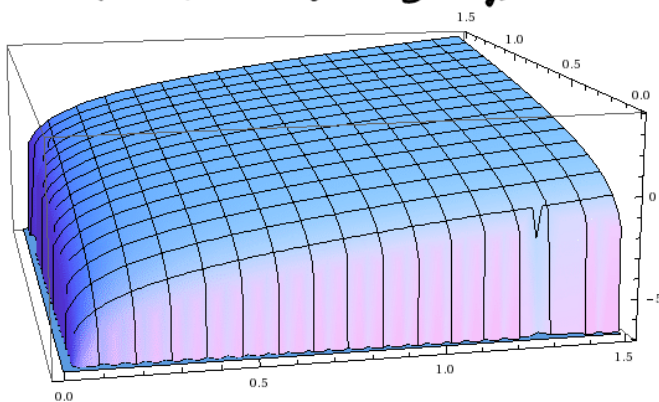
$$\stackrel{(vi)}{\Rightarrow} \exists h \text{ stetig diffbar nach } x = 1 \text{ mit } \\ x + h(x) + \log(xh(x)) = 2$$

ACHTUNG: Das Thm liefert nur die Existenz von h , nicht aber die explizite Gestalt von h .
Immerhin aber doch

$$h'(x) = \frac{-D_1 f(x, h(x))}{D_2 f(x, h(x))} = -\frac{1+1/x}{1+1/h(x)}$$

$$\Rightarrow h'(1) = -\frac{2}{2} = -1$$

$$f(x, y) = x + y + \log(xy)$$



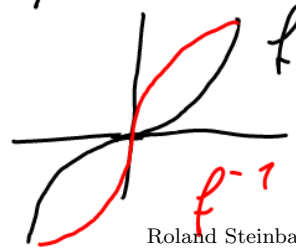
4.5 ANKERSATZ (Problem der Differenzierbarkeit der Umkehrfkt)

(i) Wir stellen uns nun folgende Frage. Sei $G \subseteq \mathbb{R}^n$, $H \subseteq \mathbb{R}^m$ offen, $f: G \rightarrow H$ bijektiv ($\Rightarrow f^{-1}: H \rightarrow G$) & diffbar.
Ist dann $f^{-1}: H \rightarrow G$ diffbar?

(ii) i.e. $N \in \mathbb{N}$, dann sei $f: (-1, 1) \rightarrow (1, 1)$, $f(x) = x^3$

$$\Rightarrow f^{-1}(y) = \begin{cases} y^{1/3} & 0 \leq y < 1 \\ -|y|^{1/3} - 1 & y \leq 0 \end{cases}$$

nicht diffbar bei $y=0$



$$^{173} \left[h \gg: \frac{1}{h} (f(h) - f(0)) = \frac{1}{h} f'(h) = \frac{h^{-\frac{1}{3}}}{h} = h^{-\frac{4}{3}} \rightarrow \infty \quad (h \rightarrow 0) \right]$$

(ii) Falls JA, dann muß $m=n$ und $Df(x)$ invertierbar sein.
 Dann gilt

$$f^{-1}f(x) = x \quad \forall x \in G; \quad fof^{-1}(y) = y \quad \forall y \in H$$

Kettenregel

$$\Rightarrow Df^{-1}(f(x)) Df(x) = I_n; \quad Df(f^{-1}(y)) Df^{-1}(y) = I_m$$

$$\Rightarrow Df(x) \text{ injektiv} \quad [\text{CMA 4.3.32(2)}] \Rightarrow n \leq m \quad \left. \begin{array}{l} \\ \end{array} \right\} \Rightarrow m = n$$

$$\Rightarrow Df^{-1}(y) \text{ injektiv}$$

$$\Rightarrow \overbrace{D(f^{-1})(f(x)) = (Df(x))^{-1}}$$

Idempotente
Matrix auf
 \mathbb{R}^m

und somit

$Df(x)$ bijektiv

Nicht vorzutragen

(iii) Invertieren vs Auflösen: Dem Invertieren von f entspricht das Auflösen von $f(x) = y$ nach x bzw das Auflösen von $F(x, y) := f(x) - y = 0$ nach x . Dazu lässt sich der Impliziten-Satz b. h. v. u. verwenden um folgenden Umkehrsatz zu beweisen

(iv) TH7 (Umkehrsatz) Sei $G \subseteq \mathbb{R}^n$ offen, $f: G \rightarrow \mathbb{R}^m \in C^1$
 } $\{ g \in G$ mit $Df(g)$ invertierbar. Dann gibt es Umgebungen U von g und V von $f(g)$ sodass $f: U \rightarrow V$ bijektiv ist und $f^{-1}: V \rightarrow U$ stetig differenzierbar mit
 $Df^{-1}(f(x)) = (Df(x))^{-1}$ $\forall x \in U$.

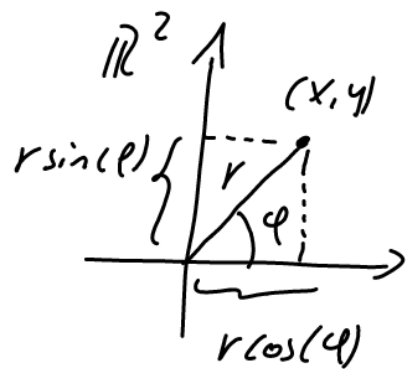
inv. Matrix

(v) Diffeomorphismen. Abbildungen wie in (iv) heißen (lokale) Diffeomorphismen; genauer $f: U \rightarrow V$ bijektiv, C^1 mit C^1 -Inverse heißt (C^1) -Diffeo-

morphismus [sonst, C^1 -Diffco, C^∞ -Diffco.]

(v) BSP (POLARKOORDINATEN)

$$f: G = (0, \infty) \times \mathbb{R} \rightarrow \mathbb{R}^2, f(r, \varphi) = \begin{pmatrix} r \cos(\varphi) \\ r \sin(\varphi) \end{pmatrix}$$



$$\text{ist } C^1 \text{ und } Df(r, \varphi) = \begin{pmatrix} \cos(\varphi), -r \sin(\varphi) \\ \sin(\varphi), r \cos(\varphi) \end{pmatrix}$$

$$\Rightarrow \det(Df(r, \varphi)) = r (\cos^2(\varphi) + \sin^2(\varphi)) = r > 0$$

$\stackrel{\text{lin } A_g}{\Rightarrow} Df(r, \varphi) \text{ invertierbar } \forall (r, \varphi) \in G$

(vi) f ist in der Umgebung jedes Pkts $(r, \varphi) \in G$ ein Diffco und

WANRUNG: f ist global (d.h. auf G) $\left\{ \begin{array}{l} \text{kein Diffco} \\ Df(f(r, \varphi)) = \frac{1}{r} \begin{pmatrix} r \cos(\varphi) & r \sin(\varphi) \\ -\sin(\varphi) & \cos(\varphi) \end{pmatrix} \end{array} \right.$

4.6. EXTREMWERTE.

(i) Wir beschäftigen uns nun mit lok. Extremwerten von Fkt $f: \mathbb{R}^n \rightarrow \mathbb{R}$ [\mathbb{R}^m hätte wenig Sinn?]. J. zunächst können die Definitionen aus dem 1-D Fall wortwörtlich übernommen [13] Def 2.2].

DEF (lok Extrema)

Ein Pkt $g \in G$ heißt lokales Maximum [Minimum], falls \exists Umgebung U von g mit $f(x) \leq f(g)$ $\forall x \in U \cap G$ ($*$)
 $[f(x) \geq f(g)]$

Ein Max [Min] heißt strikt, falls in (*) $< [>]$ steht $\leq [\geq]$ gilt.

(ii) Wie im 1-d-Fall ist das Verschwinden der Ableitung eine notwendige Bedingung für ein Extremum; genauer gilt die folgende [vgl. 12] Prop 2.4]

PROD (Notwendige Bedingung für Extreme) Sei $G \subseteq \mathbb{R}^n$

offen, $f: G \rightarrow \mathbb{R}$ partiell stetig und $\xi \in G$ ein lok. Extr.

Dann gilt $\underbrace{\text{grad } f(\xi)}_{= 0}$.

Beweis [Anwenden der 1-d Sätze längs der Koordinatenachsen.]

$$\forall 1 \leq i \leq n \text{ betrachte } \varphi_i(t) := f(\xi + te_i)$$

{lok Extr für $f \Rightarrow t=0$ lok Extr für φ_i :

$$\stackrel{(2) 2.4}{\implies} 0 = \varphi'_i(0) = \underline{\text{Dif } f(\xi)} \Rightarrow \text{Df}(\xi) = 0 \quad \square$$

(iii) Heuristik für hinreichende Bedingung

Aus dem 1d-Fall wissen wir, dass die notwendige Bedingung nicht hinreichend ist [Vgl. 13] 2.6] sondern für "Kandidatenstellen" ξ mit verschwindender 1. Ableitung die 2. Ableitung in ξ betrachtet werden muss [13] 2.18].

Um ein analoges Vorgehen im Fall $n=2$ zu erforschen ziehen wir die Taylor-entwicklung 4.3(c) heran, obo

$$\begin{aligned} f(\xi + h) &= f(\xi) + \underbrace{\langle \text{grad } f(\xi), h \rangle}_{= 0 \text{ für „Kandidatenstellen“}} + \frac{1}{2} \langle H_f(\xi)h, h \rangle + \text{Rest} \end{aligned}$$

Also wird das Verhalten von f nahe ξ von der Hesse-Matrix

$$H_f(\xi) = \begin{pmatrix} D_1^2 f(\xi) & D_1 D_2 f(\xi) \\ D_2 D_1 f(\xi) & D_2^2 f(\xi) \end{pmatrix} =: A$$

dominiert, genauer gilt für x nahe ξ (dort wo Rest klein)

$$f(x) \approx f(\xi) + \frac{1}{2} \underbrace{\langle A(x-\xi) / (x-\xi) \rangle}_{}$$

(ir) FAKTEN AUS DER
 LIN. ALG.

$\begin{cases} > 0, \text{ falls } A \text{ positiv definit} \\ < 0, \text{ falls } A \text{ negativ definit} \end{cases}$

Eine symmetrische $(n \times n)$ -Matrix

A heißt [Haus 2, 172.5]

- positiv definit, falls $\forall x \in \mathbb{R}^n \setminus \{0\} \quad \langle Ax | x \rangle > 0$
- positiv semidefinit — “— ≥ 0
- negativ definit — “— < 0
- negativ semidefinit — “— ≤ 0
- indefinit, falls $\exists x, y \in \mathbb{R}^n \text{ mit } \langle Ax | x \rangle > 0$
 $\quad \quad \quad \langle Ay | y \rangle < 0$ —

Ein Satz der lin. Alg [Haus 2, 172.6] besagt für symmetrische (2×2) -Matrizen $A = \begin{pmatrix} a & b \\ b & c \end{pmatrix}$ mit $\Delta = \det(A) = ac - b^2$:

- $\begin{cases} A \text{ pos definit} \Leftrightarrow \Delta > 0, a > 0 \\ A \text{ neg definit} \Leftrightarrow \Delta > 0, a < 0 \\ A \text{ indefinit} \Leftrightarrow \Delta < 0 \end{cases}$

(v) Die Heuristik aus (iii) führt zum folgenden

SATZ (Hinreichende Bed. f. lok. Extrema) Sei $G \subseteq \mathbb{R}^n$ offen
 $f: G \rightarrow \mathbb{R}$ eine C^2 -Fkt und $\{g \in G \text{ mit } \operatorname{grad} f(g) = 0\}$.

Dann gilt

$\{f'(g)\}$ pos. definit $\Rightarrow \{$ striktes lokales Min

neg. definit $\Rightarrow \{$ — — — Max

$\{f'(g)\}$ indefinit $\Rightarrow \{$ kein lok Ext

max+
min-
stet

¹⁷⁷ (vi) Die Bedingungen in (v) sind die im Folg
nicht notwendig. Außerdem kann im Folg $H_f(\xi)$ (pos. oder neg.) semidefinit keine offg. Aussage gemacht werden.

(vii) Bsp. $f: \mathbb{R}^2 \rightarrow \mathbb{R}$, $f(x,y) = yx^2 - y^3 + 6y^2 - 8y$

$$\text{grad } f(x,y) = (2xy, x^2 - 3y^2 + 12y - 8)$$

$$\underbrace{\text{krit. Pkt.}}_{\substack{x=0 \text{ oder } y=0 \\ \Rightarrow y^2 - 4y + 3 = 0}}: x=0 \text{ oder } y=0 \Rightarrow x^2 = 8 \Rightarrow x_{1,2} = \pm 3$$

$$\Leftrightarrow y^2 - 4y + 3 = 0 \quad y_{1,2} = 2 \pm \sqrt{4-3} = 1,3$$

$$\Rightarrow \xi_1 = (0, 1), \xi_2 = (0, 3), \xi_3 = (3, 0), \xi_4 = (-3, 0)$$

Hesse-Matrix

$$H_f(x,y) = \begin{pmatrix} 2y & 2x \\ 2x & -6y + 12 \end{pmatrix}$$

$$\Rightarrow H_f(0,1) = \begin{pmatrix} 2 & 0 \\ 0 & 6 \end{pmatrix}, \Delta = 12 > 0, \varphi = 2 > 0 \stackrel{(iv)}{\Rightarrow} \text{pos def}$$

$\stackrel{(v)}{\Rightarrow} \text{lok Min in } (0,1)$

$$H_f(0,3) = \begin{pmatrix} 6 & 0 \\ 0 & -6 \end{pmatrix}, \Delta = -36 < 0 \stackrel{(ir)}{\Rightarrow} \text{indefinit}$$

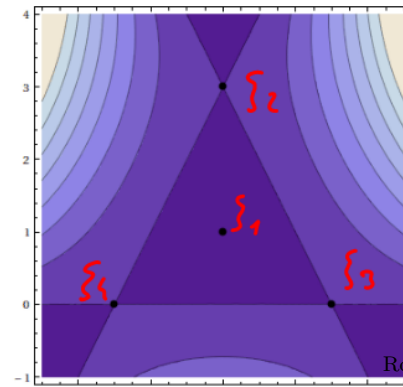
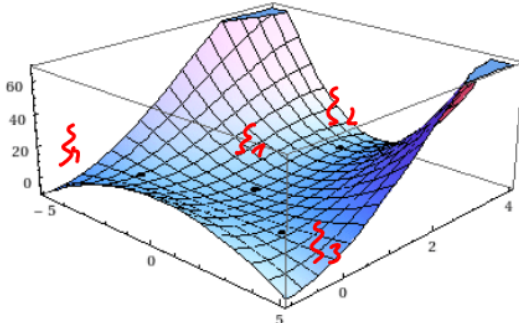
$\stackrel{(v)}{\Rightarrow} \text{Sattelpkt in } (0,3)$

$$H_f(3,0) = \begin{pmatrix} 0 & 6 \\ 6 & 12 \end{pmatrix}, \Delta = -36 < 0 \Rightarrow \text{indefinit}$$

$\Rightarrow \text{Saddl in } (3,0)$

$$H_f(-3,0) = \begin{pmatrix} 0 & -6 \\ -6 & 12 \end{pmatrix}, \Delta = -36 < 0 \Rightarrow \text{indefinit}$$

$\Rightarrow \text{Saddl in } (-3,0)$



[7] INTEGRATION

In diesem Kapitel werden wir uns die Integriermethode zu. Wie im Folg. $n=1$ ersichtlich ist, hat die Integriermethode 2 Aspekte:

- (1) Berechnen der Fläche unter einem Funktionsgraphen
- (2) Berechnen von Stammfkt.

Wir werden zunächst (2) aufreihen und Stammfkt für $VF v$ auf \mathbb{R}^n suchen, d.h. $\mathcal{Q}: \mathbb{R}^n \rightarrow \mathbb{R}$ mit $v = \text{prod } \mathcal{Q}$. Das wird prob gesprochen durch Herstellen einer 1-d Situation über Kurven erreicht; genauer indem VF über Kurven interpretiert werden. Damit beschäftigen wir uns in §2. In §1 beschäftigen wir uns zur Vorbereitung mit Kurven.

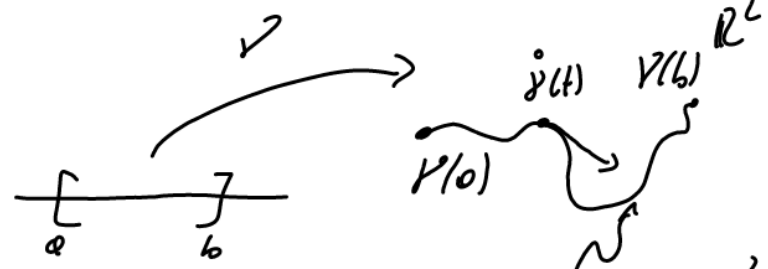
Aspekt (1) preisen wir in §3 auf wo wir den R-Integralsatz erweitern, dass wir Volumina unter den Graphen skalärwertiger Fkt berechnen können.

Im abschließenden §5 beschäftigen wir uns mit Oberflächenintegrale & den Integralsätzen von Stokes & Gauß, die weitgehende Verallgemeinerungen des Hs DI darstellen.

§1 WEGE & KURVEN

1.1. DEF (Weg)

[GAMMA]



(i) Eine stetige Abb $\gamma: I \rightarrow \mathbb{R}^n$ heißt Weg.

Ist $I = [0, b]$ und $\gamma(0) = p, \gamma(b) = q$, dann heißt γ Weg von p nach q .

(ii) Sei $\gamma: I \rightarrow \mathbb{R}^n$ ein diffbarer Weg. Dann hat $\dot{\gamma}(t) := D\gamma(t)$ Tangentenvektor an γ im Pkt $\gamma(t)$. [Falls $\dot{\gamma}(t) \neq 0$, dann heißt $\dot{\gamma}(t)/\|\dot{\gamma}(t)\|$ Tangentenzahlsvektor.]

(iii) Ein C^1 -Weg $\gamma: I \rightarrow \mathbb{R}^n$ heißt regulär, falls $\dot{\gamma}(t) \neq 0 \forall t \in I$.

1.2 INTERPRETATION & Bsp

(i) Kinematische Interpretation aus der Physik:

I ... Zeitintervall

$\gamma(t)$... Ort eines Teilchens zum Zeitpunkt $t \in I$

$\dot{\gamma}(t)$... Momentangeschwindigkeit (svektor) [velocity]

$\|\dot{\gamma}(t)\|$... „Betrug“ der Momentangeschr. [speed]

(ii) $\alpha, 0 \neq \alpha \in \mathbb{R}^n, \gamma: \mathbb{R} \rightarrow \mathbb{R}^n, \gamma(t) = \alpha + tv$ Gerade durch α

$\dot{\gamma}(t) = v \quad \forall t \Rightarrow \gamma$ ist regulärer Weg in Richtung v

(iii) Sei $r > 0, I = [0, 2\pi]$ [vgl. §1.2(i)]

$$\gamma(t) = \begin{pmatrix} r \cos(t) \\ r \sin(t) \end{pmatrix}$$

Kreis um den Ursprung mit Radius r

$$\dot{\gamma}(t) = \begin{pmatrix} -r \sin(t) \\ r \cos(t) \end{pmatrix} \Rightarrow \dot{\gamma}(t) \perp \gamma(t) \quad \forall t$$

$$\|\dot{\gamma}(t)\| = r, \Rightarrow \text{regulärer Weg}$$



(iv) Seien $r, c > 0$, $\gamma: \mathbb{R} \rightarrow \mathbb{R}^3$, $\gamma(t) = \begin{pmatrix} r \cos(t) \\ r \sin(t) \\ ct \end{pmatrix}$

$$\dot{\gamma}(t) = \begin{pmatrix} -r \sin(t) \\ r \cos(t) \\ c \end{pmatrix} \neq 0 \Rightarrow \text{reguläre Weg}$$

Schraubenlinie
Vp(16) 2.4(i)

1.3 WEG vs KURVE

[Siegmar]

(i) Oft ist man weniger an den konkreten Flkt $\gamma: I \rightarrow \mathbb{R}^n$ interessiert als an ihrem Bild $\gamma(I)$, das man natürlich auch durch andere Flkt $\tilde{\gamma}: J \rightarrow \mathbb{R}^n$ (J ist Intervall) "erzeugen" kann. Wir wollen alle solche Funktionen mit einer Idee identifizieren. Praktischerweise verwenden wir diese Idee in den folgenden Definitionen.

[Müller]

(ii) Seien $I, J \subseteq \mathbb{R}$ Intervalle. Eine zulässige Parametertransformation ist eine C^1 -Flkt $\varphi: I \rightarrow J$ mit $\varphi'(t) > 0 \quad \forall t \in I$

für alle Väge $\gamma: I \rightarrow \mathbb{R}^n$ und $\sigma: J \rightarrow \mathbb{R}^n$ heißen äquivalent, wenn es eine zulässige Parametertransfo $\varphi: I \rightarrow J$ gibt mit $\sigma \circ \varphi = \gamma$; wir schreiben dann $\gamma \sim \sigma$.

Es ist nicht schwer zu sehen, dass \sim eine Äquivalenzrelation auf der Menge aller Väge in \mathbb{R}^n definiert.

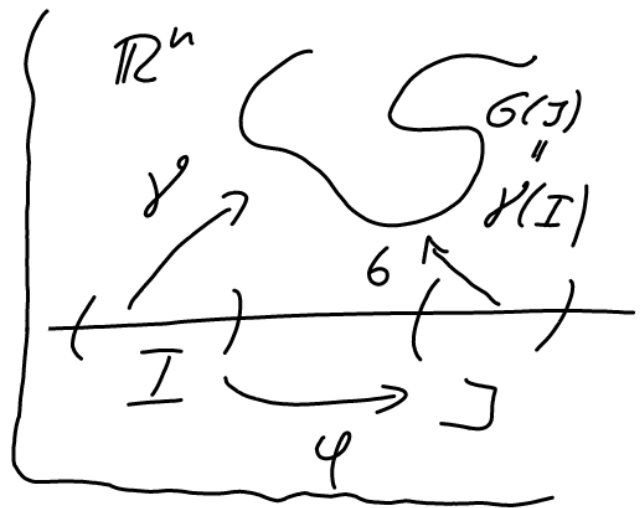
Ein orientierte reguläre Kurve C ist dann definiert als eine Äquivalenzklasse reguläre Väge. Jeder Repräsentant γ von C heißt dann Parametrisierung von C .

(iii) Verorschonung & Bsp

$$\gamma(t) = \begin{pmatrix} \cos(t) \\ \sin(t) \end{pmatrix} \quad 0 \leq t \leq 2\pi$$

$$G(\gamma) = \begin{pmatrix} \cos(2t) \\ \sin(2t) \end{pmatrix} \quad 0 \leq t \leq \pi \quad \text{IR}$$

$$\delta \sim G \text{ d.h. } \varphi: [0, 2\pi] \rightarrow [0, \pi] \quad t \mapsto t/2$$



ist geschlossene Parabel $[\varphi'(t) = 1/2 > 0 \forall t]$ und

$\circ \varphi: [0, 2\pi] \rightarrow \mathbb{R}^2$ mit

$$\circ \varphi(t) = G(t/2) = \begin{pmatrix} \cos(t/2) \\ \sin(t/2) \end{pmatrix} = \gamma(t).$$

1.4. BOGENLÄNGE

Wir wollen nun den Begriff „Länge einer Kurve“ präzisieren

(i) Sei $\gamma: [a, b] \rightarrow \mathbb{R}^n$ ein regulärer Weg, dann heißt

$$\left\{ L(\gamma) := \int_a^b \|\dot{\gamma}(t)\| dt \right\}$$

Weglänge von γ .

(ii) Bsp: $\gamma: [0, 2\pi] \rightarrow \mathbb{R}^2$, $\gamma(t) = \begin{pmatrix} \cos(t) \\ \sin(t) \end{pmatrix}$

$$\left\{ L(\gamma) = \int_0^{2\pi} \left\| \begin{pmatrix} -\sin(t) \\ \cos(t) \end{pmatrix} \right\| dt = \int_0^{2\pi} \sqrt{\sin^2(t) + \cos^2(t)} dt = \int_0^{2\pi} dt = 2\pi \right\}$$

(iii) In der kinematischen Interpretation (vgl. 1.2(i)) ist $\|\dot{\gamma}(t)\|$ der Betrag des Momentanpunktes und somit entspricht $L(\gamma)$ dem zurückgelegten Weg.

Eine andere Möglichkeit zu sehen, dass $L(\gamma)$ die „Länge des Wegs“ beschreibt, ist in der Aussage:

$L(\gamma) = \lim_{n \rightarrow \infty} \text{Länge der Gesamtlängen eingeschriebener Polygone}$
 [siehe Hauser 2, 178]



(ir) Man kann zeigen, dass die Weglänge unabhängig von der Parametrisierung ist; genauer $\gamma \sim \delta \Rightarrow L(\gamma) = L(\delta)$. Daraus kann der Begriff der Bogenlänge einer Kurve definiert werden. [genauer $L(c) = L(\gamma)$ für eine resp. jede Parametrisierung γ von c .]

(V) Parametrisierung nach der Bogenlänge: Unter allen Parametrisierungen γ einer Kurve C ist eine ausgewählt, die für sie gilt $\|\dot{\gamma}(t)\| = 1 \forall t$. Das wird dadurch erreicht, dass der „neue Parameter“ gleich der Länge der Kurve ist; genauer sei $\varphi: [0, b] \rightarrow \mathbb{R}^n$ irgendeine Param. von C . Wir definieren

$$\varphi^{-1}(t) = \int_0^t \|\dot{\varphi}(s)\| ds, \quad \delta = \varphi \circ \varphi^{-1}: [0, L(\varphi)] \rightarrow \mathbb{R}^n.$$

Nun ist φ faltige Paramet., dann $(\varphi^{-1})'(t) = \|\dot{\varphi}(t)\|$
 $\Rightarrow \varphi'(s) = \frac{1}{\|\dot{\varphi}(s)\|} (\varphi(s))' = \frac{1}{\|\dot{\varphi}(\varphi(s))\|} > 0$ [da φ regulär]
 und es gilt $\dot{\delta}(s) = \dot{\varphi}(\varphi(s)) \varphi'(s) = \dot{\varphi}(\varphi(s)) / \|\dot{\varphi}(\varphi(s))\|$
 also tatsächlich $\|\dot{\delta}(s)\| = 1$.

1.5 Ausblick (Krümmungs-Differentialgeometrie)

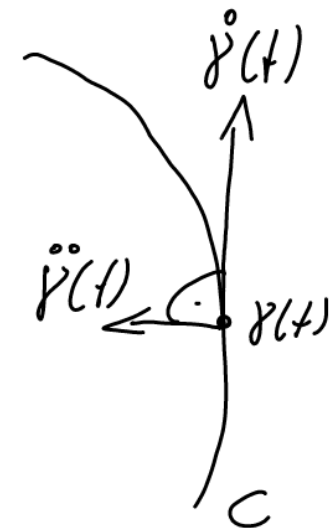
Ist C eine Kurve mit Param. nach Bogenlänge δ . Dann gilt

$$1 = \|\ddot{\gamma}(t)\|^2 = \langle \dot{\gamma}(t), \dot{\gamma}(t) \rangle$$

$$\frac{d}{dt}$$

$$\Rightarrow 0 = 2 \langle \ddot{\gamma}(t), \dot{\gamma}(t) \rangle \quad (*)$$

$\ddot{\gamma}$ wird Beschleunigungsvektor genannt;
 $(*)$ besagt $\dot{\gamma}(t) \perp \dot{\gamma}(t)$ also enthält
nur $\|\ddot{\gamma}(t)\|$ eine relevante/neue Information.



Die Größe $\|\ddot{\gamma}(t)\|$ wird Krümmung von C im Pkt $\gamma(t)$ genannt. Die Krümmung ist der Schlüsselbegriff des math.

Gebiets der DIFFERENTIALGEOMETRIE

Geometric mit Hilfe der

Differentialrechnung / Analysis

Kurven und Flächen im \mathbb{R}^n

werden im Rahmen der sog. ELEMENTAREN DIFF-
GEOMETRIE studiert.

mögliches Seminar-
thema

§2 KURVENINTEGRAL

2.1 INTRO

In diesem § befassen wir uns mit STAMMFUNKTIONEN von Vektorfeldern. Genauer sei $V: \mathbb{R}^n \rightarrow \mathbb{R}^n$ ein stetiges Vektorfeld [vgl. 16] 2.4(iii)]. Wir fragen uns unter welchen Umständen

$$\left\{ \exists \Psi: \mathbb{R}^n \rightarrow \mathbb{R} \text{ s.d. } \nabla \Psi = V \right\}$$

und wie wir so ein Ψ konkret finden können. D.h. wir stoßen auf Verallgemeinerungen des f/s DI [14] 2.7]

Zu. Als Schlüsselbegriffe werden sich KURVENINTEGRAL und deren WEGLÄNGE erweisen. Wir beginnen also mit folgenden Begriffen.

Idee: „Über Kurven in die Ad Situationen“

2.2 KURVENINTEGRAL

(i) DEF (Wegintegral) Sei $G \subseteq \mathbb{R}^n$ offen, V ein stetiges VF auf G (d.h. $V: G \rightarrow \mathbb{R}^n$ stetig), $\gamma: [a, b] \rightarrow G$ ein C^1 -Weg mit $\gamma([a, b]) \subseteq G$. Dann hat

$$\int_{\gamma} V := \int_a^b \underbrace{\langle V(\gamma(t)) | \dot{\gamma}(t) \rangle}_{\text{Projektion von } V \text{ in Richtung der Tangenten an } \gamma; \text{ siehe (iii)}} dt$$

das WEGINTEGRAL von V längs γ .

Projektion von V in Richtung der Tangenten an γ ; siehe (iii)

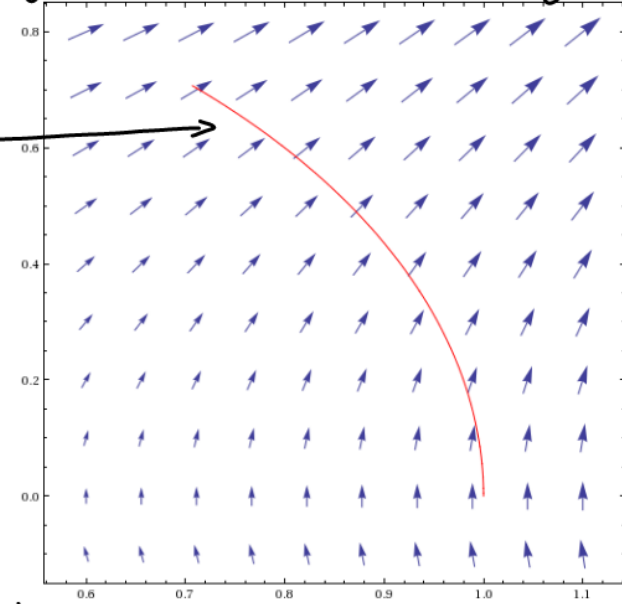
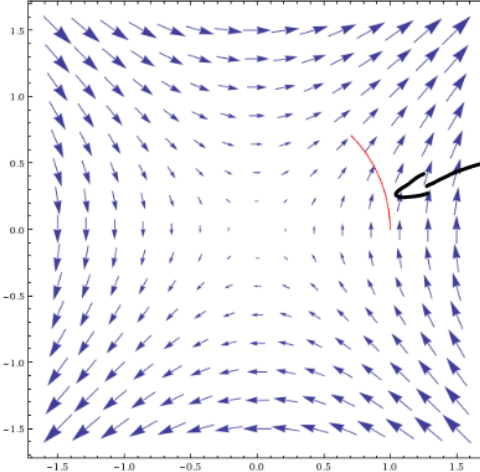
Dieselbe Def funktioniert auch, falls γ nurstückweise C^1 ist, d.h. γ stetig und $\gamma_0 = t_0 < t_1 < \dots < t_n = b$ ($n \in \mathbb{N}$) mit $\gamma|_{[t_i, t_{i+1}]} \in C^1$ [denn die endlich vielen „Problempunkte“ spürt das Integral nicht „sofort“].

$$(ii) \text{ Bsp } U = \pi r^2, V(x,y) = (y, x), \gamma: [0, \pi/4] \rightarrow \mathbb{R}^2, \gamma(t) = (\cos(t), \sin(t))$$

$$\int_V V = \int_0^{\pi/4} \left\langle \begin{pmatrix} \sin(t) \\ \cos(t) \end{pmatrix} \mid \begin{pmatrix} -\sin(t) \\ \cos(t) \end{pmatrix} \right\rangle dt$$

$$= \int_0^{\pi/4} (-\sin^2(t) + \cos^2(t)) dt = \int_0^{\pi/4} \cos(2t) dt = \frac{1}{2} \sin(2t) \Big|_0^{\pi/4} = \frac{1}{2}$$

$\cos(2t) \square [3.17 \text{ cm}]$



(iii) zur Bedeutung von $\int_V V$

$\int_V V(\gamma(t)) / \dot{\gamma}(t) dt$ Tangentenvektor von γ
 VF längs γ Projektion von V längs $\dot{\gamma}$ Summe der Anteile des VF in Richtung der Kurve
 Physikalische Interpretation:
 $\int_V V(\gamma(t)) / \dot{\gamma}(t) dt$ ist die Arbeit die verrichtet wird falls ein Prossessor längs γ im Kraftfeld V bewegt wird.

(iii) Eigenschaften des Vektorintegrals

- $|\int_V V| \leq \max_{0 \leq t \leq b} \|V(\gamma(t))\| \cdot L(\gamma)$

$\square 3.15(ii)$

$$\left[|\int_V V| \leq \int_0^b \left| \left\langle V(\gamma(t)) / \dot{\gamma}(t) \right\rangle \right| dt \leq \int_0^b \|V(\gamma(t))\| \|\dot{\gamma}(t)\| dt \right]$$

$\square 3.18 \quad \text{CS} \leq \|V(V(t))\| \|\dot{\gamma}(t)\|$

MWS

$$\left[\text{Zwischen } \square 3.15(i) \leq \max_{0 \leq t \leq b} \|V(\gamma(t))\| \int_0^b \|\dot{\gamma}(t)\| dt = \max_{0 \leq t \leq b} \|V(V(t))\| L(\gamma) \right]$$

- Das Vektorfeld ist invariant unter Parametertransformationen, genauer sei $\varphi: \mathbb{I} \rightarrow \mathbb{I}$ eine fiktive Parametertransformation, dann gilt $\int_V = \int_{\varphi} V$

Daher kann man stetige VF über Kurven integrieren, genauer sei C eine Kurve mit Parameterisierung γ dann ist

$$\int_C V := \int_{\gamma} V$$

wohldefiniert (d.h. nicht von der Wahl von γ abhängig) und wir sprechen vom Kurvintegral von V über C .

2.3 Ein Bsp & Eine Frage

Sei $G = \mathbb{R}^2$ und V ein VF auf \mathbb{R}^2 mit $V(x,y) = \begin{pmatrix} y \\ x-y \end{pmatrix}$ und seien α, β, γ Wege von $(0,0)$ nach $(1,1)$ wie folgt

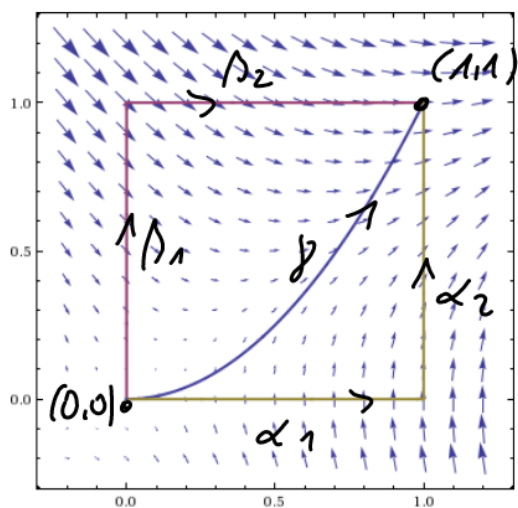
$$\gamma: [0,1] \rightarrow \mathbb{R}^2, \quad \gamma(t) = (t, t^2)$$

$$\alpha = \alpha_1 \oplus \alpha_2, \quad \alpha_1(t) = (t, 0) \quad 0 \leq t \leq 1$$

$$\alpha_2(t) = (1, t-1) \quad 1 \leq t \leq 2$$

$$\beta = \beta_1 \oplus \beta_2, \quad \beta_1(t) = (0, t) \quad 0 \leq t \leq 1$$

$$\beta_2(t) = (t-1, 1) \quad 1 \leq t \leq 2$$



Aneinanderhängung von Wegen: Zuerst α_1 , dann α_2 ; das ergibt nur einen Stück weisen

C^1 -Weg - ist fürs Wegintegral aber egal [siehe (i)]

Wir berechnen

$$\int_{\alpha}^{\beta} \mathbf{r} = \int_{\alpha}^{\beta} \mathbf{v}_1 + \int_{\alpha}^{\beta} \mathbf{v}_2 = \int_0^1 \langle \begin{pmatrix} 0 \\ t \end{pmatrix} / \begin{pmatrix} 1 \\ 0 \end{pmatrix} \rangle dt + \int_0^2 \langle \begin{pmatrix} t-1 \\ 2-t \end{pmatrix} / \begin{pmatrix} 0 \\ 1 \end{pmatrix} \rangle dt$$

$$= \int_0^1 0 dt + \int_0^2 (2-t) dt = -\frac{1}{2}(2-t)^2 \Big|_0^2 = \frac{1}{2}$$

$$\int_{\gamma}^{\beta} \mathbf{r} = \int_0^1 \langle \begin{pmatrix} t \\ -t \end{pmatrix} / \begin{pmatrix} 1 \\ 1 \end{pmatrix} \rangle dt + \int_0^2 \langle \begin{pmatrix} 1 \\ t-2 \end{pmatrix} / \begin{pmatrix} 1 \\ 0 \end{pmatrix} \rangle dt$$

$$= \int_0^1 -t dt + \int_0^2 1 dt = -\frac{1}{2} + 1 = \frac{1}{2}$$

$$\int_{\delta}^{\beta} \mathbf{r} = \int_0^1 \langle \begin{pmatrix} t^2 \\ t-t^2 \end{pmatrix} / \begin{pmatrix} 1 \\ 2-t \end{pmatrix} \rangle dt = \int_0^1 (t^2 + 2t(t-t^2)) dt$$

$$= \int_0^1 (3t^2 - 2t^3) dt = \left(t^3 - \frac{t^4}{2} \right) \Big|_0^1 = 1 - \frac{1}{2} = \frac{1}{2}$$

ALLE GEIGENWÄRTEN

Der Wegintegral von \mathbf{r} ist also für alle 3 Wege von $(0,0)$ nach $(1,1)$ gleich! WAREN? Kann doch kein Fall sein

Um diese Frage auf den Grund zu gehen
brauchen wir etwas Terminologie...

2.4 STAMMFUNKTIONEN & GRADIENTENFELDER

(i) DEF (Stammfkt & Gradientenfelder) Sei v ein VF auf $G \subseteq \mathbb{R}^n$.
Falls $\exists \psi: G \rightarrow \mathbb{R}$ mit der Eigenschaft

$$\left\{ \begin{array}{l} \text{grad } \psi = v \\ \psi(0) = 0 \end{array} \right.$$

dann sagen wir v ist ein GRADIENTENFELD und ψ ist eine STAMMFUNKTION für v (auf G).

[Physik, $K = -\operatorname{grad} \varphi$, φ Potenzial für das Kraftfeld K]

(ii) (Für Eindeutigkeit von Stammfkt) Sei ein C^1 -VF auf S .
Sei Ψ Stammfunktion von V , dann ist auch
 $\Psi + c$ für jede Konstante $c \in \mathbb{R}$ eine Stammfkt für V .
[$\text{prod}(\Psi + c) = \text{prod } \Psi = r$]

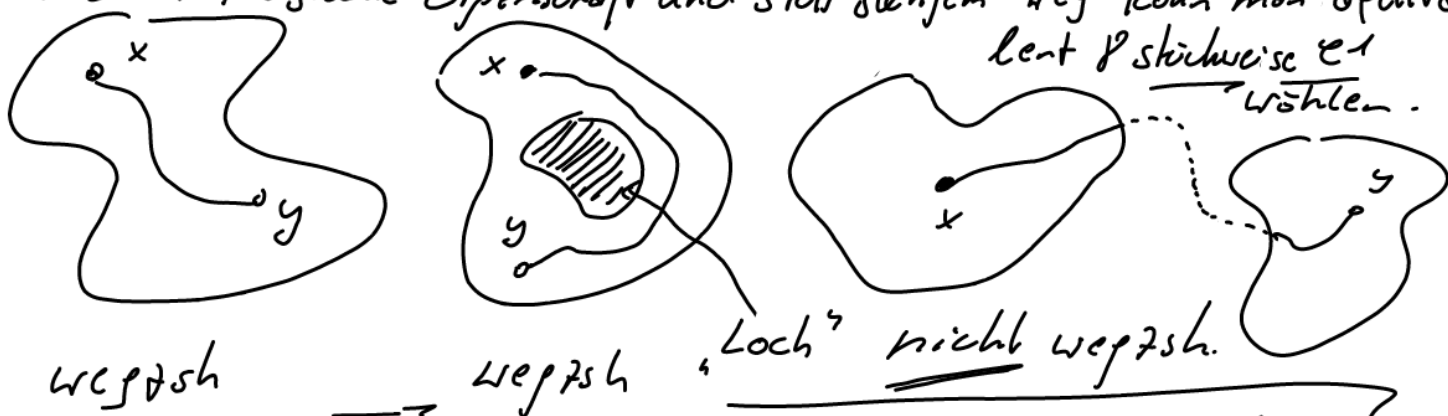
Sind komplementär Ψ, φ zwei Stammfkt von V auf G

$G = B_r(x_0)$, dann ist $\Psi - \varphi$ konst, dann

$$\begin{aligned} \text{prod}(\Psi - \varphi) &= \text{prod}(\Psi) - \text{prod}(\varphi) = V - V = 0 \\ \Rightarrow D_i(\Psi - \varphi) &= 0 \quad \forall 1 \leq i \leq n \\ \text{6.2(iv)} \Rightarrow \Psi - \varphi &\text{ konst auf } B_r(x_0) \end{aligned}$$

Hier wird essentiell durch [6] 6.2(iv) benötigt obwohl dass die Verbindungsstrecken von je 2 Punkten in G wieder in G liegen. Tatsächlich bleibt obige Aussage richtig falls allgemein je 2 Punkte in G mit einem Weg verbunden werden können: genauer

Sei G offen & wegzusammenhängend, d.h. $\forall x, y \in G$ existiert ein Weg von x nach y innerhalb von G , dann nennen wir G ein Gebiet. Tatsächlich handelt es sich hier um eine topologische Eigenschaft und statt strengem Weg kann man äquivalent stückweise C¹ wählen.

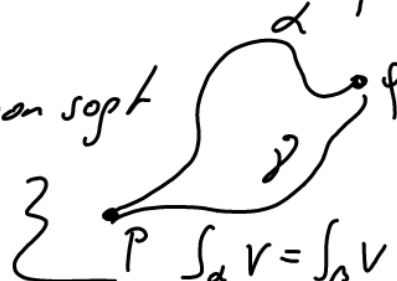


Nun gilt: Auf einem Gebiet unterscheiden sich je 2 Stammfkt von V nur um eine Konstante

(iii) Eine wichtige Eigenschaft von Gradientenfeldern (die hinter dem überraschenden Ergebnis in 2.3 steht) ist
SAT 2 (Gradientenfelder haben wependabhängige Kurvenint.)
Sei $G \subseteq \mathbb{R}^n$ ein Gebiet, v ein stetiges Gradientenfeld auf G mit Stammfkt φ . Dann gilt $\varphi_{pq} = c$ und alle C^1 -Wege γ von p nach q , die ganz in G verlaufen

$$\boxed{\int_{\gamma} v = \varphi(q) - \varphi(p)} \quad (*)$$

Insbesondere hängt $\int_{\gamma} v$ nicht von γ ab; man sagt
 v hat wependabhängige (Kurven-)Integrale



Bemerkung (*) entspricht genau dem 2. Teil des HsDI:
 $\int_0^b f(t) dt = F(b) - F(0)$ für F mit $F' = f$.

Beweis. Sei $\gamma: [0, b] \rightarrow \mathbb{R}^n$ wie oben. Definiere $\bar{F}: [0, b] \rightarrow \mathbb{R}$, $\bar{F} = \varphi \circ \gamma$

$$\Rightarrow \bar{F}'(t) = (\varphi(\gamma(t)))' = \langle \text{grad } \varphi(\gamma(t)), \dot{\gamma}(t) \rangle = \langle v(\gamma(t)), \dot{\gamma}(t) \rangle$$

$$\text{Daf } \int_{\gamma} v = \int_0^b \langle v(\gamma(t)), \dot{\gamma}(t) \rangle dt \stackrel{\substack{3.25(i) \\ \text{bzw UE 23/8}}}{(*)} = \int_0^b \bar{F}'(t) dt = \bar{F}(b) - \bar{F}(0)$$

$$\stackrel{\text{Def}}{=} \varphi(\gamma(b)) - \varphi(\gamma(0)) = \varphi(q) - \varphi(p). \quad \square$$

(iv) Geschlossene Wege. Ein Weg $\gamma: [0, b] \rightarrow \mathbb{R}^n$ heißt geschlossen, falls $\gamma(b) = \gamma(0)$. Hat ein VF wependabhängige L, $\gamma(0) = \gamma(b)$ Integrale, dann gilt offensichtlich für alle Weg-integrale über geschlossene Wege $\int_{\gamma} v = 0$

(v) Bleibt also nur noch die Frage, ob VF mit wegzunehmenden Integrolen auch Stromflüsse haben. Die positive Antwort gibt der folgende

SATZ (VF mit wegzunehmenden Integrolen sind Gradientenfelder)

Sei $G \subseteq \mathbb{R}^n$ ein Gebiet und V ein stetiges VF auf G mit wegzunehmenden Integrolen. Dann

$$\exists \varphi: G \rightarrow \mathbb{R} \subset \mathbb{C}^1: \text{grad } \varphi = V,$$

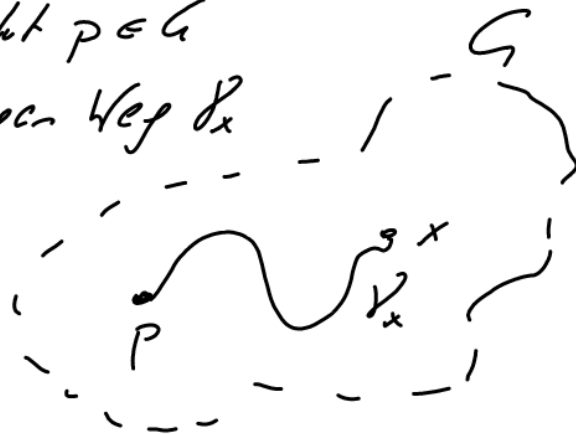
d.h. V ist ein Gradientenfeld.

Daraufhin kann eine Stromflut konkret wie folgt konstruiert werden:

- fixiere einen beliebigen Pkt $p \in G$

- für $x \in G$ wähle einen beliebigen Weg γ_x von p nach x

- setze $\varphi(x) = \int_V \gamma_x$



Bemerkung: (*) ist ein Analogon zum 1. Thm des HSDI:

$$F(x) = \int_a^x f(t) dt \Rightarrow F' = f$$

Beweis: zu zeigen ist: für φ wie in (*) gilt $D_j \varphi = v_j \quad \forall 1 \leq j \leq n$.

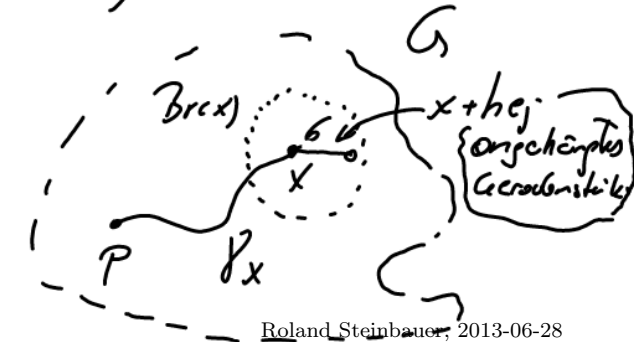
Sei dazu $B_r(x)$ so klein, dass $B_r(x) \subseteq G$, $0 < h < r$

$\delta: [0,1] \rightarrow B_r(x), \delta(t) = x + t h e_j$

$\Rightarrow \delta$ ist \mathbb{C}^1 -reg von x nach $x + h e_j$

ObdA ist $\delta_x: [-1,0] \rightarrow G$ so parametrisiert,

\downarrow dass $\delta(-1) = p, \delta(0) = x$



Wir betrachten die Aneinanderhängung $\varphi \oplus \psi$, das ist ein Stückweise C^1 -Vektorfeld von \mathbb{R}^n noch $x + h e_j$. Nun gilt

$$\left| \frac{\varphi(x+he_j) - \varphi(x)}{h} - v_j(x) \right| = \frac{1}{|h|} \left| \int_x^{x+he_j} v - \int_x^x v - h v_j(x) \right|$$

Integrale
reparierbar.

27: $\rightarrow 0$

$$= \frac{1}{|h|} \left| \int_x^x v + \int_x^x v - \int_x^x v - v_j(x) \int_0^1 e_j \right|$$

$$= \frac{1}{|h|} \left| \int_0^1 (v - v_j(x)e_j) \right|$$

$$= \frac{1}{|h|} \left| \int_0^1 \langle v(x+th e_j) - v_j(x)e_j \rangle h e_j \right| \leq \int_0^1 |v_j(x+th e_j) - v_j(x)| dt$$

$$= \frac{1}{|h|} \left| \int_0^1 h \left(\frac{v_j(x+th e_j) - v_j(x)}{t} \right) dt \right| \leq \int_0^1 |v_j(x+th e_j) - v_j(x)| dt$$

v_j stetig $\stackrel{(2.16)}{\Rightarrow} v_j(x+th e_j)$ p.m stetig
für $t \in [0,1]$

$\Rightarrow |v_j(x+th e_j) - v_j(x)| \rightarrow 0$ p.m auf $[0,1]$ ($h \rightarrow 0$)

$$\Rightarrow D_j \varphi(x) = \lim_{h \rightarrow 0} \frac{\varphi(x+th e_j) - \varphi(x)}{h} = v_j(x).$$

]

(vi) Zusammengefasst haben wir obige folgende Situationen auf Gebieten

V ist Gradientenfeld
d.h. $\exists \Psi$: $\operatorname{grad} \Psi = V$

V hat reparierbare
Interpolante

$$\left| \overline{\oint_\gamma V} = 0 \right]$$

Bleibt noch die Frage: Wie kann praktisch überprüft werden, ob ein gegebenes C^1 -VF ein Gradientenfeld ist? Um zur einer Antwort zu gelangen beginnen wir mit einer Beobachtung...

2.5 INTEGRABILITÄTSBEDINGUNGEN

(i) Beobachtung: Sei $G \subseteq \mathbb{R}^n$ offen, $\varphi: G \rightarrow \mathbb{R}$ C^2 und $\text{grad } \varphi = v$. Dann gilt

$$\underbrace{D_k v_j}_{\substack{\text{Setzv.} \\ \text{Schwartz}}} = D_k D_j v = \underbrace{D_j D_k v}_{\substack{\text{Setzv.} \\ \text{Schwartz}}} = \overline{D_j v_k}, \text{ d.h.}$$

v C^1 Gradientenfeld $\Rightarrow \left\{ \begin{array}{l} D_k v_j = D_j v_k \quad \forall 1 \leq j, k \leq n \\ \text{dieses } \underline{\text{INTEGRABILITÄTSBED}} \end{array} \right.$

(ii) Ein aufgeklärtes

$$\overbrace{\text{Bsp: } v(x,y) = (y, x-y)}$$

auf \mathbb{R}^2 -obs do, VF aus 2.3. Es gilt

$$D_2 v_1(x,y) = 1 = D_1 v_2(x,y) \Rightarrow \text{Integrabilitätsbed erfüllt}$$

Tatsächlich hat v auch eine Stromfkt, z.B. $\varphi(x,y) = xy - \frac{1}{2}y^2$

$$\text{Prob: } \text{grad } \varphi(x,y) = (y, x-y)$$

Somit ist aufgeklärt, worum alle 3 Integrable in 2-3 übereinstimmen!

(iii) Ein problematisches Bsp: $G = \mathbb{R}^2 \setminus \{(0,0)\}$

$$\omega(x,y) = \left(\frac{-y}{x^2+y^2}, \frac{x}{x^2+y^2} \right)$$

$$\begin{aligned} D_2 \omega_1(x,y) &= \frac{-(x^2+y^2)+y^2y}{(x^2+y^2)^2} = \frac{y^2-x^2}{(x^2+y^2)^2} \\ D_1 \omega_2(x,y) &= \frac{(x^2+y^2)-x^2x}{(x^2+y^2)^2} = \frac{y^2-x^2}{x^2+y^2} \end{aligned}$$

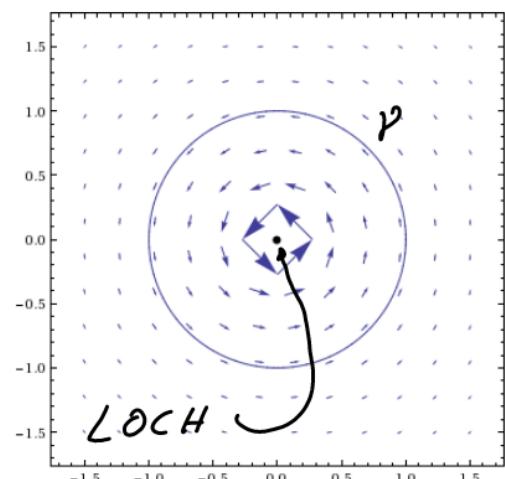
Also erfüllt ω die Integrierbarkeitsbedingungen. \Rightarrow
ABER ω ist kein Gradientenfeld,

dann sei $\gamma: [0, 2\pi] \rightarrow G$ $\gamma(t) = (\cos(t), \sin(t))$

$$\int_{\gamma} \omega = \int_0^{2\pi} \left\langle \begin{pmatrix} -\sin(t) \\ 1 \end{pmatrix}, \begin{pmatrix} -\sin t \\ \cos t \end{pmatrix} \right\rangle dt$$

$$= \int_0^{2\pi} 1 dt = 2\pi \neq 0$$

2. Gl(iii)
 $\Rightarrow \omega$ kein Gradientenfeld



(iv) Es stellt sich heraus, dass das Problem im Bsp (iii) vom "Loch" im Gebiet $G = \mathbb{R}^2 \setminus \{(0,0)\}$ herrührt.

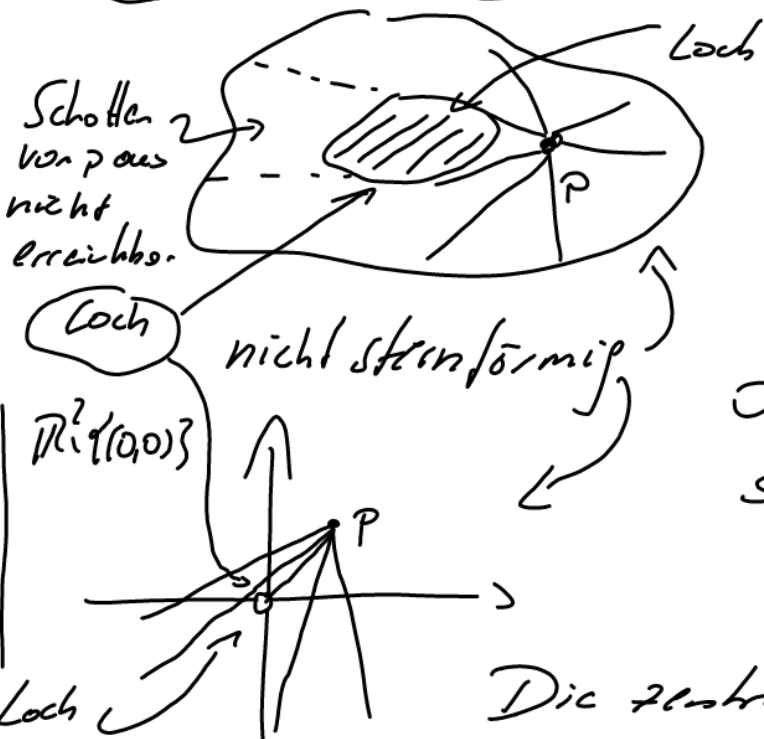
Man kann sofort die Existenz von VF ohne Strompfad, die die Integrierbarkeitsbedingungen erfüllen kann. Erkennen von "Löchern" in Gebieten erscheint; dies führt zur KOHOMOLOGIETHEORIE einem Teilgebiet der ALGEBRAISCHEM TOPOLOGIE.

Wir werden hier eine spezielle Art der „Löchervermeidung“ ins Auge fassen.

(V) Eine Menge $M \subseteq \mathbb{R}^n$ heißt sternförmig, falls

$\exists p \in M: \forall x \in M$ liegt die

Verbindungsstrecke von
Zentrum p nach x ganz in M



sternförmig, falls



sternförmig

„Jeder Winkel kann vom Zentrum aus ausgelenkt werden“

Offensichtlich gilt
sternförmig

→ wegzwischenhängend

Die zentrale Aussage ist nun

ob offen
s.k. stell.

(vi) SATT. Sei $G \subseteq \mathbb{R}^n$ ein sternförmiges Gebiet und

$\int_G v \cdot n \, dA = 0$ für alle \mathcal{C}^1 VF auf G . Dann gilt

v ist Gradientenfeld ($\Rightarrow v$ erfüllt die Integritätsbedingungen)

Beweisskizze: \Rightarrow : siehe (i)

\Leftarrow : O.B.d.A. ist G sternförmig bzgl. $p=0$ [die Integrabilität ändert sich nicht bei Verschiebung $\tilde{v}(x)=v(x-p)$]]

Für $x \in G$ sei $\delta_x: [0,1] \rightarrow G$, $\delta_x(t) = tx$ die Verbindungsstrecke von 0 nach x

195 Define $\varphi(x) := \int_V$ [selbstdecom in $\mathbb{Z}_n(v)$]

$$= \int_0^1 \langle v(dx)/x \rangle dt = \sum_{k=1}^n x_k \int_0^1 V_k(tx) dt$$

Nun gilt

$$\mathcal{D}_j \varphi(x) = \sum_{k=1}^n \left(D_j x_k \int_0^1 V_k(tx) dt + x_k D_j \left(\int_0^1 V_k(tx) dt \right) \right)$$

Produktregel

$$D_{jk} = \begin{cases} 1 & j=k \\ 0 & j \neq k \end{cases}$$

Kettenregel

$$\begin{aligned} &= \int_0^1 V_j(tx) dt, \\ &+ \sum_{k=1}^n x_k \int_0^1 D_j V_k(tx) dt \\ &= D_k V_j(x) \quad \text{Integrabilität bed} \end{aligned}$$

Diffpakt. kann ante das/Integrat. regeln werden, siehe [Haus], 113.2]

$$= \int_0^1 \underbrace{\left(V_j(tx) + t \langle \operatorname{grad} V_j(tx) | x \rangle \right)}_{\leq f(t) / \text{Trick}} dt$$

$f'(t)$ Kettenregel bzw. UG 23/8

$$= \int_0^1 \underbrace{(t' f(t) + t f'(t))}_{(tf(t))'} dt = \int_0^1 (tf(t))' dt =$$

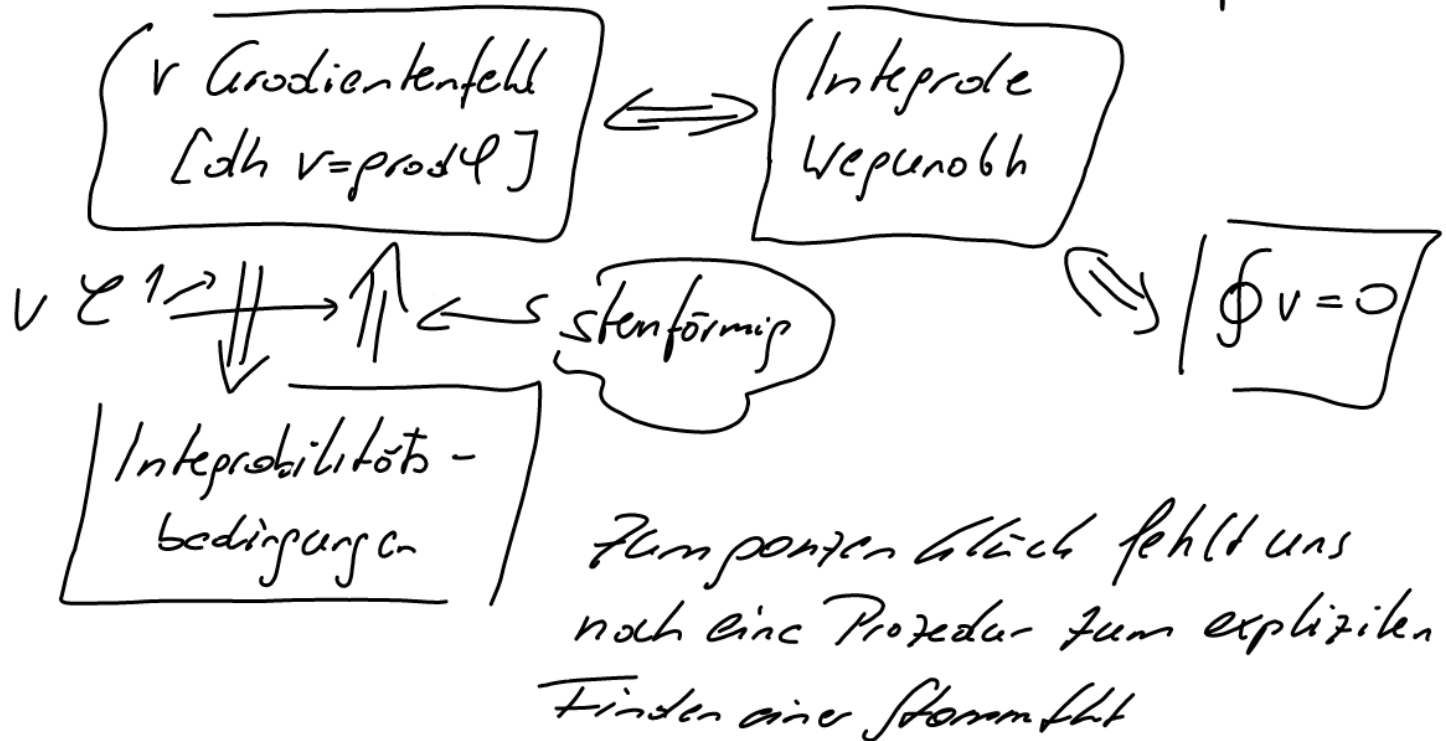
$$= t f(t) \Big|_0^1 = f(1) - 0 = \underline{V_j(x)}$$

Aufgabe 195.2.2.2.2

Also gilt $\operatorname{grad} \varphi = V$.



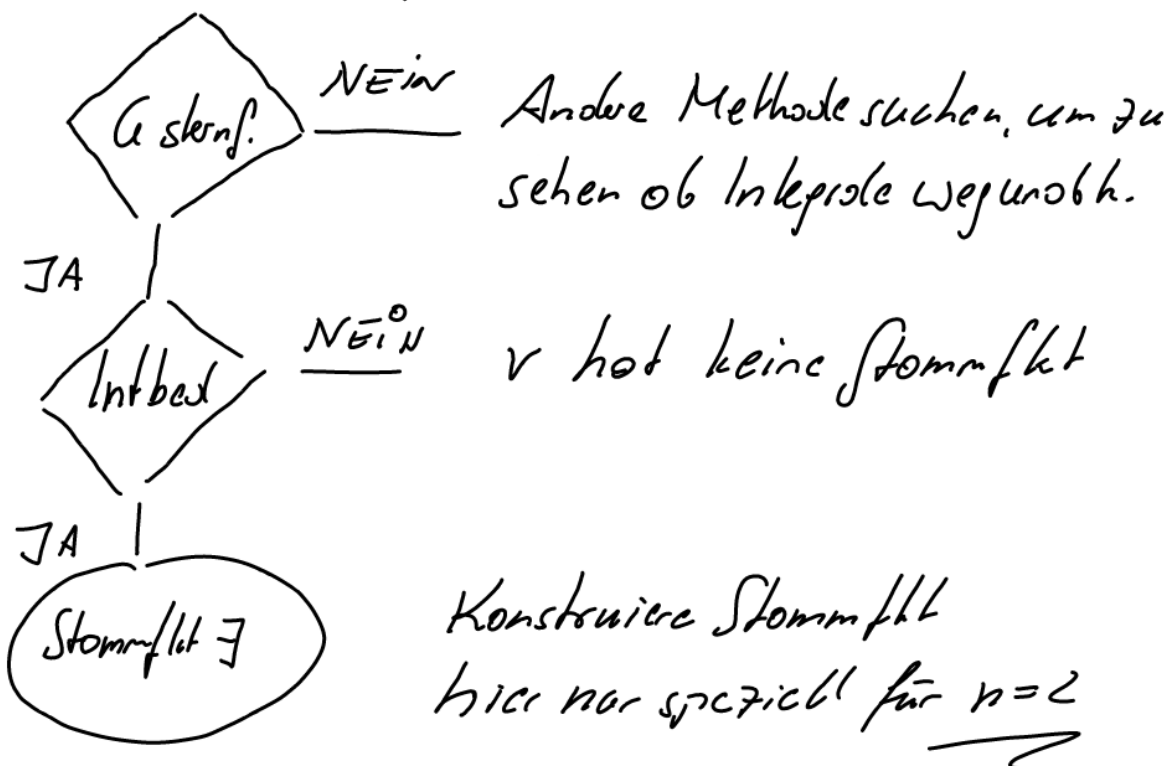
(vii) Zusammenfassung der Gesamt situation: v ist ein VF auf Gebiet G



2.6 PRAKTIISCHE BESTIMMUNG EINER STROMFKT

Vorpostellt sei ein C^1 -VF v auf einem Gebiet G

(i) Ein Flussdiagramm zur Abklärung der Situation



(ii) Explizite Konstruktion einer Stromfkt für $n=2$
 $V(x,y) = (V_1(x,y), V_2(x,y))$ erfüllt $D_n V_2 = D_2 V_1$ [Details siehe Haar 2, 183]

1. Schritt: Ansatz $\varphi(x,y) = \int V_1(x,y) dx + h(y)$ noch zu finden
D.h. eine Stromfkt.; vgl. 10(iii) [dann gilt nämlich $D_1 \varphi = V_1$]

2. Schritt: (d.h. soll sein) $V_2(x,y) = \partial_y \varphi(x,y) = \int \partial_y V_1(x,y) dx + h'(y)$
 $\Rightarrow h'(y) = V_2(x,y) - \int \partial_y V_1(x,y) dx$

Daraus kann h mittels Integration berechnet werden.

(iii) Bsp. $V(x,y) = (3x^2y, x^3)$ $G = \mathbb{R}^2$

G sternförmig ✓

Int bed. $D_2 V_1 = 3x^2 = D_1 V_2$ ✓

Ansatz: $\varphi(x,y) = \int 3x^2 y dx + h(y) = x^3 y + h(y)$

$$V_2 = x^3 = \partial_y \varphi = x^3 + h'(y) \Rightarrow h'(y) = 0$$

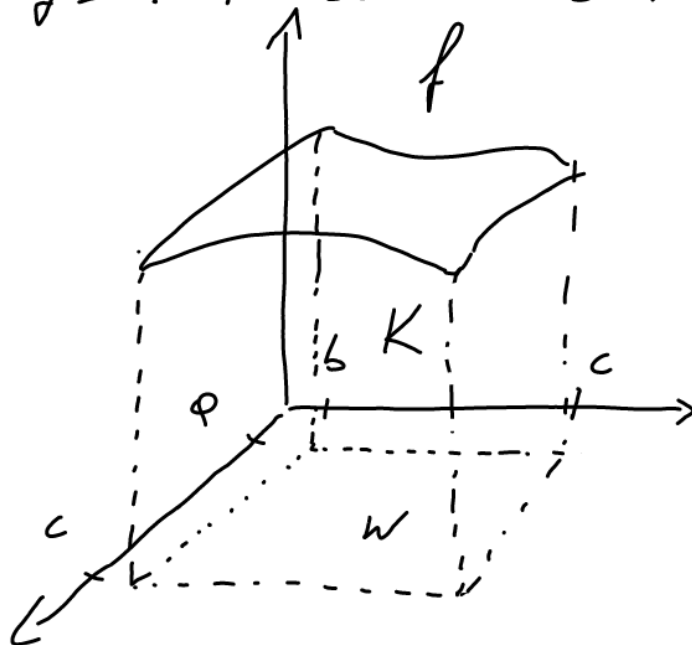
wähle $h(y) = 0$ und somit $\varphi(x,y) = x^3 y$

Probe: $\text{grad } \varphi = (3x^2 y, x^3)$ ✓

§3 MEHRFACHTE INTEGRAL

3.1 GRUNDIDEA (Volumen unter dem Graphen einer Fkt)

Sei $W = [a,b] \times [c,d]$ ein Rechteck im \mathbb{R}^2 und $f: W \rightarrow \mathbb{R}$ mit $f \geq 0$. Wir betrachten den 3-D Bereich



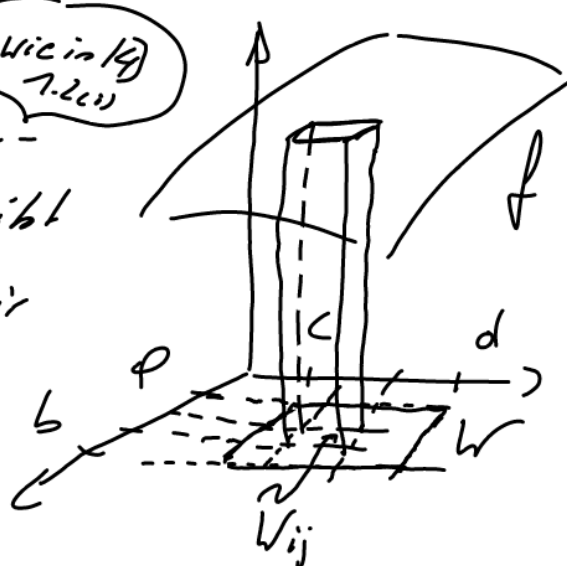
$$K := \{(x,y,z) \mid (x,y) \in W, 0 \leq z \leq f(x,y)\}$$

zwischen (x,y) -Ebene
und der „Fläche“
 $z = f(x,y)$ ober dem
Graphen von f und wollen
sein Volumen berechnen.

Eine Möglichkeit des Volumens $\text{Vol}(K)$ von K nähерungsweise zu berechnen besteht darin, Summen von Quadervolumina über kleine Teilrechtecke von W zu bilden. Genseit seien $\mathcal{T}_1, \mathcal{T}_2$ Unterteilungen von $[a,b], [c,d]$ dann ergibt sich eine Zerlegung \mathcal{V}_{ij} von W und wir definieren

$$m_{ij} := \inf \{f(x,y) \mid (x,y) \in V_{ij}\}$$

$$M_{ij} := \sup \{f(x,y) \mid (x,y) \in V_{ij}\}.$$



Dann gilt sachlich

$$\sum_{i,j} m_{ij} \cdot \text{Fläche } V_{ij} \leq \text{Vol}(K) \leq \sum_{i,j} M_{ij} \cdot \text{Fläche } V_{ij}$$

$\underbrace{\quad\quad\quad}_{\text{Untersumme}}$ $\underbrace{\quad\quad\quad}_{\text{Obersumme}}$

Jed offiziell

3.2 INTEGRAL ÜBER n-DIM INTEGRALE

(i) Seien $a_l \leq b_l$, $1 \leq l \leq n$, dann heißt $I := [a_1, b_1] \times \dots \times [a_n, b_n]$ komponiertes n-dim Intervall.

$|I| := (b_1 - a_1) \cdot \dots \cdot (b_n - a_n)$ heißt Inhalt von I

[$n=2$... Rechteck, $n=3$... Quader, ...]

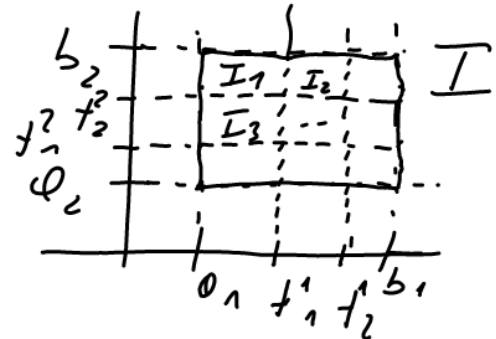
(ii) Eine Zerlegung von I ist definiert als ein Produkt $\mathcal{Z}_1 \times \dots \times \mathcal{Z}_n$ wobei \mathcal{Z}_j eine Zerlegung von $[a_j, b_j]$ in Teilintervalle $\{t_{j,1}, t_{j,2}, \dots, t_{j,n_j}\}$ ist, d.h.

$$\mathcal{Z}_j = \{a_j = t_{j,0}^0 < t_{j,1}^0 < \dots < t_{j,n_j}^0 = b_j\}.$$

Um die Notation übersichtlich zu halten, nummerieren wir die entstehenden n -dim

Teilintervalle I_k beliebig, sodass

$$I = \bigcup_{k=1}^N I_k$$



Beachte, dass die n -dim Teilintervalle I_k und I_e höchstens Ränder gemeinsam haben

(iii) Sei $f: I \rightarrow \mathbb{R}$ eine beschränkte Fkt. Wir schen

$$m_k := \inf \{f(x) / x \in I_k\}, M_k := \sup \{f(x) / x \in I_k\}$$

und bezeichnen

$$U(f, \mathcal{Z}) := \sum_{k=1}^N m_k / |I_k| \quad \text{Untersumme und}$$

$$O(f, \mathcal{Z}) := \sum_{k=1}^N M_k / |I_k| \quad \text{Obersumme von } f \text{ bzgl } \mathcal{Z}$$

(ir) Wir definieren Ober- & Unterkintegral von f über I ob

$$\left\{ \begin{array}{l} \int_I^* f(x) dx = \sup_{\mathcal{Z}} U(f, \mathcal{Z}) \\ \int_I f(x) dx = \inf_{\mathcal{Z}} O(f, \mathcal{Z}) \end{array} \right.$$

Hinweis:
weiter

Offensichtlich gilt $\int_I^* f dx \leq \int_I f dx$

(iv) Ein beschränktes f heißt integrierbar, falls $\int_I^* f dx = \int_I f dx$
gilt und definieren

das Integral von f über I ob

$$\int_I f(x) dx := \int_I^* f(x) dx \quad [= \int_I f(x) dx]$$

Schreibt man
und
und

3.3 INTEGRIERBARE FKT & EIGENSCHAFTEN DES INT

Sei I ein k -p. n-dim Intervall und sei $f: I \rightarrow \mathbb{R}$ eine Fkt

(i) Folgende Charakterisierung integrierbarer Fkt ist nicht schwer zu beweisen

$\left\{ \begin{array}{l} f \text{ int hor} \\ \text{auf } I \end{array} \right. \quad (\Leftrightarrow) \quad \forall \varepsilon > 0 \quad \exists \text{ Zerlegung } \mathcal{Z} \text{ von } I \\ \text{mit} \quad O(f, \mathcal{Z}) - U(f, \mathcal{Z}) < \varepsilon$

(ii) $f: I \rightarrow \mathbb{R}$ stetig \Rightarrow integrierbar auf I .

(iii) Eigenschaften des Integrals (Beweisidee nicht schwer)

• Linearität: Sind $f, g: I \rightarrow \mathbb{R}$ integrierbar, dann gilt

$$\begin{cases} f+g \text{ ist integrierbar} & \int_I (f+g) = \int_I f + \int_I g \\ \alpha f \text{ ist integrierbar} & \int_I (\alpha f) = \alpha \int_I f \end{cases}$$

• Monotonie: Sind $f, g: I \rightarrow \mathbb{R}$ integrierbar mit $f \leq g$

dann gilt

$$\int_I f dx \leq \int_I g dx$$

Insbesondere gilt

$$\begin{cases} f \geq 0 \Rightarrow \int_I f \geq 0 \\ |f| \leq M \Rightarrow \int_I f \leq M |I| \end{cases}$$

3.4. ITERIERUNG INTEGRAL & DER SATZ V. FUBINI

(i) Feststellung: Sei $J = [0, b]$, $K = [c, d]$ und $I = J \times K$ und $f: I \rightarrow \mathbb{R}$ integrierbar.

Wie können wir $\int_I f$ konkret ausrechnen?

(ii) Die Idee: zurückführen auf nacheinander durchgeführte 1-d Integrale

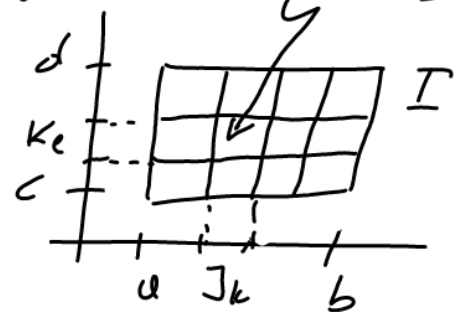
Seien $J = \bigcup_{i=1}^m J_i$ und $K = \bigcup_{j=1}^n K_j$ Zerlegungen

in Teilintervalle. Dann ist $I = \bigcup_{i,j} J_i \times K_j$

Wir sehen

$$m_{ij} = \inf \{ f(x,y) / (x,y) \in J_i \times K_j \}$$

$$M_{ij} = \sup \{ f(x,y) / (x,y) \in J_i \times K_j \}$$



Dann gilt

$$\forall (x,y) \in J_i \times K_j: \quad m_{ij} \leq f(x,y) \leq M_{ij}$$

Int über J_i :

$$\Rightarrow \int_{J_i} f(x,y) dx \leq \int_{J_i}^* f(x,y) dx \leq \int_{J_i}^* f(x,y) dy \leq M_{ij} |J_i|$$

$J = \bigcup J_i$

$$\Rightarrow \sum_i m_{ij} |J_i| \leq \sum_i \int_{J_i}^* f(x,y) dx = \underbrace{\int_J^* f(x,y) dx}_{=: F(y)}$$

und

$$G(y) := \int_J^* f(x,y) dx \leq \sum_i M_{ij} |J_i|$$

Int über K_j :

$$\Rightarrow \int_{K_j}^* \left(\sum_i m_{ij} |J_i| \right) dy \leq \int_{K_j}^* \left(\int_J^* f(x,y) dx \right) dy$$

und

$$\int_{K_j}^* \left(\int_J^* f(x,y) dx \right) dy \leq \sum_i M_{ij} |J_i| |K_j|$$

Summation

$$\Rightarrow \sum_{i,j} m_{ij} |J_i| |K_j| \leq \int_K^* \left(\int_J^* f(x,y) dx \right) dy$$

$= V(f, \mathcal{Z})$

$$\leq \int_K^* \left(\int_J^* f(x,y) dx \right) dy \leq \sum_{i,j} M_{ij} |J_i| |K_j|$$

superalg $\downarrow \int_{J \times K} f(x,y) d(xy)$

$\stackrel{F \text{ intb}}{=}$

$$\int_{J \times K}^* f(x,y) d(xy) \xleftarrow{O(f, \mathcal{Z})}$$

Daraus ergibt sich mit einigen Justizbelegungen [OB]

$$\left\{ \begin{array}{l} \int_{J \times K} f(x,y) d(x,y) = \int_K \left(\int_J f(x,y) dx \right) dy \\ \text{analog} \rightarrow = \int_J \left(\int_K f(x,y) dy \right) dx \end{array} \right.$$

(iii) Allgemeine gilt im \mathbb{R}^n der SATZ v. Fubini:

$$\left\{ \begin{array}{l} \text{Sei } J \text{ ein } m\text{-dim kp Intervall, } K \text{ ein } n\text{-dim kp Intervall} \\ \text{und sei } f: J \times K \rightarrow \mathbb{R} \text{ intbar. Dann gilt} \\ \int_{J \times K} f(x,y) d(x,y) = \int_J \left(\int_K f(x,y) dy \right) dx = \int_K \left(\int_J f(x,y) dx \right) dy. \end{array} \right.$$

(iv) Daraus ergibt sich für $I = [a_1, b_1] \times \dots \times [a_n, b_n]$ und

f intbar $I \rightarrow \mathbb{R}$

$$\left\{ \int_I f(x) dx = \int_{a_1}^{b_1} \dots \int_{a_n}^{b_n} f(x_1, \dots, x_n) dx_1 \dots dx_n, \right\}$$

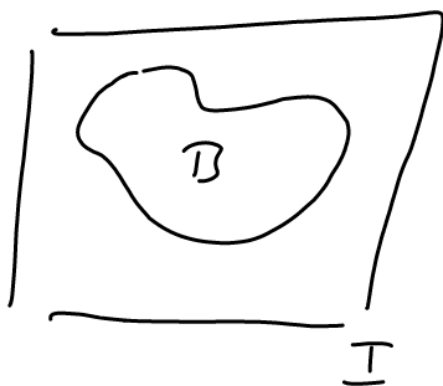
wobei die Reihenfolge der Teilintegrale beliebig geändert werden darf.

(v) BSP. $I = [0,1]^3$, $f: I \rightarrow \mathbb{R}$, $f(x,y,z) = xyz$

$$\begin{aligned} \int_I f(x,y,z) d(x,y,z) &= \int_0^1 \int_0^1 \int_0^1 xyz dx dy dz = \int_0^1 \int_0^1 \left[yz \frac{x^2}{2} \right]_0^1 dy dz = \\ &= \frac{1}{2} \int_0^1 \int_0^1 yz dy dz = \frac{1}{2} \cdot \frac{1}{2} \int_0^1 z dz = \left(\frac{1}{2} \right)^3 = \frac{1}{8} \end{aligned}$$

3.5 INTEGRALE ÜBER ALLGEMEINE BEREICHE

- (i) Notation: Weder für die Praxis noch die Theorie ist es ausreichend Funktionen nur über n -dim Intervalle zu integrieren. Wir werden nun unseren Integralbegriff auf allgemeinere Teilmengen $B \subseteq \mathbb{R}^n$ erweitern.
- (ii) Sei $B \subseteq \mathbb{R}^n$ beschränkt [d.h. $\exists R: B \subseteq B_R(0)$ vgl. §1], dann gibt es sicherlich ein n -dim Intervall I mit $B \subseteq I$. Für $f: B \rightarrow \mathbb{R}$ definieren wir



$$f_B(x) := \begin{cases} f(x) & x \in B \\ 0 & x \notin B \end{cases}$$

Dann gilt offensichtlich $f_B: \mathbb{R}^n \rightarrow \mathbb{R}$ beschr. $\Leftrightarrow f$ beschränkt

Wir sagen f sei auf B integrierbar, falls

$\int_B f_B(x) dx$ existiert.

Es ist leicht zu sehen, dass dies nicht von der Wahl von I abhängt. Dafür definieren wir weiter

$$\int_B f(x) dx = \int_I f_B(x) dx.$$

- (iii) Die Rolle von B . Ob eine Flkt f über B integriert ist hängt sowohl von f als auch von B ab! Klarerweise ist man nur an solchen Bereichen B interessiert,

auf denen die Flkt 1 bzw die charakteristische Flkt X_B inthor ist. Dazu darf B nicht zu stark „verzerrt“ sein, vgl. 14] 1. P(cii)): X_B ist nicht inthor.

Wir geben den Mengen aus w Interv. einen Namen

(iv) DEF. Eine nichtleere, beschränkte Menge $B \subseteq \mathbb{R}^n$ heißt JORDAN-DMESSBAR, falls inthor auf B ist
 [oder was dasselbe ist X_B inthor ist] Kurtmessbar

In diesem Fall nennen wir

$$|B| := \int_B 1$$

den (Jordan)-Inhalt von B .

Im Fall $n=2$ auch
 (Jordan)-Fläche
 $n=3$
 (Jordan)-Volumen

(v) Wie höchstlich kann B sein?

Eine Antwort liefert [Heaus 2, 201.2]: Der Rand von B darf nicht zu lang/proß werden.

Genaue: Sei $B \subseteq \mathbb{R}^n$ beschränkt, dann gilt

B (Jordan-)messbar

$\Leftrightarrow \partial B$ ist eine (Jordan-)Nullmenge

$\Leftrightarrow \forall \varepsilon > 0$ Endlich viele n -dim kp In Kreuze



$x \in \partial B$ Rand von B
 $\Leftrightarrow \forall$ Umgebung U von x :
 $U \cap B \neq \emptyset \wedge U \cap B^c \neq \emptyset$



I_1, \dots, I_n mit $\partial B \subseteq \bigcup_{j=1}^n I_j$
 und $\sum_{j=1}^n |I_j| < \varepsilon$

(vi) Eigenschaften des Integrals (die üblichen Ver-
Sei B \mathcal{I} -messbar, $f, g: B \rightarrow \mathbb{R}$ int-
bar, $\lambda \in \mathbb{R}$. Dann gilt

- Linearität: $f+g, \lambda f$ intbar und

$$\int_B (f+g) = \int_B f + \int_B g, \quad \int_B (\lambda f) = \lambda \int_B f$$

- Monotonie: $f \leq g \Rightarrow \int_B f \leq \int_B g$

insbes $|\int_B f| \leq \int_B |f|$

- MWS-S: Folgt $\exists m, M: m \leq f(x) \leq M \quad \forall x \in B$
 $\Rightarrow m|B| \leq \int_B f \leq M|B|$

- A-messbar, $A \cap B = \emptyset$, $f: \mathbb{R}^n \rightarrow \mathbb{R}$ intbar auf $A \cup B$

$$\int_{A \cup B} f = \int_A f + \int_B f \text{ und speziell mit } f=1$$

$$\int_{A \cup B} 1 = |A| + |B|$$

- Sei B k_p -messbar, $f: B \rightarrow \mathbb{R}$ stetig $\Rightarrow f$ intbar auf B

- Parameterintegral: $f: [0,1] \times B \rightarrow \mathbb{R}$ stetig. Definiere φ ob

SEHR
WICHTIGES
KONZEPT

sog. Parameterintegral: $\varphi: [0,1] \rightarrow \mathbb{R}$

$$\varphi(t) := \int_B f(t, x) dx$$

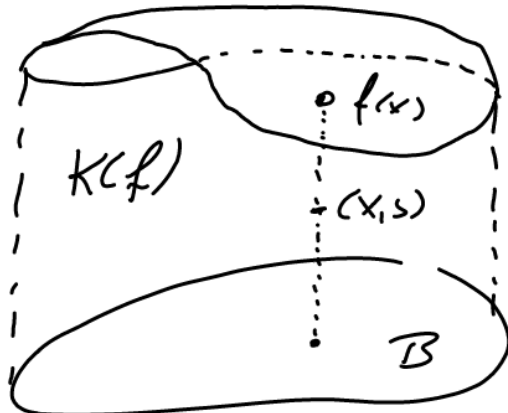
[Hausarz
2013]

$\Rightarrow \varphi$ stetig.

Folgs φ stetig $\Rightarrow \varphi$ diffbar mit $\varphi'(t) = \int_B \partial_t f(t, x) dx$

3.6 INHALT UNTER DEM GRAPHEN EINER FKT

(i) Die Fragestellung: Sei $B \subseteq \mathbb{R}^n$ messbar und $f: B \rightarrow \mathbb{R}$ integrierbar mit $f \geq 0$.

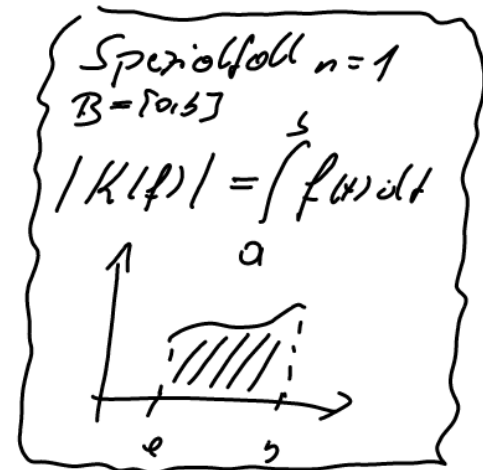


Wir betrachten die „Menge unter dem Graphen“ die sop. Ordinatenmenge von f :

$$K(f) := \{(x, s) \in B \times \mathbb{R} \mid 0 \leq s \leq f(x)\} \subseteq \mathbb{R}^{n+1}$$

Möglich zu zeigen, dass unter den obigen Voraussetzungen $K(f)$ messbar ist [Hausdorff 2. 203. 1]. Darüber hinaus gilt

(ii) Satz $|K(f)| = \int_B f$



Beweis. f integrabel $\Rightarrow f$ beschränkt
 $\Rightarrow \exists C \geq 0 : 0 \leq f(x) \leq C \forall x \in B$

B messbar $\Rightarrow B$ beschränkt $\Rightarrow \exists n\text{-dim L}_p$ Intervall I mit $B \subseteq I$

$$\Rightarrow K(f) \subseteq I \times [0, C] =: J \text{ } (n+1)\text{-dim L}_p \text{ Intervall}$$

Wir können rechnen

[Fubini]

$$|K(f)| = \int_{K(f)} 1 d(x, s) = \int_I X_{K(f)} d(x, s) \stackrel{?}{=} \int_I \left(\int_0^C X_{K(f)}(x, s) ds \right) dx. \quad (*)$$

Für $x \in I \setminus \mathcal{B}$ gilt $\chi_{K(f)}(x, s) = 0 \quad \forall s \in \mathbb{R}$
 $f_B(x) = 0$

Für $x \in \mathcal{B}$ ist $\chi_{K(f)}(x, s) = \begin{cases} 1 & 0 \leq s \leq f(x) [\Leftrightarrow s \in [0, f(x)] \\ 0 & s \notin [0, f(x)] \end{cases}$

 $\Rightarrow \int_0^f \chi_{K(f)}(x, s) ds = \int_0^{f(x)} 1 ds \quad \forall x \in I$
 $\Rightarrow \underbrace{|K(f)|}_{I} = \int_I \left(\int_0^{f(x)} 1 ds \right) dx = \int_I f_B(x) dx = \int_I f(x) dx$

(iii) BSD (Kreisfläche) $\mathcal{B} = [-r, r], r > 0, f(x) = \sqrt{r^2 - x^2}$



$K(f)$... Fläche eines Kreises vom Radius r

$$\begin{aligned} |K(f)| &= \int_{-r}^r \sqrt{r^2 - x^2} dx \\ &= \int_0^r \text{Subst} \quad x = r \sin(t), \text{siehe 14} \quad 2.17 \text{ (iii)} \\ &= r^2 \pi / 2 \end{aligned}$$

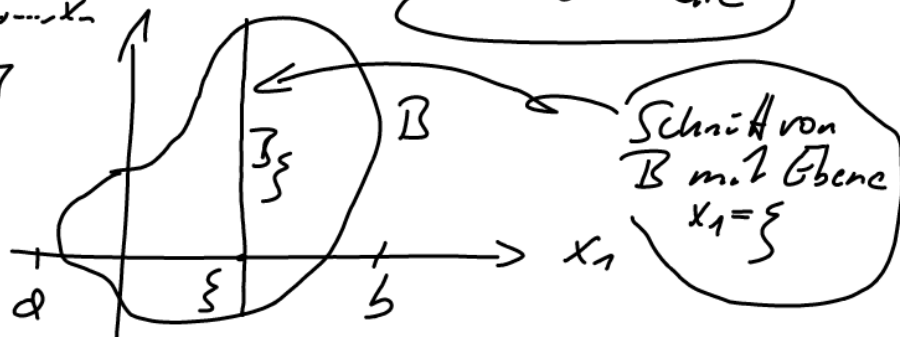
3.7 Das Prinzip von Cavalieri

(i) Die Idee: Sei $\mathcal{P} \subseteq \mathbb{R}^n$ messbar und $\forall x = (x_1, \dots, x_n) \in \mathcal{P}$
 gelte $a \leq x_1 \leq b$ \leftarrow Einschränkung 1:
 1. Koordinate

Bereich für $\xi \in [a, b]$

$\mathcal{B}_\xi := \{(x_2, \dots, x_n) \in \mathbb{R}^{n-1} : (x_1, x_2, \dots, x_n) \in \mathcal{P}\}$

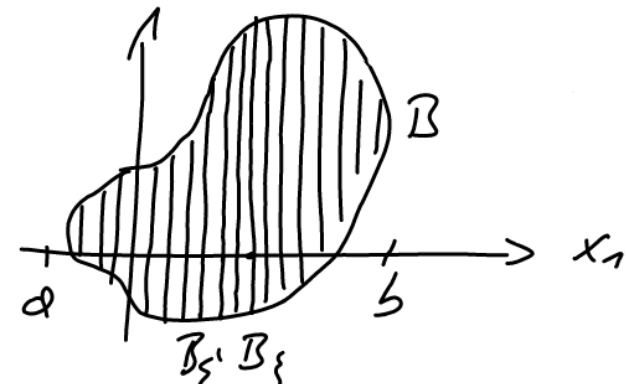
und $q(\xi) := |\mathcal{B}_\xi|$



Die Idee des Prinzips von Cavalieri ist es nun den Inhalt von \mathcal{B} mittels Salamitotatik "zu berechnen indem alle $\rho(\xi)$ "aufsummiert" d.h. auf integriert werden."

"Genauer gilt der folgende"

$$(ii) \text{SATZ 2: } |\mathcal{B}| = \int_a^b \rho(\xi) d\xi$$



Beweis [ähnliche Idee wie 3.6(ii)]

Sei \mathcal{B} ein $(n-1)$ -dim kpl Intervall sodass $\mathcal{B} \subseteq [0, b] \times J$, dann gilt

$$|\mathcal{B}| = \int_{\mathcal{B}} 1 dx = \int_{[0, b] \times J} \chi_{\mathcal{B}}(x) dx \stackrel{[\text{Fubini}]}{=} \int_0^b \left(\int_J \chi_{\mathcal{B}}(\xi, x_1, \dots, x_n) d(x_1, \dots, x_n) \right) d\xi. \quad (*)$$

Es gilt

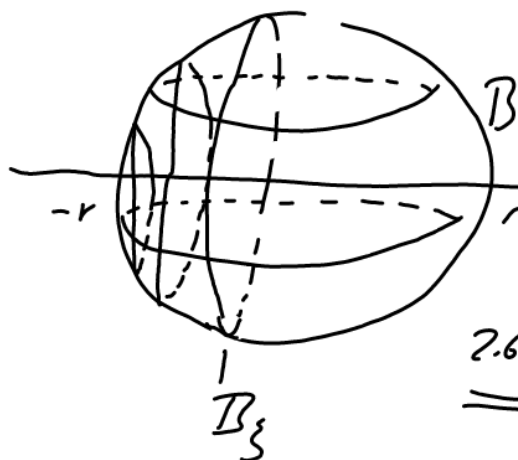
$$\chi_{\mathcal{B}}(\xi, x_1, \dots, x_n) = \begin{cases} 0 & (x_2, \dots, x_n) \notin B_{\xi} \\ 1 & (x_2, \dots, x_n) \in B_{\xi} \end{cases} = \chi_{B_{\xi}}(x_2, \dots, x_n) \quad (***)$$

und daher

$$\begin{aligned} |\mathcal{B}| &\stackrel{(***)}{=} \int_a^b \underbrace{\left(\int_J \chi_{B_{\xi}}(x_2, \dots, x_n) d(x_2, \dots, x_n) \right)}_{B_{\xi}} d\xi = \int_a^b q(\xi) d\xi \\ &= \int_{B_{\xi}} 1 d(x_2, \dots, x_n) = |B_{\xi}| = \rho(\xi) \end{aligned}$$

□

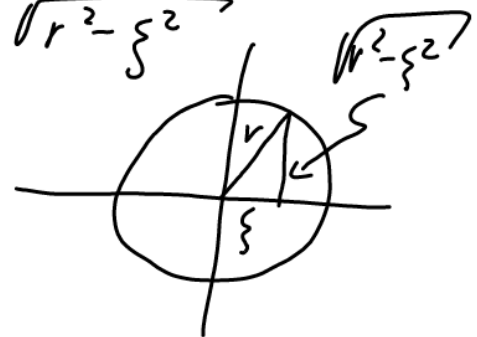
(iii) Bsp (Kugel) $B = \{(x, y, z) \in \mathbb{R}^3 \mid x^2 + y^2 + z^2 \leq r^2\}$ ($r > 0$)
Kugel vom Radius r



$$\stackrel{2.6 \text{ cm})}{\Rightarrow} |B_\xi| = \rho(\xi)$$

$$\boxed{\int_{-\xi}^{\xi} (r^2 - \xi^2) \pi d\xi} = (r^2 - \xi^2) \pi$$

Für $-r \leq \xi \leq r$ ist B_ξ eine Kreisscheibe vom Radius $\sqrt{r^2 - \xi^2}$



$$\Rightarrow |B| = \int_{-r}^r (r^2 - \xi^2) \pi d\xi = \pi \left(r^2 \xi - \frac{\xi^3}{3} \right) \Big|_{\xi=-r}^{\xi=r} = \pi \left(r^3 - \frac{r^3}{3} + r^3 - \frac{r^3}{3} \right) = \boxed{\frac{4}{3} \pi r^3}$$

3.8 INTEGRATION ÜBER NORMALBEREICHE

(i) Fragstellung & Ziel. Wir stellen eine weite Methode vor, Funktionen über „schöne“ Flächen zu integrieren; Eine Verallgemeinerung auf höhere Dimensionen kann problemlos bewerkstelligt werden.

bzgl. einer Koordinate durch Geraden begrenzt

Eine Menge $B \subseteq \mathbb{R}^2$ heißt Normalbereich bzgl. der x-Achse, falls $B = \{(x, y) \mid 0 \leq x \leq b, \varphi_1(x) \leq y \leq \varphi_2(x)\}$

wobei $b \in \mathbb{R}, \varphi_1, \varphi_2: [0, b] \rightarrow \mathbb{R}$

Schiefe Flächen sind

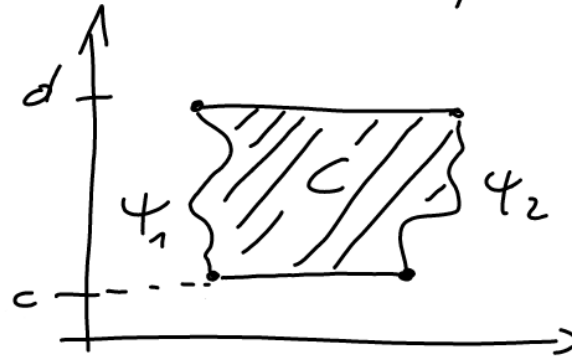


Analog dazu hat $C \subseteq \mathbb{R}^2$ Normalbereich bzgl. der y-Achse,
folgt

$$C = \{(x,y) / c \leq y \leq d, \varphi_1(y) \leq x \leq \varphi_2(y)\}$$

mit $c, d \in \mathbb{R}$ und

$\varphi_1, \varphi_2 : [c, d] \rightarrow \mathbb{R}$ stetig



Die Interpretation der
Normalbereiche kann nun
mittels derselben Ideen wie in 3.6, 3.7 bereitgestellt werden.

(ii) SATZ: Sei $B[c]$ ein Normalbereich bzgl. der x-[y-]
Achse und sei $f : B \rightarrow \mathbb{R}$ bzw. $f : C \rightarrow \mathbb{R}$ stetig.

Dann gilt

$$\int_B f(x,y) dx dy = \int_0^b \left(\int_{\varphi_1(x)}^{\varphi_2(x)} f(x,y) dy \right) dx \quad \text{bzw}$$

$$\int_C f(x,y) dx dy = \int_c^d \left(\int_{\varphi_1(y)}^{\varphi_2(y)} f(x,y) dx \right) dy$$

Beweis. Wir behandeln nur den 1. Fall, da 2. ist analog.

Sche $m := \min \varphi_1$, $M := \max \varphi_2$ [\exists nat. fslg. auf $[0, b]$]
 $I := [0, b] \times [m, M]$

Es gilt

$$\int_B f = \int_I f_B dx dy \stackrel{\text{Tubin:}}{=} \int_0^b \left(\int_m^M f_B(x,y) dy \right) dx. \quad (*)$$

Für $x \in [0, b]$

fixiert: $f_D(x,y) = \begin{cases} 0 & y \notin [\varphi_1(x), \varphi_2(x)] \\ f(x,y) & y \in [\varphi_1(x), \varphi_2(x)] \end{cases}$

Daher $\int\limits_B f(x,y) dx = \int\limits_0^b \left(\int\limits_{\psi_1(x)}^{\psi_2(x)} f(x,y) dy \right) dx$.

17

(iii) Eine einfache Folgerung aus (ii) ist

Ja, das passt e)
siehe Bsp (ii)

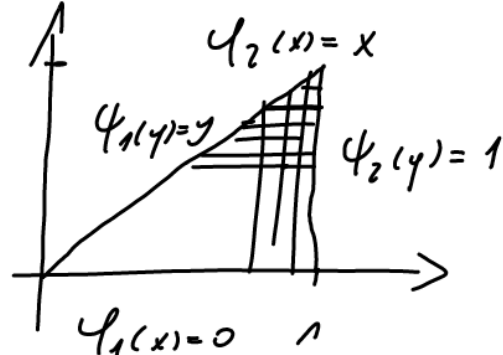
Kor. Sei A NB bezgl x - und y -Achse, dann gilt

$$\left\{ \int\limits_0^b \left(\int\limits_{\psi_1(x)}^{\psi_2(x)} f(x,y) dy \right) dx = \int\limits_c^d \left(\int\limits_{\psi_1(y)}^{\psi_2(y)} f(x,y) dx \right) dy \right\}$$

(iv) Bsp. Sei A wie folgt, also ein Rechteck auf A .

Dann ist A NB bezgl x - & y -Achse und daher

$$\begin{aligned} \int\limits_A f &= \int\limits_0^1 \left(\int\limits_0^x f(x,y) dy \right) dx \\ &= \int\limits_0^1 \left(\int\limits_{\psi_1(y)}^{\psi_2(y)} f(x,y) dx \right) dy \end{aligned}$$



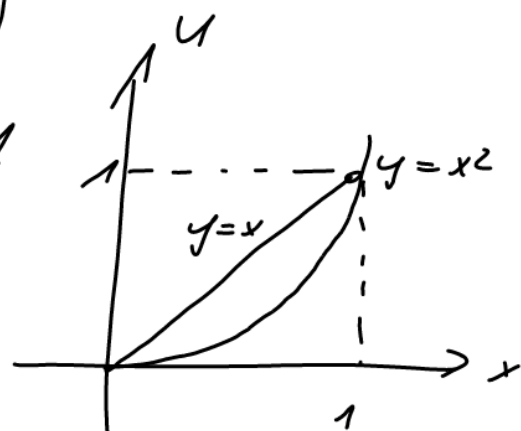
(v) Ein explizites Bsp

$f(x,y) = xy$ und B der Bereich im 1. Quadranten zwischen den Fkt $y=x$ und $y=x^2$

• B ist NB bezgl der x -Achse

mit $\psi_1(x) = x^2$, $\psi_2(x) = x$, $x \in [0,1]$ und daher

$$\int\limits_B xy d(x,y) = \int\limits_0^1 \left(\int\limits_{x^2}^x xy dy \right) dx = \int\limits_0^1 x \frac{x^2}{2} - x^3 dx =$$



$$= \frac{1}{2} \int_0^1 (x^2 - x^5) dx = \frac{1}{2} \left(\frac{x^4}{4} - \frac{x^6}{6} \right) \Big|_0^1 = \frac{1}{2} \left(\frac{1}{4} - \frac{1}{6} \right) = \frac{1}{24}$$

- \exists ist auch NB bzgl. y-Achse mit $\psi_1(y) = y$, $\psi_2(y) = \sqrt{y}$, $y \in [0, 1]$ und es ergibt sich

$$\int_D xy \, d(x,y) = \int_0^1 \left(\int_y^{\sqrt{y}} xy \, dx \right) dy = \int_0^1 y \frac{x^2}{2} \Big|_y^{\sqrt{y}} dy$$

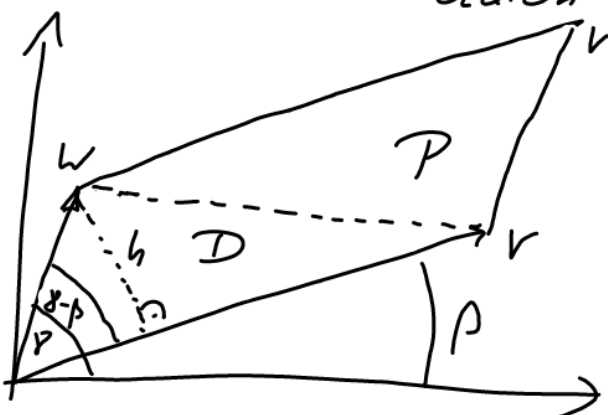
$$= \frac{1}{2} \int_0^1 (y^2 - y^3) dy = \frac{1}{2} \left(y^3/3 - y^4/4 \right) \Big|_0^1 = \frac{1}{2} \left(\frac{1}{3} - \frac{1}{4} \right) = \frac{1}{24}$$

Zum Spaziergang
Oberfläche
Ondersrum

3.9 SUBSTITUTIONSREGEL FÜR DREHFACHINTEGRIE

(i) Problemstellung: Ein wesentliches Verfahren der 3d Integralrechnung ist die Substitutionsmethode. Auch die mehrdim Integralrechnung kommt nicht ohne eine analoge Methode aus; diese werden wir hier kennenlernen.

(ii) Vorgehenskabel: Die Fläche eines Parallelipipeds ist durch die Determinante gegeben



Seien $v, w \in \mathbb{R}^2$,
 P das Parallelipiped $O, v, v+w, w$
 D das Dreieck O, v, w
 $|P| = |D| \cdot h$

Wir berechnen $|P|$ explizit. Zunächst schreiben wir

$$v_1 = \|v\| \cos(\beta), v_2 = \|v\| \sin(\beta)$$

$$w_1 = \|w\| \cos(\gamma), w_2 = \|w\| \sin(\gamma)$$

$$h = \|w\| \sin(\gamma - \beta)$$

Dom. / prüft

$$\begin{aligned}
 |P| &= 2|D| = \|v\| h = \|v\| \|w\| \sin(\delta - \beta) \\
 &= \|v\| \|w\| (\sin(\delta) \cos(\beta) - \sin(\beta) \cos(\delta)) \\
 &= v_1 w_2 - v_2 w_1 = \det \begin{pmatrix} v_1 & v_2 \\ w_1 & w_2 \end{pmatrix}
 \end{aligned}$$

1) benötigt
falls $\delta < \rho$

ω_{so} $|P| = |\det(v, w)|$

b-dim Parallelprojektion

Ahnlich ergibt sich für Parallelipipede im \mathbb{R}^n

$$|P| = \det(v_1, \dots, v_n)$$

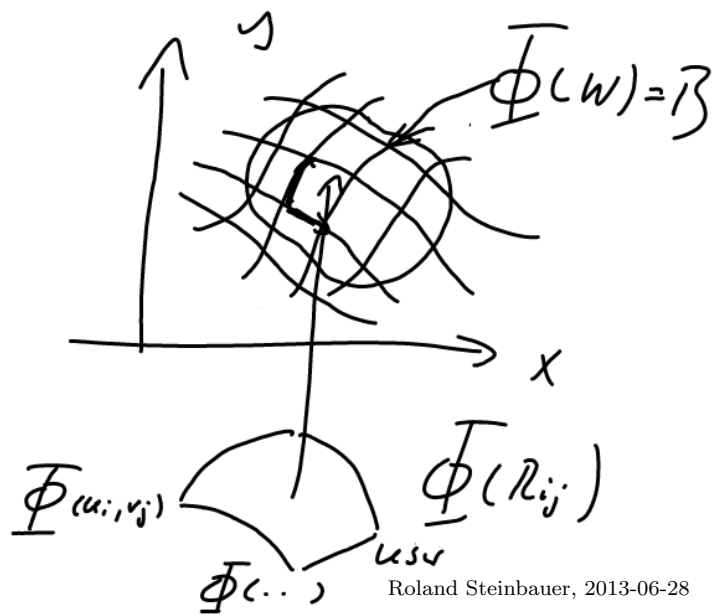
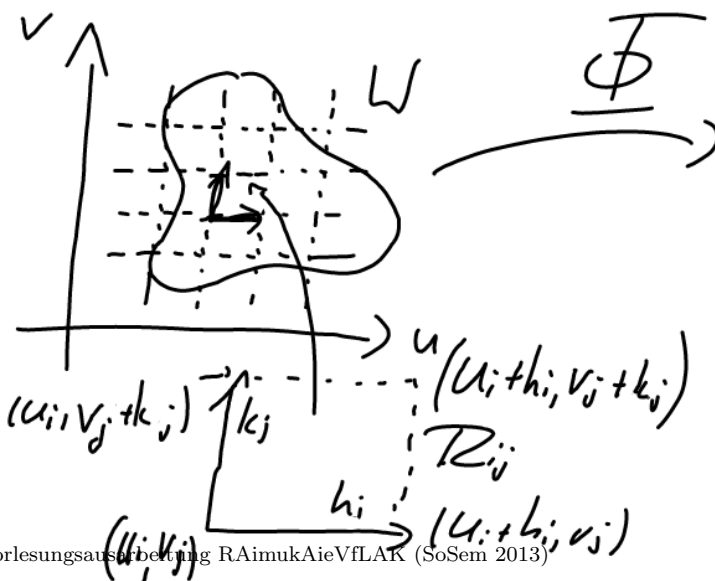
(iii) Heuristik. Wie verändert sich das Volumen unter einer Koordinatentransformation?

Sei $B \subseteq \mathbb{R}^2$ messbar, $f: B \rightarrow \mathbb{R}$ intgrbar. In

$$\int_B f(x, y) d(x, y) \quad \text{substituiere wir } \begin{cases} x = \varphi(u, v) \\ y = \psi(u, v) \end{cases}$$

wobei $\begin{cases} \Phi(u, v) := \begin{pmatrix} \varphi(u, v) \\ \psi(u, v) \end{pmatrix} \text{ eine inj. } C^1 \text{ Abb} \end{cases}$

$$\Phi: \mathcal{W} \rightarrow \mathcal{B} \quad \text{ist mit } \mathcal{W} \subseteq \mathbb{R}^2$$



Betrachten wir eines der kleinen Rechtecke in \mathcal{V}

$$R_{ij} = \left(\begin{matrix} u_i \\ v_j \end{matrix} \right), \left(\begin{matrix} u_i + h_i \\ v_j \end{matrix} \right), \left(\begin{matrix} u_i + h_i \\ v_j + k_j \end{matrix} \right), \left(\begin{matrix} u_i \\ v_j + k_j \end{matrix} \right)$$

Dieses wird von Φ auf ein „krummes Parallelogramm“ abgebildet

$$\underline{\Phi}(R_{ij}) = \underline{\Phi}\left(\begin{matrix} u_i \\ v_j \end{matrix}\right), \underline{\Phi}\left(\begin{matrix} u_i + h_i \\ v_j \end{matrix}\right), \underline{\Phi}\left(\begin{matrix} u_i + h_i \\ v_j + k_j \end{matrix}\right), \underline{\Phi}\left(\begin{matrix} u_i \\ v_j + k_j \end{matrix}\right)$$

Wäre dieses ein „echtes Parallelogramm“ so wäre seine Fläche $\det(\tilde{v}, \tilde{w})$ mit

$$\tilde{v} = \begin{pmatrix} \varphi(u_i + h_i, v_j) - \varphi(u_i, v_j) \\ \varphi(u_i + h_i, v_j + k_j) - \varphi(u_i, v_j + k_j) \end{pmatrix}, \quad \tilde{w} = \begin{pmatrix} \varphi(u_i, v_j + k_j) - \varphi(u_i, v_j) \\ \varphi(u_i, v_j + k_j) - \varphi(u_j, v_j) \end{pmatrix}$$

Für kleine h_i, k_j ist z.B. MWS

$$\tilde{v} \approx \begin{pmatrix} 2\varphi(u_i, v_j) \cdot h_i \\ 2\varphi(u_i, v_j) \cdot k_j \end{pmatrix} = h_i \partial_u \underline{\Phi}(u_i, v_j)$$

$$\tilde{w} \approx \begin{pmatrix} \partial_v \varphi(u_i, v_j) \cdot k_j \\ \partial_v \varphi(u_i, v_j) \cdot k_j \end{pmatrix} = k_j \partial_v \underline{\Phi}(u_i, v_j)$$

und daher

$$|\underline{\Phi}(R_{ij})| \approx |\det(\tilde{v}, \tilde{w})| = |\det D\underline{\Phi}(u_i, v_j)| / |h_i k_j| = \underbrace{|\det D\underline{\Phi}(u_i, v_j)|}_{\text{Jacobi Matrix}} / |R_{ij}|$$

Aufgabe 1
Mit dieser Flächenintegrität ergibt sich

$$\int_B f(x,y) dx dy \approx \sum_{i,j} f(\varphi(u_i, v_j), \varphi(u_i, v_j)) / \det D\bar{\Phi}(u_i, v_j) / |R_{ij}|$$

$h, k \rightarrow 0, \text{d.h. } |R_{ij}| \rightarrow 0$

$$\int_V f(\underline{\Phi}(u, v)) / \det D\bar{\Phi}(u, v) / du dv$$

Das Integral transformiert also mit dem Betrag der Determinante der Jacobi-Matrix der Koordinatentransformation.

Ein strenger Beweis dieser Aussage ist sehr aufwendig [siehe Hauser 2, § 205]. Wirholten hier das Resultat exakt fest.

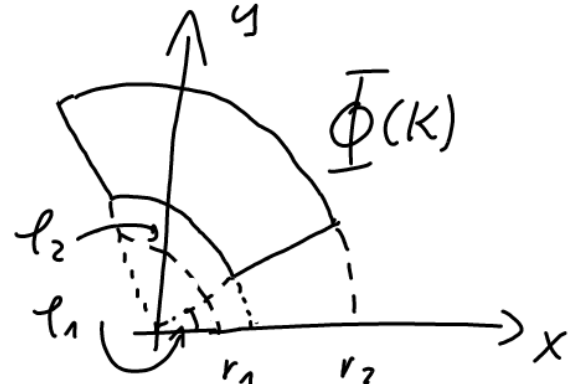
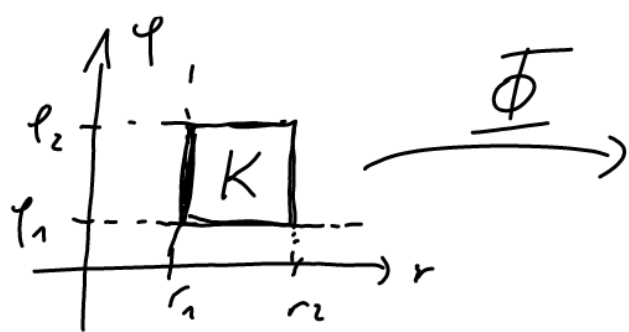
(iv) TH17 (Substitutionsregel) Sei $U \subseteq \mathbb{R}^n$ offen,
 $\underline{\Phi}: U \rightarrow \mathbb{R}^m$ eine injektive C^1 -Fkt mit
 $\det D\underline{\Phi}(u) \neq 0 \forall u \in U$. Für $K \subseteq U$ l.p. & messbar
und $f: \underline{\Phi}(K) \rightarrow \mathbb{R}$ stetig gilt dann

$$\int_{\underline{\Phi}(K)} f(x) dx = \int_K f(\underline{\Phi}(u)) / \det D\bar{\Phi}(u) / du$$

Diese Aussage gilt auch noch falls die Voraussetzungen
auf $\underline{\Phi}$ auf einer J -Nullmenge verletzt sind (X)

(vi) BSP (Polarkoordinaten) $\underline{\Phi}(r, \varphi) = \begin{pmatrix} r \cos(\varphi) \\ r \sin(\varphi) \end{pmatrix}$

 $D\underline{\Phi}(r, \varphi) = \begin{pmatrix} \cos(\varphi) & -r \sin(\varphi) \\ \sin(\varphi) & r \cos(\varphi) \end{pmatrix}, \text{ det } D\underline{\Phi}(r, \varphi) = r$



[6] 4.5(vi) $\Rightarrow \underline{\Phi}$ Diffe in einer Umgebung jedes Pts $(r, \varphi), r > 0$

$\cup \in ZG(5) \Rightarrow \underline{\Phi}$ injektiv $U = \{(r, \varphi) \mid r > 0, 0 < \varphi < 2\pi\} \rightarrow \mathbb{R}^2 \setminus \{(0, 0)\}$

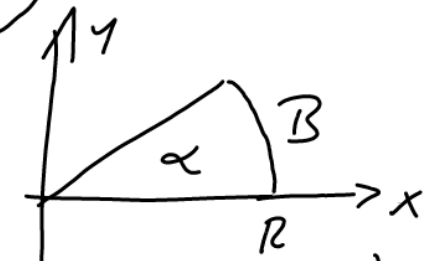
Daher gilt für jedes Rechteck $K = \{(r, \varphi) \mid r_1 \leq r \leq r_2, \varphi_1 \leq \varphi \leq \varphi_2\}$
mit $0 < r, 0 < \varphi_1, \varphi_2 < 2\pi$ und ob'lemmer für jede
 λ , messbare Menge $M \subseteq U$ [Hausur 2, §208]

$$\left\{ \begin{aligned} \int_{\underline{\Phi}(K)} f(x, y) d(x, y) &= \int_K f(r \cos(\varphi), r \sin(\varphi)) r d(r, \varphi) \\ &= \int_{\varphi_1}^{\varphi_2} \int_{r_1}^{r_2} f(r \cos(\varphi), r \sin(\varphi)) r dr d\varphi. \end{aligned} \right.$$

nur für K Rechteck

Reihenfolge egal

z.B Kreissektor mit Winkel α , Radius R



$$B = \underline{\Phi}(K) \text{ mit } K = [0, R] \times [0, \alpha] \quad (\text{beachte } \alpha \text{ in } (r, \varphi))$$

$$|B| = \int_{\underline{\Phi}(K)} 1 d(x, y) = \int_K r d(r, \varphi) = \int_0^R \int_0^\alpha r dr d\varphi = \int_0^R \frac{1}{2} r^2 |d\varphi| = \frac{R^2}{2} \int_0^\alpha d\varphi = \frac{R^2}{2} \alpha$$

(vi) Bsp (Ellipsenfläche) $B = \{f(x,y) / \frac{x^2}{a^2} + \frac{y^2}{b^2} = 1\}$ $a>b>0$

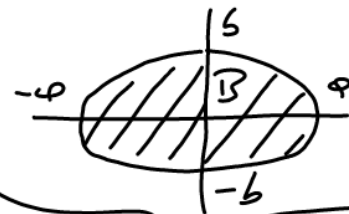
$$\text{Sei } \Phi(r, \varphi) = r \begin{pmatrix} \cos(\varphi) \\ b \sin(\varphi) \end{pmatrix}$$

$$B = \overline{\Phi}([0,1] \times [0, 2\pi]) \quad (\text{ beachte da in (iv)})$$

$$|B| = \int_B 1 d(x,y)$$

$$= \int \left| \det D\Phi(r, \varphi) \right| dr d\varphi$$

$$= \int_0^{2\pi} \int_0^1 abr dr d\varphi = ab \frac{1}{2} 2\pi = \underline{\underline{ab\pi}} \quad \begin{aligned} & [\text{Kreis: } a=b=r \\ & \Rightarrow |B| = r^2 \pi] \end{aligned}$$



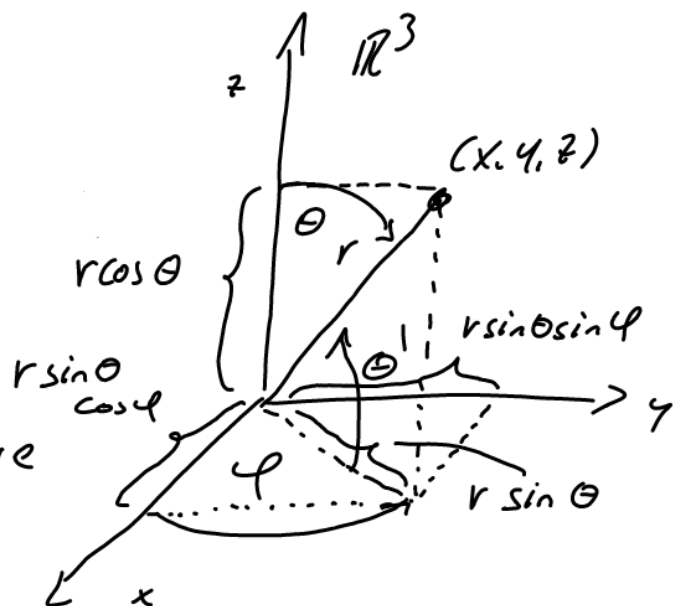
elliptische Koordinaten
alle räumliche analoge (v)

$$\det D\Phi(r, \varphi) = abr$$

(vi) Bsp (Kugelkoordinaten)

$$\Phi(r, \varphi, \theta) = \begin{pmatrix} r \cos \varphi \sin \theta \\ r \sin \varphi \sin \theta \\ r \cos \theta \end{pmatrix}$$

Aktion: Es gibt auch eine andere Konvention mit θ' statt θ
[Hesse], wir verwenden die



[Försler]-Konvention vgl. auch UE 24/16]

UE 24/16] $\Rightarrow \det D\Phi(r, \varphi, \theta) = -r^2 \sin \theta$ und Φ ist injektiv auf $U = (0, \infty) \times (0, 2\pi) \times (0, \pi)$.

Drehpfeil für jedes Rechteck $K = [r_1, r_2] \times [\varphi_1, \varphi_2] \times [\theta_1, \theta_2]$
mit $0 < r_1 < r_2$, $0 < \varphi_1 < \varphi_2 < 2\pi$, $0 < \theta_1 < \theta_2 < \pi$ bzw
allgemein für $K \subseteq U$ kp & messbar

$$\int \int \int f(x, y, z) d(x, y, z) = \int \int \int f(r \cos \varphi \sin \theta, r \sin \varphi \sin \theta, r \cos \theta) r^2 \sin \theta dr d\varphi d\theta$$

$\int \int \int f(\dots) r^2 \sin \theta dr d\theta d\varphi$

AUF FOLIE

$\oint(K)$

$r_1 \leq r \leq r_2$

$\theta_1 \leq \theta \leq \theta_2$

φ

nur falls Rechteck

Reihenfolge epol

z.B. KUGELVOLUMEN

$$B = K_R(O) = \{ (x, y, z) / x^2 + y^2 + z^2 \leq R^2 \} \quad R > 0$$

$$= \oint([0, R] \times [0, 2\pi] \times [0, \pi])$$

(beachte (*) in (ir))

$$|B| = \int 1 d(x, y, z)$$

$$B = \int_0^{2\pi} \int_0^\pi \int_0^R r^2 \sin \theta dr d\theta d\varphi = 2\pi \int_0^\pi \sin \theta d\theta \int_0^R r^2 dr$$

$$= 2\pi \underbrace{(-\cos \theta)}_0 \Big|_0^{\pi} \frac{R^3}{3} = \underbrace{\frac{4\pi}{3} R^3}$$

[8]

KOMPLEXE ANALYSIS

- EINE EINLADUNG

8.1 INTRO. In diesem letzten Teil der Vo unternehmen wir einen kleinen Spaziergang durch die Grundlagen der komplexen Analysis - also der Analysis von Fkt

$$f: \mathbb{C} \rightarrow \mathbb{C}. \quad (*)$$

Dieses reiche & schöne Gebiet befasst sich vor allem mit komplex differenzierbaren Fkt wie in (*).

Diese werden auch als holomorphe oder analytische Fkt bezeichnet - wobei es berücksichtigt ist, dass diese eigentlich eipenständigen Begriffe zusammenfallen.

Holomorphe Fkt sind in der gesamten Mathematik weit verbreitet und tatsächlich sind uns auch schon viele solcher Fkt begegnet: So ist etwa die komplexe Exp-Fkt [12] 3.12 ebenso holomorph wie die Cos- & Sinusfunktion oder Polynome wenn man sie als Fkt einer komplexen Variable auffasst.

Es stellt sich heraus, dass die holomorphen Fkt erstaunliche Eigenschaften besitzen und merkwürdige Strukturen besitzen - die man sonst nicht erhält, wenn man sie nur mit der reellen Brille "ansieht".

8.2 VH: WAS VIEZ SICH ACHEIS ÜBER \mathbb{C} WISSEN

(i) $\mathbb{C} := \mathbb{R}^2$, wobei wir $\mathbb{C} \ni z = x+iy$ mit dem Paar $(x, y) \in \mathbb{R}^2$ identifizieren.

$\left. \begin{matrix} \text{Im}(z) \\ \text{Re}(z) \end{matrix} \right\}$

\mathbb{C} wird mit der Multiplikation

$$z_1 \cdot z_2 = (x_1+iy_1)(x_2+iy_2) = x_1x_2 - y_1y_2 + i(x_1y_2 + x_2y_1)$$

zum Körper [10] 1.6]. Die Zahl $i^0 = (0, 1)$ ist die imaginäre Einheit und erfüllt $\underline{i^2 = -1}$

\mathbb{C} kann zwar nicht zu einem geordneten Körper gemacht werden, aber der komplexe Betrag [12] 3.10]

$$|z| := \sqrt{z\bar{z}} = \sqrt{x^2 + y^2} = \sqrt{\text{Re}(z)^2 + \text{Im}(z)^2}$$

ermöglicht es Konvergenz von Folgen & Reihen sowie Stetigkeit von Fkt. völlig analog zum reellen Fall zu betrachten [Es muß nur der reelle Betrag durch den komplexen Betrag ersetzt werden.] Es ist eine einfache Konsequenz der Vollständigkeit von \mathbb{R} , dass jede Cauchy-Folge in \mathbb{C} konvergiert, obwohl \mathbb{C} volleständig ist [12] 3.10(4)].

8.3 FUNKTIONEN AUF \mathbb{C} & IHRE DIFFERENZIERBARKEIT

(i) Fkt auf \mathbb{C} . Sei $G \subseteq \mathbb{C}$ offen [d.h. jedes $z \in G$ besitzt eine „Schutzkugel“ $U_\varepsilon(z) := \{w \in \mathbb{C} : |w-z| < \varepsilon\}$],

die punkt in G liegt - vgl. [6] 1.11], $f: G \rightarrow \mathbb{C}$

Wir schreiben

$$f(z) = \operatorname{Re} f(z) + i \operatorname{Im} f(z)$$

und erhalten daraus 2 reelle Fkt ($G \subseteq \mathbb{R}^2$ aufgefasst)

$$u: G \rightarrow \mathbb{R}, u(x,y) := \operatorname{Re} f(x+iy)$$

$$v: G \rightarrow \mathbb{R}, v(x,y) := \operatorname{Im} f(x+iy)$$

sodass

$$f(x+iy) = u(x,y) + iv(x,y)$$

gilt, wir sehen dann

$$F: \mathbb{R}^2 \ni (x,y) \mapsto F(x,y) = \begin{pmatrix} u(x,y) \\ v(x,y) \end{pmatrix}$$

Vectorfeld
auf $G \subseteq \mathbb{R}^2$

(ii) DEF $f: G \rightarrow \mathbb{C}$ heißt komplex differenzierbar in $z_0 \in G$,

} folgt

$$\lim_{z \rightarrow z_0} \frac{f(z) - f(z_0)}{z - z_0} \quad (\text{ob eigentlicher (imc)})$$

existiert. In diesem Fall heißt der Wert $f'(z_0) \in \mathbb{C}$ die komplexe Ableitung von f in z_0 . Ist f in allen Punkten $z_0 \in G$ diff., so heißt f komplex diffbar auf G und wir erhalten die Ableitungsfl $f': G \rightarrow \mathbb{C}, z \mapsto f'(z)$

(iii) Einfache Folgerungen: Genauso wie im Reellen geht man

- f kompl. diffbar in $z_0 \Leftrightarrow \exists \alpha \in \mathbb{C} \quad \exists r: \mathbb{C} \ni h \mapsto r(h) \in \mathbb{C}$

$$f(z_0+h) - f(z_0) = \alpha \cdot h + r(h), \quad \frac{r(h)}{h} \rightarrow 0 \quad (h \rightarrow 0)$$

- f komp. diffbar in $z_0 \Rightarrow f$ stetig in z_0

(ir) Komplexe vs reelle Differenzierbarkeit - die Cauchy-Riemann

Wir beantworten die Frage, was Differentialgleichungen

eine komplexe diffbare Abb $f: \mathbb{C} \rightarrow \mathbb{C}$ von einer reell diffbaren Abb $F: \mathbb{R}^2 \rightarrow \mathbb{R}^2$ unterscheidet.

Die Jacobi-Matrix $D\bar{F}(x_0, y_0)$ im Pkt $(x_0, y_0) \in \mathbb{R}^2$ stellt eine lin. Abb $\mathbb{R}^2 \rightarrow \mathbb{R}^2$ dar. Die komplexe Ableitung $f'(z_0)$ im Pkt $z_0 = x_0 + iy_0 \in \mathbb{C}$ vermittelt die lin. Abb: $\mathbb{C} \ni z \mapsto f'(z_0) \cdot z \in \mathbb{C}$ obo die Multiplikation mit der komplexen Zahl $f'(z_0)$.

Wir müssen also fragen, wann eine reelle (2×2) -Matrix die Multiplikation mit einer komplexen Zahl darstellt: Es gilt

$$\begin{aligned} \mathbb{C} \ni z = x+iy \mapsto \alpha \cdot z &= (\alpha+ib)(x+iy) \\ &= \underbrace{\alpha x - by}_{\alpha} + i(\alpha y + bx). \end{aligned}$$

Diese Abb. wird dargestellt von

$$\begin{pmatrix} x \\ y \end{pmatrix} \mapsto \begin{pmatrix} \alpha & -b \\ b & \alpha \end{pmatrix} \begin{pmatrix} x \\ y \end{pmatrix} = \begin{pmatrix} \alpha x - by \\ bx + \alpha y \end{pmatrix}.$$

Aber muss eine solche reelle (2×2) -Matrix von der Gestalt $\begin{pmatrix} \alpha & -b \\ b & \alpha \end{pmatrix}$ sein. Für die Jacobi-Matrix von $D\bar{F}$ von $\bar{F} = (u, v)$

$$D\bar{F}(x, y) = \begin{pmatrix} \frac{\partial u}{\partial x} & \frac{\partial u}{\partial y} \\ \frac{\partial v}{\partial x} & \frac{\partial v}{\partial y} \end{pmatrix} \text{ bedeutet das } \boxed{\frac{\partial u}{\partial x} = \frac{\partial v}{\partial y}, \frac{\partial u}{\partial y} = -\frac{\partial v}{\partial x}}$$

Wir haben oben bewiesen

SATZ: Sei $f: G \rightarrow \mathbb{C}$ mit zugeordnete Abb $F = \begin{pmatrix} u \\ v \end{pmatrix}$:
 $G \rightarrow \mathbb{R}^2$ dann gilt:

$\left\{ \begin{array}{l} f \text{ komplex diffbar} \\ \text{auf } G \end{array} \right\} \Leftrightarrow \begin{array}{l} \text{Freiell diffbar auf } G \\ \text{und es gilt} \quad \begin{cases} \partial_x u = \partial_y v \\ \partial_y u = -\partial_x v \end{cases} \end{array}$

(v) Holomorphe Flkt

$\left\{ \begin{array}{l} \text{disc. s.p.} \\ \text{Cauchy-Riemann-} \\ \text{Differenzialpl. (CRDG)} \end{array} \right\}$

Wie im reellen ist es praktischer nicht bloß diffbare Flkt zu betrachten, sondern C^1 -Flkt, diese heißen holomorphe Flkt; genauer

DEF: $f: G \rightarrow \mathbb{C}$ heißt holomorph, falls f auf G kompl. diffbar und stetige Ableitung $f': G \rightarrow \mathbb{C}$ ist.

Aus (iv) folgt sofort: f holomorph $\Leftrightarrow \begin{cases} F \in C^1 \text{ and es} \\ \text{gilt CRDG} \end{cases}$

(vi) Man kann sogar zeigen:

SATZ VON CAUCHY: Jede komplex differenzierbare Flkt ist automatisch holomorph.

Siehe dazu auch 8.9.

Bemerkung: großer Unterschied zu reeller Analysis

(vii) BSP: • $f: \mathbb{C} \rightarrow \mathbb{C}$, $f(z) = e^z := \sum_{k=0}^{\infty} \frac{z^k}{k!}$ [B3.12]
ist holomorph, dann mit $z = x+iy$ gilt

$$e^z = e^{x+iy} = \underbrace{e^x}_{\text{[2] 3.15}} e^{iy} = \underbrace{e^x \cos(y)}_{\text{[2] 3.17}} + i \underbrace{e^x \sin(y)}_{=: v(x,y)} = : u(x,y) \quad \hookrightarrow v(x,y)$$

und $\partial_x u = e^x \cos(y) = \partial_y v$

$$\partial_y u = -e^x \sin(y) = -\partial_x v \Rightarrow (\text{CRD}\zeta) \underset{\zeta \in C^1}{\Rightarrow} \text{holomorph}$$

- $h: \mathbb{C} \rightarrow \mathbb{C}, h(z) = \sin(z)$ Analog zu [2] 3.17(iii)
 $= \sum_{k=0}^{\infty} \frac{(-1)^k}{(2k+1)!} z^{2k+1} = \frac{e^{iz} - e^{-iz}}{2i}$

ist holomorph mit

$$h'(z) = \frac{ie^{iz} + ie^{-iz}}{2i} = \frac{e^{iz} + e^{-iz}}{2} = : \cos(z)$$

- $\varphi: \mathbb{C} \rightarrow \mathbb{C}, \varphi(z) = \bar{z}$, dh $\varphi(x+iy) = x-iy$

$$u(x,y) = x, v(x,y) = -y$$

$$\partial_x u = 1 \neq -1 = \partial_y v \Rightarrow \text{nicht holomorph}$$

8.4 KOMPLEXE VEGINTTEGRACE

(i) Notation & Terminologie. Einen Weg $\gamma: [a,b] \rightarrow \mathbb{C}$, $\gamma(t) = x(t) + iy(t)$ identifizieren wir mit dem Keg $\tilde{\gamma}: [a,b] \rightarrow \mathbb{R}^2$ $t \mapsto (x(t), y(t))$. Alle Begriffe für Keg $\tilde{\gamma}$ aus [2] §1-2 übertragen sich somit auf komplexe Wege. Insbesondere entspricht $\dot{\gamma}(t) = \dot{x}(t) + i\dot{y}(t)$ dem Geschwindigkeitsvektor $\begin{pmatrix} \dot{x}(t) \\ \dot{y}(t) \end{pmatrix}$.

(ii) Def (Wegintegral) Sei $\gamma: [a,b] \rightarrow \mathbb{C}$ stückweise \mathcal{C}^1 ,

$\left\{ f: \mathbb{C} \rightarrow \mathbb{C} \text{ stetig, dann hat } \int_C f(z) dz \right.$

$$\int_\gamma f(z) dz := \int_a^b f(\gamma(t)) \cdot \dot{\gamma}(t) dt \quad \text{in } \mathbb{C}$$

Wegintegral von f längs γ

(iii) Reelle Schreibweise: Mit Hols $f(x+iy) = u(x,y) + i v(x,y)$

und $\delta(t) = x(t) + iy(t)$ schreibt sich (ii) als

$$\begin{aligned} \int_{\gamma} f(z) dz &= \int_0^1 f(\delta(t)) \cdot \dot{\delta}(t) dt = \int_0^1 \left(\begin{pmatrix} u \\ -v \end{pmatrix}(t) dt + i \int_0^1 \left(\begin{pmatrix} v \\ u \end{pmatrix}(t) dt \right. \right. \\ &\quad \left. \left. + \left(u(x(t), y(t)) + iv(x(t), y(t)) \right) (\dot{x}(t) + i \dot{y}(t)) \right) \right. \\ &= u(x(t), y(t)) \dot{x}(t) - v(x(t), y(t)) \dot{y}(t) \\ &\quad + i (u(x(t), y(t)) \dot{y}(t) + v(x(t), y(t)) \dot{x}(t)) \\ &= \left\langle \begin{pmatrix} u(x(t), y(t)) \\ -v(x(t), y(t)) \end{pmatrix} \middle| \begin{pmatrix} \dot{x}(t) \\ \dot{y}(t) \end{pmatrix} \right\rangle + i \left\langle \begin{pmatrix} v(-) \\ u(-) \end{pmatrix} \middle| \begin{pmatrix} \dot{x}(t) \\ \dot{y}(t) \end{pmatrix} \right\rangle \end{aligned}$$

(iv) Bsp. $\delta(t) = z_0 + re^{it} = z_0 + r(\cos(t) + i \sin(t))$

$$\Rightarrow \dot{\delta}(t) = r(-\sin(t) + i \cos(t)) = ire^{it}$$

$$\begin{aligned} \int_{\gamma} \frac{1}{z-z_0} dz &= \int_0^{2\pi} \frac{1}{re^{it}} ire^{it} dt \\ &= i \int_0^{2\pi} 1 dt = 2\pi i, \quad \text{Kreis mit Radius } r \text{ um } z_0 \text{ und逆时针方向} \\ &\quad \text{für } m \in \mathbb{Z} \end{aligned}$$

$$\begin{aligned} \int_{\gamma} (z-z_0)^m dz &= \int_0^{2\pi} (re^{it})^m ire^{it} dt = ir^{m+1} \int_0^{2\pi} e^{it(m+1)} dt \\ &= ir^{m+1} \left[\underbrace{\int_0^{2\pi} \cos((m+1)t) dt}_{=0} + i \underbrace{\int_0^{2\pi} \sin((m+1)t) dt}_{=0} \right] \\ &= \begin{cases} \int_0^{2\pi} dt = 2\pi & (m=-1) \\ \int_0^{2\pi} \frac{\cos t}{m+1} dt = 0 & (m \neq -1) \end{cases} \quad \left[\text{vgl. 15. Satz} \right] \end{aligned}$$

$$\Rightarrow \int_{\gamma} (z-z_0)^m dz = \begin{cases} 2\pi i & (m=-1) \\ 0 & \text{sonst} \end{cases}$$

Ein geometrisches
Resümee ist der
folgende Satz

8.5 DER INTEGRALSATZ VON CAUCHY

(offen + sternf.
vgl. [7] 2.5(civ))

(i) Thm. Sei $G \subseteq \mathbb{C}$ ein sternförmiges Gebiet und sei

$f: G \rightarrow \mathbb{C}$ holomorph. Dann gilt

$$\int_{\gamma} f(z) dz = 0$$

für jeden geschlossenen stückweisen \mathcal{C}^1 -Weg γ in G .

(ii) Bem (zur Bedeutung von (i)) Im Hinblick auf [7] §2 (vgl. insbes [7] 2.5(viii)) kann die Bedeutung von (i) por-nicht überschätzt werden. Im Kern besagt das Thm., dass holomorphe Flächen automatisch die Integrierbarkeitsbedingungen erfüllen – der Beweis zeigt jedoch, dass die (CRDG) die Integrierbarkeitsbed. sind.

(iii) Beweis: Wiederschreiben wir $f(x+iy) = u(x,y) + i v(x,y)$

f holomorph \Rightarrow (CRDS) $\partial_x u = \partial_y v$, $\partial_y u = -\partial_x v$

\Rightarrow die VF $\begin{pmatrix} u \\ v \end{pmatrix}, \begin{pmatrix} u \\ -v \end{pmatrix}$ erfüllen die

Daher

$$\int_{\gamma} f(z) dz \stackrel{8.5(iii)}{=} \int_{\gamma} \begin{pmatrix} u \\ -v \end{pmatrix} + i \int_{\gamma} \begin{pmatrix} u \\ v \end{pmatrix} \stackrel{[7] 2.5(vii)}{=} 0 + i 0 = 0 \quad [\square]$$

(iv) Konsequenzen des (i). Völlig analog zu [7] 2.5(iv) zeigt man, dass holomorphe Flächen unobstruksi-Integrale haben und analog zu [7] 2.6(iii), [7] 2.6(iv) ergibt sich eine komplexe Version des HsDI. Die wichtigste Konsequenz des den Cauchyschen Integrirovan ist:

8.6 Die Cauchysche Integralformel

(i) Thm. Sei $f: G \rightarrow \mathbb{C}$ holomorph auf dem Gebiet G und sei Γ ein pos. orientierter Kreis innerhalb von G . Dann gilt für jedes z innerhalb von Γ die Formel

$$f(z) = \frac{1}{2\pi i} \int_{\Gamma} \frac{f(\xi)}{\xi - z} d\xi \quad [\text{tetra}]$$

(ii) Bedeutung von (i): Die Formel besagt insbesondere, dass die Werte einer holomorphen Funktion innerhalb einer Kreisscheibe schon allein durch die Werte am Randkreis Γ bestimmt sind!

(iii) Beweiskette: Seien z, Γ wie im Thm. Wöhle einen kleinen Kreis Γ_0 um z der innerhalb von Γ liegt.

(1) Da $\xi \mapsto \frac{f(\xi) - f(z)}{\xi - z}$ holomorph auf $G \setminus \{z\}$ ist, gilt

$$\int_{\Gamma} \frac{f(\xi) - f(z)}{\xi - z} d\xi = \int_{\Gamma_0} \frac{f(\xi) - f(z)}{\xi - z} d\xi \quad (*)$$

denn

$$\int_{\Gamma} - \int_{\Gamma_0} = \int_{\delta} + \int_{\rho} = 0 \quad (8.5(i))$$

Analog erhalten wir

$$\int_{\Gamma} \frac{d\xi}{\xi - z} = \int_{\Gamma_0} \frac{d\xi}{\xi - z} \quad (***)$$

(2) Wir rechnen

$$\begin{aligned}
 \frac{1}{2\pi i} \int_{\Gamma} \frac{f(s)}{s-t} &= \frac{1}{2\pi i} \int_{\Gamma} \frac{f(t) + f(\xi) - f(t)}{\xi - t} d\xi \\
 &= \frac{f(t)}{2\pi i} \int_{\Gamma} \frac{d\xi}{\xi - t} + \frac{1}{2\pi i} \int_{\Gamma} \frac{f(\xi) - f(t)}{\xi - t} d\xi \\
 &\stackrel{(*)}{=} \underbrace{\frac{f(t)}{2\pi i} \int_{\Gamma_0} \frac{d\xi}{\xi - t}}_{= 2\pi i [8.4(cir)]} + \underbrace{\frac{1}{2\pi i} \int_{\Gamma_0} \frac{f(\xi) - f(t)}{\xi - t} d\xi}_{=: h(t)}
 \end{aligned}$$

(3) Wir sagen $h(t) = 0$; dann für h .

$$\begin{aligned}
 f \text{ stetig} \Rightarrow \forall \varepsilon > 0 \ \exists r_0 \text{ Radius von } \Gamma_0 \text{ s.d. } \left| \frac{f(\xi) - f(t)}{\xi - t} \right| < \frac{\varepsilon}{r_0} \quad \forall \xi \in \Gamma_0 \\
 \Rightarrow \underbrace{\left| h(t) \right|}_{\Gamma_0} \leq \frac{1}{2\pi} \int_{\Gamma_0} \left| \frac{f(\xi) - f(t)}{\xi - t} \right| d\xi \\
 < \frac{1}{2\pi} \frac{\varepsilon}{r_0} L(\Gamma_0) = \frac{1}{2\pi} \frac{\varepsilon}{r_0} 2\pi r_0 = \varepsilon \quad \square
 \end{aligned}$$

8.7 POTENTZREIHEN

(i) Intro. Wir sagen jetzt, dass komplexe Potenzreihen holomorphe Flächen definieren. Das ist eine Erweiterung von 15] Prop 2.15, die besagt, dass reelle \mathbb{R} C^∞ -Flächen darstellen.

Wir beginnen mit unseren Überlegungen und formulieren erst danach das Resultat.

Erinnerung: In 15] §2 haben wir ja schon einige ähnliche komplexe PR gefunden...

(ii) Komplexe PR. Sei $\sum_{k=0}^{\infty} c_k (z-z_0)^k$ eine PR mit KR $R > 0$ 230

und

$$f: \mathcal{B}_R(z_0) \rightarrow \mathbb{C}, f(z) := \sum_{k=0}^{\infty} c_k (z-z_0)^k \quad (*)$$

ihre Summenfkt. Fkt f mit einer PR-Darstellung $(*)$
heißen analytisch.

(iii) Wir wollen nun analytische Fkt kompl. differenzieren und beginnen mit einer Vorbereitung:

$$\text{Sei } z_1 \in \mathcal{B}_R(z_0), z_1 \neq z$$

Binom. LS

$$\Rightarrow (z-z_0)^k = ((z-z_1) + (z_1-z_0))^k = \sum_{l=0}^k \binom{k}{l} (z_1-z_0)^{k-l} (z-z_1)^l$$

$$\binom{k}{l} = 0 \text{ für } l > k$$

$$= \sum_{l=0}^{\infty} \binom{k}{l} (z_1-z_0)^{k-l} (z-z_1)^l$$

$$\Rightarrow f(z) = \sum_{k=0}^{\infty} c_k (z-z_0)^k = \sum_{k=0}^{\infty} c_k \sum_{l=0}^{\infty} \binom{k}{l} (z_1-z_0)^{k-l} (z-z_1)^l$$

abs. konv.

$$= \sum_{l=0}^{\infty} \sum_{k=0}^{\infty} c_k \binom{k}{l} (z_1-z_0)^{k-l} (z-z_1)^l$$

$\binom{k}{l} = 0$ für $k < l$

$$= \sum_{l=0}^{\infty} \left(\underbrace{\sum_{k=0}^{\infty} c_k \binom{k}{l} (z_1-z_0)^{k-l}}_{=: b_l (z-z_1)^l} \right) (z-z_1)^l = \sum_{l=0}^{\infty} b_l (z-z_1)^l$$

Jetzt können wir den
Differenzierpunkt berechnen:

Entwicklung mit
Entwickelpunkt $\underline{z_1}$!

$$\begin{aligned} \frac{f(z) - f(z_1)}{z - z_1} &= \frac{\sum_{l=0}^{\infty} b_l (z-z_1)^l - b_0}{z - z_1} = \frac{b_1 (z-z_1) + b_2 (z-z_1)^2 + \dots}{z - z_1} \\ &\sim b_1 + b_2 (z-z_1) + b_3 (z-z_1)^2 + \dots \rightarrow b_1 \quad (z \rightarrow z_1) \end{aligned}$$

$\Rightarrow f$ komplex diffbar in t_1 mit

$$\overbrace{f'(t_1)} = b_1 \stackrel{(*)}{=} \sum_{k=1}^{\infty} c_k (t_1)^k (t_1 - t_0)^{k-1} = \sum_{k=1}^{\infty} c_k k (t_1 - t_0)^{k-1}$$

W \in t_1 in $B_R(t_0)$ beliebig vor gilt insbesondere

- f komplex diffbar auf $B_R(t_0)$ und
- $f' : B_R(t_0) \rightarrow \mathbb{C}$ ist durch die plausivweise differenzierte Reihe gegeben.

[6] 7.5

\Rightarrow Konvergenzradius der analytischen Reihe ist mindestens R
 $\Rightarrow f'$ stetig auf $B_R(t_0)$

$\Rightarrow f$ holomorph auf $\overbrace{B_R(t_0)}$

Wir haben also gezeigt: $\left\{ \begin{array}{l} \text{analytisch} \Rightarrow \text{holomorph} \\ \text{per konstr.} \end{array} \right.$

(iii) SATT (Potenzreihen definieren holomorphe Fkt.)

Sei $\sum c_k (z - z_0)^k$ eine PR mit KIR R . Dann ist die Summenfkt $f(z) = \sum c_k (z - z_0)^k$ holomorph auf $B_R(z_0)$ und die Ableitung kompliziert berechnet werden, d.h. $f'(z) = \sum k c_k (z - z_0)^{k-1}$.

Dies weiteren folgt durch Iteration [Vpl. 15] 7.15] dass analytische Fkt beliebig oft kompl. diffbar sind.

(iv) Es ist eine weitere Folgerung aus dem Cauchyschen Interpolationsatz bzw. der Interpolationsformel, dass auch eine Umkehrung von (iii) gilt. Dies besprechen wir nun.

8.8 Entwicklungssatz



(i) THM. Sei $G \subseteq \mathbb{C}$ offen und sei $f: G \rightarrow \mathbb{C}$ holomorph.

Sei $z_0 \in G$ und $U_r(z_0)$ die geöffnete Kreisscheibe mit Mittelpunkt z_0 sodass $\overline{U_r(z_0)} = K_r(z_0) \subseteq G$ [vgl. 1.31].

Dann gilt das $\forall z \in U_r(z_0)$ eine eindeutige PR-Entwicklung

$$\boxed{f(z) = \sum_{k=0}^{\infty} c_k (z - z_0)^k.}$$

Dabei sind die Koeffizienten c_k gegeben durch

$$\boxed{c_k = \frac{1}{2\pi i} \int_{|z-z_0|=r} \frac{f(\zeta)}{(\zeta - z_0)^{k+1}} d\zeta.}$$

(ii) Bemerke, dass das analoge Resultat für C^∞ -Fkt auf \mathbb{R} falsch ist. In [5] Bsp 3.12 haben wir gesehen, dass $f(x) = \begin{cases} e^{-1/x^2} & x \neq 0 \\ 0 & x = 0 \end{cases} \in C^\infty(\mathbb{R})$ keine PR-Entwicklung hat - vgl [5] 3.17). Dort mussten wir die Fuge offenlassen, welche reellen C^∞ -Fkt eine Entwicklung haben - wir kommen am Ende der Begründung zurück.

(iii) Beweisskizze. ObdA sei $z_0 = 0, z \in U_r(0)$.

Dann gilt

$$\begin{aligned} f(z) &= \frac{1}{2\pi i} \int_{|\zeta|=r} \frac{f(\zeta)}{\zeta - z} d\zeta = \frac{1}{2\pi i} \int_{|\zeta|=r} \frac{f'(\zeta)}{\zeta} \frac{1}{1 - \frac{z}{\zeta}} d\zeta \quad \left\{ \begin{array}{l} \text{um} = \sum_{n=0}^{\infty} \left(\frac{z}{\zeta}\right)^n \\ \text{geom. Reihe} \\ |\zeta| < |z| \\ \text{da } z \in U_r(0) \end{array} \right. \\ &= \frac{1}{2\pi i} \int_{|\zeta|=r} \sum_{n=0}^{\infty} \frac{f^{(n)}(\zeta)}{\zeta^{n+1}} z^n = \text{konv. glm} \quad \sum_{n=0}^{\infty} \left(\frac{1}{2\pi i} \int_{|\zeta|=r} \frac{f(\zeta)}{\zeta^{n+1}} d\zeta \right) z^n \end{aligned} \quad \boxed{\square}$$

8.9 Die fabelhafte Welt der Holomorphen Fkt.

(i) Wie bereits in 8.1 angekündigt, sind komplexe diffbare Fkt. sehr „schöne“ Fkt. Wir fassen uns die bezüglichen Resultate zusammen:

TH.7. Sei $G \subseteq \mathbb{C}$ offen, $f: G \rightarrow \mathbb{C}$ stetig. Dann sind
die folgenden Aussagen alle äquivalent:

(i) f kompl. diffbar.

(ii) f ist holomorph.

(iii) f ist analytisch, d.h. $f(z) = \sum_{k=0}^{\infty} c_k (z - z_0)^k$ in einer Umgebung

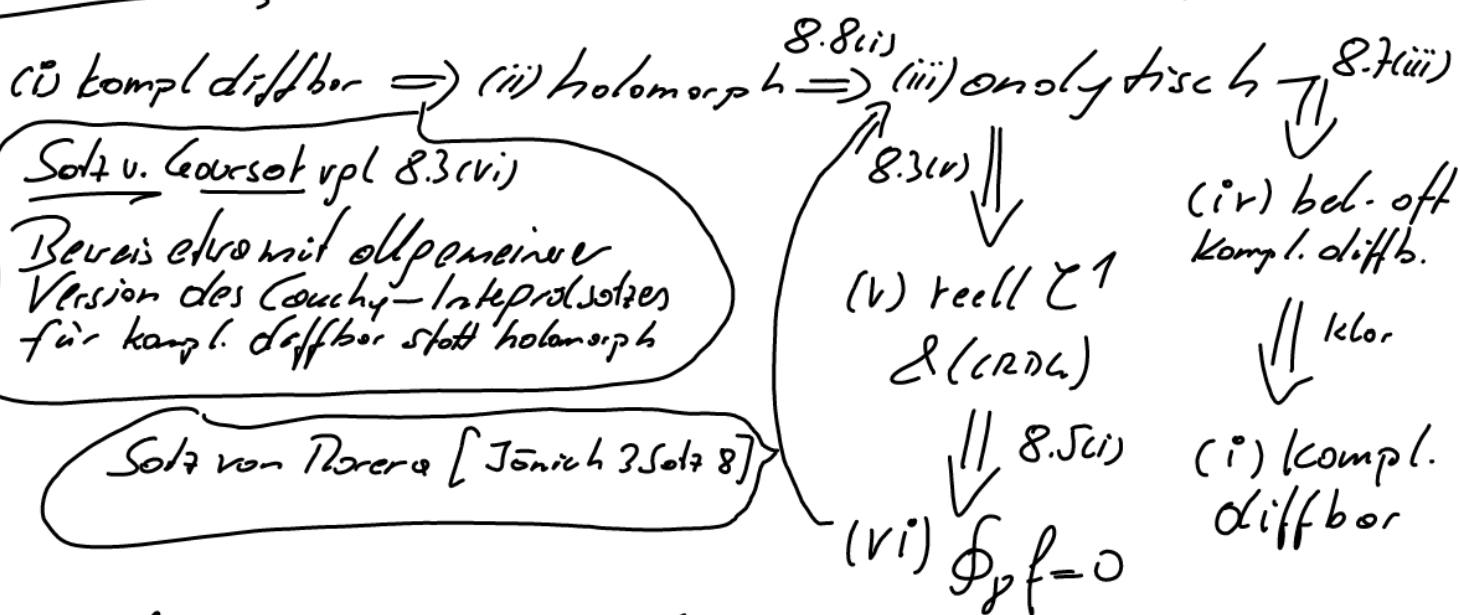
(iv) f ist beliebig oft kompl. diffbar. $\quad \quad \quad$ jedes Punkt $z_0 \in G$.

(v) f ist reell C^1 & wertetändig (CRDG).

(vi) $\oint_{\gamma} f = 0$ für alle geschlossenen Wege $\gamma \subseteq U_r(z_0) \subseteq G$.

(vii) f hat in jedem Punkt eine (lokale) Stromfkt.

Beweisskizze [Fast alles haben wir schon erwähnt, viel später bewiesen.]



(i) f kompl. db. \iff (vii) lok. Stromf. \iff 8.5(iv)

$$F^1 = f \& (iv)$$

(ii) Weitere schöne Eigenschaften holomorpher Fkt., (die allerdings auch zeigen, dass holomorphe Fkt. sehr speziell sind) sind etwa:

SATZ V. LIOUVILLE: Jede Fkt. $f: \mathbb{C} \rightarrow \mathbb{C}$, die auf ganz \mathbb{C} holomorph & beschränkt ist, ist schon konstant.

IDENTITÄTSSATZ. Seien $G \subseteq \mathbb{C}$ ein Gebiet, $f, g: G \rightarrow \mathbb{C}$ zwei holomorphe Fkt., die auf eine Teilmenge von G , die einen Häufungspunkt besitzt, übereinstimmen.

Dann gilt $f = g$ auf ganz G .

In besonderen können sich die Nullstellen (nichttriviale) holomorphe Fkt. nicht häufen. Somit ist ein Bsp wie in 15] 3.11-12 ausgeschlossen.

(iii) Holomorphe Fkt bzw. die komplexe Analysis hilft auch öfters Fragen der reeller Analysis zu beantworten; So können wir nun die Frage aus 15] 3.17 beantworten [vgl. auch 8.8(iii)]:

Eine reelle Fkt. ist genau dann um einen Pkt in eine PIR entwickelbar, falls sie sich auf einen Kreis um x_0 in der kompl. Ebene holomorph fortsetzen lässt; genauer

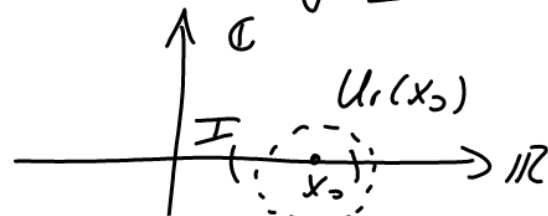
SATT. Sei $I \subseteq \mathbb{R}$ ein Intervall, $f: I \rightarrow \mathbb{R}$ eine Fkt.

\Rightarrow f löst sich um $x_0 \in I$ in eine (reelle) PR entwickeln



\exists Fkt $g: \mathbb{C}^2 \ni r \rightarrow \mathbb{C}$ holomorph mit $g|_I = f$.

Siehe [Haus 2, 187.6]



(iv) Ausblick. Die komplexe Analysis ist im Wesentlichen die Theorie der holomorphen Fkt. Ein weitreichender Gesichtspunkt dabei ist es, holomorphe Fkt ob Lösungen der (CRDS) zu suchen - damit ergeben sich viele Verbindungen zur Theorie der partiellen Differentialgleichungen (PDE).

Die Analysis von Fkt mehrerer komplexer Variablen unterscheidet sich grundlegend von der 1-d Theorie. Wiederum gibt es starke Bezüge zur Theorie der PDE aber auch der Funktionalanalysis und zur Algebraischen Geometrie.

Dabei handelt es sich um ein aktives Forschungsgebiet - [am Inst: F Haslinger & B. Lamek]

(v) LITERATUR. Diese Ausarbeitung beruht wesentlich auf [Haus 2, 185-187]. Eine knappe Einführung ist [Jöricke, Funktionentheorie], ein umfassendes (m. E. sehr schönes) Buch [Remmert, Schumacher, Funktionentheorie 1-2].